



OFICINA ESPAÑOLA DE PATENTES Y MARCAS

ESPAÑA



11) Número de publicación: 2 460 517

51 Int. Cl.:

A61K 39/395 (2006.01) C07K 16/28 (2006.01) A61P 35/00 (2006.01) A61P 37/00 (2006.01) A61P 21/04 C12N 15/13 (2006.01) C12N 15/85 C12N 5/10 (2006.01) C07K 16/46 (2006.01)

12 TRADUCCIÓN DE PATENTE EUROPEA

T3

- Fecha de presentación y número de la solicitud europea: 25.07.2006 E 06788565 (7)
 Fecha y número de publicación de la concesión europea: 12.02.2014 EP 1912675
- (54) Título: Reducción de células b mediante el uso de moléculas de unión específica a cd37 y de unión específica a cd20
- (30) Prioridad:

25.07.2005 US 702499 P 16.05.2006 US 800595 P

Fecha de publicación y mención en BOPI de la traducción de la patente: 13.05.2014

(73) Titular/es:

EMERGENT PRODUCT DEVELOPMENT SEATTLE, LLC (100.0%) 2401 Fourth Avenue, Suite 1050 Seattle, Washington 98121, US

(72) Inventor/es:

GROSMAIRE, LAURA, SUE; HAYDEN-LEDBETTER, MARTHA, SUSAN; LEDBETTER, JEFFREY, A.; THOMPSON, PETER, ARMSTRONG; SIMON, SANDY, ALEXANDER y BRADY, WILLIAM

(74) Agente/Representante:

DE ELZABURU MÁRQUEZ, Alberto

S 2 460 517 T3

Aviso: En el plazo de nueve meses a contar desde la fecha de publicación en el Boletín europeo de patentes, de la mención de concesión de la patente europea, cualquier persona podrá oponerse ante la Oficina Europea de Patentes a la patente concedida. La oposición deberá formularse por escrito y estar motivada; sólo se considerará como formulada una vez que se haya realizado el pago de la tasa de oposición (art. 99.1 del Convenio sobre concesión de Patentes Europeas).

DESCRIPCIÓN

Reducción de células b mediante el uso de moléculas de unión específica a cd37 y de unión específica a cd20

CAMPO DE LA INVENCIÓN

5

15

20

25

30

35

40

45

50

55

La presente invención proporciona de forma general el uso de moléculas de unión específica a CD37 en métodos para la reducción de células B en un individuo. En particular, la invención proporciona el uso de moléculas de unión específica a CD37 en combinación con moléculas de unión específica a CD20, en algunos casos en una combinación sinérgica, en métodos para la reducción de células B. La invención proporciona además materiales y su uso en métodos para el tratamiento de actividad aberrante de células B.

FUNDAMENTO DE LA INVENCIÓN

10 En su función habitual, el sistema inmunitario humano protege al cuerpo frente al daño producido por sustancias extrañas y patógenos. Un modo en el que sistema inmunitario protege al cuerpo es a través de la producción de células especializadas denominadas linfocitos B o células B. Las células B producen anticuerpos que se unen a una sustancia extraña o patógeno, y en algunos casos intervienen en su destrucción.

Sin embargo, en algunos casos el sistema inmunitario humano y específicamente los linfocitos B del sistema inmunitario humano actúan de manera desviada dando como resultado enfermedades. Existen numerosos cánceres que implican una proliferación incontrolada de células B. También existen numerosas enfermedades autoinmunes que implican la producción de células B de anticuerpos que, en lugar de unirse a sustancias extrañas y patógenos, se unen a partes del cuerpo. A veces dichos anticuerpos se denominan autoanticuerpos. Adicionalmente, existen numerosas enfermedades autoinmunes e inflamatorias que implican células B en su patología, por ejemplo, a través de una presentación inapropiada de antígeno de célula B a células T, o a través de otros mecanismos que implican células B. Por ejemplo, los ratones propensos a autoinmunidad deficientes en células B no desarrollan enfermedad renal autoinmune, vasculitis o autoanticuerpos. Véase Shlomchik et al., J Exp. Med., 180: 1295-306 (1994). De forma interesante, estos mismos ratones propensos a autoinmunidad que poseen células B pero son deficientes en producción de inmunoglobulina, sí desarrollan enfermedades autoinmunes cuando son inducidos experimentalmente, tal como describen Chan et al., J Exp. Med., 189: 1639-48 (1999), lo que indica que las células B desempeñan una función integral en el desarrollo de la enfermedad autoinmune.

Las células B pueden ser identificadas por las moléculas de su superficie celular. La CD20 fue la primera molécula superficial específica de linaje de células B humanas identificada por un anticuerpo monoclonal. Se trata de una fosfoproteína de transmembrana de célula B no glicosilada, hidrófoba, de 35 kDA, que tiene ambos extremos, el amino y el carboxi, situados en el interior de la célula. Véase, Einfeld et al., EMBO J., 7: 711-17 (1998). La CD20 es expresada por todas las células B maduras normales, pero no es expresada por células B precursoras o células plasmáticas. Los ligandos naturales de la CD20 no han sido identificados, y la función de la CD20 en la biología de las células B sigue sin entenderse completamente.

Otra molécula superficial específica de linaje de células B es la CD37. La CD37 es una proteína de 40-52 kDa fuertemente glicosilada que pertenece a la familia transmembrana de tetraspanina de antígenos de superficie celular. Atraviesa la membrana celular cuatro veces formando dos bucles extracelulares y exponiendo sus extremos amino y carboxi al citoplasma. La CD37 es altamente expresada en células B (slg+) productoras de anticuerpos normales, pero no es expresada en pre-células B o en células plasmáticas. La expresión de CD37 en células T, monocitos y granulocitos, activados y en reposo, es baja y no existe una expresión detectable de CD37 en células NK, plaquetas o eritrocitos. Véase, Belov et al., Cancer Res., 61 (11): 4483-4489 (2001); Schwartz-Albiez et al., J. Immunol., 140(3): 905-914 (1988); y Link et al., J. Immunol., 137(9): 3013-3018 (1988). Además de las células B normales, casi todas las malignidades con origen en células B son positivas para la expresión de CD37, incluyendo CLL, NHL y leucemia de células pilosas [Moore et al., Journal of Pathology, 152: 13-21 (1987); Merson y Brochier, Immunology Letters, 19: 269-272 (1988); y Faure et al., American Journal of Dermatopathology, 12 (3): 122-133 (1990)]. LA CD37 participa en la regulación de la función de las células B, ya que se observó que ratones que carecían de CD37 presentaban niveles bajos de IgG1 en suero y estaban afectados en su respuesta humoral a antígenos víricos y antígenos modelo. Parece actuar como una molécula co-estimulante no clásica o influyendo directamente en la presentación a antígeno a través de la formación de un complejo con moléculas MHC de clase II. Véase Knobeloch et al., Mol. Cell. Biol., 20(15): 5363-5369 (2000). La CD37 también parece desempeñar una función en la señalización de TCR. Véase Van Spriel et al., J. Immunol., 172: 2953-2961 (2004).

La investigación y el desarrollo de fármacos se ha producido en base al concepto de que las moléculas de superficie celular específicas de linaje de células B, tales como CD37 y CD20, pueden a su vez constituir dianas para anticuerpos que se unirían a células B causantes de enfermedades autoinmunes o cancerosas que presenten CD37 o CD20 en sus superficies, y mediarían en su destrucción. Considerado como "inmunoterapia", se administró a un paciente anticuerpos preparados (o basados en anticuerpos preparados) en un animal no humano que se unen a CD37 o CD20 para agotar células B causantes de enfermedad autoinmune o cancerosa.

Un anticuerpo de CD37 ha sido marcado con ¹³¹I y evaluado en ensayos clínicos para terapia de NHL. Véase Press et al., J. Clin. Oncol., 7(3): 1027-1038 (1989); Bernstein et al., Cancer Res. (Supl.), 50: 1017-1021 (1990); Press et

al., Front. Radiat. Ther. Oncol., 24: 204-213 (1990); Press et al., Adv. Exp. Med. Biol., 303: 91-96 (1991) y Brown et al., Nucl. Med. Biol., 24: 657-663 (1997). El anticuerpo, MB-1, es un anticuerpo monoclonal de IgG1 murino que carece de funciones efectoras Fc tales como la citotoxicidad celular dependiente de anticuerpo (ADCC, del inglés "antibody-dependent cellular cytotoxicity") y el MB-1 no inhibió el crecimiento tumoral en un modelo de xenoinjerto *in vivo* a menos que hubiera sido marcado con un isótopo (Buchsbaum et al., Cancer Res., 52(83): 6476-6481 (1992). Se observó una biodistribución favorable de ¹³¹I-MB-1 en pacientes de linfoma que presentaban cargas tumorales menores (< 1 kg) y la terapia en dichos pacientes produjo remisiones totales de tumor que duraron entre 4 y 11 meses (Press et al., 1989 y Bernstein et al. 1990).

5

15

20

25

30

45

50

55

Adicionalmente, se ha evaluado en ratones un inmunoconjugado compuesto por el fármaco adriamicina ligado a G28-1, otro anticuerpo anti-CD37, y ha demostrado efectos por medio de la internalización y la liberación intracelular del fármaco. Véase Braslawsky et al., Cancer Immunol. Immunother., 33(6): 367-374 (1991).

Varios grupos han investigado el uso de anticuerpo anti-CD20 para tratar enfermedades relacionadas con células B. Un tratamiento consiste en anticuerpos anti-CD20 preparados en la forma de radionucleidos para tratar linfoma de células B (p.ej., anticuerpo anti-CD20 marcado con ¹³¹I), así como una forma marcada con ⁸⁹Sr para paliar el dolor óseo provocado por metástasis de cáncer de próstata y de mama [Endo, Gan To Kagaku Ryoho, 26: 744-748 (1999)].

Otro grupo desarrolló un anticuerpo monoclonal quimérico específico para CD20, que consistía en regiones variables de cadena pesada y ligera de origen murino fusionadas a regiones constantes de cadena pesada de IgG1 humana y de cadena ligera kappa humana. Se publicó que el anticuerpo quimérico retenía la capacidad de unirse a CD20 y la capacidad de mediar en ADCC y fijar complemento. Véase, Liu et al., J. Immunol. 139: 3521-26 (1987). Otro anticuerpo anti-CD20 quimérico adicional fue preparado a partir de hibridoma C2B8 IDEC y se denominó rituximab. Se piensa que el mecanismo de actividad antitumoral del rituximab es una combinación de varias actividades, que incluyen ADCC, fijación de complemento y activación de señales que promuevan la apoptosis en células B malignas, aunque el gran tamaño del anticuerpo quimérico impide una difusión óptima de la molécula en tejidos linfoides que contengan células B malignas, limitando con ello su actividad antitumoral. La ADCC es una reacción mediada por células en la que las células citotóxicas no específicas que expresan receptores Fc (FcRs) (p.ej., células asesinas naturales (NK, del inglés "Natural Killer", neutrófilos y macrófagos) reconocen al anticuerpo ligado sobre una célula diana y a continuación provocan la lisis de la célula diana. La fijación de complemento, o citotoxicidad dependiente de complemento (CDC), es la capacidad de una molécula para lisar una diana en presencia de complemento. El mecanismo de activación de complemento se inicia mediante la unión del primer componente del sistema de complemento (C1q) a una molécula (p.ej. un anticuerpo) acomplejado con un antígeno semejante. El tamaño grande del rituximab impide una difusión óptima de la molécula en los tejidos linfoides que contienen células B malignas, limitando de este modo su actividad antitumoral.

El rituximab, administrado típicamente en infusiones 4 veces por semana, se usa actualmente para tratar linfoma no de Hodgkin de célula B folicular [McLaughlin et al., Oncology, 12: 1763-1777 (1998); Leget et al., Curr. Opin. Oncol., 10: 548-551 (1998)] y en linfoma folicular de estadio III/IV de recaída [White et al., Pharm. Sci. Technol. Today, 2: 95-101 (1999)]. Otros trastornos tratables con rituximab incluyen el linfoma de célula de centro folicular (FCC), el linfoma de célula manta (MCL), el linfoma de célula grande difusa (DLCL) y el linfoma linfocítico pequeño (SLL) [Nguyen et al., Eur J Haematol., 62: 76-82 (1999)]. El rituximab administrado en infusiones semanales también se usa para tratar CLL [Lin et al., Sem Oncol., 30: 483-92 (2003)].

También se han usado anticuerpos anti-CD20 para tratar pacientes que padecen enfermedades autoinmunes asociadas a la producción celular de autoanticuerpos. Por ejemplo, el rituximab ha demostrado un beneficio clínico significativo en el agotamiento de células B CD20+ en pacientes con múltiples enfermedades autoinmunes/antiinflamatorias que incluyen la AR [Edwards, N Engl J Med., 350: 2546-2548 (2004); Cambridge et al., Arthritis Rheum., 48: 2146-54 (2003)]. Los pacientes de AR recibieron dosis continuadas de metotrexato (MTX) y un curso de 4 dosis de infusión de rituximab (Edwards, ver anterior). Dichos pacientes mostraron una mejora en las respuestas del "American College of Rheumatology" (ACR) en comparación con grupos de control.

En un ensayo para el tratamiento de lupus sistémico eritematoso (LSE) [Leandro et al., Arthritis Rheum., 46: 2673-2677 (2002)], se administró a los pacientes dos infusiones de dosis alta de rituximab, y se demostró una reducción de células B y una mejoría en el estado de la enfermedad. En un segundo estudio de reducción de células B en LSE [Looney et al., Arthritis Rheum., 50: 2580-2589 (2004)], se administró a los pacientes una infusión única de 100 mg/m2 de rituximab (dosis baja), una infusión única de 375 mg/m2 de rituximab (dosis intermedia) o 4 infusiones (con 1 semana de separación) de 375 mg/m² de rituximab (dosis alta). Dichos pacientes mostraron una reducción de células B y una mejoría en las puntuaciones de enfermedad, pero el tratamiento no alteró el nivel de autoanticuerpos. También se han llevado a cabo ensayos de rituximab en macroglobulinemia de Waldenstrom [Treon et al., Immunother., 24: 272-279 (2000)], en los que los pacientes mostraron un aumento de los recuentos de hematocrito (HCT) y plaquetas (PLT) después de 4 infusiones de rituximab.

Informes recientes de tratamientos con rituximab en pacientes que padecen esclerosis múltiple, una enfermedad autoinmune que afecta al sistema nervioso central, indican que un curso de tratamiento agota células B periféricas

pero tiene poco efecto sobre células B del fluido cerebroespinal. Véase Monson et al., Arch. Neurol., 62: 258-264 (2005).

Otras publicaciones adicionales relacionadas con el uso de rituximab incluyen: Stashi et al. "Rituximab chimeric anti-CD20 monoclonal antibody treatment for adults with chronic idiopathic thrombocytopenic purpura" Blood 98: 952-957 (2001); Matthews, R. "Medical Heretics" New Scientist (7 de abril, 2001); Leandro et al. "Clinical outcome in 22 patients with rheumatoid arthritis treated with B lymphocyte depletion" Ann Rheum Dis 61: 833-888 (2002); Leandro et al. "Lymphocyte depletion in rheumatoid arthritis: early evidence for safety, efficacy and dose response" Arthritis and Rheumatism 44(9): S370 (2001); Leandro et al. "An open study of B lymphocyte depletion in systemic lupus erythematosus", Arthritis Rheum. 46: 2673-2677 (2002); Edwards et al., "Sustained improvement in rheumatoid arthritis following a protocol designed to deplete B lymphocytes" Rheumatology 40: 205-211 (2001); Edwards et al. "B-lymphocyte depletion therapy in rheumatoid arthritis and other autoimmune disorders" Biochem, Soc. Trans. 30(4): 824-828 (2002); Edwards et al. "Efficacy and safety of rituximab, a B-cell targeted chimeric monoclonal antibody: A randomized, placebo controlled trial in patients with rheumatoid arthritis", Arthritis Rheum. 46: S197 (2002); Levine et al., "IgM antibody-related polyneuropathies: B-cell depletion chemotherapy using rituximab" Neurology 52: 1701-1704 (1999); DeVita et al. "Efficacy of selective B-cell blockade in the treatment of rheumatoid arthritis" Arthritis Rheum 46: 2029-2033 (2002); Hidashida et al. "Treatment of DMARD-Refractory rheumatoid arthritis with rituximab". Presentado en la Reunión Científica Anual del "American College of Rheumatology"; octubre 24-29; Nueva Orleans, La. 2002; Tuscano, J. "Successful treatment of Infliximab-refractory rheumatoid arthritis with rituximab". Presentado en la Reunión Científica Anual del "American College of Rheumatology"; octubre 24-29; Nueva Orleans, La. 2002.

10

15

20

25

30

35

40

45

50

55

60

Sigue habiendo problemas asociados a la terapia con rituximab. Por ejemplo, la mayoría de los pacientes de cáncer tratados con rituximab recaen, generalmente en aproximadamente 6-12 meses, y se han reportado reacciones fatales a la infusión en las 24 horas posteriores a la infusión de rituximab. Estas reacciones fatales siguieron un complejo de reacción a infusión que incluía hipoxia, infiltraciones pulmonares, síndrome de insuficiencia respiratoria aguda, infarto de miocardio, fibrilación ventricular o choque cardiogénico. También se ha reportado fallo renal agudo que requiere diálisis con casos de resultado fatal al producirse síndrome de lisis tumoral después de un tratamiento con rituximab, así como reacciones mucocutáneas severas, algunas con resultado fatal. Adicionalmente, se requieren dosis elevadas de rituximab para inyección intravenosa, ya que esta molécula es grande, aproximadamente de 150 kDa, y, como se ha indicado antes, la difusión en los tejidos linfoides en los que residen muchas células tumorales es limitada.

Debido a que las células B maduras normales también expresan CD37 y CD20, las células B normales también se ven agotadas por terapias de anticuerpos anti-CD37 (Press et al., 1989) o anti-CD20 [Reff et al., Blood, 83: 435-445 (1994)]. Una vez completado el tratamiento, no obstante, las células B normales pueden regenerarse a partir de precursores de células B negativos en CD37 y CD20; por lo tanto, los pacientes tratados con terapia anti-CD37 o anti-CD20 no experimentan una inmunosupresión significativa.

La tecnología de anticuerpos monoclonales y los métodos de ingeniería genética han conducido al desarrollo de moléculas de inmunoglobulina para diagnosis y tratamiento de enfermedades humanas. Se ha aplicado ingeniería de proteínas para mejorar la afinidad de un anticuerpo por su antígeno semejante, para reducir los problemas relacionados a inmunogenicidad, y para alterar las funciones efectoras de un anticuerpo. El dominio estructural de las inmunoglobulinas es susceptible de ingeniería, en el sentido en que los dominios de unión a antígeno y los dominios que confieren las funciones efectoras pueden ser intercambiados entre clases y subclases de inmunoglobulinas. La estructura y la función de la inmunoglobulina se revisan, por ejemplo, en Harlow et al., Eds., "Antibodies: A Laboratory Manual", Capítulo 14, Cold Spring Harbor Laboratory, Cold Spring Harbor (1988). En el libro de texto "Recombinant Antibodies" (John Wiley & Songs, NY, 1999) se puede encontrar una extensa introducción, así como información detallada sobre todos los aspectos de la tecnología de anticuerpos recombinantes. En R. Kontermann y S. Dübel (eds.), "The Antibody Engineering Lab Manual" (Springer Verlag, Heidelberg/Nueva York, 2000) se puede encontrar una colección completa de protocolos de laboratorio de ingeniería de anticuerpos detallados.

Recientemente, se han construido moléculas de inmunoglobulina más pequeñas para solventar los problemas asociados a toda la terapia de inmunoglobulinas. El Fv de cadena individual (scFv) comprende un dominio variable de cadena pesada de anticuerpo unido a través de un ligando peptídico corto a un dominio de variable de cadena ligera de anticuerpo [Huston et al., Proc. Natl. Acad. Sci. USA, 85: 5879-5883 (1988)]. Además de las regiones variables, todas las cadenas de anticuerpo tienen una o más regiones constantes. Las cadenas ligeras tienen un único dominio de región constante. Por tanto, las cadena ligeras tiene una región variable y una región constante. Las cadenas pesadas tienen varios dominios de región constante. Las cadenas pesadas de los anticuerpos IgG, IgA y IgD tienen tres dominios de región constante, que se designan CH1, CH2 y CH3, y las cadenas pesadas de los anticuerpos IgM e IgE tienen cuatro dominios de región constante, CH1, CH2, CH3 and CH4. Por tanto, las cadenas pesadas tienen una región variable y tres o cuatro regiones constantes.

Las cadenas pesadas de las inmunoglobulinas también pueden dividirse en tres regiones funcionales: la región Fd (un fragmento que comprende V.sub.H y CH1, es decir, los dos dominios N-terminales de la cadena pesada), la región de bisagra y la región Fc (la región de "fragmento cristalizable", derivada de regiones constantes y formada

tras una digestión de pepsina). La región Fd en combinación con la cadena ligera forma un Fab (el "fragmento de unión a antígeno"). Puesto que un antígeno reacciona estereoquímicamente con la región de unión a antígeno del extremo amino de cada Fab, la molécula de IgG es divalente, es decir, puede unirse a dos moléculas de antígeno. El Fc contiene los dominios que interaccionan con los receptores de inmunoglobulina sobre las células y con los elementos iniciales de la cascada de complemento. Por tanto, el fragmento Fc se considera de forma general responsable de las funciones efectoras de una inmunoglobulina, tal como la fijación de complemento y la unión a receptores de Fc.

5

10

50

55

Debido al pequeño tamaño de las moléculas de scFv, éstas exhiben una eliminación muy rápida del plasma y de los tejidos y una penetración más efectiva en tejidos que la inmunoglobulina completa. Un scFv antitumoral mostró una penetración tumoral más rápida y una distribución más uniforme por la masa del tumor que el correspondiente anticuerpo quimérico [Yokota et al., Cancer Res., 52, 3402-3408 (1992)]. La fusión de un scFv a otra molécula, tal como una toxina, aprovecha la actividad específica de antígeno y el tamaño pequeño de un scFv para conducir la toxina a un tejido diana. [Chaudary et al., Nature, 339: 394 (1989); Batra et al., Mol. Cell. Biol.; 11: 2200 (1991)].

A pesar de las ventajas de las moléculas de scFv, en su uso existen varias desventajas. Aunque una eliminación rápida de scFv puede reducir los efectos tóxicos en células normales, dicha eliminación rápida puede prevenir la llegada de una dosis mínima efectiva al tejido diana. La fabricación de cantidades adecuadas de scFv para administración a pacientes ha sido un reto debido a las dificultades en la expresión y el aislamiento de scFv, que afectan negativamente al rendimiento. Durante la expresión, las moléculas de scFv carecen de estabilidad y a menudo se agregan debido a emparejamiento de regiones variables de diferentes moléculas. Además, los niveles de producción de moléculas de scFv en sistemas de expresión de mamífero son bajos, limitando el potencial para una fabricación eficiente de moléculas de scFv para terapia [Davis et al, J Biol. Chem., 265: 10410-10418 (1990); Traunecker et al., EMBO J, 10: 3655-3659 (1991). Se han explorado estrategias para mejorar la producción, incluyendo la adición de sitios de glicosilación a las regiones variables [Jost, C. R. Patente de EE.UU. Nº 5.888.773, Jost et al, J. Biol. Chem., 69: 26267-26273 (1994)].

Otra desventaja de usar scFv para terapia es la falta de función efectora. Un scFv sin las funciones citolíticas, ADCC y citotoxicidad dependiente de complemento (CDC), asociadas a la región constante de una inmunoglobulina, puede ser ineficaz para tratar una enfermedad. Incluso aunque el desarrollo de la tecnología de scFv comenzó hace 12 años, en la actualidad no se aprobado para terapia ningún producto de scFv.

Alternativamente, se ha propuesto que la fusión de un scFv y otra molécula, tal como una toxina, podría aprovechar la actividad específica de unión a antígeno y el tamaño pequeño de un scFv para conducir la toxina a un tejido diana. Chaudary et al., Nature 339: 394 (1989); Batra et al., Mol. Cell. Biol. 11: 2200 (1991). Por tanto, la conjugación o la fusión de toxinas a scFvs se ha planteado como estrategia alternativa para proporcionar moléculas potentes específicas de antígeno, pero la dosificación de dichos conjugados o quimeras puede estar limitada por una toxicidad excesiva y/o no específica debido a la función de toxina de dichas preparaciones. Los efectos tóxicos pueden incluir elevación suprafisiológica de enzimas hepáticas y síndrome de pérdidas vasculares, y otros efectos no deseados. Adicionalmente, las inmunotoxinas son en sí mismas altamente inmunogénicas cuando se administran a un hospedante, y los anticuerpos del hospedante generados contra dicha inmunotoxina limitan su utilidad potencial en tratamientos terapéuticos repetidos en un individuo.

Otras proteínas de fusión diseñadas por ingeniería, denominadas productos inmunofarmacéuticos modulares pequeños (SMIPTM, del inglés "Small Modular Immunopharmaceutical"), se describen en las Publicaciones de Patente de EE.UU. compartidas 2003/133939, 2003/0118592 y 2005/0136049, y en las Publicaciones de Patente Internacional compartidas WO02/056910, WO2005/037989 y WO2005/017148. Los productos SMIP son nuevas proteínas de fusión inmunoglobulina-dominio de unión que presentan un dominio de unión para una estructura semejante tal como un antígeno, un contrarreceptor o similar; un polipéptido de región de bisagra de IgG1, IGA o IgE, o un polipéptido de región de bisagra de IgG1 mutante que tiene cero, uno o dos residuos de cisteína; y dominios de inmunoglobulina CH2 y CH3. Los productos SMIP tienen capacidad de ADCC y/o CDC.

Aunque se ha realizado una intensa investigación con terapias basadas en anticuerpos, sigue existiendo una necesidad en la técnica de métodos mejorados para tratar enfermedades con actividad aberrante de células B. Los usos de la presente invención descritos y reivindicados en la presente memoria proporcionan dichos usos mejorados, así como otras ventajas.

En un primer aspecto de la presente invención, se proporciona una proteína de unión específica a CD37 humanizada para uso en el tratamiento de cáncer o de una enfermedad autoinmune de células B, donde la proteína de unión específica a CD37 humanizada comprende:

(a) regiones estructurales de cadena ligera humana, una cadena ligera CDR1 que comprende una secuencia de aminoácidos de SEQ ID NO: 61, una cadena ligera CDR2 que comprende una secuencia de aminoácidos de SEQ ID NO: 64, y una cadena ligera CDR3 que comprende una secuencia de aminoácidos de SEQ ID NO: 66; y

(b) regiones estructurales de cadena pesada humana, una cadena pesada CDR1 que comprende una secuencia de aminoácidos de SEQ ID NO: 63, una cadena pesada CDR2 que comprende una secuencia de aminoácidos

de SEQ ID NO: 65, y una cadena pesada CDR3 que comprende una secuencia de aminoácidos de SEQ ID NO: 67 ó 68, que se caracteriza porque la proteína de unión específica a CD37 humanizada debe usarse en combinación con una proteína de unión específica a CD20.

En un segundo aspecto de la presente invención, se proporciona una proteína de unión específica a CD20 para uso en el tratamiento de un cáncer o una enfermedad autoinmune de células B que se caracteriza porque la proteína de unión específica a CD20 debe usarse en combinación con una proteína de unión específica a CD37 humanizada para uso en el tratamiento de un cáncer o enfermedad autoinmune de células B, donde la proteína de unión específica a CD37 humanizada comprende:

5

10

15

25

35

- (a) regiones estructurales de cadena ligera humana, una cadena ligera CDR1 que comprende una secuencia de aminoácidos de SEQ ID NO: 61, una cadena ligera CDR2 que comprende una secuencia de aminoácidos de SEQ ID NO: 64, y una cadena ligera CDR3 que comprende una secuencia de aminoácidos de SEQ ID NO: 66; y
- (b) regiones estructurales de cadena pesada humana, una cadena pesada CDR1 que comprende una secuencia de aminoácidos de SEQ ID NO: 63, una cadena pesada CDR2 que comprende una secuencia de aminoácidos de SEQ ID NO: 65, y una cadena pesada CDR3 que comprende una secuencia de aminoácidos de SEQ ID NO: 67 ó 68.

En un tercer aspecto, se proporciona un artículo de fabricación que comprende una proteína de unión específica a CD20 y una proteína de unión específica a CD37 humanizada para uso en el tratamiento de un cáncer o enfermedad autoinmune de células B, donde la proteína de unión específica a CD37 humanizada comprende:

- (a) regiones estructurales de cadena ligera humana, una cadena ligera CDR1 que comprende una secuencia de aminoácidos de SEQ ID NO: 61, una cadena ligera CDR2 que comprende una secuencia de aminoácidos de SEQ ID NO: 64, y una cadena ligera CDR3 que comprende una secuencia de aminoácidos de SEQ ID NO: 66; y
 - (b) regiones estructurales de cadena pesada humana, una cadena pesada CDR1 que comprende una secuencia de aminoácidos de SEQ ID NO: 63, una cadena pesada CDR2 que comprende una secuencia de aminoácidos de SEQ ID NO: 65, y una cadena pesada CDR3 que comprende una secuencia de aminoácidos de SEQ ID NO: 67 ó 68.

Preferiblemente, en todos los aspectos de la invención, las CDR1, CDR2 y CDR3 de cadena ligera de la proteína de unión específica a CD37 humanizada consisten en las secuencias de aminoácidos de las SEQ ID NOS: 61, 64 y 66, respectivamente; y

donde las CDR1, CDR2 y CDR3 de cadena pesada consisten en las secuencias de aminoácidos de las SEQ ID NOS: 63, 65 y 67, respectivamente.

Preferiblemente, en todos los aspectos de la invención, las CDR1, CDR2 y CDR3 de cadena ligera de la proteína de unión específica a CD37 humanizada consisten en las secuencias de aminoácidos de las SEQ ID NOS: 61, 64 y 66, respectivamente; y

donde las CDR1, CDR2 y CDR3 de cadena pesada consisten en las secuencias de aminoácidos de las SEQ ID NOS: 63, 65 y 68, respectivamente.

Preferiblemente, en todos los aspectos de la invención, la región estructural de cadena ligera humana se selecciona de las SEQ ID NOS:170-172, 175, 179, 182, 184-188, 191, 194-198, 203 y 205-210; o

la región estructural de cadena pesada humana se selecciona de las SEQ ID NOS: 140, 141, 143-147, 150, 151, 154-163, 168 y 169.

- Preferiblemente, en todos los aspectos de la invención, la primera región estructural de cadena ligera humana (FR1) se selecciona de las SEQ ID NOS: 170-172, 175 y 177-181; la FR2 humana de la región estructural de cadena ligera se selecciona de las SEQ ID NOS: 182, 184-188 y 191; la FR3 humana de la cadena ligera se selecciona de las SEQ ID NOS: 194-198, 203 y 205; y la FR4 humana de la cadena ligera se selecciona de las SEQ ID NOS: 206-210; o
- la primera región estructural de cadena pesada humana (FR1) se selecciona de las SEQ ID NOS: 140, 141 y 143-146; la FR2 humana de la cadena pesada se selecciona de las SEQ ID NOS: 147, 150 y 151; la FR3 humana de la cadena pesada se selecciona de las SEQ ID NOS: 154-160; y la FR4 humana de la cadena pesada se selecciona de las SEQ ID NOS: 161-163, 168 y 169.
- Preferiblemente, en todos los aspectos de la invención, la proteína de unión comprende un polipéptido Fv de cadena sencilla (scFv), un anticuerpo o un fragmento de unión al mismo, o una proteína de fusión de inmunoglobulina que comprende, desde el extremo amino al carboxi, (i) un dominio de unión que tenga regiones variables de cadena ligera y pesada de inmunoglobulina separadas por un péptido de enlace, (ii) un polipéptido de región de bisagra de inmunoglobulina que tenga cero, uno o dos residuos de cisteína, y (iii) dominios CH2 y CH3 de inmunoglobulina. De manera aún más preferible, el polipéptido de región de bisagra de inmunoglobulina puede ser un polipéptido de

región de bisagra de IgG1, IgGA o IgE o un mutante de IgG1. De forma ventajosa, la proteína de unión es una proteína de fusión de inmunoglobulina que comprende una región variable de cadena ligera y una región variable de cadena pesada;

la región variable de cadena ligera está unida a la región variable de cadena pesada mediante un péptido de unión que comprende (Gly4SER)n, donde n es 1, 2, 3, 4, 5 ó 6; y

las regiones variables de cadena ligera y pesada unidas están conectadas a un dominio efector IgG1 a través de una bisagra compuesta por una secuencia de aminoácidos seleccionada del grupo que consiste en las SEQ ID NO: 90, 92, 94, 96, 98, 100, 102, 104, 106, 108, 110, 12, 115, 116, 118, 120, 122, 124, 126 ó 127.

Preferiblemente, en todos los aspectos de la invención, la proteína de unión específica a CD37 humanizada comprende una secuencia de aminoácidos seleccionada del grupo que consiste en la SEQ ID NO: 48 y 52.

10

15

25

30

40

45

50

55

Preferiblemente, en todos los aspectos de la invención, la proteína de unión específica a CD20 es un anticuerpo monoclonal específico de CD20, preferiblemente Rituximab.

De forma ventajosa, en todos los aspectos de la invención, la proteína de unión específica a CD20 es una proteína de fusión de inmunoglobulina que es específica de CD20 y que comprende, desde el extremo amino al carboxi, (i) un dominio de unión que tenga regiones variables de cadena ligera y pesada de inmunoglobulina separadas por un péptido de enlace, (ii) un polipéptido de región de bisagra de inmunoglobulina que tenga cero, uno o dos residuos de cisteína, y (iii) dominios CH2 y CH3 de inmunoglobulina. De manera aún más preferible, el polipéptido de región de bisagra de inmunoglobulina puede ser un polipéptido de región de bisagra de IgG1, IgGA o IgE o un mutante de IgG1.

Preferiblemente, en todos los aspectos de la invención, el método comprende además el uso de un agente quimioterapéutico, una citocina, una quimiocina o un factor de crecimiento.

Preferiblemente, en todos los aspectos de la invención, el cáncer de células B es enfermedad de Hodgkin, linfoma no de Hodgkin, linfomas del sistema nervioso central, leucemia linfoblástica aguda, leucemia linfocítica crónica, leucemia de células pilosas, leucemia mioblástica crónica, mieloma múltiple, linfoma linfocítico pequeño, leucemia prolinfocítica de células B, linfoma linfoplasmacítico, linfoma de zona marginal esplénica, mieloma de célula plasmática, plasmacitoma solitario de hueso, plasmacitoma extraóseo, linfoma de células B de zona marginal extranodal de tejido linfoide asociado a mucosa, linfoma de células B de zona marginal nodal, linfoma folicular, linfoma de células manta, linfoma de células B grandes difusas, linfoma de células B grandes mediastinales (tímicas), linfoma de células B grande intravascular, linfoma de efusión primaria, linfoma/leucemia de Burkitt, proliferaciones de células B de potencial maligno incierto, granulomatosis linfomatoide o trastorno linfoproliferativo post-trasplante.

De forma ventajosa, en todos los aspectos de la invención la enfermedad autoinmune es artritis reumatoide, esclerosis múltiple, lupus sistémico eritomatoso, enfermedad de Crohn, síndrome de Sjogren, enfermedad de Grave, diabetes mellitus de tipo I, soriasis, púrpura trombocitopénica inmune, pénfigo, miopatía inflamatoria idiopática, miastenia gravis o macroglobinemia de Waldenstorm.

Preferiblemente, en todos los aspectos de la invención, la proteína de unión específica a CD37 y la proteína de unión específica a CD20 se administran secuencialmente en un periodo aproximado de 24 horas o se administran simultáneamente.

En algunos usos de la invención, el uso de combinaciones de moléculas de unión específica a CD37 (una o más moléculas de unión específica a CD20) y moléculas de unión específica a CD20 (una o más moléculas de unión específica a CD20) da como resultado un aumento de la reducción de células B. En algunos de dichos métodos, las combinaciones son sinérgicas. En un aspecto relacionado, la invención proporciona un método para tratar un individuo que padece, o que se sospecha que padece, una enfermedad asociada a actividad aberrante de células B.

La presente descripción también proporciona moléculas de unión específica a CD37 humanizada (p.ej. construcciones TRU-016 humanizadas) y métodos para reducir células B usando dichas moléculas. En algunas realizaciones de los usos de la invención, se contemplan los usos de combinaciones de construcciones TRU-016 humanizadas con una o más moléculas de unión específica a CD20. En otro aspecto, la descripción proporciona métodos para tratar individuos que padecen, o que se sospecha que padecen, una enfermedad asociada a actividad aberrante de células B. Aspectos relacionados de la descripción se dedican a métodos de prevención de cualquier enfermedad de este tipo y a métodos paliativos de síntomas asociados a enfermedades de este tipo que comprenden la administración de una dosis de una molécula de unión específica a CD37 humanizada efectiva para tratar o prevenir dicha enfermedad, o para aliviar un síntoma de dicha enfermedad.

"Actividad aberrante de células B" se refiere a actividad de células B que se desvía respecto al curso normal, apropiado o esperado. Por ejemplo, la actividad aberrante de células B puede incluir una proliferación inapropiada de células cuyo ADN u otros componentes han quedado dañados o defectuosos. La actividad aberrante de células B puede incluir la proliferación celular cuyas características están asociadas a una enfermedad que está provocada, mediada o que es el resultado de niveles inapropiadamente elevados de división celular, niveles apropiadamente

bajos de apoptosis o ambos. Dichas enfermedades pueden caracterizarse, por ejemplo, por proliferaciones anormales locales simples o múltiples de células, grupos de células o tejido(s), tanto cancerosos como no cancerosos, benignos o malignos. La actividad aberrante de células B puede incluir también la producción aberrante de anticuerpos, tal como la producción de autoanticuerpos, o la sobreproducción de anticuerpos típicamente deseables cuando se producen a niveles normales. Se contempla que la actividad aberrante de células B pueda producirse en determinadas subpoblaciones de células B y no en otras subpoblaciones. La actividad aberrante de células B también puede incluir la estimulación inapropiada de células T, tal como por presentación de antígeno de célula B inapropiada a células T o por otros mecanismos que impliquen células B.

5

10

15

20

25

30

35

40

45

50

55

60

"Tratamiento" o "tratar" se refieren a un tratamiento terapéutico o a un tratamiento profiláctico/preventivo. Un tratamiento terapéutico puede mejorar al menos un síntoma en un individuo que recibe el tratamiento o puede retrasar el empeoramiento de una enfermedad progresiva en un individuo, o prevenir el inicio de otras enfermedades asociadas.

Una "dosis terapéuticamente efectiva" o "dosis efectiva" de una molécula de unión específica a CD20 se refiere a la cantidad de compuesto que es suficiente para dar como resultado el alivio de uno o más síntomas de la enfermedad tratada. Cuando se aplica a un ingrediente activo individual, administrado solo, una dosis terapéuticamente efectiva se refiere a dicho ingrediente solo. Cuando se aplica a una combinación, una dosis terapéuticamente efectiva se refiere a las cantidades combinadas de los ingredientes activos que dan como resultado el efecto terapéutico, cuando se administran en serie o simultáneamente. La invención contempla específicamente que una o más moléculas de unión específica se puedan administrar de acuerdo a los usos de la invención, cada una en una dosis efectiva.

"Un individuo que padece, o que se sospecha que padece, una enfermedad asociada a actividad aberrante de células B" es un individuo en el que una enfermedad o síntoma pueden estar causados por actividad aberrante de células B, pueden estar exacerbados por actividad aberrante de células B, o pueden aliviarse mediante regulación de la actividad de células B. Los ejemplos de dichas enfermedades son un cáncer de células B (por ejemplo, linfoma de células B, una leucemia de células B o un mieloma de células B), una enfermedad que se caracteriza por la producción de autoanticuerpos o una enfermedad que se caracteriza por una estimulación inapropiada de células T causada por una presentación inapropiada de antígeno de células B a células T o causada por otros mecanismos que impliquen células B.

En un ejemplo de aspecto, un individuo tratado mediante los métodos de la descripción demuestra una respuesta al tratamiento que es mejor que la respuesta al tratamiento con rituximab, o que se ve mejorada con respecto a ella. Una respuesta que es mejorada con respecto al tratamiento con rituximab se refiere a una respuesta clínica en la que el tratamiento mediante un método de la descripción da como resultado una respuesta clínica en un paciente que es mejor que una respuesta clínica en un paciente que recibe terapia de rituximab, tal como rituximab. Una respuesta mejorada se determina por comparación de criterios clínicos bien conocidos en la técnica y descritos en la presente memoria. Los ejemplos de criterios incluyen, aunque sin limitación, la duración del agotamiento de células B, la reducción del recuento de células B en una muestra biológica, la reducción del tamaño del tumor, la reducción del número de tumores existentes y/o que aparecen después del tratamiento, y la respuesta general mejorada determinada por los propios pacientes y médicos, p.ej., usando un Índice Prognóstico Internacional. La mejoría puede ser en uno o más de los criterios clínicos. Una respuesta mejorada con el método de la invención puede ser debida a una respuesta inadecuada al tratamiento previo o actual con rituximab, por ejemplo, a causa de la toxicidad y/o eficacia inadecuada del tratamiento con rituximab.

Los cánceres de células B incluyen linfomas de células B [tal como varias formas de la enfermedad de Hodgkin, el linfoma no de Hodgkin (NHL) o los linfomas del sistema nervioso central], leucemias [tal como leucemia linfoblástica aguda (ALL), leucemia linfocítica crónica (CLL), leucemia de células pilosas y leucemia mioblástica crónica] y mielomas (tal como mieloma múltiple). Otros cánceres de células B incluyen linfoma linfocítico pequeño, leucemia prolinfocítico de células B, linfoma linfoplasmacítico, linfoma de zona marginal esplénica, mieloma de célula plasmática, plasmacitoma solitario de hueso, plasmacitoma extraóseo, linfoma de células B de zona marginal nodal, linfoma folicular, linfoma de célula de manta, linfoma de células B grande difuso, linfoma de células B mediastinal (tímico), linfoma de células B intravascular, linfomas de efusión primaria, linfoma/leucemia de Burkitt, proliferaciones de células B de potencial maligno incierto, granulomatosis linfomatoide y trastorno linfoproliferativo post-trasplante.

Los trastornos caracterizados por producción de autoanticuerpos a menudo se consideran enfermedades autoinmunes. Las enfermedades autoinmunes incluyen, aunque sin limitación: artritis, artritis reumatoide, artritis reumatoide juvenil, osteoartritis, policondritis, artritis psoriática, psoriasis, dermatitis, polimiositis/dermatomiositis, miositis corporal de inclusión, miositis inflamatoria, necrolisis epidérmica tóxica, escleroderma y esclerosis sistémicos, síndrome de CREST, respuestas asociadas a enfermedad inflamatoria del intestino, enfermedad de Crohn, colitis ulcerativa, síndrome de insuficiencia respiratoria, síndrome de insuficiencia respiratoria adulta (ARDS), meningitis, encefalitis, uveítis, colitis, glomerulonefritis, afecciones alérgicas, eczema, asma, afecciones que implican infiltración de células T y respuestas inflamatorias crónicas, aterosclerosis, miocarditis autoinmune, deficiencia de adhesión de leucocitos, lupus sistémico eritematoso (SLE), lupus eritematoso cutáneo subagudo, lupus discoide, lupus mielitis, lupus cerebritis, diabetes de inicio juvenil, esclerosis múltiple, encefalomielitis alérgica, neuromielitis

5

10

15

20

25

30

35

40

45

50

óptica, fiebre reumatoide, corea de Sydenham, respuestas inmunes asociadas hipersensibilidad aguda y retrasada mediada por citocinas y linfocitos T, tuberculosis, sarcoidosis, granulomatosis que incluye granulomatosis de Wegener y enfermedad de Churg-Strauss, agranulocitosis, vasculitis (que incluye vasculitis/angiitis de hipersensibilidad, ANCA y vasculitis reumatoide), anemia aplástica, anemia Diamond Blackfan, anemia hemolítica inmune que incluye anemia hemolítica autoinmune (AIHA), anemia perniciosa, aplasia de células rojas puras (PRCA), deficiencia de Factor VIII, hemofilia A, neutropenia autoinmune, pancitopenia, leucopenia, enfermedades que implican diapedesis de leucocitos, trastornos inflamatorios de sistema nervioso central (SNC), síndrome de lesión de órganos múltiple, miastenia gravis, enfermedades mediadas por complejo antígeno-anticuerpo, enfermedad de membrana de base anti-glomerular, síndrome de anticuerpos anti-fosfolípidos, neuritis alérgica, enfermedad de Behcet, síndrome de Castleman, síndrome de Goodpasture, síndrome miasténico de Lambert-Eaton, síndrome de Reynaud, síndrome de Sjorgen, síndrome de Stevens-Johnson, rechazo de trasplante de órgano sólido, enfermedad de injerto contra hospedante (GVHD), penfigoide ampolloso, pénfigo, poliendocrinopatías autoinmunes, espondiloartropatías seronegativas, enfermedad de Reiter, síndrome de persona rígida, arteritis de célula gigante, nefritis de complejo inmune, nefropatía de IgA, polineuropatías de IgM o neuropatía mediada por IgM, púrpura trombocitopénico idiopático (ITP), púrpura trombocitopénico trombótico (TTP), púrpura de Henoch-Schonlein, trombocitopenia autoinmune, enfermedad autoinmune de los testículos y ovarios, que incluye orquitis y ooforitis autoinmune, hipotiroidismo primario; enfermedades endocrinas autoinmunes que incluyen tiroiditis autoinmune, tiroiditis crónica (tiroiditis de Hashimoto), tiroiditis subaquda, hipotiroidismo idiopático, enfermedad de Addison, enfermedad de Grave, síndromes poliglandulares autoinmunes (o síndromes de endocrinopatía poliglandular), diabetes de Tipo I también denominada diabetes mellitus dependiente de insulina (IDDM) y síndrome de Sheehan; hepatitis autoinmune, neumonitis intersticial linfoide (HIV), bronquiolitis obliterans (no trasplante) contra NSIP, Síndrome de Guillain-Barre, vasculitis de vaso grande (que incluye polimialgia reumática y arteritis de célula gigante (de Takayasu)), vasculitis de vaso medio (que incluye enfermedad de Kawasaki y poliarteritis nodosa), espondilitis anquilosante de poliarteritis nodosa (PAN), enfermedad de Berger (nefropatía de IgA), glomerulonefritis de progresión rápida, cirrosis biliar primaria, esprue celiaco (enteropatía de gluten), crioglobulinemia, crioglobulinemia asociada a hepatitis, esclerosis lateral amiotrófica (ELA), enfermedad arterial coronaria, fiebre Mediterránea familiar, poliangiitis microscópica, síndrome de Cogan, síndrome de Whiskott-Aldrich y tromboangiitis obliterans.

La artritis reumatoide (AR) es una enfermedad crónica que se caracteriza por la inflamación de las articulaciones, que conduce a hinchamiento, dolor y pérdida de funciones. Los pacientes que padecen AR durante un periodo de tiempo extendido habitualmente experimentan una destrucción, deformación articular progresiva e incluso una muerte prematura.

La enfermedad de Crohn y una enfermedad relacionada, la colitis ulcerativa, son las dos categorías de enfermedad principales que pertenecen a un grupo de enfermedades denominadas enfermedad inflamatoria del intestino (IBD, del inglés "inflammatory bowel disease"). La enfermedad de Crohn es un trastorno crónico que causa inflamación del tracto digestivo o gastrointestinal (GI). Aunque puede implicar cualquier área del tracto GI desde la boca al ano, lo más habitual es que afecte al intestino delgado y/o al colon. En la colitis ulcerativa, la participación del GI se limita al colon.

La enfermedad de Crohn se puede caracterizar por anticuerpos contra antígenos neutrófilos, esto es, el "anticuerpo anti-neutrófilo perinuclear" (pANCA) y Saccharomyces cervisiae, esto es, el "anticuerpo anti-Saccharomyces cervisiae" (ASCA). Muchos pacientes con colitis ulcerativa tienen el anticuerpo pANCA en su sangre, pero no el anticuerpo ASCA, mientras que muchos pacientes de Crohn presentan anticuerpos ASCA, y no anticuerpos pANCA. Un método para evaluar la enfermedad de Crohn es usar el Índice de Actividad de enfermedad de Crohn (CDAI), basado en 18 puntuaciones de variables predictoras tomadas por médicos. Valores de CDAI de 150 e inferiores se asocian a enfermedad quiescente; valores por encima indican enfermedad activa, y valores por encima de 450 se consideran enfermedad extremadamente grave [Best et al., "Development of a Crohn's disease activity index." Gastroenterology 70: 439-444 (1976)]. Sin embargo, desde el estudio original, algunos investigadores usan un "valor subjetivo" de 200 a 250 como puntuación saludable.

El Lupus Sistémico Eritematoso (SLE) es una enfermedad autoinmune causada por lesiones recurrentes de los vasos sanguíneos en órganos múltiples, que incluyen riñón, piel y articulaciones. En pacientes de SLE, una interacción defectuosa entre células T y células B da como resultado la producción de autoanticuerpos que atacan al núcleo de la célula. Existe un acuerdo general en que los autoanticuerpos son los responsables del SLE, por lo que nuevas terapias que agoten el linaje de células B, permitiendo que el sistema inmunitario se reinicie según se vayan generando nuevas células B a partir de precursores, ofrecerían esperanzas de beneficios de larga duración en pacientes de SLE.

La esclerosis múltiple (EM) también es una enfermedad autoinmune. Se caracteriza por la inflamación del sistema nervioso central y por la destrucción de mielina, lo que aísla fibras de células nerviosas en el cerebro, la médula espinal y el cuerpo. Aunque se desconoce la causa de la EM, está extendida la creencia de que las células T autoinmunes son contribuyentes primarios a la patogénesis de la enfermedad. Sin embargo, en el fluido espinal cerebral de pacientes con EM hay presentes niveles elevados de anticuerpos, y algunas teorías predicen que la respuesta de células B que conduce a producción de anticuerpos es importante para mediar en la enfermedad.

La enfermedad tiroidea autoinmune es el resultado de la producción de autoanticuerpos que estimulan la tiroides para provocar hipertiroidismo (enfermedad de Graves) o que destruyen la tiroides para provocar hipotiroidismo (tiroiditis de Hashimoto). La estimulación de la tiroides está provocada por autoanticuerpos que se unen y activan al receptor de hormona estimulante de tiroides (TSH).La destrucción de la tiroides está provocada por autoanticuerpos que reaccionan con otros antígenos de tiroides.

5

45

50

El síndrome de Sjogren es una enfermedad autoinmune que se caracteriza por la destrucción de las glándulas productoras de humedad del cuerpo.

La púrpura trombocitopénica inmune (ITP) está causada por autoanticuerpos que se unen a plaquetas sanguíneas y provocan su destrucción.

La miastenia Gravis (MG) es un trastorno neuromuscular autoinmune crónico que se caracteriza por autoanticuerpos que se unen a receptores de acetilcolina expresados en las uniones neuromusculares, lo que conduce a debilidad de los grupos musculares voluntarios.

La psoriasis se caracteriza por una inflamación autoinmune de la piel y también está asociada a artritis en el 30% de los casos, escleroderma, enfermedad inflamatoria del intestino, que incluye enfermedad de Crohn y colitis ulcerativa,

también se contempla el tratamiento de miopatía inflamatoria idiopática (IIM), que incluye dermatomiositis (DM) y polimiositis (PM). Las miopatías inflamatorias se han clasificado en categorías usando una serie de esquemas de clasificación. El esquema de clasificación de Miller (Miller, Rheum Dis Clin North Am. 20: 811-826,1994) identifica 2 miopatías inflamatorias idiopáticas (IIM), la polimiositis (PM) y la dermatomiositis (DM).

La polimiositis y la dermatomiositis son enfermedades inflamatorias crónicas debilitantes que afectan a los músculos y, en el caso de la DM, a la piel. Estos trastornos son raros, con una incidencia anual reportada de aproximadamente 5 a 10 casos por millón de adultos y entre 0,6 y 3,2 casos por millón de niños al año en los Estados Unidos (Targoff, Curr Probl Dermatol. 1991, 3: 131-180). La miopatía inflamatoria idiopática está asociada a una morbidez y una mortalidad significativas, con hasta la mitad de los adultos afectados por una discapacidad significativa (Gottdiener et al., Am J Cardiol. 1978, 41: 1141-49). Miller (Rheum Dis Clin North Am. 1994, 20: 811-826 y "Arthritis and Allied Conditions", Cap. 75, Eds. Koopman y Moreland, Lippincott Williams and Wilkins, 2005) establece cinco grupos de criterios usados para diagnosticar la IIM, es decir, la determinación de Criterios de Miopatía Inflamatoria Idiopática (IIMC), que incluye debilidad muscular, evidencia de degeneración en biopsias musculares, elevación de los niveles en suero de enzimas asociadas a músculo, triada electromagnética de miopatía, evidencia de sarpullidos en dermatomiositis, e incluye también la evidencia de autoanticuerpos como criterio secundario.

Los factores asociados a IIM, que incluyen enzimas asociadas a músculo y autoanticuerpos, incluyen, aunque sin limitación, creatina quinasa (CK), lactato deshidrogenasa, aldolasa, proteína C-reactiva, aspartato aminotransferasa (AST), alanina aminotransferasa (ALT) y autoanticuerpo antinuclear (ANA), anticuerpos específicos de miositis (MSA), y anticuerpos de antígenos nucleares extraíbles.

Una "molécula de unión" según la invención puede ser, por ejemplo, una proteína (una "proteína" puede ser un polipéptido o un péptido), un ácido nucleico, un carbohidrato, un lípido, o un compuesto de molécula pequeña que se una a una diana. Un tipo de molécula de unión proteínica contemplada por la invención es un anticuerpo o un fragmento de anticuerpo que retiene la actividad de unión. Una molécula de unión se puede modificar según los métodos estandarizados en la técnica para mejorar su afinidad de unión, disminuir su inmunogenicidad, alterar sus funciones efectoras y/o mejorar su disponibilidad en el cuerpo de un individuo. Dichas modificaciones pueden incluir, por ejemplo, modificaciones de secuencia de aminoácidos o expresión como una proteína de fusión. Dichas proteínas de fusión también son moléculas de unión según la invención. Un ejemplo de molécula de unión para los usos de la invención es un producto inmunofarmacéutico modular pequeño (SMIP™).

Una molécula de unión que es "específica" para una diana se une a dicha diana con una afinidad mayor que a cualquier otra diana. Por ejemplo, una molécula de unión específica a CD37 se une a CD37 con un afinidad mayor que a cualquier otra diana, y una molécula de unión específica a CD20 se une a CD20 con una afinidad mayor que a cualquier otra diana. Las moléculas de unión de la invención pueden tener afinidades por sus dianas con un Ka superior o igual a aproximadamente 10⁴ M⁻¹, preferiblemente superior o igual a aproximadamente 10⁵ M⁻¹ y aún más preferiblemente superior o igual a aproximadamente 10⁶ M⁻¹ y aún más preferiblemente superior o igual a aproximadamente 10⁷ M⁻¹ son aún más preferidas, tal como afinidades iguales o superiores a aproximadamente 10⁷ M⁻¹, aproximadamente 10⁸ M⁻¹, y aproximadamente 10⁹ M⁻¹. Las afinidades de moléculas de unión según la presente invención pueden determinarse fácilmente usando técnicas convencionales, por ejemplo, las descritas por Scatchard et al., Ann. N.Y. Acad. Sci. 51: 660 (1949).

Determinadas moléculas de unión específica a CD37 contempladas por la invención presentan afinidades por CD37 de aproximadamente 0,5 a aproximadamente 10 nM. Determinadas moléculas de unión específica a CD20 contempladas por la invención presentan afinidades por CD20 de aproximadamente 1 a aproximadamente 30 nM.

Otra característica de determinadas moléculas de unión a CD37 y de moléculas de unión a CD20 contempladas por la invención es que presentan una vida media en circulación de aproximadamente 7 a aproximadamente 30 días.

Los anticuerpos específicos de CD37 que caracterizaron el antígeno CD37 en el "Thrid HLDA Workshop" fueron HD28, G28-1, HH1, BI14, WR17 y F93G6. Véase, Ling y MacLennan, pág. 302-335 en Leucocyte Typing III. White Cell Differentiation Antigens, Oxford University Press (1987). Otros anticuerpos específicos de CD37 que han sido descritos incluyen RFB-7, Y29/55, MB-1, M-B371, M-B372 e IPO-24. Véase, Moldenhaurer, J. Biol., Regul. Homeost. Agents, 14: 281-283 (2000), que establece que todos estos anticuerpos reconocen solo un epítopo de CD37. Schwartz-Albiez et al., 14: 905-914 (1988) indican que el epítopo está situado en el resto de carbohidrato de la CD37. Otro anticuerpo específico de CD37 es S-B3 (Biosys).

Las patentes y publicaciones de patente que describen anticuerpos de CD20 incluyen las Patentes de EE.UU. Nº 10 5.776.456, 5.736.137, 6.399.061 y 5.843.439, así como las solicitudes de patente de EE.UU. Nº US 2002/0197255A1 y US 2003/0021781A1 (Anderson et al.); la Pat. de EE.UU. Nº 6.455.043B1 y WO00/09160 (Grillo-Lopez, A.); WO00/27428 (Grillo-Lopez y White); WO00/27433 (Grillo-Lopez y Leonard); WO00/44788 (Braslawsky et al.); WO01/10462 (Rastetter, W.); WO01/10461 (Rastetter y White); WO01/10460 (White y Grillo-Lopez); solicitud de patente de EE.UU. Nº US2002/0006404 y WO02/04021 (Hanna y Hariharan); solicitud de patente de EE.UU. Nº 15 US2002/0012665 A1 y WO01/74388 (Hanna, N.); solicitud de patente de EE.UU. № US2002/0009444A1, y WO01/80884 (Grillo-Lopez, A.); WO01/97858 (White, C.); solicitud de patente de EE.UU. No US2002/0128488A1 y WO02/34790 (Reff, M.); WO02/060955 (Braslawsky et al.); WO02/096948 (Braslawsky et al.); WO02/079255 (Reff y Davies); Patente de EE.UU. Nº 6.171.586B1, y WO98/56418 (Lam et al.); WO98/58964 (Raju, S.); WO99/22764 (Raju, S.); WO99/51642, Patente de EE.UU. Nº 6.194.551B1, Patente de EE.UU. Nº 6.242.195B1, Patente de 20 EE.UU. Nº 6.528.624B1 y Patente de EE.UU. Nº 6.538.124 (Idusogie et al.); WO00/42072 (Presta, L.); WO00/67796 (Curd et al.); WO01/03734 (Grilio-Lopez et al.); solicitud de patente de EE.UU. № US 2002/0004587A1 y WO01/77342 (Miller y Presta); solicitud de patente de EE.UU. Nº US2002/0197256 (Grewal, I.); Patentes de EE.UÚ. N° 6.090.365B1, 6.287.537B1, 6.015.542, 5.843.398 y 5.595.721, (Kaminski et al.); Patentes de EE.UU. N° 5.500.362, 5.677.180, 5.721.108 y 6.120.767 (Robinson et al.); Patente de EE.UU. N° 6.410.391B1 (Raubitschek et 25 al.); Patente de EE.UU. Nº 6.224.866B1 y WO00/20864 (Barbera-Guillem, E.); WO01/13945 (Barbera-Guillem, E.); WO00/67795 (Goldenberg); WO00/74718 (Goldenberg y Hansen); WO00/76542 (Golay et al.); WO01/72333 (Wolin y Rosenblatt); Patente de EE.UU. No 6.368.596B1 (Ghetle et al.); solicitud de patente de EE.UU. No US2002/0041847A1, (Goldenberg, D.); solicitud de patente de EE.UU. Nº US2003/0026801A1 (Weiner y Hartmann); WO02/102312 (Engleman, E.). Véase también, patente de EE.UU. Nº 5.849.898 y solicitud de patente EP Nº 30 330.191 (Seed et al.); patente de EE.UU. Nº 4.861.579 y EP332.865A2 (Meyer y Weiss); y WO95/03770 (Bhat et

El rituximab ha sido aprobado para uso clínico en humanos como Rituxan®. Se considera que el Rituxan® es una molécula de unión específica a CD20 de la invención.

Se considera que los productos inmunofarmacéuticos modulares pequeños (SMIPs) son un tipo de moléculas de unión de la invención. Los métodos para preparar SMIPs han sido descritos previamente en la solicitud de patente de EE.UU. nº 10/627.556 y en las Publicaciones de Patente de EE.UU. 20030133939, 20030118592 y 20050136049. Los SMIPs son nuevas proteínas de fusión de inmunoglobulina-dominio de unión que generalmente presentan un dominio de unión para una estructura semejante tal como un antígeno, un contrarreceptor o similar, un polipéptido de región de bisagra de IgG1, IGA o IgE, o un polipéptido de región de bisagra de IgG1 mutante que tiene cero, uno o dos residuos de cisteína, y dominios de inmunoglobulina CH2 y CH3. En una realización, la molécula de dominio de unión tiene uno o dos residuos de cisteína (Cys) en la región de bisagra. En una realización relacionada, cuando la molécula de dominio de unión comprende dos residuos Cys, la primera Cys, que participa en la unión entre la cadena pesada y la cadena ligera, no es eliminada o sustituida por un aminoácido.

Se contempla que el dominio de unión de moléculas útiles en los métodos de la invención tenga una o más regiones de unión, tal como regiones de unión de cadena ligera variable y regiones de unión de cadena pesada derivadas de uno o más miembros de la superfamilia de las inmunoglobulinas, tal como una inmunoglobulina. Además, estas regiones están separadas habitualmente por péptidos de enlace, que pueden ser cualquier péptido de enlace conocido en la técnica que sea compatible con el dominio o región que participe en la unión dentro de una molécula de unión. Los ejemplos de enlaces son ligandos basados en la estructura de ligando Gly₄Ser, tal como (Gly₄Ser)n, donde n=1-5. Las moléculas para uso en los métodos de la invención también contienen suficiente secuencia de aminoácido derivada de una región constante de una inmunoglobulina para proporcionar una función efectora, preferiblemente ADCC y/o CDC. Por tanto, las moléculas tendrán una secuencia derivada de un dominio CH2 de una inmunoglobulina o dominios CH2 y CH3 derivados de una o más inmunoglobulinas. Los SMIPs tienen capacidad para ADCC y/o CDC, pero su capacidad para formar multímeros enlazados por puentes de disulfuro está comprometida.

La descripción incluye polipéptidos de SMIP específicos de CD37 humanizados que exhiben una identidad de al menos el 80 por ciento con respecto al polipéptido establecido en la SEQ ID NO: 2, donde el polipéptido de SMIP específico de CD37 humanizado se une a CD37. En un aspecto, los polipéptidos de SMIP específicos de CD37 humanizados comprenden cualquier secuencia de aminoácidos seleccionada del grupo que consiste en las SEQ ID NOS: 48 y 52. En otro aspecto, los polipéptidos de SMIP específicos de CD37 humanizados comprenden al menos

60

una modificación de aminoácido en una región determinante de la complementariedad (CDR) seleccionada del grupo que consiste en: CDR1 de cadena ligera, CDR1 de cadena pesada, CDR2 de cadena ligera, CDR2 de cadena pesada, CDR3 de cadena ligera y CDR3 de cadena pesada.

En una realización, la descripción incluye un polipéptido de SMIP específico de CD37 humanizado, donde la CDR1 de la cadena ligera comprende la secuencia de aminoácidos de la SEQ ID NO: 61 (RASENVYSYLA). La descripción también incluye un polipéptido de SMIP específico de CD37 humanizado, donde la CDR1 de la cadena ligera comprende la secuencia de aminoácidos de la SEQ ID NO: 62 (RTSENVYSYLA). La invención además incluye un polipéptido de SMIP específico de CD37 humanizado, donde la CDR1 de la cadena pesada comprende la secuencia de aminoácidos de la SEQ ID NO: 63 (GYNMN).

5

25

30

35

40

45

50

55

60

- En otra realización, la invención incluye un polipéptido de SMIP específico de CD37 humanizado, donde la CDR2 de la cadena ligera comprende la secuencia de aminoácidos de la SEQ ID NO: 64 (FAKTLAE). La invención también incluye un polipéptido de SMIP específico de CD37 humanizado, donde la CDR2 de la cadena pesada comprende la secuencia de aminoácidos de la SEQ ID NO: 65 (NIDPYYGGTTYNRKFKG).
- En una realización adicional, la invención incluye un polipéptido de SMIP específico de CD37 humanizado, donde la CDR3 de la cadena ligera comprende la secuencia de aminoácidos de la SEQ ID NO: 66 (QHHSDNPWT). La invención además incluye un polipéptido de SMIP específico de CD37 humanizado, donde la CDR3 de la cadena pesada comprende la secuencia de aminoácidos de la SEQ ID NO: 67 (SVGPFDY). La invención además incluye un polipéptido de SMIP específico de CD37 humanizado, donde la CDR3 de la cadena pesada comprende la secuencia de aminoácidos de la SEQ ID NO: 68 (SVGPFDS). La descripción también incluye un polipéptido de SMIP específico de CD37 humanizado, donde la CDR3 de la cadena pesada comprende la secuencia de aminoácidos de la SEQ ID NO: 69 (SVGPMDY).
 - En otro aspecto, la descripción incluye un polipéptido de SMIP específico de CD37 humanizado que comprende al menos uno, al menos dos o al menos tres secuencia(s) de las secuencias de aminoácidos de CDR de cadena ligera seleccionadas del grupo que consiste en las SEQ ID NOS: 61, 62, 64 y 66. En otra realización, la descripción incluye un polipéptido de SMIP específico de CD37 humanizado que comprende una secuencia de aminoácidos de CDR1 de cadena ligera de SEQ ID NOS: 61 ó 62, o una variante de las mismas en la que uno o dos aminoácidos de SEQ ID NOS: 61 ó 62 ha sido cambiado; una secuencia de aminoácidos de CDR2 de cadena ligera de SEQ ID NO: 64, o una variante de la misma en la que uno o dos aminoácidos de SEQ ID NO: 64 ha sido cambiado; y una secuencia de aminoácidos de CDR3 de cadena ligera de SEQ ID NO: 66, o una variante de la misma en la que uno o dos aminoácidos de SEQ ID NO: 66 ha sido cambiado.
 - En otro aspecto adicional, la descripción incluye un polipéptido de SMIP específico de CD37 humanizado que comprende al menos uno, al menos dos o al menos tres de las secuencias de aminoácidos de CDR de cadena pesada seleccionadas del grupo que consiste en las SEQ ID NOS: 63, 65 y 67-69. En una realización adicional, la descripción incluye un polipéptido de SMIP específico de CD37 humanizado que comprende una secuencia de aminoácidos de CDR1 de cadena pesada de SEQ ID NO: 63 , o una variante de la misma en la que uno o dos aminoácidos de SEQ ID NO: 63 ha sido cambiado; una secuencia de aminoácidos de CDR2 de cadena pesada de SEQ ID NO: 65 , o una variante de la misma en la que uno o dos aminoácidos de SEQ ID NO: 65 ha sido cambiado; y una secuencia de aminoácidos de CDR3 de cadena pesada seleccionada del grupo que consiste en SEQ ID NOS: 67-69, o una variante de las mismas en la que uno o dos aminoácidos de una cualquiera de SEQ ID NOS: 67-69 han sido cambiados.
 - La descripción también incluye polipéptidos de SMIP específicos de CD37 humanizados que comprenden al menos una modificación de aminoácido en una región estructural (FR) seleccionada del grupo que consiste en: FR1 de cadena ligera, FR1 de cadena pesada, FR2 de cadena ligera, FR2 de cadena pesada, FR3 de cadena ligera, FR3 de cadena pesada, FR4 de cadena ligera y FR4 de cadena pesada. En una realización, la invención incluye un polipéptido de SMIP específico de CD37 humanizado, donde la primera región estructural (FR1) de la cadena ligera comprende la secuencia de aminoácidos de la SEQ ID NO: 70 (EIVLTQSPATLSLSPGERATLSC). En otra realización, la invención incluye un polipéptido de SMIP específico de CD37 humanizado, donde la FR1 de la cadena comprende secuencia aminoácidos de de la SEQ (EVQLVQSGAEVKKPGESLKISCKGSGYSFT). En otra realización adicional, la descripción incluye un polipéptido de SMIP específico de CD37 humanizado, donde la FR2 de la cadena ligera comprende la secuencia de aminoácidos de la SEQ ID NO: 72 (WYQQKPGQAPRLLIY). En una realización adicional, la descripción incluye un polipéptido de SMIP específico de CD37 humanizado, donde la FR2 de la cadena pesada comprende la secuencia de aminoácidos de la SEQ ID NO: 73 (WVRQMPGKGLEWMG). En otra realización adicional, la descripción incluye un polipéptido de SMIP específico de CD37 humanizado, donde la FR3 de la cadena ligera comprende la secuencia de aminoácidos de la SEQ ID NO: 74 (GIPARFSGSGSGTDFTLTISSLEPEDFAVYYC). En otra realización adicional, la descripción incluye un polipéptido de SMIP específico de CD37 humanizado, donde la FR3 de la cadena pesada comprende la secuencia de aminoácidos de la SEQ ID NO: 75 (QVTISADKSISTAYLQWSSLKASDTAMYYCAR). En otra realización adicional, la descripción incluye un polipéptido de SMIP específico de CD37 humanizado, donde la FR4 de la cadena ligera comprende la secuencia de aminoácidos de la SEQ ID NO: 76 (FGQGTKVEIK). En otra realización adicional, la descripción incluye un polipéptido de SMIP específico de CD37 humanizado, donde la FR4 de la cadena pesada comprende la secuencia de aminoácidos de la SEQ ID NO: 77 (WGQGTLVTVSS). En otra

realización adicional, la descripción incluye un polipéptido de SMIP específico de CD37 humanizado, donde la FR4 de la cadena pesada comprende la secuencia de aminoácidos de la SEQ ID NO: 78 (WGQGTLVTVSS).

La descripción incluye además polipéptidos de SMIP específicos de CD37 humanizados que comprende al menos uno, al menos dos o al menos tres secuencia(s) de las secuencias de aminoácidos de FR de cadena ligera seleccionadas del grupo que consiste en las SEQ ID NOS: 70, 72, 74 y 76. En una realización, la descripción incluye un polipéptido de SMIP específico de CD37 humanizado que comprende una secuencia de aminoácidos de FR1 de cadena ligera de SEQ ID NO: 70, o una variante de la misma en la que uno o dos aminoácidos de SEQ ID NO: 70 ha sido cambiado; una secuencia de aminoácidos de FR2 de cadena ligera de SEQ ID NO: 72, o una variante de la misma en la que uno o dos aminoácidos de FR3 de cadena ligera de SEQ ID NO: 74, o una variante de la misma en la que uno o dos aminoácidos de SEQ ID NO: 74 ha sido cambiado; y una secuencia de aminoácidos de FR4 de cadena ligera de SEQ ID NO: 76, o una variante de la misma en la que uno o dos aminoácidos de SEQ ID NO: 76 ha sido cambiado.

5

10

15

20

40

45

Adicionalmente, la descripción incluye polipéptidos de SMIP específicos de CD37 humanizados que comprende al menos uno, al menos dos o al menos tres secuencia(s) de las secuencias de aminoácidos de FR de cadena pesada seleccionadas del grupo que consiste en las SEQ ID NOS: 71, 73, 75, 77 y 78. En una realización, la descripción incluye un polipéptido de SMIP específico de CD37 humanizado que comprende una secuencia de aminoácidos de FR1 de cadena pesada de SEQ ID NO: 71, o una variante de la misma en la que uno o dos aminoácidos de SEQ ID NO: 71 ha sido cambiado; una secuencia de aminoácidos de FR2 de cadena pesada de SEQ ID NO: 73, o una variante de la misma en la que uno o dos aminoácidos de FR3 de cadena pesada de SEQ ID NO: 75, o una variante de la misma en la que uno o dos aminoácidos de SEQ ID NO: 75 ha sido cambiado; y una secuencia de aminoácidos de FR4 de cadena pesada de SEQ ID NOS: 77 ó 78, o una variante de las mismas en la que uno o dos aminoácidos de SEQ ID NOS: 77 ó 78, o una variante de las mismas en la que uno o dos aminoácidos de SEQ ID NOS: 77 ó 78 ha sido cambiado:

La descripción también incluye una molécula de ácido nucleico aislada que comprende una secuencia de nucleótidos que codifica un polipéptido de SIMP específico de CD37 humanizado que presenta una identidad de al menos el 80 por ciento con respecto al polipéptido establecido en la SEQ ID NO: 2, donde el polipéptido de SMIP específico de CD37 humanizado se une a CD37. Dicha molécula de ácido nucleico aislada puede comprender una secuencia de nucleótidos seleccionada del grupo que consiste en: SEQ ID NOS: 5, 7, 9, 11, 13, 15, 17, 19, 21, 23, 25, 27, 29, 31, 33, 35, 37, 39, 41, 43, 45, 47, 49, 51, 53, 55, 57, 59, 79, 81, 83, 85 y 87. En una realización, la invención incluye vectores que comprenden dichas moléculas de ácido nucleico y células hospedantes que comprenden los vectores.

La descripción también incluye procesos para producir los polipéptidos descritos en la presente memoria, que comprenden cultivar las células hospedantes en condiciones adecuadas para expresar el polipéptido, y opcionalmente aislar los polipéptidos del cultivo.

En otro aspecto adicional, la invención incluye composiciones que comprenden los polipéptidos de SMIP específicos de CD37 humanizados de la invención y un vehículo farmacéuticamente aceptable.

La descripción incluye además el uso de los SMIP específicos de CD37 y de las moléculas de unión específica a CD37 descritas en la presente memoria en cualquiera de los métodos de la invención. Dichos métodos incluyen el uso de cualquiera de los SMIP específicos de CD37 y de las moléculas de unión específica a CD37 que comprenden una secuencia de aminoácidos seleccionada del grupo que consiste en las SEQ ID NOS: 6, 8, 10, 12, 14, 16, 18, 20, 22, 24, 26, 28, 30, 32, 34, 36, 38, 40, 42, 44, 46, 48, 50, 52, 54, 56, 58, 60, 80, 82, 84, 86 y 88.

En otro aspecto adicional, la descripción incluye kits para reducir células B que comprende las composiciones de la invención; y protocolos para usar los kits para reducir células B. Dichos kits pueden comprender además una o más molécula(s) de unión específica a CD20. La invención contempla que dicha molécula de unión específica a CD20 sea TRU-015.

La descripción también incluye polipéptidos de SMIP específicos de CD37 humanizados que comprenden una CDR1, una CDR2 y una CDR3, que presentan una identidad de al menos el 80 por ciento con respecto al polipéptido establecido en la SEQ ID NO: 2. Dichos polipéptidos de SMIP específicos de CD37 pueden comprender adicionalmente un dominio estructural humano que separa la CDR1, la CDR2 y la CDR3.

En otro aspecto, la descripción incluye un polipéptido de SMIP específico de CD37 humanizado que exhibe una identidad de al menos el 80 por ciento con respecto al polipéptido establecido en la SEQ ID NO: 2, donde el polipéptido de SMIP específico de CD37 humanizado se une a CD37 y comprende un polipéptido de región de bisagra que comprende una secuencia de aminoácidos seleccionada del grupo que consiste en las SEQ ID NOS: 90, 92, 94, 96, 98, 100, 102, 104, 106, 108 110, 112, 114, 115, 116, 118, 120, 122, 124, 126 y 127.

La descripción también contempla un polipéptido de SMIP específico de CD37 humanizado que exhibe una identidad de al menos el 80 por ciento con respecto al polipéptido establecido en la SEQ ID NO: 2, donde el polipéptido de SMIP específico de CD37 humanizado se une a CD37 y comprende un ligando que comprende (Gly4Ser)_n, donde n es 1, 2, 3, 4, 5 ó 6.

En otro aspecto adicional, la descripción incluye un polipéptido de SMIP específico de CD37, donde la CDR1 de la cadena ligera comprende la secuencia de aminoácidos seleccionada del grupo que consiste en las SEQ ID NOS: 128 (RTSQNVYSYLA), 129 (RTSESVYSYLA), 130 (RASQSVYSYLA), 131 (RASQSVSSYLA) y 132 (RASQSVSYYLA). En otra realización, la invención incluye un polipéptido de SMIP específico de CD37, donde la CDR1 de la cadena pesada comprende la secuencia de aminoácidos seleccionada del grupo que consiste en las SEQ ID NOS: 133 (SYMNM) y 134 (SYWIG). En una realización adicional, la invención incluye un polipéptido de SMIP específico de CD37, donde la CDR2 de la cadena ligera comprende la secuencia de aminoácidos seleccionada del grupo que consiste en las SEQ ID NOS: 135 (AASSLQS), 136 (GASTRAT) y 137 (DASNRAT). En otra realización adicional, la invención incluye un polipéptido de SMIP específico de CD37, donde la CDR2 de la cadena pesada comprende la secuencia de aminoácidos seleccionada del grupo que consiste en las SEQ ID NOS: 138 (IIYPGDSDTRYSPSFQG) y 139 (RIDPSDSYTNYSPSFQG).

10

15

20

25

30

35

40

45

50

55

60

La descripción también incluye un polipéptido de SMIP específico de CD37 humanizado, donde la CDR3 de la cadena ligera comprende la secuencia de aminoácidos de la SEQ ID NO: 220 (QHHSDNPWT). En otra realización, la descripción incluye un polipéptido de SMIP específico de CD37, donde la CDR3 de la cadena pesada comprende la secuencia de aminoácidos seleccionada del grupo que consiste en las SEQ ID NOS: 211 (SVGPMDY), 212 (SVGPFDY), 213 (SVGPMDV), 214 (SVGPFDS), 215 (SVGPFDP), 216 (SVGPFQH), 217 (SVGPFDV), 218 (SVGPFDI) y 219 (SVGPFDL).

En un aspecto adicional, la descripción incluye polipéptidos de SMIP específicos de CD37 con regiones estructurales alternativas. En un aspecto, la descripción incluye un polipéptido de SMIP específico de CD37, donde la FR1 de la cadena ligera comprende la secuencia de aminoácidos seleccionada del grupo que consiste en las SEQ ID NOS: 170-181. En otra aspecto, la descripción incluye un polipéptido de SMIP específico de CD37, donde la FR1 de la cadena pesada comprende la secuencia de aminoácidos seleccionada del grupo que consiste en las SEQ ID NOS: 140-146. En otro aspecto adicional, la descripción incluye un polipéptido de SMIP específico de CD37, donde la FR2 de la cadena ligera comprende la secuencia de aminoácidos seleccionada del grupo que consiste en las SEQ ID NOS: 182-193. En otra aspecto más, la descripción incluye un polipéptido de SMIP específico de CD37, donde la FR2 de la cadena pesada comprende la secuencia de aminoácidos seleccionada del grupo que consiste en las SEQ ID NOS: 147-153. En un aspecto adicional, la descripción incluye un polipéptido de SMIP específico de CD37, donde la FR3 de la cadena ligera comprende la secuencia de aminoácidos seleccionada del grupo que consiste en las SEQ ID NOS: 194-205. En otra aspecto más, la descripción incluye un polipéptido de SMIP específico de CD37, donde la FR3 de la cadena pesada comprende la secuencia de aminoácidos seleccionada del grupo que consiste en las SEQ ID NOS: 154-160. En un aspecto adicional, la descripción incluye un polipéptido de SMIP específico de CD37, donde la FR4 de la cadena ligera comprende la secuencia de aminoácidos seleccionada del grupo que consiste en las SEQ ID NOS: 206-210. En otra aspecto más, la descripción incluye un polipéptido de SMIP específico de CD37, donde la FR4 de la cadena pesada comprende la secuencia de aminoácidos seleccionada del grupo que consiste en las SEQ ID NOS: 161-169.

Los ejemplos de SMIPs específicos de CD37 útiles en la descripción incluyen, aunque sin limitación: G28-1 scFv (SSS-S) H WCH2 WCH3, consiste en un Fv de cadena sencilla de G28-1 en el que los tres residuos de cisteína de las regiones de conexión o de bisagra se han mutado a residuos de serina, y dominios CH2 y CH3 naturales; G28-1 scFv IgAH WCH2 WCH3, que comprende una bisagra de IgA y dominios de IgG1 naturales (WT, del inglés "wildtype"); G28-1 scFv VHL11S (SSS-S) H WCH2 CH3 en el que los tres residuos de cisteína de las regiones de conexión y de bisagra se han mutado a residuos de serina y la leucina de la posición 11 de la región variable de cadena pesada se ha sustituido por una serina; G28-1 scFv VH L11S (CSS-S) H WCH2 CH3, en el que los residuos de cisteína fueron sustituidos en la segunda y tercera posiciones por serina; G28-1 scFv VHL11S (CSC-S) H WCH2 CH3, en el que los residuos de cisteína fueron sustituidos en la segunda posición por serina; G28-1 scFv VH11S (SSC-P) H WCH2 WCH3 (denominado en la presente memoria TRU-016), en el que el primer y el segundo residuos de cisteína de las regiones de conexión y de bisagra han sido mutados a residuos de serina, y la leucina de la posición 11 de la región variable de cadena pesada ha sido sustituida por una serina; G28-1 scFv VH11S (SCS-S) H WCH2 WCH3, en el que el primer y el tercer residuos de cisteína de las regiones de bisagra han sido mutados a residuos de serina; G28-1 scFv VHL11S (CCS-P) H WCH2 WCH3, en el que el tercer residuo de cisteína de la región de bisagra ha sido sustituido por una serina; G28-1 scFv VHL11S (SCC-P) H WCH2 WCH3, en el que la primera cisteína ha sido sustituida por una serina; G28-1 scFv VH L11S mlgE CH2 CH3 CH4, que comprende las regiones CH 2-4 de IgE de ratón en las que la leucina de la posición 11 de la región variable de cadena pesada ha sido sustituida por una serina; G28-1 scFv VH L11S mlgA WlgACH2 T4CH3, que comprende una bisagra de IgA de ratón con un CH2 de IgA natural y un dominio CH3 de IgA truncado que carece de los aminoácidos carboxiterminales GTCY; G28-1 scFv VHL11S hIgE CH2 CH3 CH4, que comprende regiones CH de IgE en las que la leucina de la posición 11 de la región variable de cadena pesada ha sido sustituida por una serina; y G28-1 scFv VHL11S hlgAH WlgACH2 TCH3, que comprende una bisagra de IgA, un CH2 de IgA natural y un CH2 de IgA truncado y un dominio CH3 de IgA truncado que carece de los aminoácidos carboxi GTCY.

Los ejemplos de SMIPs específicos de CD20 útiles en la descripción incluyen los SMIPs derivados del anticuerpo monoclonal anti-CD20 2H7 descrito en las Publicaciones de Patente de EE.UU. 2003133939 y 20030118592. Los SMIPs incluyen 2H7scFv-lg o un derivado suyo. Los derivados incluyen CytoxB-MHWTG1C, que es un dominio de Fc de IgG1 humana y un dominio de bisagra de IgG1 mutante; El CytoxB-MHMG1C, que comprende un dominio Fc mutado; el MG1H/MG1C, que comprende un receptor Fc con un residuo de leucina 234 mutado; el CytoxB-

IgAHWTHG1C, que comprende una porción de la bisagra de IgA humana fusionada a dominio Fc humano natural; el 2H7 scFv-llama IgG1, que comprende la bisagra de llama IgG1 y regiones CH2CH3, el 2H7 scFv-llama IgG2, que comprende la bisagra llama IgG2 y regiones CH2CH3; el 2H7 scFv-llama IgG3, que comprende la bisagra llama IgG3 y regiones CH2CH3.

- El 2H7 scFv MTH (SSS) WTCH2CH3, en el que los tres residuos de cisteína de las regiones de conexión o de bisagra están mutados a residuos de serina, y los dominios naturales CH2 y CH3; el 2H7 scFv MTH (SSC), en el que los dos primeros residuos de cisteína se sustituyeron por residuos de serina; el 2H7 scFv MTH (SCS), en el que la primera y tercera cisteínas se sustituyeron por residuos de serina; el 2H7 scFv MTH (CSS) WTCH2CH3, en el que los residuos de cisteína se sustituyeron en la segunda y tercera posiciones por serina; el 2H7 scFv VH11SER IgG MTH (SSS) WTCH2CH3, en el que la leucina de la posición 11 de la región variable de cadena pesada está sustituida por serina; El 2H7 scFv IgA hinge-IgG1 CH2-CH3, que comprende una región de bisagra (en inglés "hinge") de IgA y dominios de IgG1 WT. El 2H7 scFv IgA hinge-CH2-CH3, que comprende regiones de bisagra de IgA y CH2-3; El 2H7 IgAWH IgACH2-T4CH3, que comprende una bisagra de IgA, un CH2 de IgA natural y un dominio CH3 de IgA truncado que carece de los 4 aminoácidos carboxi GTCY.
- Los derivados con mutaciones en la región CH3 de IgG incluyen 2H7 scFv MTH WTCH2 MTCH3 Y405, en el que el residuo de fenilalanina de la posición 405 (numeración según Kabal et al., ver anterior) se ha sustituido por tirosina; 2H7 scFv MTH WTCH2 MTCH3 A405, en el que la fenilalanina de la posición 405 se ha sustituido por una alanina; scFv MTH WTCH2 MTCH3 A407, en el que el residuo de tirosina de la posición 407 se ha sustituido por una alanina; scFv MTH WTCH2 MTCH3 Y405A407, que comprende las dos mutaciones; y scFv MTH WTCH2 MTCH3 A405A407 que comprende dos mutaciones.
 - 2H7 scFv MTH (CCS) WTCH2CH3 es una construcción en la que el tercer residuo de cisteína de la región de bisagra de IgG1 se ha sustituido por un residuo de serina. El SMIP 2H7 scFv IgG MTH (SSS) MTCH2WTCH3 comprende una bisagra mutante (MT (SSS)) y un dominio CH2 mutante en el que el residuo 238 (según Ward et al.) ha sido sustituido por una serina.
- 25 Los derivados de 2H7scFv-Ig también incluyen mutantes de scFv 2H7 con mutaciones puntuales en la región de cadena variable pesada. Las siguientes construcciones comprenden todas mutaciones en las que la leucina de la posición 11 de la región variable de cadena pesada se ha sustituido por serina: 2H7 scFv VH11SER IgG MTH (SSS-S) WTCH2CH3, 2H7scFv VHL11S (CSS-S) H WCH2 WCH3, que comprende una región de bisagra mutada como se ha indicado antes; 2H7scFv VHL11S (CSC-S) H WCH2 WCH3 que comprende una región de bisagra mutada como 30 se ha indicado antes; 2H7 scFv VHL11S IgAH IgACH2 T4CH3, comprende la bisagra de IgA, CH2 de IgA WT y CH3 de IgA truncado; 2H7 scFv VHL11 S IgECH2 CH3 CH4, que comprende las regiones CH 2-4 de IgE; 2H7 VHL11S scFv (SSS-S) IgECH3CH4, que comprende una región de bisagra mutada y las regiones CH3 y CH4 de IgE; 2H7 scFv VH L11S mlgE CH2 CH3 CH4, que comprende regiones de lgE de ratón; 2H7 scFv VH L11S mlgAH WIGACH2 T4CH3 comprende las mutaciones descritas anteriormente y una región constante de IgA de ratón que consiste en una región de CH2 natural y una región de CH3 mutada; 2H7 scFv VH L11S (SSS-S) H K322S CH2 WCH3 35 comprende una mutación en la región de CH2 de IgG1 humana en el residuo 322, donde la lisina se ha cambiado por serina; 2H7 scFv VH L11 S (CSS-S) H K322S CH2 WCH3 comprende una región de bisagra mutada como se ha descrito anteriormente, y una región de CH2 mutada como se ha descrito previamente; 2H7 scFv VH L11S (SSS-S) H P331S CH2 WCH3, comprende una región de bisagra mutada como se ha descrito anteriormente, y una región 40 CH2 mutada en la que la prolina del residuo 331 se ha cambiado por una serina; 2H7 scFv VH L11S (CSS-S) H P331S CH2 WCH3 comprende una región de bisagra mutada y una mutación de prolina a serina en el residuo 331 de la región CH2; 2H7 scFv VH L11S (SSS-S) H T256N CH2 WCH3, comprende una región de bisagra mutada y una mutación de treonina a asparagina en el residuo 256 de la región CH2; 2H7 scFv VH L11S (SSS-S) H RTPE/QNAK (255-258) CH2 WCH3, comprende una región de bisagra mutada y una serie de mutaciones en la que los residuos 255-258 han sido mutados de arginina, treonina, prolina, ácido glutámico a glutamina, asparaginas, 45 alanina y lisina, respectivamente; 2H7 scFv VH L11S (SSS-S) H K290Q CH2 WCH3, comprende una región de bisagra mutada y un cambio de lisina a glutamina en la posición 290; 2H7 scFv VH L11 S (SSS-S) H A339P CH2 WCH3, comprende una región de bisagra mutada y un cambio de alanina por prolina en la posición 339; el SMIP 2H7 scFv (SSS-S) H P238SCH2 WCH3, comprende una región de bisagra mutada y un cambio de prolina a serina en la posición 238 en CH2, que es el mismo que 2H7 scFv IgG MTH (SSS) MTCH2WTCH3. 2H7 scFv IgAH 50 IGAHCH2 T18CH3 comprende una bisagra de IgA natural y una región CH2 y una región CH3 con un truncamiento de 18 aminoácidos en el extremo carboxi.

Una molécula de unión de la descripción puede comprender un dominio extracelular nativo o modificado por ingeniería de otra proteína que mejore la actividad de la molécula de unión. En una realización, el dominio extracelular se selecciona del grupo que consiste en CD154 y CTLA4.

55

60

Una "combinación sinérgica" de moléculas de unión específicas de CD37 y moléculas de unión específicas de CD20 es una combinación que tiene un efecto que es mayor que la suma de los efectos de las moléculas de unión cuando se administran solas.

En un aspecto de los usos de la invención, las moléculas de unión se administran en una o más composiciones farmacéuticas. Para administrar las moléculas de unión a humanos o animales de ensayo, es preferible formular las

moléculas de unión en una composición que comprenda uno o más vehículos farmacéuticamente aceptables. La frase "farmacéuticamente o farmacológicamente aceptable" se refiere a entidades moleculares y composiciones que no producen reacciones alérgicas, o adversas de otro tipo, cuando se administran usando rutas bien conocidas en la técnica, tal como se describe más adelante. Los "vehículos farmacéuticamente aceptables" incluyen cualquiera y todos los disolventes útiles clínicamente, medidos de dispersión, recubrimientos, agentes antibacterianos y antifúngicos, agentes isotónicos y de retardo de absorción, y otros similares.

Además, los compuestos pueden formar solvatos con agua o disolventes orgánicos comunes. Dichos solvatos también son contemplados.

Las composiciones de molécula de unión pueden administrarse oralmente, tópicamente, transdermalmente, parenteralmente, mediante aerosol para inhalación, vaginalmente, rectalmente o por inyección intracraneal. El término parenteral tal como se usa en la presente memoria incluye inyecciones subcutáneas, intravenosas, intramusculares, inyección intracisternal, o técnicas de infusión. También se contempla la administración por inyección intravenosa, intradermal, intramuscular, intramamaria, intraperitoneal, intratecal, retrobulbar, intrapulmonar y por implante quirúrgico en un sitio particular. Generalmente, las composiciones están esencialmente libres de pirógenos, así como de otras impurezas que podrían ser dañinas para el receptor. Se prefiere la inyección, especialmente intravenosa.

Las composiciones farmacéuticas de la presente invención que contienen moléculas de unión usadas de acuerdo a la invención pueden contener vehículos o aditivos farmacéuticamente aceptables dependiendo de la ruta de administración. Los ejemplos de dichos vehículos o aditivos incluyen agua, un disolvente orgánico farmacéuticamente aceptable, polivinil alcohol, polivinilpirrolidona, un polímero de carboxivinilo, carboximetilcelulosa sódica, poliacrílico sódico, alginato sódico, dextrano soluble en agua, carboximetil almidón sódico, pectina, metilcelulosa, etilcelulosa, goma de xantano, goma arábiga, caseína, gelatina, agar, diglicerina, glicerina, propilenglicol, polietilenglicol, vaselina, parafina, alcohol de estearilo, ácido esteárico, albúmina de suero humana (HSA), manitol, sorbitol, lactosa, un tensioactivo farmacéuticamente aceptable, y otros similares. Los aditivos usados se eligen, sin limitación, entre los anteriores o combinaciones de los mismos, según sea apropiado, dependiendo de la forma de dosis de la presente invención.

20

25

30

35

40

55

La formulación de la composición farmacéutica variará según la ruta de administración seleccionada (p.ej., disolución, emulsión). Una composición apropiada que comprende el anticuerpo a administrar se puede preparar en un vehículo o portador fisiológicamente aceptable. Para disoluciones o emulsiones, los vehículos adecuados incluyen, por ejemplo, disoluciones, emulsiones o suspensiones acuosas o alcohólicas/acuosas, que incluyen medio salino y tamponado. Los vehículos parenterales pueden incluir disolución de cloruro sódico, dextrosa de Ringer, dextrosa y cloruro sódico, aceite de Ringer lactado o aceites fijos. Los vehículos intravenosos pueden incluir diversos aditivos, conservantes, o rellenos fluidos, de nutrientes o de electrolitos.

Una variedad de vehículos acuosos, p.ej. agua, agua tamponada, salino al 0,4%, glicina al 0,3%, o suspensiones acuosas pueden contener el compuesto activo con excipientes adecuados para la fabricación de suspensiones acuosas. Dichos excipientes son agentes de suspensión, por ejemplo carboximetilcelulosa, metilcelulosa, hidroxipropilmetilcelulosa, alginato sódico, polivinilpirrolidona, goma tragacanto y goma arábiga; agentes dispersantes o humectantes pueden ser un fosfátido natural, por ejemplo lecitina, o productos de condensación de un óxido de alquileno con ácidos grasos, por ejemplo estearato de polioxietileno, o productos de condensación de óxido de etileno con alcoholes alifáticos de cadena larga, por ejemplo heptadecaetilenoxicetanol, o productos de condensación de óxido de etileno con ésteres parciales procedentes de ácidos grasos y un hexitol tal como monooleato de polioxietilen sorbitol, o productos de condensación de óxido de etileno con ésteres parciales derivados de ácidos grasos y anhídridos de hexitol, por ejemplo monooleato de polietilen sorbitán. Las suspensiones acuosas también pueden contener uno o más conservantes, por ejemplo de etilo, o *n*-propilo, *p*-hidroxibenzoato.

Las composiciones de molécula de unión pueden liofilizarse para su almacenamiento y reconstituirse en un vehículo apropiado antes de su uso. Se ha demostrado que esta técnica es efectiva con inmunoglobulinas convencionales. Se puede emplear cualquier técnica de liofilización y reconstitución. Cabe destacar para los especialistas en la técnica que la liofilización y la reconstitución pueden conducir a grados variables de pérdida de actividad de los anticuerpos y que se pueden tener que ajustar los niveles de uso para compensarlo.

Los polvos dispersables y gránulos adecuados para la preparación de una suspensión acuosa mediante la adición de agua proporcionan el compuesto activo mezclado con un agente dispersante o humectante, un agente de suspensión y uno o más conservantes. Los ejemplos de agentes dispersantes o humectantes y de agentes de suspensión adecuados están entre los mencionados anteriormente.

La concentración de molécula de unión en estas formulaciones puede variar ampliamente, por ejemplo se seleccionará desde menos de aproximadamente 0,5%, habitualmente al menos aproximadamente 1% y como mucho 15 ó 20% en peso en base principalmente a los volúmenes de fluido, las viscosidades, etc., de acuerdo al modo concreto de administración seleccionado. Por tanto, se podría preparar una composición farmacéutica típica para inyección parenteral que contenga 1 mL de agua tamponada esterilizada, y 50 mg de anticuerpo. Se podría preparar una composición típica para infusión intravenosa que contenga 250 mL de disolución esterilizada de

Ringer, y 150 mg de anticuerpo. Los métodos finales para la preparación de composiciones administrables parenteralmente serán conocidos o resultarán evidentes para los especialistas en la técnica, y se describe con más detalle, por ejemplo, en "Remington's Pharmaceutical Science", 15ª ed., Mack Publishing Company, Easton, Pa. (1980). Una dosis efectiva de anticuerpos se encuentra en el intervalo de 0,01 mg a 1000 mg por kg de peso corporal por administración.

5

10

15

20

25

30

35

45

50

Las composiciones farmacéuticas pueden encontrarse en la forma de una suspensión acuosa oleaginosa inyectable esterilizada, dispersiones o polvos esterilizados para la preparación extemporánea de disoluciones o dispersiones esterilizadas inyectables. La suspensión puede formularse según las técnicas conocidas usando los agentes dispersantes o humectantes y de suspensión adecuados que se han mencionado anteriormente. La preparación inyectable esterilizada también puede ser una disolución o suspensión inyectable esterilizada en un diluyente o disolvente no tóxico aceptable parenteralmente, por ejemplo una disolución en 1,3-butanodiol. El vehículo puede ser un disolvente o un medio de dispersión que contenga, por ejemplo, agua, etanol, poliol (por ejemplo, glicerol, propilenglicol y polietilenglicol líquido, y similares), mezclas adecuadas de los mismos, aceites vegetales, disolución de Ringer y disolución de cloruro sódico isotónica. Además, se emplean convencionalmente aceites fijos esterilizados como disolvente o medio de suspensión. Para este propósito se puede emplear cualquier aceite fijo suave, que incluye mono o diglicéridos sintéticos. Adicionalmente, ácidos grasos tales como el ácido oleico tienen uso en la preparación de inyectables.

En todos los casos la forma debe ser estéril y debe ser fluida hasta el punto que se pueda manejar fácilmente con una jeringa. El grado apropiado de fluidez se puede mantener, por ejemplo, mediante el uso de un recubrimiento tal como lecitina, manteniendo el tamaño de partícula requerido en caso de dispersión y mediante el uso de tensioactivos. Debe ser estable en las condiciones de fabricación y almacenamiento y debe preservarse frente a la acción contaminante de microorganismos, tales como bacterias y hongos. La prevención de la acción de microorganismos se puede lograr con diversos agentes antibacterianos y antifúngicos, por ejemplo, parabenos, clorobutanol, fenol, ácido sórbico, timesoral, y similares. En muchos casos, será deseable incluir agentes isotónicos, por ejemplo, azúcares o cloruro sódico. La absorción prolongada de las composiciones inyectables se puede lograr mediante el uso en las composiciones de agentes que retrasen la absorción, por ejemplo, monoestearato de aluminio y gelatina.

Las composiciones útiles para administración se pueden formular con potenciadores de la captación o la absorción para aumentar su eficacia. Dichos potenciadores incluyen, por ejemplo, salicilato, glicocolato/linolato, glicolato, aprotinina, bacitracina, SDS, caprato y similares. Véase, p.ej., Fix (J. Pharm. Sci., 85: 1282-1285, 1996) y Oliyai y Stella (Ann. Rev. Pharmacol. Toxicol., 32: 521-544, 1993).

Adicionalmente, las propiedades de hidrofilicidad e hidrofobicidad de las composiciones contempladas para uso en la invención están bien equilibradas, potenciando con ello su utilidad para usos tanto *in vitro* como, especialmente, *in vivo*, ya que otras composiciones que carecen de dicho equilibrio tienen una utilidad sustancialmente menor. Especialmente, las composiciones contempladas para uso en la invención tienen un grado apropiado de solubilidad en medios acuosos, lo que permite la absorción y la biodisponibilidad en el cuerpo, mientras que también presentan un grado de solubilidad en lípidos que permite a los compuestos atravesar la membrana celular hacia un sitio putativo de acción. Por tanto, las composiciones de anticuerpos contempladas tienen un máximo de efectividad cuando se administran al sitio de actividad de antígeno diana.

40 En un aspecto, los usos de la invención incluyen una etapa de administración de una composición de molécula de unión.

Los usos de la invención se llevan a cabo usando cualquier medio aceptado médicamente para introducir un agente terapéutico directa o indirectamente en un individuo mamífero, que incluye, aunque sin limitación, inyecciones, ingestión oral, administración intranasal, tópica, transdermal, parenteral, aerosol de inhalación, vaginal o rectal. El término parenteral tal como se usa en la presente memoria incluye inyecciones subcutáneas, intravenosas, intramusculares e intracisternales, así como técnicas de catéter e infusión. También se contempla la administración por inyección intradermal, intramamaria, intraperitoneal, intratecal, retrobulbar, intrapulmonar y/o por implante quirúrgico en un sitio particular.

En una realización, la administración se lleva a cabo en el sitio de un cáncer o tejido afectado que necesite tratamiento por inyección directa en el sitio o a través de un mecanismo de administración sostenida o liberación sostenida, que puede administrar internamente la formulación. Por ejemplo, se pueden incluir microesferas o cápsulas biodegradables u otras configuraciones de polímeros biodegradables capaces de una administración sostenida de una composición (p.ej., un polipéptido, anticuerpo o molécula pequeña solubles) en las formulaciones de la invención implantadas cerca del cáncer.

Las composiciones terapéuticas también se pueden administrar al paciente en múltiples sitios. Las administraciones múltiples se pueden hacer simultáneamente o pueden administrarse a lo largo de un periodo de tiempo. En determinados casos es beneficioso proporcionar un flujo continuo de la composición terapéutica. Se puede administrar una terapia adicional con una periodicidad, por ejemplo, horaria, diaria, semanal o mensual.

Las composiciones de moléculas de unión para uso en la invención pueden comprender una, o pueden comprender más de una, moléculas de unión. También se contempla en la presente invención la administración de composiciones de moléculas de unión en conjunción con un segundo agente. Los agentes secundarios contemplados por la invención se enumeran en los siguientes párrafos.

5 Un segundo agente puede ser una molécula asociada a células B. Otras moléculas asociadas a células B contempladas por la invención incluyen moléculas de unión que se unen a moléculas de superficie de células B que no son CD37 o CD20. Las moléculas asociadas a células B incluyen, aunque sin limitación, CD19 (antígeno CD19 de linfocitos B, también denominado antígeno B4 de superficie de linfocito B, o Leu-12), CD21, CD22 (receptor CD22 de células B, también denominado Leu-14, molécula de adhesión a célula de linfocito B, o BL-CAM), CD23, CD40 10 (antígeno CD40 de superficie de células B, también denominado miembro nº5 de la superfamilia de receptores de Factor de Necrosis Tumoral, receptor CD40L, o Bp50), CD80 (antígeno CD80 de activación de linfocitos T, también denominado antígeno de activación B7-1, B7, B7-1 o BB1), CD86 (antígeno CD86 de activación de linfocitos T, también denominado antígeno de activación B7-2, B70, FUN-1 o BU63), CD137 (también denominado miembro nº9 de la superfamilia de receptores de Factor de Necrosis Tumoral), CD152 (también denominado proteína 4 de linfocito T citotóxico o CTLA-4), L6 (antígeno L6 asociado a tumor, también denominado miembro nº1 de 15 superfamilia de Transmembrana 4, marcador 1 de superficie de componente de Membrana, o M3S1), CD30 (antígeno CD30 de activación de linfocitos, también denominado miembro nº8 de la superfamilia de receptor de Factor de Necrosis Tumoral, receptor CD30L o Ki-1), CD50 (también denominado molécula-3 de adhesión intercelular (ICAM3) o ICAM-R), CD54 (también denominado molécula-1 de adhesión intercelular (ICAM1) o receptor de rinovirus de grupo principal), B7-H1 (ligando de un receptor inmunoinhibidor expresado por células T, células B y 20 células mieloides activadas, también denominado PD-L1; véase Dong, et al., "B7-H1, a third member of the B7 family, co-stimulates T-cell proliferation and interleukin-10 secretion," Nat. Med., 5: 1365-1369 (1999), CD134 (también denominado miembro nº4 de la superfamilia de receptor de Factor de Necrosis Tumoral; OX40, receptor OX40L, antígeno ACT35 o receptor de glicoproteína 1 activado transcripcionalmente de TAX), 41BB (receptor de 25 ligando 4-1BB, antígeno de células T 4-1BB o antígeno de células T ILA), CD153 (también denominado miembro nº8 de la superfamilia de ligandos de Factor de Necrosis Tumoral, ligando CD30 o CD30-L), CD154 (también denominado miembro nº5 de la superfamilia de ligandos de Factor de Necrosis Tumoral, proteína de activación relacionada con TNF, TRAP, o antígeno Gp39 de antígeno de células T) y receptores Toll. La lista anterior de dianas de construcción y/o antígenos de dianas solamente es un ejemplo no siendo exhaustiva.

30

35

40

45

50

55

60

Las citocinas y los factores de crecimiento son agentes secundarios contemplados en la invención e incluyen, sin limitación, uno o más de TNF, IL-1, IL-2, IL-3, IL-4, IL-5, IL-6, IL-7, IL-8, IL-9, IL-10, IL-11, IL-12, IL-13, IL-14, IL-15, IL-16, IL-17, IL-18, IFN, G-CSF, Meg-CSF, GM-CSF, trombopoiteina, factor de células madre y eritropoietina. Las composiciones farmacéuticas de acuerdo a la invención también pueden incluir otras angiopoietinas conocidas, por ejemplo Ang-1, Ang-2, Ang-4, Ang-Y y/o el polipéptido de tipo angiopoietina humana, y/o factor de crecimiento endotelial vascular (VEGF). Los factores de crecimiento para uso en las composiciones farmacéuticas de la invención incluyen angiogenina, proteína-1 morfogénica ósea, proteína-2 morfogénica ósea, proteína-3 morfogénica ósea, proteína-4 morfogénica ósea, proteína-5 morfogénica ósea, proteína-6 morfogénica ósea, proteína-7 morfogénica ósea, proteína-8 morfogénica ósea, proteína-9 morfogénica ósea, proteína-10 morfogénica ósea, proteína-11 morfogénica ósea, proteína-12 morfogénica ósea, proteína-13 morfogénica ósea, proteína-14 morfogénica ósea, proteína-15 morfogénica ósea, receptor IA de proteína morfogénica ósea, receptor IB de proteína morfogénica ósea, factor neurotrófico derivado de cerebro, factor neutrófico ciliar, receptor α de factor neutrófico ciliar, factor 1 quimiotáctico neutrófilo inducido por citocina, factor 2α quimiotáctico neutrófilo inducido por citocina, factor 28 quimiotáctico neutrófilo inducido por citocina, factor de crecimiento celular endotelial 8, endotelina 1, factor de crecimiento epidérmico, atractor de neutrófilo derivado de epitelio, factor 4 de crecimiento de fibroblasto, factor 5 de crecimiento de fibroblasto, factor 6 de crecimiento de fibroblasto, factor 7 de crecimiento de fibroblasto, factor 8 de crecimiento de fibroblasto, factor 8b de crecimiento de fibroblasto, factor 8c de crecimiento de fibroblasto, factor 9 de crecimiento de fibroblasto, factor 10 de crecimiento de fibroblasto, factor ácido de crecimiento de fibroblasto, factor básico de crecimiento de fibroblasto, receptor α1 de factor neutrófico derivado de línea celular glial, receptor α2 de factor neutrófico derivado de línea celular glial, proteína relacionada con el crecimiento, proteína α relacionada con el crecimiento, proteína β relacionada con el crecimiento, proteína γ relacionada con el crecimiento, factor de crecimiento epidérmico de unión a heparina, factor de crecimiento de hepatocito, receptor de factor de crecimiento de hepatocito, factor I de crecimiento de tipo insulina, receptor de factor de crecimiento de tipo insulina, factor II de crecimiento de tipo insulina, proteína de unión a factor de crecimiento de tipo insulina, factor de crecimiento de queratinocito, factor inhibidor de leucemia, receptor α de factor inhibidor de leucemia, factor de crecimiento de nervio, receptor de factor de crecimiento de nervio, neurotrofina-3, neurotrofina-4, factor de crecimiento de placenta, factor 2 de crecimiento de placenta, factor de crecimiento de célula endotelial derivado de plaqueta, factor de crecimiento derivado de plaqueta, cadena A de factor de crecimiento derivado de plaqueta, factor AA de crecimiento derivado de plaqueta, factor AB de crecimiento derivado de plaqueta, cadena B de factor de crecimiento derivado de plaqueta, factor BB de crecimiento derivado de plaqueta, receptor α de factor de crecimiento derivado de plaqueta, receptor β de factor de crecimiento de plaqueta, factor estimulante de crecimiento de pre-célula B, factor de célula madre, receptor de factor de célula madre, factor α de crecimiento transformante, factor β de crecimiento transformante, factor β 1 de crecimiento transformante, factor β 1.2 de crecimiento transformante, factor β 2 de crecimiento transformante, factor β3 de crecimiento transformante, factor β5 de crecimiento transformante, factor β1 de crecimiento transformante latente, proteína I de unión a factor β de crecimiento transformante, proteína II de unión a factor β de crecimiento transformante, proteína III de unión a factor β de crecimiento transformante, receptor de factor de necrosis tumoral de tipo II, receptor de factor de necrosis tumoral de tipo II, receptor de activador de plasminógeno de tipo uroquinasa, factor de crecimiento endotelial vascular, y proteínas quiméricas y fragmentos biológica o inmunológicamente activos de los mismos.

- 5 Los ejemplos de agentes quimioterapéuticos contemplados como agentes secundarios incluyen, aunque sin limitación, agentes alquilantes, tal como mostazas de nitrógeno (p.ej., mecloretamina, ciclofosfamida, ifosfamida, melfalano y clorambucil); nitrosoureas (p.ej., carmustina (BCNU), lomustina (CCNU) y semustina (metil-CCNU)); etileniminas y metil-melaminas (p.ej., trietilenmelamina (TEM), trietilen tiofosforamida (tiotepa), y hexametilmelamina (HMM, altretamina)); alquil sulfonatos (p.ej., busulfán); y triacinas (p.ej., dacabacina (DTIC)); antimetabolitos, tal como análogos de ácido fólico (p.ej., metotrexato, trimetrexato y pemetrexed (antifolato multi-diana)); análogos de 10 pirimidina (tales como 5-fluoroacilo (5-FU), fluorodesoxiuridina, gemcitabina, citosina arabinósido (AraC, citarabina). 5-azacitidina y 2,2'-difluorodesoxicitidina); y análogos de purina (p.ej., 6-mercaptopurina, 6-tioguanina, azatioprina, 2'-desoxicoformicina (pentostatina), eritrohidroxinoniladenina (EHNA), fosfato de fludarabina, 2-clorodesoxiadenosina (cladribina, 2-CdA)); inhibidores de topoisomerasa de Tipo I tales como camptotecina (CPT), topotecán e irinotecán; productos naturales, tales como epipodofilotoxinas (p.ej., etoposide y teniposide); y alcaloides vinca (p.ej., 15 vinblastina, vincristina y vinorrelbina); antibióticos anti-tumorales tales como actinomicina D, doxorrubicina y bleomicina, radiosensibilizantes tales como 5-bromodesoxiuridina, 5-iododesoxiuridina y bromodesoxicitidina; complejos de coordinación de platino tales como cisplatino, carboplatino y oxaliplatino, ureas sustituidas, tales como hidroxiurea; y derivados de metilhidracina tales como N-metilhidracina (MIH) y procarbacina.
- Los ejemplos no limitantes de agentes quimioterapéuticos, agentes radioterapéuticos y otros agentes activos y auxiliares se muestran también en la Tabla 1.

TABLA 1

Agentes de alquilación	Productos naturales	
Mostazas de nitrógeno	Fármacos antimitóticos	
mecloretamina		
ciclofosfamida		
ifosfamida	Taxanos	
melfalán	paclitaxel	
clorambucil	Alcaloides vinca	
	vinblastina (VLB)	
Nitrosoureas	vincristina	
carmustina (BCNU)	vinorrelbina	
lomustina (CCNU)	Taxotere® (docetaxel)	
semustina (metil-CCNU)	estramustina	
	fosfato de estramustina	
Etilenimina/Metil-melamina		
trietilenmelamina (TEM)	- Epipodofilotoxinas	
trietilen tiofosforamida (tiotepa)	etoposide	
	teniposide	
hexametilmelamina (HMM, altretamina)		
	Antibióticos	
	actimomicina D	
Sulfonatos de alquilo	daunomicina (rubido-micina)	
busulfán	doxorrubicina (adria-micina)	
	mitoxantroneidarrubicina	
Triacinas	bleomicina	
dacarbacina (DTIC)	esplicamicina (mitramicina)	
	mitomicina	
Antimetabolitos	_ dactinomicina	

Agentes de alquilación	Productos naturales
Mostazas de nitrógeno	Fármacos antimitóticos
Análogos de ácido fólico	afidicolina
metotrexato	
Trimetrexato	Enzimas
Pemetrexed (antifolato multi-diana)	L-asparaginasa
	L-arginasa
Análogos de pirimidina	Radiosensibilizantes
5-fluorouracilo	metronidazol
fluorodesoxiuridina	misonidazol
gemcitabina	desmetilmisonidazol
citosina arabinósido (AraC, citarabina)	pimonidazol
	etanidazol
5-azacitidina	nimorazol
2,2'- difluorodesoxi-citidina	RSU 1069
	EO9
topotecán	mitoxantrona
irinotecán	
Análogos de purina	RB 6145
6-mercaptopurina	SR4233
6-tioguanina	nicotinamida
azatioprina	5-bromodesoxiuridina
2'-desoxicoformicina (pentostatina)	5-iododesoxiuridina
	bromodesoxicitidina
eritrohidroxinonil-adenina (EHNA) fludarabina fosfato	
2-clorodesoxiadenosina (cladribina, 2-CdA)	Agentes varios
	Complejos de coordinación de platino
	cisplatino
	Carboplatino
Inhibidores de Topoisomerasa de Tipo I	oxaliplatino
camptotecina	Antracenodiona
	Urea sustituida
Modificadores de respuesta biológica	hidroxiurea
G-CSF	
GM-CSF	Derivados de metilhidracina
	N-metilhidracina (MIH)
Agentes de diferenciación	procarbacina
derivados de ácido retinoico	
	Supresor adrenocortical
Hormonas y antagonistas	mitotano (o,p'- DDD)
Adrenocorticosteroides/ antagonistas	ainoglutetimida
prednisona y equivalentes	

Agentes de alquilación	Productos naturales	
Mostazas de nitrógeno	Fármacos antimitóticos	
dexametasona	Citocinas	
ainoglutetimida	interferón (α, β, γ)	
	interleucina-2	
Progestinas		
caproato de hidroxiprogesterona	Fotosensibilizantes	
acetato de metoxiprogesterona	derivados de hematoporfirina	
acetato de megestrol	Photofrin®	
	derivados de benzoporfirina	
Estrógenos	Npe6	
dietilestilbestrol	etioporfirina de estaño (SnET2)	
etinil estradiol/ equivalentes	feoboruro-a	
	bacterioclorofil-a	
Antiéstrógeno	naftalocianinas	
tamoxifén	ftalocianinas	
	ftalocianinas de zinc	
Andrógenos		
propionato de testosterona	Radiación	
fluoximesterona/equivalentes	rayos-X	
	luz ultravioleta	
Antiandrógenos	radiación gamma	
flutamide	luz visible	
liberador de gonadotropina	radiación infrarroja	
análogos de hormona	radiación microondas	
leuprolide		
Antiandrógenos no esteroideos		
flutamide		

Los agentes secundarios contemplados por la invención para el tratamiento de enfermedades autoinmunes son denominados agentes inmunosupresores, que actúan para suprimir o enmascarar el sistema inmunitario del individuo que está siendo tratado. Los agentes inmunosupresores incluyen, por ejemplo, fármacos antiinflamatorios no esteroideos (NSAIDs), analgésicos, glucocorticoides, fármacos antirreumáticos modificadores de la enfermedad (DMARDs) para el tratamiento de artritis, o modificadores de la respuesta biológica. Las composiciones de la descripción DMARD también son útiles para el tratamiento de muchas otras enfermedades autoinmunes además de la AR.

5

10

15

Los ejemplos de NSAIDs se eligen del grupo que consiste en ibuprofeno, naproxeno, naproxeno sódico, inhibidores de Cox-2 tales como Vioxx y Celebrex, y sialilatos. Los ejemplos de analgésicos se eligen del grupo que consiste en acetaminofén, oxicodona, tramadol de hidrocloruro de proporxifén. Los ejemplos de glucocorticoides se eligen del grupo que consiste en cortisona, dexametasona, hidrocortisona, metilprednisolona, prednisolona o prednisona. Los ejemplos de modificadores de respuesta biológica incluyen, aunque sin limitación, moléculas dirigidas contra marcadores de superficie celular (p.ej. CD4, CD5, etc.), inhibidores de citocina, tales como los antagonistas de TNF (p.ej., etanercept (Enbrel), adalimumab (Humira) y infliximab (Remicade)), inhibidores de quimiocina e inhibidores de molécula de adhesión. Los modificadores de respuesta biológica incluyen anticuerpos monoclonales, así como formas recombinantes de moléculas. Los ejemplos de DMARDs incluyen, aunque sin limitación, azatioprina, ciclofosfamida, ciclosporina, metotrexato, penicilamina, leflunomida, sulfasalacina, hidroxicloroquina, Oro [oral (auranofin) e intramuscular] y minociclina.

Se contempla que la composición de molécula de unión y el agente secundario sean administrados simultáneamente en la misma formulación. Alternativamente, los agentes se administran en una formulación separada pero concurrentemente, refiriéndose la concurrencia a agentes administrados con una diferencia de a lo sumo 30 minutos.

En otro aspecto, el agente secundario se administra antes de la administración de la composición de la molécula de unión. Administrar antes se refiere a una administración del agente secundario en el rango que va desde una semana antes al tratamiento con el anticuerpo hasta 30 minutos antes de la administración del anticuerpo. Se contempla además que el agente secundario se administre a continuación de la administración de la composición de molécula de unión. La administración a continuación pretende indicar una administración que se produce entre 30 minutos después del tratamiento con anticuerpo y hasta una semana después del tratamiento con anticuerpo.

Se contempla además que cuando la molécula de unión se administra en combinación con un agente secundario, donde el agente secundario es una citocina o un factor de crecimiento, o un agente quimioterapéutico, la administración también puede incluir el uso de una agente radioterapéutico o de terapia de radiación. La terapia de radiación administrada en combinación con una composición de anticuerpo se administra según determine el médico al cargo, y en las dosis suministradas típicamente a pacientes en tratamiento de cáncer.

15

20

25

40

45

50

55

Las cantidades de molécula de unión en una dosis dada variarán según el tamaño del individuo al que se esté administrando la terapia, así como según las características del trastorno tratado. En ejemplos de tratamientos, puede ser necesario administrar aproximadamente 1 mg/día, aproximadamente 5 mg/día, aproximadamente 10 mg/día, aproximadamente 20 mg/día, aproximadamente 75 mg/día, aproximadamente 100 mg/día, aproximadamente 250 mg/día, aproximadamente 250 mg/día, aproximadamente 250 mg/día, aproximadamente 250 mg/día, aproximadamente 500 mg/día o aproximadamente 1000 mg/día. Las dosis también se pueden administrar en base al peso del paciente, en una dosis de aproximadamente 0,01 a aproximadamente 50 mg/kg. En una realización relacionada, la molécula de unión puede administrarse en un rango de dosis de aproximadamente 0,015 a aproximadamente 30 mg/kg. En una realización adicional, la molécula de unión se administra en una dosis de aproximadamente 0,015, aproximadamente 0,05, aproximadamente 0,15, aproximadamente 0,5, aproximadamente 1,5, aproximadamente 5, aproximadamente 15 o aproximadamente 30 mg/kg.

Estas composiciones pueden administrarse en una única dosis o en dosis múltiples. Los estudios dosis-respuesta estándares, primero en modelos animales y después en ensayos clínicos, revelan dosis óptimas para estados de enfermedad particulares y para poblaciones de pacientes particulares.

La administración de la composición de molécula de unión disminuye la población de células B en al menos un 20% después de una única dosis de tratamiento. En una realización, la población de células B disminuye en al menos aproximadamente 20, aproximadamente 30, aproximadamente 40, aproximadamente 50, aproximadamente 60, aproximadamente 70, aproximadamente 80, aproximadamente 90 o aproximadamente 100%. La reducción de células B se define como un descenso del recuento absoluto de células B por debajo del límite inferior del rango normal. La recuperación de células B se define como el retorno del recuento total de células B a cualquiera de las siguientes situaciones: el 70% del valor de línea base del sujeto o del rango normal.

La administración de moléculas de unión específicas de CD20 también da como resultado un aumento de la apoptosis en subgrupos concretos de células B. Apoptosis se refiere a la inducción de muerte celular programada en una célula, manifestada y establecida por fragmentación de ADN, encogimiento celular, fragmentación celular, formación de vesículas de membrana o alteración de la composición lipídica de la membrana, según se determina mediante tinción con anexina V.

Además, la administración de composiciones de moléculas de unión de la invención da como resultado efectos clínicos deseados en la enfermedad o trastorno que esté siendo tratado. Por ejemplo, en pacientes afectados por artritis reumatoide, en un aspecto, la administración mejora la afección del paciente en una cantidad clínicamente significativa [p.ej., alcanza la "American College of Rheumatology Preliminary Detection of Improvement" (ACR20)], y/o una mejoría del 20% en articulaciones blandas e hinchadas y una mejoría del 20% en los 3/5 restantes de las medidas ACR (Felson et al., Arthritis Rheum. 1995, 38: 727-35). Las medidas biológicas para determinar la mejoría de un paciente de AR después de la administración de moléculas de unión específicas de CD37 y específicas de CD20 incluyen la medida de cambios en los niveles de citocinas, determinados a través de los niveles de proteína o ARN. Las citocinas de interés incluyen, aunque sin limitación, TNF-α, IL-1, interferones, Blys y APRIL. Los cambios de citocinas pueden deberse a una reducción del número de células B o a una reducción de células T activadas. En pacientes de AR, los marcadores relevantes para tasa de recambio óseo (reabsorción o erosión óseas) se miden antes y después de la administración de moléculas de unión específica a CD20. Los marcadores relevantes incluyen, aunque sin limitación, fosfatasa alcalina, osteocalcina, fragmentos de descomposición de colágeno, hidroxiprolina, fosfatasa ácida resistente a tartrato y ligando RANK (RANKL). Otras lecturas relevantes para la mejoría de la AR incluyen la medición de los niveles de proteína reactiva C (CRP), la tasa de sedimentación de eritrocitos (ESR), el factor reumatoide, anticuerpos CCP (péptido cíclico citrulinado) y la determinación de los niveles de células B sistémicas y del recuento de linfocitos mediante citometría de flujo. También se pueden medir factores específicos procedentes del sinovio de pacientes de AR, que incluye la determinación de los niveles de células B en sinovio procedente de biopsia de sinovio, los niveles de RANKL y de otros factores óseos y citocinas indicados anteriormente.

En un aspecto relacionado, se miden los efectos de la administración de la combinación en otras enfermedades según los estándares conocidos en la técnica. Por ejemplo, se contempla que los pacientes de enfermedad de Crohn tratados según la invención logren una mejoría en el Índice de Actividad de Enfermedad de Crohn (CDAI) en el intervalo de aproximadamente 50 y aproximadamente 70 unidades, donde la remisión se da a 150 unidades (Simonis et al, Scand. J Gastroent. 1998, 33: 283-8). Una puntuación de 150 ó 200 se considera normal, mientras que una puntuación de 450 se considera una puntuación de enfermedad grave. Adicionalmente es deseable que la administración de las moléculas de unión específica a CD37 y a CD20 de como resultado una reducción de anticuerpos anti-neutrófilos perinucleares (pANCA) y anticuerpos anti-Saccharomyces cervisiae (ASCA) en individuos afectados por enfermedad inflamatoria del intestino.

5

10

15

20

25

30

35

45

50

55

Se contempla además que los pacientes de miositis adulta y juvenil tratados según la invención alcancen una mejoría en el conjunto central de evaluaciones, tal como 3 de cada 6 mediciones de conjunto central mejoren en aproximadamente un 20%, no empeorando más de 2 de las mediciones centrales en aproximadamente un 25% (véase Rider et al., Arthritis Rheum. 2004, 50: 2281-90).

También se contempla que los pacientes de SLE tratados según la invención alcancen una mejoría en la puntuación de la Medida de Actividad de Lupus Sistémico (SLAM) o del Índice de Actividad de Enfermedad SLE (SLEDAI) en al menos 1 punto (Gladman et al, J Rheumatol 1994, 21: 1468-71) (Tan et al., Arthritis Rheum. 1982, 25: 1271-7). Una puntuación SLAM de >5, o una puntuación SLEDAI >2, se consideran enfermedad clínicamente activa. Se puede definir una respuesta a tratamiento como la mejoría o la estabilización en las 2 medidas de actividad de enfermedad (el Índice de Actividad de Enfermedad SLE [SLEDAI] y la Medida de Actividad de Lupus Sistémico) y en 2 medidas de calidad de vida (determinación general del paciente y la Escala de Gravedad de Fatiga de Krupp) (Petri et al., Arthritis Rheum. 2004, 50: 2858-68.) También se contempla que la administración de la molécula de unión a pacientes de SLE dé como resultado una reducción de los anticuerpos anti-ADN de doble cadena. Alternativamente, la mejoría se puede determinar usando los Criterios del Grupo de Determinación de Lupus de las Islas Británicas (BILAG).

También se contempla que los pacientes de esclerosis múltiple tratados según la invención alcancen una mejoría en la puntuación clínica de la escala de estatus de Discapacidad Expandida de Kurtzke (EDSS) (Kurtzke, F., Neurology 1983, 33: 1444-52) de al menos 0,5, o un retraso en el empeoramiento de la enfermedad clínica de al menos 1,0 en la escala de Kurtzke (Rudick et al., Neurology 1997, 49: 358-63).

También se contempla que los pacientes que padezcan IIM que reciben moléculas de unión específica a CD37 y de unión específica a CD20 alcancen una reducción de al menos uno de los cinco criterios fijados la determinación de los Criterios de Miopatía Inflamatoria Idiopática (IIMC) (Miller, F., ver anterior). Se contempla adicionalmente que la administración a pacientes de IMM dé como resultado una reducción de factores asociados a IMM seleccionados del grupo que consiste en creatina cinasa (CK), lactato deshidrogenasa, aldolasa, proteína reactiva C, aspartato aminotransferasa (AST), alanina aminotransferasa (ALT) y autoanticuerpo antinuclear (ANA), anticuerpos específicos de miositis (MSA) y anticuerpos de antígenos nucleares extraíbles. Alternativamente, los pacientes cumplen 3 de los 6 criterios establecidos por Rider et al., Arthritis Rheum., 50(7): 2281-2290 (2004), empeorando en no más de 2 criterios.

40 En algunas realizaciones, los pacientes que padecen un cáncer de células B reciben tratamiento según la invención y demuestran una respuesta general beneficiosa al tratamiento, en base a criterios clínicos bien conocidos y usados comúnmente en la técnica, y como se han descrito previamente, tal como un descenso en el tamaño del tumor, un descenso en el número de tumores y/o una mejoría en los síntomas de la enfermedad.

Los ejemplos de criterios clínicos son proporcionados por el "U.S. National Cancer Institute" (NCI), que ha dividido algunas de las clases de cánceres en las categorías clínicas de linfomas "indolente" y "agresivo". Los linfomas indolentes incluyen linfomas de células foliculares, separados en grados de citología, linfoma linfocítico pequeño difuso/leucemia linfocítica crónica (CLL), linfoplasmacitoide/macroglobulinemia Waldenstrom, linfoma de zona marginal y leucemia de célula pilosa. Los linfomas agresivos incluyen linfoma de célula grande y mixta difusa, linfoma de Burkitt/linfoma de célula no separada pequeña difusa, linfoma linfoblástica, linfoma de célula manta y linfoma relacionado con SIDA. En algunos casos, el Índice Prognóstico Internacional (IPI) se usa en casos de linfoma folicular y agresivo. Los factores a considerar en el IPI incluyen la edad (<60 años de edad frente a >60 años de edad), lactato deshidrogenasa en suero (niveles normales frente a elevados), estatus de rendimiento (0 ó 1 frente a 2-4) (ver definición más adelante), estadio de la enfermedad (I o II frente a III o IV), e implicación de sitio extranodal (0 ó 1 frente a 2-4). Los pacientes con 2 o más factores de riesgo tienen menos de un 50% de probabilidad de evitar recaídas y de supervivencia global a 5 años.

El estatus de rendimiento del IPI agresivo se define como se indica a continuación: Descripción de Grado: 0 Completamente activo, capaz de portar todo el rendimiento pre-enfermedad sin restricción; 1 Restringido en actividad estrenosa físicamente pero ambulatorio y capaz de llevar a cabo trabajo de una naturaleza ligera o sedentaria, p.ej., trabajo doméstico ligero, trabajo de oficina; 2 Ambulatorio y capaz de cuidarse solo completamente

pero incapaz de llevar a cabo cualquier actividad de trabajo durante aproximadamente más del 50% del tiempo del día; 3 Capaz de autocuidarse solo limitadamente, confinado en cama o silla más del 50% del tiempo del día; 4 Completamente discapacitado, incapaz de cuidarse por sí mismo, totalmente confinado en cama o silla; y, 5 Muerte. (Véase, "The International Non-Hodgkin's Lymphoma Prognostic Factors Project. A predictive model for aggressive non-Hodgkin's lymphoma". N Engl J Med. 329: 987-94, 1993)

5

45

Típicamente, el grado de linfoma se determina clínicamente usando el criterio de que el linfoma de bajo grado normalmente se presenta como una enfermedad nodal y a menudo es indolente o de crecimiento lento. La enfermedad de grado intermedio y alto normalmente se presenta como una enfermedad mucho más agresiva con grandes tumores voluminosos extranodales.

- 10 También se usa el sistema de clasificación de Ann Arbor para medir la progresión de tumores, especialmente de linfomas no de Hodgkins. En este sistema, los estadios I, II, III y IV del NHL adulto se pueden clasificar en las categorías A y B dependiendo de si el paciente tiene síntomas generalizados bien definidos (B) o no (A). La designación B se concede a pacientes con los siguientes síntomas: pérdida inexplicada de más del 10% del peso corporal en los 6 meses anteriores a la diagnosis, fiebre inexplicada con temperaturas por encima de 38°C y sudoración nocturna excesiva. Las definiciones de los estadios son como se indica a continuación: Estadio I -15 implicación de una única región de nodos linfáticos o implicación localizada de un único órgano o sitio extralinfático. Estadio II - implicación de dos o más regiones de nodos linfáticos en el mismo sitio del diafragma o implicación localizada de un único órgano o sitio extralinfático asociado y sus nodos linfáticos regionales con o sin otras regiones de nodos linfáticos en el mismo lado del diafragma. Estadio III - implicación de regiones de nodos linfáticos en ambos lados del diafragma, posiblemente acompañando una implicación localizada de un órgano o sitio 20 extralinfático, implicación del bazo, o ambos. Estadio IV - implicación diseminada (multifocal) de uno o más sitios con o sin implicación de nodos linfáticos asociados o implicación de órgano extralinfático aislado con implicación nodal distante (no regional). Para más detalles, véase "The International Non-Hodgkin's Lymphoma Prognostic Factors Project: A predictive model for aggressive non-Hodgkin's lymphoma", New England J. Med. (1993) 329: 987-994.
- En un aspecto, un efecto terapéutico de los métodos según la invención se determina por el nivel de respuesta, por ejemplo una respuesta parcial se define como reducción tumoral hasta menos de la mitad del tamaño original. Una respuesta completa se define como la eliminación total de enfermedad confirmada mediante evaluación clínica o radiológica. En una realización, el individuo que recibe el tratamiento según la invención demuestra al menos una respuesta parcial al tratamiento.
- Según los criterios de Cheson para determinar NHL desarrollados en colaboración con "National Cancer Institute" (Cheson et al., J Clin Oncol. 1999, 17: 1244; Grillo-Lopez et al., Ann Oncol. 2000, 11: 399-408), una respuesta completa se obtiene cuando existe una desaparición completa de toda evidencia clínica y radiográfica detectable de la enfermedad y de síntomas relacionados con la enfermedad, todos los nodos linfáticos han vuelto a su tamaño normal, el bazo ha remitido en tamaño, y la médula ósea está limpia de linfoma.
- Una respuesta completa no confirmada se obtiene cuando un paciente muestra una desaparición completa de la enfermedad y el bazo remite en tamaño, pero los nodos linfáticos han remitido en más del 75% y la médula ósea es indeterminada. Una respuesta completa no confirmada cumple y excede los criterios de respuesta parcial. Una respuesta global se define como una reducción de al menos el 50 por ciento de la carga tumoral general.
- Se han desarrollado criterios similares para otras formas diversas de cánceres o enfermedades hiperproliferativas y están disponibles fácilmente para el especialista en la técnica. Véase, p.ej., Cheson et al., Clin Adv Hematol Oncol. 2006, 4: 4-5, que describe criterios para determinar CLL; Cheson et al., J Clin Oncol. 2003, 21: 4642-9, que describe criterios para AML; Cheson et al., Blood 2000, 96: 3671-4, que describe criterios para síndromes mielodisplásicos.
 - En otro aspecto, una respuesta terapéutica en pacientes que tienen un cáncer de células B se manifiesta como una ralentización de la progresión de la enfermedad con respecto a pacientes que no reciben la terapia. La medida de la progresión ralentizada de enfermedad o cualquiera de los anteriores factores puede llevarse a cabo usando técnicas bien conocidas en la técnica, que incluye escáner óseo, escáner CT, escáner de galio, linfangiograma, MRI, escáner PET, ultrasonidos, y similares.

También será evidente que la dosificación puede modificarse si los agentes terapéuticos tradicionales se administran en combinación con agentes terapéuticos de la invención.

Como un aspecto adicional, la invención incluye kits que comprende uno o más compuestos o composiciones útiles en los métodos de la invención envasados de un modo que facilite su uso para practicar el método de la invención. En una realización más sencilla, dicho kit incluye un compuesto o composición descrito en la presente memoria como útil para la práctica de un método de la invención envasado en un recipiente tal como una botella o recipiente sellado, con una etiqueta pegada al envase o incluida en el paquete que describa el uso del compuesto o composición para llevar a la práctica el método de la invención. Preferiblemente, el compuesto o composición está envasado en una forma de dosis unitaria. El kit puede incluir además un dispositivo adecuado para administración la composición según una ruta preferida de administración o para llevar a la práctica un ensayo de escrutinio. El kit

puede incluir una etiqueta que describa el uso de la(s) composición(es) de molécula de unión en un método de la invención.

La presente descripción comprende también artículos de fabricación.

Dichos artículos comprenden moléculas de unión específica a CD37 o moléculas de unión específica a CD20, opcionalmente junto a un vehículo o diluyente farmacéutico, y al menso una etiqueta que describa un método para uso de las moléculas de unión según la invención. Dichos artículos de fabricación también pueden comprender opcionalmente al menos un segundo agente para administración en conexión con las moléculas de unión.

La presente invención también cubre el uso de una composición que comprende una molécula de unión específica a CD37 o moléculas de unión específica a CD37 y CD20 en la fabricación de un medicamento para el tratamiento o la profilaxis de una enfermedad que implica actividad aberrante de células B.

BREVE DESCRIPCIÓN DE LAS FIGURAS

10

15

45

La Figura 1A representa la estructura de la molécula TRU-016; la Figura 1B muestra los resultados del análisis de SDS-PAGE, que demuestra que la proteína expresada migra a un Mw de aproximadamente 110 kDa en condiciones no reductoras, y aproximadamente 52 kDa cuando se somete a condiciones reductoras; y la Figura 1C muestra que la molécula TRU-016 demuestra un alto nivel de unión específica a linfocitos B de sangre periférica humana, y un nivel mucho menor de unión a otras subpoblaciones de células en la puerta de linfocitos de células no B (población negativa en CD19) cuando se analiza mediante citometría de flujo.

La Figura 2A-E muestra inhibición de unión por diferentes reactivos dirigidos a CD37.

La Figura 3A demuestra unión de FITC C1q a fórmulas moleculares de TRU-016 incubadas con células B Ramos en suero humano normal con y sin factor de veneno de cobra (CVF); la Figura 3B muestra la actividad de CDC de formas moleculares de TRU-016 incubadas con Células B Ramos en suero humano normal con y sin CVF; y la Figura 3C muestra la actividad de CDC de formas moleculares TRU-016 incubadas con células B Ramos y complemento humano o de conejo.

La Figura 4 muestra trazas de cromatografía HPLC de exclusión de tamaño (SEC) obtenidas a partir de purificación GPC del TRU-016, representando la absorbancia frente al tiempo de retención para las diferentes fracciones recogidas.

La Figura 5A muestra las propiedades de unión de las fracciones SEC; la Figura 5B muestra la actividad de actividad CDC de las fracciones SEC; y la Figura 5C muestra la actividad de ADCC de las fracciones SEC.

La Figura 6 muestra la actividad de CDC de TRU-015, rituxan, TRU-016 o una combinación de los mismos en células B Ramos.

La Figura 7 muestra el efecto de TRU-016 sobre la actividad de CDC de TRU-015 sobre células DHL-4.

La Figura 8 muestra el efecto de TRU-016 sobre la actividad de CDC de TRU-015 y rituxan.

La Figura 9 muestra el efecto de TRU-016 sobre TRU-015 en un ensayo de CDC.

La Figura 10 muestra el efecto de TRU-016 sobre rituxan en un ensayo de CDC.

35 La Figura 11 muestra la interacción de TRU-015 y TRU-016 en un ensayo de ADCC usando células BJAB.

La Figura 12 muestra la interacción de TRU-015 y TRU-016 en un ensayo de ADCC usando células Daudi.

La Figura 13 muestra la interacción de TRU-015 y TRU-016 en un ensayo de ADCC usando células Ramos.

La Figura 14 muestra el efecto de rituxan, TRU-016 y una combinación de los mismos en la muerte específica de células BJAB.

40 La Figura 15 muestra el efecto de rituxan, TRU-016 y una combinación de los mismos en la muerte específica de células BJAB.

La Figura 16 muestra el efecto de TRU-015, TRU-016 y una combinación de los mismos en la muerte específica de células BJAB.

La Figura 17 muestra el efecto de TRU-015, TRU-016 y una combinación de los mismos en la muerte específica de células BJAB.

La Figura 18A-D muestra formas diméricas de TRU-016 no median sólo en la CDC, sino que potencian la actividad de CDC de Rituximab *in vitro*.

La Figura 19A-B demuestra que TRU-016 purificada de proteína A induce apoptosis de células Ramos y Daudi, mientras que las formas diméricas requieren entrecruzamiento.

La Figura 20 muestra que TRU-016 agota preferencialmente células B normales en cultivos de PBMC.

La Figura 21 demuestra la eficacia de TRU-016 en comparación con hulgG, rituxan y el tratamiento de combinación de TRU-016 y rituxan sobre el volumen tumoral en animales.

La Figura 22A y B muestran que las formas diméricas de TRU-016 exhiben una actividad antitumoral significativa, medida a través del efecto sobre el volumen tumoral y el porcentaje de supervivencia en un modelo tumoral de xenoinjerto de ratón.

La Figura 23 demuestra que los dímeros de TRU-016 no aumentan la actividad de CDC que resulta del tratamiento con reactivos específicos de MHCII, CD19, CD80/86 o CD45.

La Figura 24 muestra el porcentaje de supervivencia en ratones con tumores Ramos (hasta 90 días) tras el tratamiento con TRU-016, rituximab o una combinación de los mismos.

Las Figuras 25 y 26 muestran el porcentaje de supervivencia en ratones con tumores Daudi (hasta 90 días) tras el tratamiento con TRU-016 o rituximab.

La Figura 27 muestra que TRU-016 reduce de forma eficaz la viabilidad celular relativa en células tratadas con fludarabina, potenciando con ello el efecto citotóxico de la fludarabina sola.

La Figura 28 muestra que TRU-016 induce una mayor toxicidad celular que la herceptina o el rituximab en líneas celulares resistentes a rituximab.

La Figura 29 muestra que TRU-016 induce fosforilación de tirosina en células B CLL primarias CD19+.

La Figura 30A muestra la secuencia de aminoácidos de consenso de la construcción de TRU-016 humanizada nº 019001 (SEQ ID NO: 6) y TRU-016 (SEQ ID NO: 2) con numeración de Kabat; la Figura 30B muestra alineamientos de secuencia de aminoácidos de tres construcciones de TRU-16 humanizadas (019001, 019008 y 109009).

La Figura 31 muestra el ADN y los alineamientos de secuencia de aminoácidos de tres construcciones humanizadas de TRU-016 (019001, 019041 y 019044).

La Figura 32 muestra los alineamientos de secuencia formateados FASTA de las mismas tres construcciones humanizadas de TRU-016 (019001, 019041 y 019044).

EJEMPLOS

30

35

40

45

5

Aspectos y detalles adicionales de la invención serán evidentes a partir de los siguientes ejemplos, que pretenden ser ilustrativos y no limitantes. El Ejemplo 1 describe la producción de una molécula de unión específica a CD37: el Ejemplo 2 demuestra que TRU-016 y varios anticuerpos específicos de CD37 reconocen los mismos o epítopos solapantes; el Ejemplo 3 muestra que el TRU-016 es deficiente en unión a C1q y en activación del mecanismo de activación de complemento clásica; el Ejemplo 4 demuestra actividad y unión de multímeros de TRU-016; el Ejemplo 5 describe la producción de una molécula de unión específica a CD20; el Ejemplo 6 muestra que las combinaciones de TRU-016 con TRU-015 o rituxan aumentan de forma sinérgica la apoptosis en células B; el Ejemplo 7 muestra que las combinaciones de TRU-016 con anticuerpos específicos de CD20 o SMIPs aumentan de forma sinérgica la CDC; el Ejemplo 8 demuestra que el TRU-016 aumenta la actividad de ADCC y CDC de anticuerpos específicos de CD20 y SMIPs; el Ejemplo 9 demuestra que el TRU-016 induce la apoptosis en células B; el Ejemplo 10 muestra que las combinaciones de un SMIP específico de CD37 con anticuerpo específico de CD20 reducen de forma sinérgica el volumen tumoral en un modelo de xenoinjerto tumoral murino: el Eiemplo 11 muestra que un SMIP específico de CD37 solo también reduce el volumen tumoral en un modelo de xenoinjerto tumoral murino; el Ejemplo 12 demuestra que el TRU-016 no afecta la actividad de CDC de otros receptores de superficie de células B; el Ejemplo 13 demuestra que el TRU-016 no aumenta la actividad de CDC de varios receptores diana, que incluyen MHCII, CD19, CD80/86 y CD40; el Ejemplo 14 proporciona datos adicionales que muestran que el TRU-016 aumenta la supervivencia in vivo en ratones con tumores; el Ejemplo 15 demuestra que el TRU-016 potencia la muerte celular inducida por fludarabina en células CLL in vitro; el Ejemplo 16 muestra que TRU-016 induce la citotoxicidad directa en células resistentes a rituximab; el Ejemplo 17 muestra que TRU-016 induce fosforilación de tirosina en células B CLL primarias CD19+; y el Ejemplo 18 proporciona moléculas TRU-016 humanizadas.

Ejemplo 1

50 Producción de una molécula de unión específica a CD37

Los SMIPs específicos de CD37 se describen en la Solicitud de Patente compartida de EE.UU. N° 10/627.556 y las Publicaciones de Patente N° 2003/133939, 2003/0118592 y 2005/0136049. Un ejemplo de SMIP, el TRU-016, se produce como se describe a continuación.

El TRU-016 [G28-1 scFv VH11S (SSC-P) H WCH2 WCH3] es una proteína de cadena sencilla recombinante que se une al antígeno de CD37. El dominio de unión se basó en la secuencia del anticuerpo G28-1 descrito previamente en las publicaciones de patente enumeradas en el párrafo precedente. El dominio de unión está conectado al dominio efector, los dominios CH2 y CH3 de IgG1 humana, a través de una región de bisagra modificada. El TRU-016 existe como dímero en disolución y el dímero tiene un peso molecular teórico de aproximadamente 106.000 daltons.

5

30

35

40

45

50

55

Se aisló ARN total procedente de hibridoma de G28-1 usando reactivo Trizol RNA (Gibco) siguiendo las instrucciones del fabricante. Se preparó ADNc usando 5 μg de ARN, cebadores aleatorios y transcriptasa inversa Superscript II (GIBCO BRL). Los dominios variables fueron clonados usando conjuntos de cebadores degenerados para las diferentes familias de genes VK o VH murinos. Los dominios variables del hibridoma de G28-1 fueron clonados en vectores de clonación PCR 2.1 TOPO (Invitrogen) y se secuenció el ADN de los transformantes con insertos de tamaño correcto. A continuación se usaron regiones variables de cadena pesada y ligera de los clones correctos como plantillas para la amplificación de PCR de un scFv de G28-1 unido en orientación VL-VH con un ligando 15 aa (gly4ser)3. El scFv anti-CD37 se unió a una bisagra de lgG1 humana modificada, dominios CH2 y CH3 (ver la Figura 1A). Con el objetivo de asegurar una expresión adecuada de células de mamífero, se seleccionaron modificaciones de regiones variables que permitieran aumentos significativos en la expresión por parte de células de mamífero. Específicamente, se cambió una leucina por una serina en la posición 11 del scFv. El péptido madura predicho tiene una longitud de 473 aminoácidos.

La secuencia de polinucleótido que codifica el TRU-016 y la secuencia de aminoácidos del TRU-016 se establecen respectivamente en las SEQ ID NOs: 1 y 2.

Se produjo TRU-016 mediante tecnología de ADN recombinante en un sistema de expresión de células de mamífero de ovario de hámster chino (CHO). Las células CHO transfectadas que producen el SMIP fueron cultivadas en un biorreactor usando medio propietario.

Los SMIPs de TRU-016 fueron purificados de los sobrenadantes de cultivo de CHO mediante cromatografía de afinidad de Proteína A. Usando dPBS, se equilibró una columna de sepharose de 50 mL rProtein A FF (GE Healthcare rProtein A Sepharose FF, nº de catálogo 17-0974-04) a 5,0 mL/min (150 cm/h) durante 1,5 volúmenes de columna (VC). El sobrenadante de cultivo se cargó en la columna de sepharose rProtein A FF con un caudal de 1,7 mL/min usando el AKTA Explorer 100 Air (GE healthcare AKTA Explorer 100 Air, nº de catálogo 18-1403-00), capturando el TRU-016 recombinante. La columna se lavó con dPBS con 5 volúmenes de columna (VC), después con NaCl 1,0 M, fosfato sódico 20 mM, pH 6,0, y a continuación con NaCl 25 mM, NaOAc 25 mM, pH 5,0. Estas etapas de lavado eliminaron las proteínas celulares del CHOs hospedantes no ligadas específicamente de la columna rProtein A que contribuyen a la precipitación del producto después de la elución.

El TRU-016 recombinante fue eluído de la columna con glicina 1000 mM, pH 3,5. Se recuperaron 10 mL de las fracciones del producto eluído y a continuación el producto eluído fue llevado a pH 5,0 con un 20% del volumen eluído de ácido 2-(N-morfolino)-etanosulfónico (MES) 0,5 M, pH 6,0. Este producto eluído se preparó para purificación de GPC por concentración de la muestra hasta aproximadamente 25 mg/mL de TRU-016 y a continuación se esterilizó por filtración como preparación para la purificación de GPC.

Entonces la proteína purificada fue sometida a cromatografía de exclusión de tamaño (SEC) por GPC para alcanzar una mayor purificación de la molécula de TRU-016 (dímero) a partir de agregados de mayor peso molecular. Usando dPBS, se equilibró una columna XK 50/100 (columna cromatográfica vacía GE healthcare XK 50/100, nº de catálogo 18-8753-01) que contenía 1 L de sepharose Superdex 200 FF a 12,6 mL/min (38 cm/h) con 1,5 volúmenes de columna (VC). Se aplicó un volumen máximo de muestra de 54 mL (3% de VC) a la columna. La columna continuó en marcha a 12,6 mL/min y la proteína eluída se fraccionó en fracciones de 40 mL. Se analizó cada fracción para determinar la calidad del producto usando un HPLC analítico, y las fracciones eluídas se agruparon para >95% POI (no agregado) de TRU-016. Dicho agrupamiento resultante fue esterilizado por filtración a 0,22 µm. A continuación se concentró el material y se formuló con fosfato sódico 20 mM y sacarosa 240 mM, con un pH resultante de 6,0. La composición se filtra antes de llevarse a viales de vidrio con una concentración de 10 mg/mL. Cada vial de vidrio contiene 5 mL de TRU-016 (50 mg/vial).

La proteína TRU-016 también fue sometida a análisis de SDS-PAGE en geles de Tris-glicina de Novex al 4-20% (Invitrogen, San Diego, CA). Las muestras fueron cargadas usando tampón de muestra SDS Tris-glicina de Novex (2X) en condiciones reductoras (adición de 1/10 de volumen de agente reductor de muestra NuPAGE) o no reductoras tras calentar a 95°C durante 3 minutos, seguido de electroforesis a 150V durante 90 minutos. Se llevó a cabo una electroforesis usando Tampón de elución SDS de Tris-Glicina Novex 1X (Invitrogen). Los geles fueron teñidos después de la electroforesis con tinte Coomassie SDS PAGE R-250 durante 30 minutos en agitación, y se destiñeron durante al menos una hora. El peso molecular predicho del péptido maduro es de 51,5 kDa. En

condiciones reductoras, la proteína de fusión migra en el peso molecular esperado. En condiciones no reductoras, la molécula migra a aproximadamente 150 kDa (Figura 1B).

También se llevaron a cabo experimentos para determinar que la especificidad de unión del anticuerpo original con el receptor de superficie celular CD37 se mantenía en el TRU-016. Se aislaron PBMCs humanas con gradientes de densidad LSM y se incubaron con TRU-016 sin conjugar y con CD19 anti-humano conjugado a PE. Las células se lavaron y se incubaron con 1:100 FITC GAH IgG (específico de Fc) durante 45 minutos en hielo. Las células se lavaron y se analizaron mediante citometría de flujo de dos colores en un instrumento FACsCalibur usando el software Cell Quest. Se prepararon las células para linfocitos B o linfocitos no B mediante tinción de CD19.

Al aumentar las concentraciones de TRU-016, la señal de FITC del linfocito B (puerta positiva de CD19) aumentó rápidamente de 0,01 a 1,0 µg/mL, hasta que alcanzó saturación a aproximadamente 1 µg/mL o una intensidad de fluorescencia media (MFI) de 1000. Por el contrario, la tinción de la población de linfocitos no B es detectable, pero muy baja, y aumenta lentamente al disminuir la concentración de scFvlg. Por tanto, el patrón de tinción de los anticuerpos monoclonales murinos G28-1 se preserva con el TRU-016 (Figura 1C).

Las moléculas de unión a CD37 según la invención describen estructuras (dominios de unión derivados de anticuerpos, variantes de bisagra, siendo las regiones CH2CH3 iguales o diferentes, y varios isotipos).

Ejemplo 2

5

15

30

45

50

El TRU-016 y varios anticuerpos específicos de CD37 se unen al mismo epítopo, o a epítopos solapantes, del CD37

Se llevaron a cabo experimentos para identificar el epítopo de CD37 unido a TRU-016 y otros anticuerpos específicos de CD37 descritos previamente.

20 MB371 no conjugado (nº555457) y MB371 conjugado a FITC (nº555456) fueron obtenidos de BD Pharmingen (San Jose, CA), BL14 conjugado a FITC (nº0457) de Immunotech/Beckman Coulter (Fullerton, CA), NMN46 conjugado a FITC (nºRDI-CBL 136FT) y NMN46 no conjugado (nºRDI-CBL 136) de RDI (Flanders, NJ), IPO24 conjugado a FITC (nº186-040) e IPO-24 no conjugado (nº186-020) de Ancell Corporation (Bayport, MN), HHI conjugado a FTIC (nº3081) y HH1 no conjugado (nº3080) de DiaTec.Com (Oslo, Noruega) y WR17 conjugado a FTIC (YSRTMCA483F) y WR17 no conjugado (YSRTMCA483S) de Accurate Chemical & Scientific (Westbury, NY). La proteína TRU-016 fue producida como se ha descrito en el Ejemplo 1.

El TRU-016 se conjugó a FITC a Trubion usando un Kit de marcado Molecular Probes Fluororeporter FITC (F6434) según las instrucciones del fabricante como se indica a continuación: el pico de interés (POI, del inglés "peak of interest") de la proteína TRU-016 a 13,5 mg/mL se ajustó a 5 mg/mL con PBS. Se añadió 1 mg (200 uL) a tubos de kit con una barra de agitación, y NaHCO₃ 1 M (ajustado a pH 8,5 con NaOH 6 N), se añadió a una concentración final de 0,1 M. Se añadieron 50 uL de DMSO a 370 ug de FITC y se añadió a los tubos con relaciones molares de 15, 20, 30 y 40 de FITC: proteína usando la siguiente fórmula para determinar los uL de FTIC a añadir: [uL de disolución de FITC a añadir = 5 mg/mL de proteína x 0,2 mL x 389 x 100 x relación molar deseada/Peso molecular de TRU-016 (110.000)].

Las reacciones fueron protegidas de la luz y se agitaron continuamente durante 75 minutos a temperatura ambiente. Las reacciones fueron añadidas a columnas de giro como se describe en el kit y se giraron a 1100 g durante 5 minutos para cambiar de tampón a PBS con azide y eliminar FITC no conjugado. La DO a 280 nM y 494 nM se determinó con gotas de 2 uL en el Nanodrop; el coeficiente de extinción para la TRU-016 se determinó experimentalmente para este instrumento haciendo lecturas de diluciones del SMIP no conjugado de partida, la concentración de cada uno de los conjugados fue de 4,25 mg/mL y se determinaron las siguientes relaciones FITC:proteína: 2,7 FITC/TRU-016 a una relación de 15; 3,7 FITC/TRU-016 a una relación de 20; 4,4 FITC/TRU-016 a una relación de 30; y 5,1 FITC/TRU-016 a una relación de 40.

Se añadió BSA a 3 mg/mL para ayudar a estabilizar la proteína. La unión de cada fracción se determinó a diluciones que oscilaban entre 100-24,300x en Ramos y 3200-25.600 en PBMC humanas. Todos se unieron, pero se eligió la relación MR30 para continuar ya que proporcionó un elevado MFI que se mantuvo por encima del rango de valoración usado. lo que indica que la actividad de unión se vio menos afectada en esta reacción.

Se valoraron los conjugados de anticuerpo marcado con FITC de 10 ng/mL a 10 µg/mL en un estudio de unión inicial para determinar las cantidades óptimas en los estudios de bloqueo: El nivel elegido estaba justo por debajo de las cantidades de saturación, y se mantuvo constante en los ensayos posteriores, mientras que los niveles de anticuerpo de bloqueo aumentaron del orden de 10 veces. Los datos se representaron como el porcentaje de unión máxima frente a la concentración de anticuerpo de bloqueo, de tal modo que los mayores niveles indican un bloqueo menos eficiente, mientras que niveles más bajos indican una actividad de bloqueo más eficiente. Todos los anticuerpo evaluados mostraron actividad de bloqueo de la unión máxima observada sin reactivos no marcados (Figura 2).

A continuación se tiñeron células BJAB, una línea de células B linfoblastoides B (cortesía de Ed Clark, Universidad de Washington) con un panel de varios clones de MAbs anti-CD37, que incluye MB371, BL14, NMN46, IPO24, HH1, WR17 y el SMIP TRU-016.

Para los ensayos de unión competitivos, se incubaron 2,5 X 10⁵ células BJAB en placas de fondo en V de 96 pocillos en medio de tinción (PBS con un 2% de suero de ratón) con los MAbs anti-CD37 conjugados a FITC a 1,25 μg/mL en presencia de MAb anti-CD37 no conjugado a las concentraciones indicadas (2,5, 1,25, 0,6 ó 0,3 μg/mL) o medio de tinción durante 45 minutos en hielo a oscuras. Los anticuerpos de bloqueo y los conjugados de anticuerpos marcados con FITC se añadieron a las reacciones antes de la adición de las células. A continuación se lavaron las células 2 ½ veces con PBS y se fijaron con paraformaldehído al 1% (nº 19943, USB, Cleveland, Ohio). Las células fueron analizadas mediante citometría de flujo usando un instrumento FACsCalibur y el software CellQuest (BD Biosciences, San Jose, CA).

Para los ensayos de bloqueo cruzado FACs, se incubaron 2,5 X 10⁵ células BJAB en placas de fondo en V de 96 pocillos en medio de tinción (PBS con un 2% de suero de ratón) en presencia de MAb anti-CD37 no conjugado a 5 μg/mL en medio de tinción durante 45 minutos a temperatura ambiente a oscuras. A continuación se añadieron MAbs anti-CD37 conjugados a FITC hasta una concentración final de 2 μg/mL, dando como resultado una dilución de los reactivos no marcados hasta 3,3 μg/mL. A continuación las reacciones fueron incubadas adicionalmente durante 45 minutos a temperatura ambiente a oscuras. Las reacciones se lavaron 2,5 veces con PBS y se fijaron en paraformaldehído al 1% (nº 19943, USB, Cleveland, Ohio). Las células fueron analizadas mediante citometría de flujo en un instrumento FACsCalibur usando el software Cell Quest (BD Biosciences, San Jose, CA).

Para los ensayos de unión de células, las células fueron suspendidas en PBS (nº 14040-133, Gibco/Invitrogen, Grand Island NY) que contenía un 2% de FBS (nº 16140-071, Gibco/Invitrogen, Grand Island, NY), (medio de tinción) a una concentración de aproximadamente 4 x 10⁶ células/mL. A continuación las células fueron llevadas a placa y las muestras de ensayo se diluyeron en medio de tinción; entonces se añadieron 1:1 hasta las concentraciones finales designadas. Las reacciones fueron incubadas durante 45 minutos en hielo. Las muestras se centrifugaron y se lavaron 2 veces con PBS. Se añadió IgG anti-humana de cabra FITC (nº H10501, CalTag, Burlingame CA) a una dilución final de 1:50, y se incubó 45 minutos en hielo. Las muestras fueron centrifugadas, lavadas en PBS, después fijadas en 200µL de paraformaldehído al 1% en PBS (nº 19943, USB, Cleveland, Ohio). Las células fueron analizadas mediante citometría de flujo en un instrumento FACs Calibur usando el software Cell Quest (BD Biosciences, San Jose, CA).

Todos los anticuerpos mostraron una inhibición de la unión dependiente de la dosis, lo que indica que todas las moléculas evaluadas se unen a un epítopo idéntico o estrechamente relacionado. Para cada anticuerpo se observó una potencia diferente de inhibición de la unión. El SMIP de TRU-016 presentó el nivel más alto de actividad de bloqueo entre todas las moléculas evaluadas, mientras que el HH1 proporcionó un nivel intermedio de actividad de bloqueo, y el WR17, el IPO24 bloquearon mejor que el MB371; pero mostraron un bloqueo menos efectivo que otras dos moléculas relacionadas (Figura 2).

Además del análisis de actividad de bloqueo, se llevó a cabo una serie similar de experimentos en la que varios anticuerpos dirigidos a CD37 fueron evaluados para determinar su capacidad para competir unos con otros por la unión al receptor CD37. Los resultados de estos experimentos, como los resultados obtenidos en los estudios de bloqueo para todas las moléculas ensayadas, indicaron que los diversos anticuerpos dirigidos a CD37 y el TRU-016 tenían el mismo epítopo, o epítopos estrechamente solapantes.

Ejemplo 3

40

45

5

10

15

El TRU-016 es deficiente en unión a C1q y en activación del mecanismo de activación de complemento clásica

Se llevaron a cabo experimentos para explorar porqué el pico de dímero de TRU-016 no consigue mediar niveles significativos de muerte dependiente de complemento de dianas de células B. Una posibilidad fue que el dímero de TRU-016 muestra una unión reducida a componentes de la cascada de complemento respecto a anticuerpo de IgG1 humana normal. Por tanto, se llevaron a cabo experimentos para determinar si el TRU-016 activa el mecanismo de activación de complemento clásica observando la unión de TRU-016 y C1q. El C1q es una subunidad del complejo de enzima C1 que activa el sistema de complemento de suero, y es el componente de reconocimiento del mecanismo de activación de complemento clásica.

Se llevaron a cabo estudios de unión de C1 q como se ha descrito previamente (Cragg et al., Blood 2004, 103: 2738-2743). Resumidamente, se llevaron a placa células B en medio Iscoves (nº 12440-053, Gibco/Invitrogen, Grand Island, NY) sin suero en placas de fondo en V de 96 pocillos a 5 X 10⁵/pocillo en 100 μL. Las células fueron incubadas con reactivos durante 15 minutos a 37°C, y a continuación se añadió suero humano normal (NHS, nº A113, Quidel Corp., San Diego, CA) diluido en Iscoves hasta un volumen de 50 μL a cada pocillo para una concentración final de 10, 5, 2,5 ó 1,25 % de suero humano. Se añadieron cincuenta μL de medio al pocillo de control. Para los experimentos de factor de veneno de cobra (CVF), se añadió CVF a muestras de complemento de suero humano a 20 Unidades de CVF/mL de suero durante 90 minutos a 37°C antes de la adición de suero a los

ensayos de complemento, y la dilución de suero por CVF se contabilizó cuando se prepararon las diluciones de muestra.

Se incubaron las células más fuente de complemento durante otros 5 minutos más a 37°C, y se lavaron 2 veces con PBS frío (nº 14040-133, Gibco/Invitrogen, Grand Island, NY) mediante centrifugación y se volvieron a suspender en 100 µL de PBS. Se transfirieron cincuenta µL de cada pocillo a una segunda placa para una segunda etapa de tinción de control. Ambas placas se tiñeron durante 15 minutos a oscuras en hielo con C1q anti-HU de oveja FITC (nº C7850-06A, US Biological, Swampscott, Mass) o con IgG de oveja FITC (nº 11904-56P, US Biological, Swampscott, Mass). Las muestras fueron lavadas, resuspendidas en PBS frío, y leídas inmediatamente en un citómetro de flujo FACsCalibur y analizadas con software Cell Quest (Becton Dickinson, San Jose, CA).

- El FITC C1q no se une bien a ninguna subfracción de TRU-016 purificada con SEC, aunque la fracción de mayor peso molecular (HMW) o la de agregado de A2 muestra más unión que las otras formas (Figura 3A). Por el contrario, el rituxan mostró un nivel significativo de unión a C1q, particularmente a menores niveles de NHS. La presencia de CVF no consiguió bloquear completamente dicha unión, aunque los niveles de MFI se redujeron significativamente en comparación con medio solo.
- A continuación se llevaron a cabo ensayos de CDC para comparar la capacidad de las diferentes subfracciones de 15 las formas purificadas de TRU-016 y de Rituxan para participar en la muerte celular en presencia o en ausencia de CVF y complemento de suero humano (Figura 3B). Los ensayos de CDC se llevaron a cabo usando tinción con yoduro de propidio para discriminar entre células vivas y muertas tras las incubaciones de células diana con anticuerpo, proteínas de fusión, fluido ascítico, formas moleculares de TRU-016 o medio, y una fuente de complemento tal como suero humano. Resumidamente, se pre-incubaron 3 x 10⁵ células B Ramos con reactivos de 20 ensayo durante 30-45 minutos a 37°C antes de la adición de complemento. Las muestras preligadas se centrifugaron, se lavaron y se resuspendieron en Iscoves con suero humano (nº A113, Quidel, San Diego, ČA) en las concentraciones indicadas, entonces se incubaron durante 90 minutos a 37°C. Se lavaron las muestras y se añadió voduro de propidio (nº P-16063, Molecular Probes, Eugene, OR) a una concentración final de 0.5 µg/mL en PBS. 25 Las células se incubaron con el yoduro de propidio durante 15 minutos a temperatura ambiente a oscuras y a continuación se analizaron por citometría de flujo en un instrumento FACsCalibur con software CellQuest (Becton Dickinson).

La muerte celular mediada por la fracción A2 de TRU-016 y Rituxan se vio reducida significativamente en presencia de CVF a pesar de fallar en inhibir completamente la unión de C1 q (Figura 3B).

- 30 Entonces se compararon los complementos humano y de conejo en cuanto a actividad de CDC en presencia del TRU-016. Se midió la actividad de CDC de las formas moleculares de TRU-016 incubadas con células B Ramos y complemento humano y de conejo (Figura 3C). Las células B Ramos se añadieron a pocillos con medio libre de suero. Se añadió a las células Rituxan o el dímero, HMW A2, o fracciones pA de TRU-016 para obtener una concentración final de 10 μg/mL, y se incubó durante 15 minutos a 37°C, antes de lavar 1,5X en medio libre de suero y adición de suero humano normal (NHS) o complemento de conejo (Pelfreez) a 10, 5 ó 2,5 %. Las células más la fuente de complemento se cultivaron 90 minutos a 37°C. Las células se lavaron una vez con PBS frío y se añadió yoduro de propidio (Molecular Probes n°P3566) a una concentración final de 0,5 μg/mL en PBS frío. Las células con PI fueron incubadas a oscuras a temperatura ambiente durante 15 minutos y se analizaron por citometría de flujo.
- El origen de la fracción de complemento afecta a los resultados de CDC obtenidos (Figura 3C). El complemento de conejo medió niveles de CDC más elevados que el complemento humano en presencia de formas moleculares de TRU-016. Cabe destacar que la forma de dímero del TRU-016 medió bien en CDC usando complemento de conejo, pero muy poco en la actividad de CDC en presencia de complemento humano.

Ejemplo 4

Actividad y Unión de Multímeros de TRU-016

- 45 Se llevaron a cabo experimentos para examinar la actividad biológica de formas multiméricas de TRU-016 (multímeros de TRU-016) en disolución. En primer lugar, para determinar el tamaño de la proteína de fusión de TRU-016 en disolución, se analizó el material purificado de proteína A mediante HPLC SEC, que reveló que el TRU-016 existe en formas múltiples en disolución (Figura 4).
- Se obtuvieron trazas de cromatografía HPLC de exclusión de tamaño (SEC) a partir de purificación GPC del TRU016, representando la absorbancia frente al tiempo de retención para las diferentes fracciones recogidas (Figura 4).
 El TRU-016 se purificó a partir de sobrenadantes de cultivo celular inicialmente por cromatografía de afinidad usando Sepharose de proteína A. La molécula recombinante fue eluída de la columna con glicina 100 mM, pH 3,5. Se recuperaron 10 mL de las fracciones del producto eluído y a continuación el producto eluído fue llevado a pH 5,0 con un 20% del volumen eluído de ácido 2-(N-morfolino)-etanosulfónico (MES) 0,5 M, pH 6,0. El eluato se preparó para purificación de GPC por concentración de la muestra hasta aproximadamente 25 mg/mL de TRU-016 y a continuación se esterilizó por filtración como preparación para la purificación de GPC. Se llevó a cabo una cromatografía de exclusión de tamaño en un aparato GE Healthcare AKTA Explorer 100 Air, usando una columna GE healthcare XK y Superdex 200 de grado preparativo (GE Healthcare).

Los conjuntos de HMW o A2 exhibieron un tiempo de retención de aproximadamente 6,23 minutos, mientras que la forma más prominente mostró un tiempo de retención de 8,38 minutos. El patrón de referencia usado aquí (patrón pA o pA std [del inglés, "standard"]) es un material purificado con proteína A que contiene ambos dímeros y formas multiméricas HMW, tal como se muestra en el primer panel de la Figura 4. La forma más prominente, que migra a un tiempo de retención de 8,38 minutos, con alta probabilidad corresponde en la molécula dimérica vista en SDS-PAGE no reducida, y varias formas menores corresponden muy probablemente a multímeros que se asocian a través de interacciones no covalentes, ya que no son evidentes en SDS-PAGE no reductor. Para separar estas formas diferentes de TRU-016, el material obtenido por cromatografía de afinidad en sepharose de proteína A de sobrenadantes de cultivo se purificó adicionalmente mediante GPC y fraccionamiento de HPLC para aislar la forma dimérica (identificada como "dímeros" o "pico de dímeros") de multímeros de mayor peso molecular (identificados como HMW o fracción A2 ag.). Estas tres subfracciones fueron analizadas a continuación de forma separada para determinar la actividad funcional *in vitro* usando ensayos de unión, ADCC y CDC.

10

15

20

25

50

55

60

Para explorar si las fracciones aisladas en SEC mostraban diferentes propiedades de unión, cada fracción SEC de TRU-016 fue evaluada en términos de unión a células Ramos. Para determinar las propiedades de unión de las fracciones SEC, las células fueron suspendidas en medio de tinción a una concentración de aproximadamente 4x10⁶ células/mL y a continuación se llevaron a placa a 50 μL/pocillo (2x10⁵ células/pocillo) en medio de tinción. A continuación se añadieron diluciones en serie de fracciones SEC a pocillos secuenciales, se incubaron durante 45 minutos, se lavaron y se detectó la actividad de unión usando IgG anti-humana de cabra FITC. Las muestras se fijaron en 200 μL en paraformaldehído al 1% en PBS. Las células fueron analizadas mediante citometría de flujo en un instrumento FACsCalibur usando el software Cell Quest (BD Biosciences, San Jose, CA) (Figura 5A).

Para determinar la actividad de CDC de las fracciones SEC, se suspendieron las células a 5x10⁵ células/pocillo en 75 μL de IMDM. Las fracciones SEC de TRU 016 (75 μL) fueron añadidas a las células al doble de las concentraciones indicadas. Se dejaron proceder las reacciones de unión durante 45 minutos antes de centrifugación y lavado en Iscoves libre de suero. Las células fueron resuspendidas en Iscoves con suero humano (nºA113, Quidel, San Diego, CA) a las concentraciones indicadas. Las células fueron incubadas 60 minutos a 37°C, se lavaron y se resuspendieron en medio de tinción con 0,5 μg/mL de yoduro de propidio (PI, nºP-16063, Molecular Probes, Eugene OR). Las muestras fueron incubadas 15 minutos a temperatura ambiente a oscuras antes de análisis por citometría de flujo usando un FACsCalibur y software CellQuest (Becton Dickinson) (Figura 5B).

Para determinar la actividad de ADCC de las fracciones SEC, se marcaron células B (10^7 células) linfoblastoides BJAB, Ramos y Daudi con 500 μ Ci/mL de cromato sódico 51 Cr durante 2 horas a 37°C en IMDM/10%FBS. Se 30 aislaron PBMCs a partir de sangre entera humana heparinizada por fraccionamiento en gradientes de Medio de Separación de Linfocitos (LSM, ICN Biomedical). Se añadieron muestras de reactivo a medio RPMI con un 10% de FBS y se prepararon cinco diluciones en serie para cada reactivo. Para las combinaciones, los reactivos fueron premezclados y diluidos antes de la adición a los pocillos. Las BJAB marcadas con ⁵¹Cr fueron añadidas a (2 x 10⁴ células/pocillo). A continuación se añadieron las PBMCs a (5 x 10⁵ células/pocillo) para una relación final de 25:1 de 35 efectores (PBMC):dianas (BJAB). Las reacciones se prepararon en pocillos cuadruplicados de una placa de 96 pocillos. Las fracciones SEC de TRU-016 se añadieron a los pocillos a una concentración final que oscila entre 10 ng/mL y 20 µg/mL como se indica en las figuras. Cada serie de datos representa una fracción SEC diferente en los rangos de valoración descritos. Se dejó que las reacciones procedieran durante 6 horas a 37°C en CO₂ al 5% antes de la recolección y el recuento. Se midió el CPM liberado en un Packard TopCounNXT a partir de 50 µL de 40 sobrenadante de cultivo seco. Se calculó el porcentaje de muerte específica restando (CPM [media de muestras cuadruplicadas] de muestra - liberación espontánea de CPM) / (liberación máxima de CPM - liberación espontánea de CPM) x 100 (Figura 5C).

La Figura 5A muestra las curvas de valoración de las diferentes fracciones SEC que se unen a células Ramos.

Todas las moléculas fraccionadas se unieron a CD37 con similares curvas de unión excepto a las mayores concentraciones evaluadas, donde el material HMW exhibió una mejor unión (mayor intensidad de fluorescencia) que un patrón de pA y que las formas de pico dimérico.

También se llevaron a cabo experimentos para determinar si las fracciones SEC de TRU-016 presentaban diferentes niveles de actividad funcional, tal como la muerte celular dirigida mediada por CDC y ADCC. El gráfico mostrado en la Figura 5B indica que solo la fracción multimérica de HMW purificada media en niveles significativos de actividad de CDC contra células B Ramos usando complemento humano. El patrón de pA exhibió algo de actividad de CDC a mayores concentraciones, mientras que la forma de pico dimérico mostró muy poca o ninguna actividad de CDC a todas las concentraciones evaluadas.

Se llevaron a cabo ensayos de ADCC con diluciones en serie de varias fracciones de tamaño de TRU-016 usando células B BAJB marcadas como dianas y PBMC humanas como células efectoras. Las fracciones SEC de TRU-016 estuvieron presentes en los pocillos con una concentración final que oscilaba entre 10 ng/mL y 20 µg/mL, tal como se indica en la gráfica mostrada en la Figura 5C. Cada serie de datos representa una fracción SEC diferente en los rangos de valoración descritos. Los datos fueron representados como % de muerte específica frente a concentración de proteína. Todas las subfracciones SEC, que incluyen el patrón de pA, HMW o la fracción A2, y el pico dimérico, mediaron una ADCC potente dependiente de dosis contra células diana BJAB. También se obtuvieron resultados similares usando células Ramos como dianas marcadas (datos no mostrados).

Ejemplo 5

5

10

15

25

30

35

40

Producción de una molécula de unión específica a CD20

Los SMIPs específicos de CD20 se describen en las Publicaciones de Patente de EE.UU. compartidas 2003/133939, 2003/0118592 y 2005/0136049. A continuación se describe la producción de un ejemplo de SMIP específico de CD20, el TRU-015.

El TRU-015 es una proteína recombinante (murina/humana) de cadena sencilla que se une al antígeno CD20. El dominio de unión se basó en una secuencia de anticuerpo CD20 humano disponible públicamente. El dominio de unión está conectado al dominio efector, los dominios CH2 y CH3 de IgG1 humana, a través de una región de bisagra CSS modificada. El TRU-015 existe como dímero en disolución y el dímero tiene un peso molecular teórico de aproximadamente 106.000 daltons. La secuencia de nucleótidos que codifica el TRU-015 y la secuencia de aminoácidos del TRU-015 se establecen respectivamente en las SEQ ID NOs: 3 y 4.

En referencia a la secuencia de aminoácidos fijada en la SEQ ID NO: 4, el TRU-015 comprende la secuencia de clonación de péptido líder 2e12 de los aminoácidos 1-23; la región variable de cadena ligera de CD20 anti-humano murino 2H7 con una sustitución de aminoácido de lisina a serina (VHL11S) en el residuo 11 de la región variable, que se refleja en la posición 34; un ligando asp-gly3-ser-(gly4ser)2 que comienza en el residuo 129, presentando el ligando una serina adicional al final para incorporar el sitio de restricción SacI para el barajado de casete; la región variable de cadena pesada de CD20 anti-humano murino 2H7, que carece de un residuo de serina en el extremo de la región de cadena pesada, es decir, que cambia de VTVSS a VTVS. un dominio Fc de IgG1 humana, que incluye una región de bisagra modificada que comprende una secuencia (CSS), y dominios CH2 y CH3 naturales.

Las células CHO que producen TRU-015 fueron cultivadas en un biorreactor usando medio propietario. El TRU-015 se purificó usando una serie de etapas cromatográficas y de filtración que incluyen un filtro de reducción de virus. A continuación se concentró el material y se formuló con fosfato sódico 20 mM y sacarosa 240 mM, con un pH resultante de 6,0. La composición se filtra antes de llevarse a viales de vidrio con una concentración de 10 mg/mL. Cada vial de vidrio contenía 5 mL de TRU-015 (50 mg/vial).

Ejemplo 6

Las combinaciones de TRU-016 con TRU-015 o Rituxan aumentan sinérgicamente la apoptosis en células B

Se llevaron a cabo experimentos que examinan el efecto de SMIPs dirigidos a células B sobre la apoptosis de la línea de células B. Se evaluó cada SMIP individualmente y después en combinación. Las muestras fueron analizadas a 24 y 48 horas tras el inicio de las reacciones de incubación. Se llevó a cabo un análisis de Anexina/PI como se indica a continuación: se incubaron células BJAB (cortesía de Ed Clark, Universidad de Washington), Ramos (ATCC nº CRL-1596) y Daudi 24 ó 48 horas a 37°C en CO₂ al 5% en medio completo de Iscoves (Gibco) con FBS al 10% a 3 X 10⁵ células/mL y 20 µg/mL de proteína SMIP. Adicionalmente, se añadieron 20 µg/mL de IgG antihumana de cabra a las reacciones con el objetivo de reticular reactivos sobre la superficie celular. A continuación las células fueron teñidas con Anexina V-FITC y yoduro de propidio usando el Kit I de detección de apoptosis BD de Pharmigen (nº556547), y se procesaron según las instrucciones del kit. Resumidamente, las células fueron lavadas dos veces con PBS frío y resuspendidas en "tampón de unión" a 1X10⁶ células/mL. A continuación se tiñeron cien microlitros de las células en tampón de unión con 5 µL de Anexina V-FITC y 5 µL de yoduro de propidio. Las células fueron sometidas suavemente a vórtice e incubadas a oscuras a temperatura ambiente durante 15 minutos. A continuación se añadieron cuatrocientos microlitros de tampón de unión a cada muestra. Después fueron leídas y analizadas en un instrumento FACsCalibur (Becton Dickinson) usando el software Cell Quest (Becton Dickinson).

La Tabla 2 presentada a continuación muestra que, en presencia de reticulación, el tratamiento con TRU-016 tiene un efecto más significativo sobre la apoptosis de líneas celulares que el TRU-015 solo, aunque ambas moléculas cuando se usan solas inducen algo de apoptosis. El incremento varía dependiendo de la línea celular.

TABLA 2

BJAB	Positivo de Anexina V	
Sin SMIP	17,5	
SMIP CD20	27	
SMIP CD37	30,6	
SMIP CD19	29,1	
SMIP CD20+CD37	41	
SMIP CD20+CD19	37,1	
SMIP CD37+CD19	35,3	

BJAB	Positivo de Anexina V	
		más GMA
Ramos	Positivo de Anexina V	Positivo de Anexina V
células solas	3	3,3
MAb CD20	1,4	3,1
MAb CD37	18,3	8,7
MAb CD19	3,7	3,1
MAb CD40	3,9	8,3
CD20+CD37	32,3	35,7
CD20+CD19	5	10,5
CD20+CD40	5,7	19,4
CD19+CD37	26,9	50
CD19+CD40	8,2	18,4

Ejemplo 7

10

15

20

25

Combinaciones de TRU-016 con anticuerpos o SMIPs específicos de CD20 aumentan de forma sinérgica la CDC

Se llevaron a cabo experimentos para determinar la actividad de CDC de las combinaciones de TRU-016 con anticuerpos o SMIPs específicos de CD20 contra células B. La cantidad de reactivos elegida para los experimentos de combinación fue de 0,5 µg/mL de TRU-016 mientras que la de TRU-015 también fue de 0,5 µg/mL. La concentración de rituxan fue normalmente de 0,04-0,06 µg/mL debido a su mayor actividad en experimentos de CDC con un solo reactivo. En algunos experimentos, la concentración de reactivo CD20 se mantuvo constante en una concentración por debajo de la óptima, mientras que la concentración de TRU-016 fue variada para explorar los niveles mínimos de reactivo dirigido a CD37 requeridos para observar efectos de aumento en la CDC.

Las células fueron suspendidas en Iscoves (n°12440-053, Gibco/Invitrogen, Grand Island, NY) a 5 x 10E5 células/pocillo en 75 μ L. Se añadió TRU-016 (75 μ L), TRU-015, rituxan o combinaciones de dichos reactivos a las células al doble de la concentración indicada. Se dejaron proceder las reacciones de unión durante 45 minutos antes de centrifugación y lavado en Iscoves libre de suero. Las células fueron resuspendidas en Iscoves con suero humano (n°A113, Quidel, San Diego, CA) a las concentraciones indicadas. Las células se incubaron durante 60 minutos a 37°C. Las células fueron lavadas mediante centrifugación y resuspendidas en 125 μ L de PBS con FBS al 2% (n°16140-071, Gibco, Invitrogen, Grand Island, NY), medio de tinción. Las células fueron transferidas a grupos de tubos FACS (n°4410, CoStar, Corning, NY) y se añadieron 125 μ L de medio de tinción con 5 μ L de yoduro de propidio (PI, n° P-16063, Molecular Probes, Eugene OR). Las muestras fueron incubadas 15 minutos a temperatura ambiente a oscuras antes de análisis por citometría de flujo usando un FACsCalibur y software CellQuest (Becton Dickinson).

La Figura 6 muestra que para concentraciones por debajo de la óptima para matar como un agente individual, el TRU-015 y el rituxan exhiben altos niveles de actividad de CDC cuando se combinan con el TRU-016. El TRU-016 solo no consiguió mediar en CDC a menos que hubiera presentes agregados. El agotamiento de C1 q de las reacciones da como resultado la eliminación de toda la actividad de CDC observada.

La Figura 7 muestra un experimento de combinación llevado a cabo con células B DHL-4. La adición de TRU-016 a las reacciones de CDC da como resultado un desplazamiento a la baja de la curva de muerte de TRU-015, lo que demuestra una muerte más efectiva a cada concentración evaluada incluso aunque el TRU-016 exhibe menos actividad o ninguna actividad.

30 La Figura 8 muestra otro experimento de CDC en el que los reactivos de muestra se mezcla en las siguientes proporciones: 0,5 μ/mL de TRU-015, 0,5 μg/mL de TRU-016 y 0,06 μg/mL de rituxan. Nuevamente, los agentes individuales se usan en concentraciones inferiores a las óptimas a fin de observar efectos de aumento en la presencia de TRU-016. Para TRU-015 y rituxan, el TRU-016 potencia el nivel de muerte de CDC cuando se añade a los ensayos.

Las Figuras 9 y 10 muestran representaciones gráficas de los datos correspondientes a ensayos CDC en los que la concentración de TRU-015 o de rituxan se mantuvo constante y la concentración de TRU-016 se aumentó. De

nuevo, la actividad de CDC fue mayor cuando se añadió TRU-016 a las reacciones, pero el aumento de la concentración de TRU-016 de 2,5 μ g/mL a 0,5 μ g/mL no aumentó significativamente la muerte mediada por CDC en dichos experimentos.

Ejemplo 8

10

15

20

25

30

35

40

45

50

55

5 El TRU-016 aumenta la actividad de ADCC y CDC de anticuerpos y SMIPs específicos de CD20

Se llevaron a cabo experimentos para determinar si las combinaciones de SMIP TRU-016 con anticuerpos o SMIPs específicos de CD20 podrían aumentar la actividad de ADCC y CDC contra dianas de células B.

Se marcaron células B (10E7 células) linfoblastoides BJAB, Ramos y Daudi con 500 μCi/mL de cromato sódico ⁵¹Cr durante 2 horas a 37°C en IMDM/10%FBS. Las células BJAB marcadas fueron lavadas tres veces en RPMI/FBS al 10% y resuspendidas a 4x10E5 células/mL en RPMI. Se obtuvo sangre entera heparinizada de donantes domésticos anónimos y se obtuvieron PBMC aisladas por fraccionamiento con gradientes de Medio de Separación de Linfocitos (LSM, ICN Biomedical). Se recolectaron las capas leucocitarias y se lavaron dos veces en RPMI/FBS al 10% antes de resuspender en RPMI/FBS al 10% en una concentración final de 3 x 10E6 células/mL. Las células fueron contabilizadas mediante exclusión de azul de tripano usando un hemacitómetro antes de ser usadas en ensayos posteriores. Las muestras reactivas se añadieron a medio RPMI con FBS al 10% a 4 veces la concentración final y se prepararon cinco diluciones en serie de cada reactivo. Para las combinaciones, los reactivos fueron premezclados y diluidos antes de la adición a los pocillos. Dichos reactivos se añadieron entonces a placas de fondo en U de 96 pocillos a 50 μL/pocillo para las concentraciones finales indicadas. Las células BJAB marcadas con ⁵¹Cr se añadieron a las placas a 50 μL/pocillo (2 x 10E4 células/pocillo). Entonces se añadieron las PBMCs a las placas a 100 μL/pocillo (3 x 10E5 células/pocillo) para una proporción final de 15:1 de efectores (PBMC):dianas (BJAB).

Los efectores y las dianas se añadieron al medio solas para medir la muerte de ruido de fondo. Las BJAB marcadas con ⁵¹Cr se añadieron al medio solas para medir la liberación espontánea de ⁵¹Cr y a medio con NP40 al 5% (nº28324, Pierce, Rockford, IL) para medir la máxima liberación de ⁵¹Cr. Las reacciones se prepararon en pocillos cuadruplicados de una placa de 96 pocillos. Los SMIPs se añadieron a los pocillos a una concentración final que oscila entre 12 ng/mL y 1 µg/mL como se indica en las figuras. Para las combinaciones de SMIP, los reactivos fueron mezclados antes de la adición a los pocillos. Cada serie de datos representa un SMIP individual diferente o una combinación en los rangos de valoración descritos. Se dejó que las reacciones procedieran durante 6 horas a 37°C en CO₂ al 5% antes de la recolección y el recuento. A continuación se transfirieron cincuenta µL del sobrenadante de cada pocillo a una Placa Luma 96 (nº6006633, Perkin Elmer, Boston, Mass) y se secaron durante una noche a temperatura ambiente. Se midió el CPM liberado en un Packard TopCounNXT. Se calculó el porcentaje de muerte específica restando (CPM {media de muestras cuadruplicadas} de muestra - liberación espontánea de CPM) / (liberación máxima de CPM - liberación espontánea de CPM) x 100.

Los datos fueron representados como % de muerte específica frente a concentración de SMIP. En cada figura se indica la proporción de efector a diana, y también se indica la línea de células diana. Las Figuras 11, 12 y 13 muestran datos correspondientes a experimentos con diferentes líneas celulares (BJAB, Daudi y Ramos) en los que se usó el mismo donante.

En las Figuras 14 y 15 (rituxan + TRU-016) y en las Figuras 16 y 17 (TRU-015 + TRU-016) se presentan los datos correspondientes a experimentos en los que la línea celular diana usada fue BJAB. La muerte específica observada para todas las combinaciones fue mayor que para cualquier reactivo solo a la misma concentración; lo que indica que los SMIPs dirigidos a CD20 y CD37 aumentan la muerte mediada por los demás, aunque el efecto de aumento no es completamente aditivo.

Por tanto, el TRU-016 puede potenciar la muerte de células B mediada por ADCC de SMIP específico de CD20 o del anticuerpo específico de CD20.

Se diseñaron experimentos iniciales para explorar los efectos de las combinaciones de TRU-016 con anticuerpos dirigidos a CD20 para determinar las cantidades relativas de cada reactivo a usar de tal modo que la sinergia en la CDC pudiera ser detectable. Se suspendieron células Ramos en IMDM, y se añadió TRU-016, Rituxan, o combinaciones de dichos reactivos a las células a las concentraciones finales indicadas en la Figura 18. Se dejaron proceder las reacciones de unión durante 45 minutos antes de centrifugación y lavado en Iscoves libre de suero. Las células fueron resuspendidas en Iscoves con NHS al 10%. Las células se incubaron durante 60 minutos a 37°C. En los experimentos mostrados en la Figura 18 A-C, las células fueron lavadas por centrifugación y resuspendidas en medio de tinción que contenía 0,5 µg/mL de yoduro de propidio (PI, n°P-16063, Molecular Probes, Eugene OR). Las muestras fueron incubadas 15 minutos a temperatura ambiente a oscuras antes de análisis por citometría de flujo usando un FACsCalibur y software CellQuest (Becton Dickinson).

El pico de dímero de TRU-016 más altamente purificado es un mediador pobre de la CDC cuando se usa solo, tal como se muestra en la Figura 18A a través de una curva de dosis-respuesta plana incluso a altas concentraciones. Debido a que los reactivos dirigidos a CD20 fueron inductores eficaces de actividad de CDC, eran deseables cantidades no saturantes de los reactivos dirigidos a CD20 en los experimentos de combinación, de tal modo que la sinergia entre los reactivos pudiera ser detectada. A partir de estos estudios iniciales, la cantidad habitual de reactivo

elegida para los experimentos de combinación fue de 0,5 µg/mL o de 2 µg/mL de TRU-016. La concentración de Rituxan fue normalmente de 0,04-0,06 µg/mL debido a su mayor actividad en los experimentos de CDC como reactivo individual. En algunos experimentos, la concentración de reactivo CD20 se mantuvo constante en una concentración por debajo de la óptima, mientras que la concentración de TRU 16 fue variada para explorar los niveles mínimos de reactivo dirigido a CD37 requeridos para observar efectos de aumento en la CDC. Por tanto, el TRU-016 solo no consiguió mediar en CDC a menos que hubiera presentes agregados.

La Figura 18B muestra un gráfico del porcentaje de células vivas (PI negativas) observadas en el rango de valoración indicado (0,06-0,5 µg/mL) cuando se usa Rituxan solo o en combinación con TRU-016 a 2,5 µg/mL. El Rituxan, cuando se utiliza en un intervalo de dosis por debajo de la óptima para matar como reactivo individual, exhibe mayores niveles de actividad de CDC a todas las concentraciones cuando se combina con TRU-016 (Figura 18B). El agotamiento de C1q de las reacciones da como resultado la eliminación de toda la actividad de CDC observada (Figura 3B).

En la Figura 18C, las muestras también se incubaron con FTIC anti-C1q durante 45 minutos en hielo antes del análisis por citometría de flujo. La ventana de linfocitos estaba en las células comprometidas. El porcentaje de células en dicha ventana aumentó al aumentar la concentración de Rituxan, y se representó la MFI relativa para dicha población de células. La Figura 18C muestra los resultados de un experimento de CDC en el que las muestras reactivas se mezclaron en las siguientes proporciones: 0,5 μg/mL para TRU-016, y concentraciones de Rituxan que oscilan entre 0,06 μg/mL y 0,5 μg/mL, y las células teñidas con PI antes de la citometría de flujo. Los resultados muestran un aumento dependiente de dosis en MFI al aumentar la dosis de Rituxan. La adición de formas diméricas de TRU-016 dio como resultado un aumento adicional de la MFI para todas las concentraciones de Rituxan. Se llevó a cabo una serie similar de ensayos de CDC, manteniendo constante la concentración de Rituxan y aumentando la concentración de TRU-016. Nuevamente, la actividad de CDC fue mayor cuando se añadió TRU-016 a las reacciones de Rituxan; pero el aumento de la concentración de TRU-016 desde 2,5 μg/mL a 0,5 μg/mL no aumentó significativamente la muerte mediada por CDC en estos experimentos (datos no mostrados).

Las proteínas de Rituxan y TRU-016 usadas individualmente y en combinación una con la otra se compararon en términos de actividad de CDC *in vitro* usando un rango de concentración similar al usado para los ensayos de CDC. La Figura 18D muestra los resultados de un ensayo de ADCC con dianas de células Ramos y células efectoras PBMC humanas a una relación efector a diana de 25:1, usando TRU-016 o Rituxan, solos o en combinación uno con el otro en los rangos de concentración indicados. Se obtuvieron datos similares con una proporción efector:diana de 12,5:1. Tanto la forma dimérica del TRU-016 como el Rituxan median en niveles significativos de ADCC contra células Ramos que expresan los antígenos diana CD20 y CD37; sin embargo, la combinación de los dos reactivos no da como resultado un aumento significativo del nivel de muerte.

Ejemplo 9

5

10

15

20

45

50

55

El TRU-016 induce apoptosis en células B

Se llevaron a cabo experimentos que examinan el efecto del TRU-016 en la apoptosis de la línea de células B. Se llevaron a cabo ensayos iniciales de los efectos sobre la apoptosis de moléculas de TRU-016 dirigidas a diferentes receptores de células B diferentes usando material purificado con proteína A que todavía contenía agregados de orden superior. Después de un tratamiento de 24 horas con anticuerpos de CD37 o moléculas diseñadas de TRU-016, se observaron patrones similares de aumento de apoptosis en experimentos múltiples usando los porcentajes de células positivas en anexina V como medida de la actividad apoptótica y ambas células B, Ramos y BJAB, como dianas de unión (datos no mostrados).

La Figura 19A demuestra que la apoptosis se ve incrementada significativamente tras incubación de líneas de células B con TRU-016 no fraccionado. La Figura 19A muestra una gráfica punteada de la tinción con PI-anexina V de células Ramos tras incubación durante 24 horas con el TRU-016 (10 µg/mL). El % de células doble positivas para anexina V-PI aumentó de 11,3 % de la población total a 32,8%, y el % de células positivas para anexina V y negativas para PI aumentó de 8,5% a 19,7%, lo que indica que la apoptosis se induce tras exposición a TRU-016. Se obtuvieron datos similares cuando se usaron células Ramos o BJAB como dianas de unión en estos ensayos.

Se llevaron a cabo otros experimentos que examinan el efecto del TRU-016 sobre la apoptosis de la línea de células B usando la forma dimérica más altamente purificada del TRU-016 (Figura 19B). Las muestras fueron analizadas a 24 y 48 horas tras el inicio de las reacciones de incubación. Se realizó un análisis de Anexina/PI en varios tipos celulares usando 20 µg/mL de proteína TRU-016. Debido a que la apoptosis se redujo usando la forma dimérica del TRU-016, se añadieron 20 µg/mL de IgG antihumana de cabra a las reacciones con el objetivo de reticular los reactivos sobre la superficie celular. A continuación se tiñeron las células con Anexina V-FTIC y yoduro de propidio. Los datos mostrados en la Figura 19B demuestran que el pico dimérico de TRU-016 indujo la apoptosis de células Daudi tras 24-48 horas, pero que la presencia de un agente de reticulación tal como IgG anti-humana da como resultado un aumento significativo en el nivel de apoptosis dirigida a CD37.

También se llevaron a cabo experimentos para determinar el efecto de TRU-016 en células B humanas normales en cultivo usando PBMCs humanas. Las Figuras 20A y 20B muestran los resultados de uno de estos experimentos, con

gráficos en columnas del porcentaje de linfocitos positivos en CD19 y CD40 (células B) presentes en cultivos de PBMCs tratados durante 48-72 horas solo con medio, TRU-016 o Rituxan.

Se aislaron PBMCs humanas a partir de sangre entera mediante centrifugación de densidad LSM. Las células fueron incubadas durante 48 ó 72 horas con 1 μg/mL de Rituxan o TRU-016. Una porción de la reacción de incubación se recolectó a 48 horas y de nuevo a 72 horas después del inicio del experimento. Las PBMCs se lavaron y se incubaron con FITC anti-CD19, FITC anti-CD40 o FITC anti-CD3 durante 45 minutos en hielo. El porcentaje de tinción de linfocitos totales con estos reactivos se tabuló a continuación y se comparó con las muestras de PBMC incubadas en condiciones similares pero sin los reactivos de ensayo, y teñidas como las muestras tratadas. Las Figuras 20A y B muestran gráficos en columnas de la fracción de la población de linfocitos totales (%) que proporcionan una señal FACs positiva tras 48 y 72 horas con los reactivos indicados. La Figura 20C muestra un gráfico compuesto de un experimento similar, que muestra el porcentaje de reducción del número original de linfocitos que expresan el antígeno CD indicado (es decir, positivos en CD19, CD40 o CD3) tras incubación de PBMCs con TRU-016 (a 1 μL/mL) durante 24 y 72 horas.

En presencia de reticulado, el tratamiento con la forma dimérica de TRU-016 o Rituxan dio como resultado una reducción en el porcentaje de linfocitos B en cultivos de PBMC, medido a través de la tinción positiva para CD19 y CD40. Aunque el porcentaje de linfocitos B en cultivo fue bajo al finalizar el experimento, el co-cultivo con Rituxan o TRU-016 rebajó el número de linfocitos positivos de CD19 y CD40 en el cultivo de PBMC en aproximadamente 1,5-2 veces tras 48 horas, y en más de tres veces tras 72 horas. Este patrón general de agotamiento de células B tras 48-72 horas fue reproducible en todos los cultivos de PBMC normales evaluados, independientemente del porcentaje inicial de partida de linfocitos B en estos cultivos, que osciló entre aproximadamente 3% y hasta el 7% del total de linfocitos, dependiendo de la muestra.

La Figura 20C muestra un gráfico en columnas del porcentaje de agotamiento de linfocitos B en comparación con linfocitos T en cultivos de PBMC a corto plazo incubados con TRU-016 durante 24 a 72 horas. Estos datos indican que el TRU-016 es capaz de un agotamiento específico de linfocitos B positivos en CD37 procedentes de cultivos de sangre periférica normal, y que el bajo nivel de unión de TRU-016 a linfocitos no B (Figura 1C) es insuficiente para mediar en un agotamiento significativo de dichos linfocitos procedentes de la población celular.

Ejemplo 10

5

10

25

45

50

55

Las combinaciones de TRU-016 y Rituximab reducen significativamente el volumen tumoral en un modelo de xenoinjerto tumoral murino

Se llevaron a cabo estudios de xenoinjerto tumoral de ratón explorando terapias de combinación usando ratones nude (Harlan) y líneas tumorales humanas Ramos o Daudi. Las células tumorales Ramos o Daudi fueron cultivadas en matraces T150 en IMDM/FBS al 10% hasta que alcanzaron un 80% de confluencia. Se usaron cinco millones (5x10⁶) de células como inóculo tumoral por ratón. Las células fueron inyectadas subcutáneamente en el costado derecho usando PBS en un volumen total de 0,1 mL o 5,0 x 10⁷/mL. Se permitió que los ratones nude desarrollaran tumores y se clasificaron en grupos en base al tamaño/volumen del tumor. Para cada grupo de tratamiento se usaron 12 ratones con un volumen tumoral medio de aproximadamente 222 mm³ (rango = 152-296 mm³). También se usaron algunos volúmenes tumorales medios que oscilaban entre 237 y 251 mm³. Los animales fueron inyectados intravenosamente (IV) en los días 0, 2, 4, 6 y 8 con uno de los siguientes reactivos: POI (pico de interés) GPC de TRU-016, 200 μg/ratón; rituxan, 200 μg/ratón, o lgG humana (control) a 200 ó 400 μg/ratón como reactivos individuales, o como las siguientes combinaciones de reactivos: Rituxan + TRU-016 a 100 μg cada uno por ratón; o Rituxan + TRU-016 a 200 μg cada uno por ratón. Se midió el volumen tumoral diariamente con calibre hasta la finalización del experimento (sacrificio o regresión). Se representó el volumen tumoral en función del tiempo de tratamiento para cada animal y los resultados también se promediaron dentro de cada grupo.

También se llevaron a cabo estudios similares usando tumores más pequeños, con los ratones clasificados en grupos con menores volúmenes tumorales medios que oscilan entre 153 y 158 mm³, y con tumores más grandes pero usando células Daudi en lugar de células Ramos. Estos estudios fueron llevados a cabo en una instalación de animales acreditada por AAALAC y con un programa de uso de animales que sigue las guías del "Institutional Animal Care and Use Committee" (IACUC).

La Figura 21 representa gráficamente la eficacia del TRU-016 en comparación con hulgG, rituxan y las combinaciones a 100 μg y 200 μg de promedio en cada grupo de 12 animales. El volumen tumoral se representó en función del tiempo tras tratamiento con la(s) inyección(es) IV. El volumen tumoral promedio después de tratamiento con TRU-016 fue menor que el observado usando el control negativo (hulgG). Cuando se representa el % de supervivencia o el % de animales sin tumor, la terapia de combinación de la dosis más alta exhibió la mayor actividad antitumoral en este modelo tumoral *in vivo*. Sin embargo, a la menor dosis (100 μg de cada uno), la terapia de combinación no fue tan efectiva como cada reactivo individual a una dosis mayor.

Estos datos indican que la terapia con TRU-016, cuando se usa en combinación con rituxan en las dosis apropiadas, tendrá una mayor eficacia en el tratamiento de tumores de pacientes que la terapia de rituxan solo.

Ejemplo 11

El TRU-016 reduce el volumen tumoral y aumenta la supervivencia en un modelo de xenoinjerto tumoral murino

Se llevaron a cabo estudios de xenoinjerto tumoral de ratón usando ratones nude (Harlan) y líneas tumorales humanas Ramos o Daudi. Se llevaron a cabo tres estudios diferentes en base al tipo de tumor y el tamaño de tumor en el momento del tratamiento con el reactivo TRU-016 u otro reactivo de ensayo. Se cultivaron células tumorales Ramos o Daudi y se inyectaron subcutáneamente células (5 x 10⁶) en el costado derecho para inocular cada ratón tratado con el tumor. Se permitió que los ratones nude desarrollaran tumores y se clasificaron en grupos en base al tamaño/volumen del tumor. En el primer estudio, para cada grupo de tratamiento, se usaron 12 ratones con un volumen tumoral medio de 155-237 mm³. Los animales fueron inyectados intravenosamente (IV) en los días 0, 2, 4, 6 y 8 con uno de los siguientes reactivos: Rituximab, 200 µg/ratón; pico dimérico GPC de TRU-016, 200 µg/ratón; o lgG humana (control), 400 µg/ratón. Se midió el volumen tumoral diariamente con calibre hasta la finalización del experimento (sacrificio o regresión). Se representó el volumen tumoral en función del tiempo de tratamiento para cada animal y los resultados también se promediaron dentro de cada grupo. En la Figura 22A se muestran los promedios de grupo, mientras que la Figura 22B muestra una comparación de los datos de porcentaje de supervivencia para cada grupo de ratones en función del tiempo.

La Figura 22A muestra la eficacia de TRU-016 en comparación con hulgG y Rituxan en el modelo tumoral de Ramos, promediada para cada grupo de 12 animales. El volumen tumoral se representó en función del tiempo tras tratamiento con la(s) inyección(es) IV. El volumen tumoral promedio después de tratamiento con TRU-016 fue menor que el observado usando el control negativo (hulgG). La Figura 22B representa gráficamente las curvas de supervivencia para los diferentes grupos de tratamiento, comparando hulgG, Rituxan y TRU-016. La administración de TRU-016, que utiliza el modelo tumoral de Ramos más demandante con un volumen tumoral de línea base incrementado, dio como resultado una inhibición de la tasa de crecimiento tumoral respecto a la IgG humana (datos no mostrados). La administración de TRU-016 a ratones con los menores tumores de Ramos dio como resultado una inhibición del crecimiento tumoral y aumentó los tiempos de supervivencia medios.

25 **Ejemplo 12**

10

15

20

30

35

40

45

55

El TRU-016 no afecta a la actividad de CDC de otros receptores de superficie de células B

Para determinar si la molécula de TRU-016 aumenta el nivel de actividad de CDC resultante del tratamiento con anticuerpos de otros receptores de superficie de células B, además del CD20, tal como MHCII, CD19, CD80/86 y CD40, se llevó a cabo un panel de experimentos similar a los descritos antes para las combinaciones directas de CD20-CD37.

Se añadieron células Ramos a pocillos con medio completo de Iscoves con FBS al 10%. Los MAbs (reactivo B: HD37-anti CD19, reactivo C: 9.4-anti-CD45), proteína de fusión (reactivo D: CTLA-4 mulg-lgG2a, Ancell nº501-820), y fluido ascítico (reactivo A: HB10a-anti-MHCII), fueron añadidos a las diluciones indicadas (ver Figura 23) y se realizaron reacciones por duplicado con y sin Rituximab (a 0,05 μg/mL) o se añadió TRU-016 (a 2 μg/mL). Las reacciones fueron incubadas durante 30 minutos a 37°C. Las células fueron lavadas y se añadió NHS a una concentración final del 10% en medio libre de suero. Las células fueron incubadas durante 90 minutos a 37°C con la fuente de complemento. Las células fueron lavadas; se añadió yoduro de propidio a una concentración final de 0,5 μg/mL en PBS; las células fueron incubadas a oscuras a temperatura ambiente durante 15 minutos; y después las células fueron evaluadas mediante citometría de flujo. Cada gráfico de los paneles A-D de la Figura 23 representa el % de células positivas de PI en los rangos de valoración indicados.

En general, los datos indican que no se produjo una diferencia significativa en el nivel de actividad de CDC cuando los anticuerpos dirigidos a estos receptores se usaron solos o en combinación con el TRU-016 (Figura 23 A-D). Puede haber un ligero incremento en los niveles de CDC para los reactivos dirigidos a CD19 y CD45 cuando se usan con TRU-016 en concentraciones por debajo de las óptimas. Sin embargo, las diferencias en los niveles de CDC no son tan significativas como las observadas para la combinación CD20-CD37. Además del aumento de CDC cuando se usan en combinación los reactivos dirigidos a CD20 y CD37, parece que se produce un aumento en el nivel de muerte observado usando combinaciones de anti-claseII (HB10a), anti-CD19, anti-CD45 (9.4) o CTLA4Ig con Rituxan en dosis por debajo de la óptima.

Ejemplo 13

50 El TRU-016 no aumenta la actividad de CDC de otros receptores diana, que incluyen MHCII, CD19, CD80/86 y CD40

Para determinar si la molécula de TRU-016 aumenta el nivel de actividad de CDC resultante del tratamiento con anticuerpos de otros receptores de superficie de células B, además del CD20, se llevó a cabo un panel de experimentos similar a los descritos antes para las combinaciones directas de CD20-CD37 (véase el Ejemplo 8). Los resultados de estos experimentos se muestran en la Figura 23. En general, no se produjo una diferencia significativa en el nivel de actividad de CDC cuando los anticuerpos dirigidos a estos receptores se usaron solos o en combinación con el TRU-016. Los niveles de CDC aumentaron ligeramente en respuesta a los reactivos dirigidos a

CD19 y CD45 cuando se usan con TRU-016 en concentraciones por debajo de la óptima. Sin embargo, las diferencias en los niveles de CDC no fueron tan significativas como las observadas para la combinación CD20-CD37 (véase el Ejemplo 8). Además del aumento de CDC cuando se usan en combinación los reactivos dirigidos a CD20 y CD37, parecía que se producía un aumento en el nivel de muerte observado usando combinaciones de anti-MHCII (HB10a), anti-CD19, anti-CD45 (9.4) o CTLA4Ig con Rituxan en dosis por debajo de la óptima.

Ejemplo 14

5

10

15

20

25

30

35

El TRU-016 aumenta la supervivencia en un modelo de xenoinjerto tumoral murino

Se llevaron a cabo estudios de xenoinjerto tumoral de ratón más allá de los descritos en el Ejemplo 11 para examinar la eficacia del TRU-016 para aumentar la supervivencia a largo plazo usando ratones nude (Harlan) y líneas celulares tumorales humanas Ramos o Daudi.

Las células tumorales Ramos y Daudi se cultivaron por separado y se inyectaron las células (5 x 10⁶) subcutáneamente en el flanco derecho de los ratones para iniciar la formación de xenoinjertos tumorales de ratón. Tras desarrollarse los tumores, los ratones fueron clasificados en grupos en base al tamaño/volumen del tumor (día 0). Los animales fueron inyectados intravenosamente (IV) en los días 0, 2, 4, 6 y 8 con uno de los siguientes reactivos: Rituximab, 200 µg/ratón; TRU-016, 200 µg/ratón; rituximab + TRU-016 a 100 ó 200 µg/ratón; o IgG humana (control), 400 µg/ratón. Se midió el volumen tumoral tres veces por semana con calibre hasta la finalización del experimento (sacrificio o regresión). Se representó el volumen tumoral en función del tiempo de tratamiento para cada animal y los resultados se promediaron dentro de cada grupo. La Figura 24 muestra el porcentaje de supervivencia en ratones con tumores Ramos (hasta 90 días) tras el tratamiento con TRU-016, rituximab o una combinación de los mismos. El tratamiento de combinación con TRU-016 + rituximab aumentó significativamente el tiempo de supervivencia medio frente al tratamiento con terapia de agente individual solo. Las Figuras 25 y 26 muestran el porcentaje de supervivencia en ratones con tumores Daudi (hasta 90 días) tras el tratamiento con TRU-016 o rituximab. el tratamiento con TRU-016 aumentó el tiempo de supervivencia medio en tumores Daudi establecidos (Figura 25). El TRU-016 fue más efectivo que el rituximab para mantener la supervivencia en ratones con tumores Daudi (Figura 26).

La administración de TRU-016 como agente individual en ratones con tumores de Ramos establecidos demostró una inhibición del crecimiento tumoral y mejoró los tiempos de supervivencia equivalentes a rituximab administrado como agente individual, y fue superior a los ratones tratados con control de HulgG. Los datos agrupados de 3 experimentos demostraron que la terapia de combinación de TRU-016 y rituximab dio como resultado una mejora estadísticamente significativa en el tiempo de supervivencia en comparación con las monoterapias de TRU-016 (p = 0,028) o rituximab (p = 0,045). Las regresiones tumorales completas también se vieron potenciadas para los grupos de combinación de TRU-016 y rituximab. El cuarenta y dos por ciento del grupo de combinación de TRU-016 + rituximab 200 µg fue capaz de alcanzar una regresión completa a largo plazo en sus tumores en comparación con el 20% de tasa de regresión tumoral en ratones tratados con TRU-016 ó rituximab solos (véase la Tabla 3 y la Figura 24).

Tabla 3. Supervivencia tras tratamiento en tumores de Ramos establecidos

	Porcentaje de ratones sin tumor en el día 90	Tiempo de supervivencia medio (Días)
TRU-016 + rituximab (200 μg)	42	31
TRU-016 + rituximab (100 μg)	25	24
TRU-016 (200 μg)	20	16
Rituximab (200 μg)	20	17
HulgG	0	10

Se observó una reducción del crecimiento tumoral y una mejora del tiempo de supervivencia tras el tratamiento con TRU-016 en el modelo de xenoinjerto tumoral de Daudi (véase la Tabla 4 y las Figuras 25 y 26). La administración de TRU-016 potenció significativamente el tiempo de supervivencia en comparación con el grupo de control. También se observó un aumento en el porcentaje de ratones libres de tumor con el tratamiento con SMIP-016 en este modelo en comparación con los grupos de control y de rituximab.

TABLA 4. Supervivencia tras tratamiento en tumores de Daudi establecidos

	Porcentaje de ratones sin tumor en el día 90	Tiempo de supervivencia medio (Días)
TRU-016 (100 μg)	25	24
Rituximab (100 μg)	0	17
HulgG	0	15

El tratamiento con SMIP dirigido a CD37 (TRU-016) es tan efectivo como la monoterapia de rituximab para reducir el volumen tumoral y para aumentar el tiempo de supervivencia en el modelo de xenoinjerto tumoral de Ramos. La terapia de combinación de TRU-016 + rituximab demostró un beneficio potenciado para reducir el volumen tumoral y para mejorar significativamente el tiempo de supervivencia en comparación con las monoterapias de rituximab o TRU-016 en el modelo de xenoinjerto tumoral de Ramos. En el modelo de xenoinjerto de Daudi, los ratones tratados con TRU-016 demostraron un aumento estadísticamente significativo en el tiempo de supervivencia medio en comparación con los controles de HulgG. El tratamiento con rituximab no extendió los tiempos de supervivencia con respecto a los ratones de control. Estos datos resaltan la eficacia de una terapia dirigida a CD37 en estos modelos de xenoinjerto de NHL.

Ejemplo 15

5

10

15

20

25

30

35

40

45

50

El TRU-016 potencia la muerte celular inducida por Fludarabina en células CLL in vitro

La fludarabina es un fármaco quimioterapéutico usado en el tratamiento de malignidades hematológicas. La fludarabina es un análogo de purina que inhibe la síntesis de ADN interfiriendo con la ribonucleótido reductasa y la ADN polimerasa. La fludarabina es activa contra células en división y células en reposo. La fludarabina es altamente efectiva en el tratamiento de la leucemia linfocítica crónica (CLL), produciendo mayores tasas de respuesta que agentes alquilantes tales como el clorambucil solo (Rai et al., N. Engl. J. Med. 343: 1750-1757, 2000). La fludarabina se usa en varias combinaciones con ciclofosfamida, mitoxantrona, dexametasona y rituximab en el tratamiento de linfoma indolente y linfoma no de Hodgkins. Sin embargo, también se ha observado resistencia a la fludarabina en tratamientos. La fludarabina induce la apoptosis dependiente de caspasa en células CLL, y la apoptosis mediada por TRU-016 parece ser independiente de la activación de caspasa. El presente estudio examinó el efecto del TRU-016 con la fludarabina sobre células CLL.

Las células fueron tratadas con TRU-016 en dosis que oscilan entre 0,1 y 100 μg/mL y con fludarabina en dosis que oscilan entre 0 y 20 µM (ver la Figura 27). El TRU-016 fue proporcionado por Trubion Pharmaceuticals (Seattle, WA). La fludarabina (F-araA) fue adquirida de SIGMA (St. Louis, MO). El medio RPMI 1640 fue comprado a Invitrogen (Carlsbad, CA). La anexina V marcada con isotiocianato de fluoresceína (FITC) y el yoduro de propidio (IP) fueron adquiridos de BD Pharmingen, San Diego, CA. El bromuro de [3-(4,5-dimetiltiazol-2-il)-2,5-difeniltetrazolio (MTT) fue comprado a Sigma (St. Louis, MO). Las células B-CLL fueron aisladas inmediatamente después de la donación usando centrifugación de gradiente de densidad ficoll (Ficoll-Paque Plus, Amersham Biosciences, Piscataway, NJ). Se incubaron células mononucleares en medio RPMI 1640 suplementado con un 10% de suero bovino fetal desactivado térmicamente (FBS, Hyclone Laboratories, Logan, UT), L-glutamina 2 mM (Invitrogen, Carlsbad, CA), y penicilina (100 U/mL)/estreptomicina (100 µg/mL; Sigma-Aldrich, St. Louis) a 37°C en una atmósfera con un 5% de CO2. Para todos los experimentos descritos en la presente memoria se usaron células B-CLL recién aisladas excepto para la tinción superficial. Para las muestras con menos de un 90% de células B, se aplicó una selección negativa para agotar las células no B usando el Kit II de aislamiento de células B (Miltenyi Biotec, Auburn, CA) o mediante el kit "Rosette-Sep" de Stem Cell Technologies (Vancouver, Columbia Británica, Canadá) según el protocolo sugerido por el fabricante. Se compró la línea celular Raji (línea de células de linfoma humano de Burkitt) a ATCC y se mantuvo en medio RPMI 1640 que contenía un 10% de FBS, suplementado con penicilina, estreptomicina y glutamina. Las células fueron divididas 1:3 cuando la densidad celular alcanzó 1 x 10⁶/mL. El medio se cambió la noche antes de cada estudio para asegurar que se usaban células frescas.

Las células fueron tratadas *in vitro* como se ha descrito en la presente memoria. Se preparó una dilución en serie 1:4 de fludarabina (44, 11, 2,8, 0,7, 0,17 y 0,04 μM) en una placa de 6 pocillos transfiriendo 2 mL de medio que contiene fármaco al siguiente pocillo que contenía 6 mL de blanco de medio. En una placa de 6 pocillos separada, se preparó una dilución en serie 1:4 de TRU-016 (44, 11, 2,8, 0,7, 0,17 y 0,04 μg/mL) en medio usando el mismo método de dilución. De todas las placas se transfirieron 0,45 mL de medio a un pocillo diseñado de una placa de 48 pocillos para preparar una disolución de fármaco mixta en medio (0,9 mL en total por cada pocillo). A continuación se añadieron las células CLL suspendidas en medio con una densidad de 1x10⁷ células/mL (0,1 mL) a los 0,9 mL de medio de cada pocillo para obtener una densidad final de 1x10⁶ células/mL. Para las células Raji, la densidad celular final fue de 5x10⁴ células/mL. Por tanto, la suspensión celular usada fue de 5x10⁵ células/mL. Para los ensayos MTT, se prepararon diluciones en serie de fármaco en placas de 96 pocillos, y se transfirieron a otras placas de 96 pocillos para la incubación con células. El volumen total para incubación es de 200 μL (90 μL de disolución de fludarabina, 90 μL de disolución de TRU-016 y 20 μL de suspensión celular). La viabilidad celular se determinó usando ensayos MTT a 48 h, y la apoptosis se midió usando Anexina V/PI a las 24 h.

Se llevaron a cabo ensayos MTT para medir la viabilidad celular como se ha descrito en la presente memoria. Resumidamente, se sembraron 10⁶ células CLL en placas de 96 pocillos. Las células fueron incubadas durante 48 horas. A cada pocillo se añadieron 50 µL de disolución de trabajo MTT (2 mg/mL, preparada a partir de 5 mg/mL de reactivo de MTT mezclado con RPMI 1640 2:3 v/v), y las células se incubaron durante 8 horas. Las placas fueron sometidas a centrifugación y el sobrenadante se eliminó y se disolvió en 100 µL de disolución de lisis. Las muestras se midieron con un lector de placas a D.O. 540. La viabilidad celular se expresó como el porcentaje de viabilidad en comparación con el control de medio.

La apoptosis de células CLL tras incubación con anticuerpos se midió usando tinción de anexina V-FTIC/yoduro de propidio (PI) con análisis FACS. Se tiñeron 5x10⁵ células en 200 μL de 1x tampón de unión (BD Pharmingen) con 5 μL de anexina V (BD Pharmingen) y 5 μL de PI (BD Pharmingen), y se mantuvieron a oscuras a temperatura ambiente durante 15 minutos antes de la suspensión con 300 μL de 1x tampón y se analizaron por citometría de flujo. Se prepararon células sin teñir, células teñidas solo con Anexina V, y células teñidas solo con PI. Para todos los experimentos de citometría de flujo, se llevó a cabo un análisis FACS usando un citómetro Beckman-Coulter EPICS XL (Beckman-Coulter, Miami, FL). Los fluoróforos se excitaron a 488 nm. Se midió la fluorescencia FITC con FL1, mientras que la fluorescencia PI y PE se midió con FL3. Para analizar los datos se aplicó el paquete de software System II (Beckman-Coulter). El número de células contadas se fijó en 10.000 para cada muestra.

Se determinó un efecto sinérgico mediante el uso del método de isobolograma. Para identificar sinergias, se comparó el efecto de un fármaco con el efecto de cada fármaco solo. Esto se basa en la ecuación: Ca/Ca,b + Cb/Cb,a = Cl, donde Ca y Cb son la concentración de fármaco A y de fármaco B solos, respectivamente, para producir un efecto deseado (p.ej. 50% de muerte celular). Ca,b y Cb,a son las concentraciones de fármaco A y fármaco B en una combinación, respectivamente, para producir el mismo efecto. Cl es el índice de combinación. Se determinaron las concentraciones de fludarabina y TRU-016, que producen un 50% de muerte (IC50) y se muestran en la Figura 27C [IC50 de Fludarabina (I) e IC50 de TRU-016 (II)]. La línea recta entre estos dos puntos en los ejes es la línea de efecto aditivo. Posteriormente, también se determinaron diferentes combinaciones de fludarabina y TRU-016 que alcanzan un 50% de muerte celular a partir del estudio de viabilidad y se representan en el mismo gráfico. Cuando los puntos caen por debajo de la línea aditiva, se indica sinergia. Cuando los puntos se elevan por encima de la línea, se indica antagonismo. Cuando los puntos están en la línea, se indica aditividad.

La Figura 27 muestra que TRU-016 reduce de forma eficaz la viabilidad celular relativa en células tratadas con fludarabina, potenciando con ello el efecto citotóxico de la fludarabina sola. Por tanto, este estudio proporciona evidencias de que el TRU-016 puede ser co-administrado con fludarabina, dando como resultado un aumento de la eficacia (es decir, una reducción sinérgica de células CLL) en el tratamiento de malignidades hematológicas.

Ejemplo 16

5

10

15

20

25

30

40

45

El TRU-016 induce citotoxicidad directa en células resistentes a rituximab

Tal como se describe en la presente memoria, el rituximab es un anticuerpo monoclonal usado en el tratamiento de NHL, FCC, MCL, DLCL, SLL y CLL. El presente estudio se realizó para determinar la eficacia del TRU-016 para inducir citotoxicidad directa en células resistentes a rituximab.

Células resistentes a rituximab (1X10⁶ células) (Raji 4RH y RL 4RH, suministradas por el Dr. Myron S. Czuczman, Roswell Park Cancer Institute, Buffalo, NY) fueron tratadas con herceptina (10 μg/mL), rituximab (10μg/mL) o TRU-016 (5 μg/mL) en presencia de un exceso 5 a 1 de lgG anti-humana de cabra durante 24 horas. Se midió la citotoxicidad directa mediante tinción de anexina/PI y se calculó la viabilidad celular (porcentaje) respecto a células de control (células tratadas con herceptina).

El TRU-016 indujo una mayor toxicidad celular que el rituximab en líneas celulares resistentes a rituximab (ver la Figura 28). Por tanto, el TRU-016 es un agente efectivo para inducir citotoxicidad en células resistentes a rituximab, haciéndolo útil como agente terapéutico en enfermedades que se caracterizan por, o que implican, células resistentes a rituximab, tal como algunas células B.

Ejemplo 17

El TRU-016 induce fosforilación de tirosina en células B CLL CDC19+ primarias

Para determinar cómo induce el TRU-016 señal de transducción en células B, se llevaron a cabo experimentos para examinar el efecto del TRU-016 en la fosforilación de tirosina.

50 Se suspendieron células CD19+ recién aisladas (~50-100x106) procedentes de pacientes de CLL a una concentración de 5X10⁶/mL de PBS. A continuación las células fueron incubadas durante 10 minutos a 37°C, 5% de CO₂, con control, trastuzumab (herceptina) o TRU-016 a una concentración final de 5 ug/mL. Las células fueron precipitadas por centrifugación, se retiró el sobrenadante y las células fueron resuspendidas en PBS fresco al volumen inicial. Se añadió reticulante específico de fragmento Fc anti-humano de cabra (25 ug/mL) y las células se incubaron durante otros 5 minutos adicionales. Las células volvieron a ser precipitadas por centrifugación, se retiró el sobrenadante y las células fueron lisadas en 1 mL de tampón de lisis RIPA con inhibidores de proteasa y fosfatasa

(Tris 10 mM, pH 7,4, NaCl 150 mM, 1% de Triton X-100, 1% de ácido desoxicólico, 0,1% de SDS y EDTA 5 mM, todo concentraciones finales). Se usó cóctel inhibidor de proteasa de Sigma nº cat. P-8340; cóctel inhibidor de fosfatasa de Sigma: cóctel inhibidor de serina/treonina fosfatasa nº cat. P-2850; e inhibidor de tirosina fosfatasa nº cat. P-5726; PMSF (100mM). Los inhibidores se añadieron al tampón de lisis inmediatamente antes de su uso con una dilución 1:100. La concentración de proteína en los lisatos fue cuantificada mediante el método de ácido bicin conínico (BCA) (Pierce, Rockford, IL). Las muestras de proteínas de control y tratadas (50 ug de proteína total) fueron separadas mediante electroforesis de gel bidimensional (rango de pH 3-10) (1ª dimensión) y SDS-PAGE al 10% (2ª dimensión). La proteína fue transferida a membranas de nitrocelulosa de 0,2 nm (Schleicher & Schuell, Keene, NH) y se sometió a análisis de inmunotinción usando el clon de anticuerpo de anti-fosfotirosina 4G10 (Upstate Biotechnology), siguiendo un protocolo estándar. Se usó IgG anti-conejo de cabra conjugada a peroxidasa de rábano (HRP) como anticuerpo secundario. La detección de la fosfoproteína se realizó con sustrato quimioluminiscente (SuperSignal, Pierce Inc. Rockford, IL).

El TRU-016 induce fosforilación de tirosina en células B CLL primarias CD19+, tal como muestra el análisis de gel bidimensional (Figura 29). Por tanto, estos experimentos muestran que un modo en el que actúa el TRU-016 es a través de un mecanismo de fosforilación de tirosina.

Ejemplo 18

10

15

20

25

30

Moléculas TRU-016 humanizadas

Tal como se establece en el Ejemplo 1, se describen SMIPs específicos de CD37 (tal como el TRU-016) en la Solicitud de Patente de EE.UU. compartida nº 10/627.556 y en las Solicitudes de Patente de EE.UU. nº 2003/133939, 2003/0118592 y 2005/0136049. Un ejemplo de SMIP específico de CD37, el polipéptido de TRU-016 (SEQ ID NO: 2), se ha producido y se ha descrito en la presente memoria. El presente ejemplo proporciona SMIPs de TRU-016 humanizados.

En la técnica se conocen los anticuerpos humanizados y se discuten en la Publicación de Solicitud de Patente de los Estados Unidos nº 2006/0153837. La presente solicitud usa las técnicas implicadas en la humanización de anticuerpos (discutidas más adelante) para humanizar SMIPs, y particularmente para humanizar TRU-016.

Es de esperar que la "humanización" dé como resultado un anticuerpo que sea menos inmunogénico, con una retención completa de las propiedades de unión a antígeno de la molécula original. A fin de retener todas las propiedades de unión a antígeno del anticuerpo original, la estructura de su sitio de unión a antígeno debería reproducirse en la versión "humanizada". Esto se puede lograr anclando solo CDRs no humanas en dominios estructurales variables y en regiones constantes, con o sin retención de residuos estructurales críticos (Jones et al, Nature 321: 522 (1986); Verhoeyen et al, Science 239: 1539 (1988)) o recombinando los dominios no humanos enteros (para preservar las propiedades de ligando-unión), pero "enmascarándolas" con una superficie de tipo humana a través de una sustitución juiciosa de los residuos expuestos (para reducir la antigenicidad) (Padlan, Molec. Immunol. 28:489 (1991)).

Esencialmente, la humanización mediante anclaje de CDR implica recombinar solo las CDRs de un anticuerpo no humano sobre una estructura de región variable humana y una región constante humana. Teóricamente, esto debería reducir sustancialmente o eliminar la inmunogenicidad (excepto si existen diferencias alotípicas o idiotípicas). Sin embargo, se ha publicado que también se puede necesitar preservar algunos residuos estructurales del anticuerpo original (Reichmann et al, Nature, 332: 323 (1988); Queen et al, Proc. Natl. Acad. Sci. USA, 86: 10.029 (1989)).

Los residuos estructurales que necesitan ser preservados son susceptibles de identificación a través de modelización con ordenador. Alternativamente, potencialmente se pueden identificar los residuos estructurales críticos mediante comparación de estructuras de sitio de unión a antígeno conocidas (Padlan, Molec. Immun., 31(3): 169-217 (1994)).

Los residuos que afectan potencialmente a la unión a antígeno se distribuyen en varios grupos. El primer grupo comprende residuos que están contiguos a la superficie del sitio de antígeno, que por lo tanto podrían entrar en contacto directo con los antígenos. Estos residuos incluyen los residuos amino-terminales y los adyacentes a las CDRs. El segundo grupo incluye los residuos que podrían alterar la estructura o el alineamiento relativo de las CDRs, tanto por entrar en contacto con las CDRs como por entrar en contacto con otra cadena peptídica del anticuerpo. El tercer grupo comprende aminoácidos con cadenas laterales enterradas que podrían influir en la integridad estructural de los dominios variables. Los residuos de estos grupos se encuentran habitualmente en las mismas posiciones (Padlan, 1994, ver anterior) aunque sus posiciones identificadas pueden diferir dependiendo del sistema de numeración (véase Kabat et al, "Sequences of proteins of immunological interest", 5ª ed., Pub. Nº 91-3242, U.S. Dept. Health & Human Services, NIH, Bethesda, Md., 1991).

Aunque la presente invención está dirigida a la humanización de SMIPs y no de anticuerpos, el conocimiento sobre anticuerpos humanizados que existe en la técnica es aplicable a los SMIPs según la invención. Algunos ejemplos de moléculas TRU-016 humanizadas se incluyen en la Tabla 5 a continuación.

Para preparar construcciones de TRU-016 humanizadas de la invención, se alinearon las regiones estructurales de ratón del TRU-016 con residuos estructurales VH1 y VH5 humanos para la cadena pesada y VK1 y VK3 para la cadena ligera. Las mejores coincidencias se analizaron para determinar la compatibilidad estructural con las CDRs de las regiones variables de ratón. Aunque había varias combinaciones igualmente compatibles para elegir, nosotros habíamos tenido éxito previamente usando la combinación VK3 (X01668), VH5-51 (Z12373), por lo que los SMIPs anti-CD37 humanizados fueron diseñados usando estas estructuras humanas unidas mediante un ligando 15aa Gly₄Ser ((g4s)3) scFv. La construcción VK3 fue construida con JK1 como coincidencia de FR4 preferida y la VH5 fue construida con JH2 que codifica para FR4, como en construcciones descritas previamente. Los SMIPs fueron construidos desde cero usando PCR de oligonucleótidos solapantes. Los productos de longitud completa se clonaron en el vector de expresión de SMIP en cuadro con la bisagra de IgG1 humana, CH2 y CH3. Dichos clones fueron verificados en su secuencia, transfectados en células COS-7 evaluados para unión a la línea de linfoma de células B Ramos en medio acondicionado durante 3 días. Con el objetivo de aumentar la humanización, se incorporaron cambios en la CDR1 de la cadena ligera en las posiciones L25, L27 y L28 y fueron bien tolerados, lo que demuestra una actividad de unión igual a la de la molécula humanizada original 019001. Se prepararon construcciones de ADN adicionales de un modo similar para alterar la CDR3 de la región VH incorporando aminoácidos de línea germinal, H100-H102, codificados por varias regiones JH humanas. Las construcciones fueron examinadas para determinar el nivel de expresión y el grado de unión a CD37 en células Ramos.

5

10

TABLA 5. Construcciones de TRU-016 humanizadas

Construcción Nº	Descripción	Ligando	Bisagra	SEQ ID NO de ADN	SEQ ID NO de
019001	Vk3:VH5-51	15aa gly4ser	SSC-P	5	6
019002	Ligando Vk3:VH5-51 (TG-SS)	15aa gly4ser	SSC-P	7	8
019003	Vk3:VH5-51 VH V11S	15aa gly4ser	SSC-P	9.	10
019004	Vk3:VH5-51 VK3, cdr1 (E →Q)	15aa gly4ser	SSC-P	11	12
019005	Vk3:VH5-51 VK3, cdr1 (N \rightarrow S)	15aa gly4ser	SSC-P	13	14
019006	Vk3:VH5-51 VK3, cdr1 (T → A)	15aa gly4ser	SSC-P	15	16
019010	mVk:VH5-5a	15aa gly4ser	SSC-P	17	18
019011	Vk3:mVH (mutación G-S de ligando)	15aa gly4ser	SSC-P	19	20
019017	Vk3:VH5 VH3 FW1	15aa gly4ser	SSC-P	21	22
019018	mVH:Vk3	15aa gly4ser	SSC-P	23	24
019019	Vk3:mVH (019011 con Líder 2H7)	15aa gly4ser	SSC-P	25	26
019021	mVH:Vk3	15aa gly4ser	SSC-P	27	28
019023	019023 Vk3:mVH (mutación GS4 fija 019011)		SSC-P	29	30
019024	Vk3:mVH (mutación GS4 fija 019011)	15aa gly4ser	SSC-P	31	32
019025	Vk3:VH5 VH3 FW1	15aa gly4ser	SSC-P	33	34
019026	Vk3:VH5 VH3 FW1	15aa gly4ser	SSC-P	35	36
019032	19032 Vk3:VH5 VH3-13 FW1		SSC-P	37	38
019033	Vk3:VH5 VH3-13 FW1	15aa gly4ser	SSC-P	39	40
019034	Vk3:VH5 VH3-13L11S FW1	15aa gly4ser	SSC-P	41	42
019035	Vk3:VH5 VH3-13L11S FW1	15aa gly4ser	SSC-P	43	44
019037	Vk3(cambios CDR-L1):VH5	15aa gly4ser	SSC-P	45	46
019041	019006-CDR-H3 JH4	15aa gly4ser	SSC-P	47	48
019043	019006-CDR-H3 JH6	15aa gly4ser	SSC-P	49	50
019044	019006-CDR-H3 JH5a	15aa gly4ser	SSC-P	51	52
019045	019045 019006-CDR-H3 JH5b		SSC-P	53	54
019046	019046 019006-CDR-H3 JH1		SSC-P	55	56
019047	019006-CDR-H3 JH3a	15aa gly4ser	SSC-P	57	58
019048	019006 - CDR-H3 JH3b	15aa gly4ser	SSC-P	59	60
019049	019006 - CDR-H3 JH2	15aa gly4ser	SSC-P	79	80
019050	019006 - CDR-H2 cambios	15aa gly4ser	SSC-P	81	82

Construcción Nº	Descrincion		Bisagra	SEQ ID NO de ADN	SEQ ID NO de AA
019051	019044	20aa gly4ser	CPPCP	83	84
019008				85	86
019009				87	88

La secuencia de aminoácidos de consenso de la construcción de TRU-016 humanizada nº 019001 (SEQ ID NO: 6; H016-019001) y de TRU-016 no humanizado (SEQ ID NO: 2; 016-G28-1) se muestra con numeración de Kabat en la Figura 30A. La Figura 30 B muestra los alineamientos de secuencia de aminoácidos de las construcciones de TRU-016 humanizadas nº 019001 (SEQ ID NO: 6), 019008 (SEQ ID NO: 86) y 019009 (SEQ ID NO: 88).

5

10

En la Figura 31 se muestran los alineamientos de secuencia de ADN y de aminoácidos de tres construcciones humanizadas de TRU-016 (019001, 019041 y 019044), que demuestran una elevada unión específica de CD37 a células B Ramos.

En la Figura 32 se muestran los alineamientos de ADN formateado FASTA y de secuencia de aminoácidos de las mismas tres construcciones humanizadas del TRU-016 (019001, 019041 y 019044).

A continuación se proporcionan regiones de bisagra adicionales (Tabla 6) y regiones estructurales adicionales (Tabla 7) que pueden usarse en las moléculas de TRU-016 humanizadas de la invención.

TABLA 6. Regiones de bisagra de SMIPs de TRU-016 humanizados

Descripción de bisagra	Secuencia de ADN o de aminoácidos	SEQ ID NO:		
ccc(p)-hlgG1 (ADN)	1 (ADN) gagcccaaatcttgtgacaaaactcacacatgtccaccgtgccca			
ccc(p)-hlgG1 (AA	EPKSCDKTHTCPPCP	90		
scc(p)-hlgG1 (ADN)	gagcccaaatcttctgacaaaactcacacatgtccaccgtgccca	91		
scc(p)-hlgG1 (AA)	EPKSSDKTHTCPPCP	92		
scc(s)-hlgG1 (ADN)	gagcccaaatcttctgacaaaactcacacatgtccaccgtgctca	93		
scc(s)-hlgG1 (AA)	EPKSSDKTHTCPPCS	94		
scs(s)-hlgG1 (ADN)	gagcccaaatcttgtgacaaaactcacacatgtccaccgagctc a	95		
scs(s)-hlgG1 (AA)	EPKSSDKTHTCPPSS	96		
sss(p)-hlgG1 (ADN)	gagcccaaatcttctgacaaaactcacacatctccaccgagccc a	97		
sss(p)-hlgG1 (AA)	EPKSSDKTHTSPPSP	98		
sss(s)-hlgG1 (ADN)	gagcccaaatcttctgacaaaactcacacatctccaccgagctca	99		
sss(s)-hlgG1 (AA)	EPKSSDKTHTSPPSS	100		
csc(p)-hlgG1 (ADN)	gagcccaaatcftgtgacaaaactcacacatctccaccgtgccca	101		
csc(p)-hlgG1 (AA)	(AA) EPKSCDKTHTSPPCP			
csc(s)-hlgG1 (ADN)	gagcccaaatcttgtgacaaaactcacacatctccaccgtgctca	103		
csc(s)-hlgG1 (AA)	EPKSCDKTHTSPPCS	104		
ssc(p)-hlgG1 (ADN)	gagcccaaatcttctgacaaaactcacacatctccaccgtgccca	105		
ssc(p)-hlgG1 (AA)	EPKSSDKTHTSPPCP	106		
scs(s)-hlgG1 (ADN)	gagcccaaatcttctgacaaaactcacacatctccaccgtgctca	107		
scs(s)-hlgG1 (AA)	EPKSSDKTHTSPPCS	108		
css(p)-hlgG1 (ADN)	css(p)-hlgG1 (ADN) gagcccaaatcttgtgacaaaactcacacatctccaccgagccc a			
css(p)-hlgG1 (AA)	EPKSCDKTHTSPPSP	110		
css(s)-hlgG1 (ADN)	gagcccaaatcttgtgacaaaactcacacatctccaccgagctca	111		
css(s)-hlgG1 (AA)	EPKSCDKTHTSPPSS	112		

Descripción de bisagra	Secuencia de ADN o de aminoácidos	SEQ ID NO:
scs(s)-hlgG1	gageceaaatettgtgacaaaacteacacatgteeacegagete a	113
(ADN)		
scs(s)-hlgG1 (AA)	EPKSSDKTHTCPPSS	114
hlgA1	VPSTPPTPSPSTPPTPSPS	115
hlgA2	VPPPPP	116
hlgG3 (ADN)	gageteaaaacteeteteggggataegaeceataegtgteeeege tgteetgaacegaagteetgegataegeeteegeeatgteeaeggt geeeagageeeaaateatgegataegeeeeaeegtgteeeege tgteetgaaceaaagteatgegataeceeaeeatgteeaaga tgeeea	117
hlgG3 (AA)	ELKTPLGDTTHTCPRCPEPKSCDTPPPCPRCP EPKSCDTPPPCPRCPEPKSCDTPPPCPRCP	118
IgG315hscc (ADN)	gagcccaaatcttctgacacacctcccccatgcccacggtgcccc	119
IgG315hscc (AA)	EPKSSDTPPPCPRCP	120
IgG315hcss (ADN)	gagcccaaatcttgtgacacacctcccccatccccacggtcccca	121
IgG315hcss (AA)	EPKSCDTPPPSPRSP	122
IgG315hsss (ADN)	gagcccaaatcttctgacacacctcccccatccccacggtcccca	123
IgG315hsss (AA)	EPKSSDTPPPSPRSP	
lgG3hl5csc (ADN) gagcccaaatcttgtgacacacctccccatccccacggtgccca		125
IgG3hl5csc (AA)	EPKSCDTPPPSPRCP	126
hlgD	ESPKAQASSVPTAQPQAEGSLAKATTAPATTR NTGRGGEEKKKEKEKEEQEERETKTP	127

TABLA 7. Regiones estructurales de SMIPs de TRU-016 humanizados

Región V	Regiones estructurales VH humanas para humanización anti- CD37	SEQ ID NO:
	FR1	
VH1	QVQLVQSGAEVKKPGASVKVSCKASGYTFT	140
VH1	QVQLVQSGAEVKKPGSSVKVSCKASGGTFS	141
VH1	QVQLVQSGAEVKKPGSSVKVSCKASGGTFS	142
VH1	EVQLVQSGAEVKKPGATVKISCKVSGYTFT	143
VH5	EVQLVQSGAEVKKPGESLKISCKGSGYSFT	144
VH5	EVQLVQSGAEVKKPGESLRISCKGSGYSFT	145
VH7	QVQLVQSGSELKKPGASVKVSCKASGYTFT	146
	FR2	
VH1	WVRQAPGQGLEWMG	147
VH1	WVRQAPGQGLEWMG	148
VH1	WVRQAPGQGLEWMG	149
VH1	WVQQAPGKGLEWMG	150
VH5	WVRQMPGKGLEWMG	151
VH5	WVRQMPGKGLEWMG	152
VH7	WVRQAPGQGLEWMG	153
	FR3	
VH1	RVTMTTDTSTSTAYMELRSLRSDDTAVYYCAR	154
VH1	RVTITADESTSTAYMELSSLRSEDTAVYYCAR	155
VH1	RVTITADKSTSTAYMELSSLRSEDTAVYYCAR	156

VH1	RVTITADTSTDTAYMELSSLRSEDTAVYYCAT	157
VH5	QVTISADKSISTAYLQWSSLKASDTAMYYCAR	158
VH5	HVTISADKSISTAYLQWSSLKASDTAMYYCAR	159
VH7	RFVFSLDTSVSTAYLQISSLKAEDTAVYYCAR	160
	FR4	
	WGQGTLVTVSS	161
	WGRGTLVTVSS	162
	WGQGTMVTVSS	163
	WGQGTMVTVSS	164
	WGQGTLVTVSS	165
	WGQGTLVTVSS	166
	WGQGTLVTVSS	167
	WGQGTTVTVSS	168
	WGKGTTVTVSS	169
	Regiones estructurales VK humanas para humanización anti- CD37	
	FR1	
VK3	EIVMTQSPATLSVSPGERATLSC	170
VK3	EIVLTQSPATLSLSPGERATLSC	171
VK1	DIQMTQSPSSLSASVGDRVTITC	172
VK1	DIQMTQSPSSLSASVGDRVTITC	173
VK1	DIQMTQSPSSLSASVGDRVTITC	174
VK1	NIQMTQSPSAMSASVGDRVTITC	175
VK1	DIQMTQSPSSLSASVGDRVTITC	176
VK1	AIQLTQSPSSLSASVGDRVTITC	177
VK1	DIQLTQSPSFLSASVGDRVTITC	178
VK1	AIRMTQSPFSLSASVGDRVTITC	179
VK1	AIQMTQSPSSLSASVGDRVTITC	180
VK1	DIQMTQSPSTLSASVGDRVTITC	181
	FR2	
VK3	WYQQKPGQAPRLLIY	182
VK3	WYQQKPGQAPRLLIY	183
VK1	WYQQKPGKAPKLLIY	184
VK1	WYQQKPGKVPKLLIY	185
VK1	WYQQKPGKAPKRLIY	186
VK1	WFQQKPGKVPKHLIY	187
VK1	WFQQKPGKAPKSLIY	188
VK1	WYQQKPGKAPKLLIY	189
VK1	WYQQKPGKAPKLLIY	190
VK1	WYQQKPAKAPKLFIY	191
VK1	WYQQKPGKAPKLLIY	192
VK1	WYQQKPGKAPKLLIY	193
	FR3	
VK3	GIPARFSGSGSGTEFTLTISSLQSEDFAVYYC	194
VK3	GIPARFSGSGSGTDFTLTISSLEPEDFAVYYC	195
VK1	GVPSRFSGSGSGTDFTLTISSLQPEDFATYYC	196

VK1	GVPSRFSGSGSGTDFTLTISSLQPEDVATYYC	197
VK1	GVPSRFSGSGSGTEFTLTISSLQPEDFATYYC	198
VK1	GVPSRFSGSGSGTEFTLTISSLQPEDFATYYC	199
VK1	GVPSRFSGSGSGTDFTLTISSLQPEDFATYYC	200
VK1	GVPSRFSGSGSGTDFTLTISSLQPEDFATYYC	201
VK1	GVPSRFSGSGSGTEFTLTISSLQPEDFATYYC	202
VK1	GVPSRFSGSGSGTDYTLTISSLQPEDFATYYC	203
VK1	GVPSRFSGSGSGTDFTLTISSLQPEDFATYYC	204
VK1	GVPSRFSGSGSGTEFTLTISSLQPDDFATYYC	205
	FR4	
	FGQGTKVEIK	206
	FGQGTKLEIK	207
	FGPGTKVDIK	208
	FGGGTKVEIK	209
	FGQGTRLEIK	210

Es de esperar que a los especialistas en la técnica se les ocurran numerosas modificaciones y variaciones de la invención tal cual se ha establecido en los ejemplos ilustrativos anteriores. Por consiguiente, solo deberían aplicarse a la invención las limitaciones que aparecen como tales en las reivindicaciones anexas.

Secuencias de ADN y de aminoácidos correspondientes a las SEQ ID NOS: 79-88

Construcción nº	SEQ ID NO:	Secuencia de ADN o de aminoácidos
019049	79	aagettgccgccatggaagccccagcgcagettetetteeteetgctaetetggeteecag
		ataccaccggagaaattgtgttgacacagtctccagccaccctgtctttgtctccaggcga
		aagagccaccctctcctgccgagcaagtgaaaatgtttacagctacttagcctggtacca
		acagaaacctggccaggctcctaggctcctcatctattttgcaaaaaccttagcagaagg
		aattccagccaggttcagtggcagtggatccgggacagacttcactctcaccatcagca
		gcctagagcctgaagattttgcagtttattactgtcaacatcattccgataatccgtggacat
		teggecaagggaccaaggtggaaatcaaaggtggeggtggetegggeggtggtggat
		ctggaggaggtgggaccggtgaggtgcagctggtgcagtctggagcagaggtgaaaa
		agcccggagagtctctgaagatttcctgtaagggatccggttactcattcactggctacaa
		tatgaactgggtgcgccagatgcccgggaaaggcctcgagtggatgggcaatattgatc
		cttattatggtggtactacctacaaccggaagttcaagggccaggtcactatctccgccga
		caagtccatcagcaccgcctacctgcaatggagcagcctgaaggcctcggacaccgc
		catgtattactgtgcacgctcagtcggccctttcgacctctggggcagaggcaccctggtc
		actgtctcctctgatcaggagcccaaatcttctgacaaaactcacacatctccaccgtgcc
		cagcacctgaactcctgggtggaccgtcagtcttcctcttcccccaaaacccaaggac
		accctcatgatctcccggacccctgaggtcacatgcgtggtggtggacgtgagccacga
		agaccctgaggtcaagttcaactggtacgtggacggcgtggaggtgcataatgccaag
		acaaagccgcgggaggagcagtacaacagcacgtaccgtgtggtcagcgtcctcacc
		gtcctgcaccaggactggctgaatggcaaggagtacaagtgcaaggtctccaacaaa
		gccctcccagcccccatcgagaaaaccatctccaaagccaaagggcagccccgaga
		accacaggtgtacaccctgccccatcccgggatgagctgaccaagaaccaggtcag
		cctgacctgcctggtcaaaggcttctatccaagcgacatcgccgtggagtgggagagca
		atgggcagccggagaacaactacaagaccacgcctcccgtgctggactccgacggct
		ccttcttcctctacagcaagctcaccgtggacaagagcaggtggcagcaggggaacgt
		cttctcatgctccgtgatgcatgaggctctgcacaaccactacacgcagaagagcctctc
		cctgtctccgggtaaatgatctaga
019049	80	MEAPAQLLFLLLLWLPDTTGEIVLTQSPATLSLSPGERATLSCR
		ASENVYSYLAWYQQKPGQAPRLLIYFAKTLAEGIPARFSGSGS.
		GTDFTLTISSLEPEDFAVYYCQHHSDNPWTFGQGTKVEIKGGG
		GSGGGGSGGGTGEVQLVQSGAEVKKPGESLKISCKGSGYS
		FTGYNMNWVRQMPGKGLEWMGNIDPYYGGTTYNRKFKGQ
		VTISADKSISTAYLQWSSLKASDTAMYYCARSVGPFDLWGRGT
		LVTVSSDQEPKSSDKTHTSPPCPAPELLGGPSVFLFPPKPKDT
		LMISRTPEVTCVVVDVSHEDPEVKFNWYVDGVEVHNAKTKPR
		EEQYNSTYRVVSVLTVLHQDWLNGKEYKCKVSNKALPAPIEKT
		ISKAKGQPREPQVYTLPPSRDELTKNQVSLTCLVKGFYPSDIAV
		EWESNGQPENNYKTTPPVLDSDGSFFLYSKLTVDKSRWQQG
		NVFSCSVMHEALHNHYTQKSLSLSPGK

Construcción nº	SEQ ID NO:	Secuencia de ADN o de aminoácidos
019050	81	aagettgeegeeatggaageeeageteagettetetteeteetggeteeaggaagga
019050	82	MEAPAQLLFLLLLWLPDTTGEIVLTQSPATLSLSPGERATLSCR ASENVYSYLAWYQQKPGQAPRLLIYFAKTLAEGIPARFSGSGS GTDFTLTISSLEPEDFAVYYCQHHSDNPWTFGQGTKVEIKGGG GSGGGGSGGGGASEVQLVQSGAEVKKPGESLKISCKGSGYS FTSYNMNWVRQMPGKGLEWMGNIDPYYGGTNYAQKFQGQ VTISADKSISTAYLQWSSLKASDTAMYYCARSVGPMDYWGRG TLVTVSSDQEPKSSDKTHTSPPCPAPELLGGPSVFLFPPKPKD TLMISRTPEVTCVVVDVSHEDPEVKFNWYVDGVEVHNAKTKP REEQYNSTYRVVSVLTVLHQDWLNGKEYKCKVSNKALPAPIEK TISKAKGQPREPQVYTLPPSRDELTKNQVSLTCLVKGFYPSDIA VEWESNGQPENNYKTTPPVLDSDGSFFLYSKLTVDKSRWQQ GNVFSCSVMHEALHNHYTQKSLSLSPGK

Construcción n	° SEQ ID NO:	Secuencia de ADN o de aminoácidos
019051	83	aagcttgccgccatggaagccccagcgcagcttctcttcctcctgctactctggctcccag
		ataccaccggagaaattgtgttgacacagtctccagccaccctgtctttgtctccaggcga
		aagagccaccctctcctgccgagcaagtgagaatgtttacagctacttagcctggtacca
		acagaaacctggccaggctcctaggctcctcatctattttgcaaaaaccttagcagaagg
		gattccagccagattcagtggcagtggttccgggacagacttcactctcaccatcagcag
		cctagagcctgaagattttgcagtttattactgtcaacatcattccgataatccgtggacatt
		cggccaagggaccaaggtggaaatcaaaggtggcggtggctcgggcggtggtggat
		ctggaggaggtgggagcggaggagctagcgaggtgcagctggtgcagtctgga
		gcagaggtgaaaaagcccggagagtctctgaagatttcctgtaagggatccggttactc
		attcactggctacaatatgaactgggtgcgccagatgcccgggaaaggcctcgaatgg
		atgggcaatattgatccttattatggtggtactacctacaaccggaagttcaagggccagg
		tcactatctccgccgacaagtccatcagcaccgcctacctgcaaggagcagcctgaag
		gcctcggacaccgccatgtattactgtgcacgctcagtcggccctttcgactcctggggcc
		agggcaccctggtcactgtctcgagttgtccaccgtgcccagcacctgaactcctgggtg
		gaccgtcagtcttcctcttcccccaaaacccaaggacaccctcatgatctcccggaccc
		ctgaggtcacatgcgtggtggtggacgtgagccacgaagaccctgaggtcaagttcaa
		ctggtacgtggacggcgtggaggtgcataatgccaagacaaagccgcggggaggagc
		agtacaacagcacgtaccgtgtggtcagcgtcctcaccgtcctgcaccaggactggctg
		aatggcaaggagtacaagtgcaaggtctccaacaaagccctcccagcccccatcgag
		aaaaccatctccaaagccaaagggcagccccgagaaccacaggtgtacaccctgcc
		cccatcccgggatgagctgaccaagaaccaggtcagcctgacctgcctg
		cttctatccaagcgacatcgccgtggagtgggagagcaatgggcagccggagaacaa
		ctacaagaccacgcctcccgtgctggactccgacggctccttcttcctctacagcaagctc
		accgtggacaagagcaggtggcagcaggggaacgtcttctcatgctccgtgatgcatg
		aggetetgeacaaceactacaegeagaagageeteteeetgteteegggtaaatgaete
		taga
019051	84	MEAPAQLLFLLLLWLPDTTGEIVLTQSPATLSLSPGERATLSCR
		ASENVYSYLAWYQQKPGQAPRLLIYFAKTLAEGIPARFSGSGS
		GTDFTLTISSLEPEDFAVYYCQHHSDNPWTFGQGTKVEIKGGG
		GSGGGGSGGGSGGGASEVQLVQSGAEVKKPGESLKISCKG
		SGYSFTGYNMNWVRQMPGKGLEWMGNIDPYYGGTTYNRKF
		KGQVTISADKSISTAYLQWSSLKASDTAMYYCARSVGPFDSW
		GQGTLVTVSSCPPCPAPELLGGPSVFLFPPKPKDTLMISRTPE
		VTCVVVDVSHEDPEVKFNWYVDGVEVHNAKTKPREEQYNSTY
		RVVSVLTVLHQDWLNGKEYKCKVSNKALPAPIEKTISKAKGQP
		REPQVYTLPPSRDELTKNQVSLTCLVKGFYPSDIAVEWESNGQ
		PENNYKTTPPVLDSDGSFFLYSKLTVDKSRWQQGNVFSCSVM HEALHNHYTQKSLSLSPGK

Construcción nº S	SEQ ID NO:	Secuencia de ADN o de aminoácidos
019008 8	35	aagettgeegeeatggaageeeeageteagettetetteeteetgetaetetggeteeeag
		ataccaccggagaaattgtgttgacacagtctccagccaccctgtctttgtctccaggcga
		aagagccaccctctcctgccgaacaagtgaaaatgtttacagctacttagcctggtacca
		acagaaacctggccaggctcctaggctcctcatctattttgcaaaaaccttagcagaagg
		aattccagccaggttcagtggcagtggatccgggacagacttcactctcaccatcagca
		gcctagagcctgaagattttgcagtttattactgtcaacatcattccgataatccgtggacat
		tcggccaagggaccaaggtggaaatcaaaggtggcggtggctcgggcggtggtggat
		ctggaggaggtgggaccggtgaggtgcagctggtgcagtctggagcagaggtgaaaa
		agcccggagagtctctgaagatttcctgtaagggatccggttactcattcactggctacaa
		tatgaactgggtgcgccagatgcccgggaaaggcctggagtggatgggcaatattgat
		ccttattatggtggtactacctacaaccggaagttcaagggccaggtcactatctccgccg
		acaagtccatcagcaccgcctacctgcaatggagcagcctgaaggcctcggacaccg
		ccatgtattactgtgcacgctcagtcggccctatggactactggggccgcgggcaccctgg
		tcactgtctcctctgatcaggagcccaaatcttctgacaaaactcacacatctccaccgtg
		cccagcacctgaactcctgggtggaccgtcagtcttcctcttcccccaaaacccaagg
		acaccetcatgateteceggacceetgaggteacatgegtggtggtggtggaegtgageeac
		gaagaccctgaggtcaagttcaactggtacgtggacggcgtggaggtgcataatgcca
		agacaaagccgcgggaggagcagtacaacagcacgtaccgtgtggtcagcgtcctc
		accgtcctgcaccaggactggctgaatggcaaggagtacaagtgcaaggtctccaac
		aaagccctcccagcccccatcgagaaaaccatctccaaagccaaagggcagccccg
		agaaccacaggtgtacaccctgcccccatcccgggatgagctgaccaagaaccaggt
		cagectgacetgectggteaaaggettetatecaagegacategeegtggagtgggaga
		gcaatgggcagccggagaacaactacaagaccacgcctcccgtgctggactccgac
		ggctccttcttcctctacagcaagctcaccgtggacaagagcaggtggcagcagggga
		acgtcttctcatgctccgtgatgcatgaggctctgcacaaccactacacgcagaagagc
		ctctccctgtctccgggtaaatga
019008 8	36	MEAPAQLLFLLLLWLPDTTGEIVLTQSPATLSLSPGERATLSCR
		TSENVYSYLAWYQQKPGQAPRLLIYFAKTLAEGIPARFSGSGS
		GTDFTLTISSLEPEDFAVYYCQHHSDNPWTFGQGTKVEIKGGG
		GSGGGSGGGGASEVQLVQSGAEVKKPGESLKISCKGSGYS
		FTGYNMNWVRQMPGKGLEWMGNIDPYYGGTTYNRKFKGQV
		TISADKSISTAYLQWSSLKASDTAMYYCARSVGPMDYWGRGT
		LVTVSSDQEPKSSDKTHTSPPCPAPELLGGPSVFLFPPKPKDT
		LMISRTPEVTCVVVDVSHEDPEVKFNWYVDGVEVHNAKTKPR
		EEQYNSTYRVVSVLTVLHQDWLNGKEYKCKVSNKALPAPIEKT
		ISKAKGQPREPQVYTLPPSRDELTKNQVSLTCLVKGFYPSDIAV
		EWESNGQPENNYKTTPPVLDSDGSFFLYSKLTVDKSRWQQG
		NVFSCSVMHEALHNHYTQKSLSLSPGK

Construcción nº	SEQ ID NO:	Secuencia de ADN o de aminoácidos
019009	87	aagcttgccgcatggaagcccagctcagcttctctctctc
019009	88	MEAPAQLLFLLLLWLPDTTGEIVLTQSPATLSLSPGERATLSCR TSENVYSYLAWYQQKPGQAPRLLIYFAKTLAEGIPARFSGSGS GTDFTLTISSLEPEDFAVYYCQHHSDNPWTFGQGTKVEIKGGG GSGGGSGGGGASEVQLVQSGAEVKKPGESLRISCKGSGYS FTGYNMNWVRQMPGKGLEWMGNIDPYYGGTTYNRKFKGQV TISADKSISTAYLQWSSLKASDTAMYYCARSVGPMDYWGRGT LVTVSSDQEPKSSDKTHTSPPCPAPELLGGPSVFLFPPKPKDT LMISRTPEVTCVVVDVSHEDPEVKFNWYVDGVEVHNAKTKPR EEQYNSTYRVVSVLTVLHQDWLNGKEYKCKVSNKALPAPIEKT ISKAKGQPREPQVYTLPPSRDELTKNQVSLTCLVKGFYPSDIAV EWESNGQPENNYKTTPPVLDSDGSFFLYSKLTVDKSRWQQG NVFSCSVMHEALHNHYTQKSLSLSPGK

LISTADO DE SECUENCIAS

<110> Grosmaire et al.

5 <120> Reducción de células B usando moléculas de unión específica a CD37 y de unión específica a CD20

<130> 30906/41324PCT

<150> US 60/702.499

10 <151> 25-07-2005

<150> US 60/800.595

<151> 16-05-2006

15 <160> 78

<170> PatentIn versión 3.3

<210> 1

20 <211> 1510

<212> ADN

<213> Secuencia artificial

<220>

25 <223> Polinucleótido TRU-016

<400> 1

aagettgeeg ceatggattt	tcaagtgcag	attttcagct	tcctgctaat	cagtgcttca	60
gtcataattg ccagaggagt	cgacatccag	atgactcagt	ctccagcctc	cctatctgca	120
tctgtgggag agactgtcac	catcacatgt	cgaacaagtg	aaaatgttta	cagttatttg	180
gcttggtatc agcagaaaca	gggaaaatct	cctcagctcc	tggtctcttt	tgcaaaaacc	240
ttagcagaag gtgtgccatc	aaggttcagt	ggcagtggat	caggcacaca	gttttctctg	300
aagatcagca gcctgcagcc	tgaagattct	ggaagttatt	tctgtcaaca	tcattccgat	360
aatccgtgga cgttcggtgg	aggcaccgaa	ctggagatca	aaggtggcgg	tggctcgggc	420
ggtggtgggt cgggtggcgg	cggatcgtca	gcggtccagc	tgcagcagtc	tggacctgag	480
teggaaaage etggegette	agtgaagatt	tcctgcaagg	cttctggtta	ctcattcact	540
ggctacaata tgaactgggt	gaagcagaat	aatggaaaga	gccttgagtg	gattggaaat	600
attgatcctt attatggtgg	tactacctac	aaccggaagt	tcaagggcaa	ggccacattg	660
actgtagaca aatcctccag	cacagcctac	atgcagctca	agagtctgac	atctgaggac	720
totgcagtot attactgtgc	aagatcggtc	ggccctatgg	actactgggg	tcaaggaacc	780
tcagtcaccg tctcttcaga	tctggagccc	aaatcttctg	acaaaactca	cacatctcca	840
ccgtgcccag cacctgaact	cttgggtgga	ccgtcagtct	tectettece	cccaaaaccc	900
aaggacaccc tcatgatctc	ceggacecet	gaggtcacat	gcgtggtggt	ggacgtgagc	960
cacgaagacc ctgaggtcaa	gttcaactgg	tacgtggacg	gcgtggaggt	gcataatgcc	1020
aagacaaagc cgcgggagga	gcagtacaac	agcacgtacc	gtgtggtcag	cgtcctcacc	1080

> .

5	Judet	gcac	c ag	ggacı	tggct	ga	atgg	caag	gag	taca	agt	gcaa	ggtc	tc c	aaca	aagcc
. (ctccc	cagco	c c	catc	gagaa	a aa	ccat	ctcc	aaa	gcca	aag	ggca	gccc	cg a	gaac	cacag
•	ytgta	acaco	e te	gccc	ccato	e dd	ggga	tgag	ctg	acca	aga	acca	ggtc	ag c	ctga	cctgc
(tggt	caaa	ag go	ette	tatco	aa	gcga	catc	gcc	gtgg	agt	ggga	gagc	aa t	gggc	aaccg
٤	gagaa	caac	t a	caaga	accad	gc.	ctcc	cgtg	ctg	gact	ccg	acgg	ctcc	tt c	ttac	tctac
ě	agcaa	gcto	a co	gtg	gacaa	a ga	gcag	gtġg	cag	cagg	gga	acgt	cttc	tc a	tgct	ccgtg
ě	atgca	atgag	gg ct	ctg	cacaa	a cc	acta	cacg	cag	aaga	gcc	tctc	cctg	tc t	ccgg	gtaaa
t	gagt	ctag	ja		. ,					•						
<;; <;; <;;	210> 211> 212> 213> 220>	496 PRT Secu			icial U-016											
		·	epilu	UIK	0-010	,										
`	400>	2														
,	Met 1	Asp	Phe	Gln	Val 5	Gln	Ile	Phe	Ser	Phe 10	Leu	Leu	Ile	Ser	Ala 15	Ser
	Val	Ile	Ile	Ala 20	Arg	Gly	Val	Asp	Ile 25	Gln	Met	Thr	Gln	Ser 30	Pro	Ala
***	Ser 	Leu	Ser 35	Ala	Ser	Val	Gly	Glu 40	Thr	Val	Thr	Ile	Thr 45	Су <u>в</u>	Arg	Thr_
	Ser	Glu 50	Asn	Val	Tyr	Ser	Tyr 55	Leu	Ala	Trp	Tyr	Gln 60	Gln	Lys	Gln	Gly
	Lys 65	ser,	Pro	Gln	Leu	Leu 70	Val	Ser	Phe	Ala	Lys 75	Thr	Leu	Ala	Glu	Gly 80
	Val	Pro	Ser	Arg	Phe 85	Ser	Gly	Ser	Gly	Ser 90	Gly	Thr	Gln	Phe	Ser 95	Leu
	ьуѕ	Ile	Ser	Ser 100	Leu	Gln	Pro		Asp 105	Ser	Gly	Ser	Tyr	Phe 110	Cys	Gln
	His	His	Ser 115	Asp	Asn	Pro	Trp	Thr 120	Phe	Gly	Gly	Gly	Thr 125	Glu	Leu	Glu
	Ile	Lys 130	Gly	Gly	Gly	Gly	Ser 135	Gly	Gly	Gly	Gly	Ser 140	Gly	Gly	Gly	Gly

Ser 145	Ser	Ala	Val	Gln	Leu 150	Gln	Gln	Ser	Gly	Pro 155	Glu	Ser	Glu	Ьys	Pro 160
Gly	Ala	ser	Val	Lys 165	Ile	Ser	Cys	Lys	Ala 170	Ser	Gly	Tyr	Ser	Phe 175	Thr
Gly	Tyr	Asn	Met 180	Asn	Trp	Val	ГÀЗ	Gln 185	Asn	Asn	Gly	Lys	Ser 190	Leu	Glu
Trp		Gly 195	Asn	Ile	Asp	Pro	Tyr 200	Tyr	Gly	Gly	Thr	Thr 205	Tyr	Asn	Arg
Lys	Phe 210	Lys	Gly	Lys	Ala	Thr 215	Leu	Thr	Val	Asp	L ys 220	Ser	Ser	Ser	Thr
Ala 225	Tyr	Met	Gln	Leu	Lys 230	Ser	Leu	Thr	Ser	Glu 235	Asp	Ser	Ala	Val	Tyr 240
Tyr	Сув	Ala	Arg	Ser 245	Val	Gly	Pro		Asp 250	Tyr	Trp	Gly	Gln	Gly 255	Thr
Ser	Val	Thr	Val 260	Ser	Ser	Asp	Leu	Glu 265	Pro	Lys	Ser	Ser	Asp 270	Lys	Thr
His		Ser 275	Pro	Pro	Суз	Pro	Ala 280	Pro	Glu	Leu	Leu	Gly 285	Gly	Pro	Ser
Val	Phe 290	Leu	Ph'e	Pro	Pro	Lys 295	Pro	Lys	Asp	Thr	Leu 300	Met	Ile	Ser	Arg
Thr 305	Pro	Glu	Val	Thr	Cys 310	Val	Val	Val	Asp	Val 315	Ser	His	Glu	Asp	Pro 320
Glu	Val	Lys	Phe	Asn 325	Trp	Tyr	Val	Asp	Gly 330	Val	Glu	Val	His	Asn 335	Ala
Lvs															
-2-	Thr	Lys	Pro 340	_	Glu	Glu	Gln	Tyr 345	Asn	Ser	Thr	Tyr	Arg 350	Val	Val
			340				•	345				_	350		Val Tyr
Ser	Val	Leu 355	340	Val	Leu	His	Gln 360	345 Asp	Trp	Leu	Asn	Gly 365	350 Lys	Glu	Tyr

Pro	Pro	ser	Arg	Asp 405	Glu	Leu	Thr	Lys	Asn 410	Gln	Val	Ser	Leu	Thr 415	Cys	
											· .				:	
Leu	Val	Гуs	Gly 420		Tyr	Pro	Ser	Asp 425	Ile	Ala	Val	Glu	Trp 430	Glu	Ser	
Asn	Gly	Gln 435	Pro	Glu	Asn	Asn	Tyr 440		Thr	Thr	Pro	Pro 445	Val	Leu	Asp	
Ser	Asp 450	Gly	Ser	Phe	Phe	Leu 455	Tyr	Ser	Lys	Leu	Thr 460	Val	Asp	Lys	Ser	
Arg 465	Trp	Gln	Gln	Gly	Asn 470	Val	Phe	Ser	-	Ser 475	Val	Met	His	Glu	Ala 480	
Leu	His	Asn	His	Tyr 485	Thr	Gln	Lys	Ser	Leu 490	Ser	Leu	Ser	Pro	Gly 495		
<212 <213 <220	B> Po	N cuenc														
aa	agctt	gccg	cça	tgga	ttt	tcaa	gtgo	ag a	tttt	cago	t to	ctgo	taat	cac	ntgcttca	60
gt	cata	atgt	сса	gagg	ac <u>a</u>	<u>a</u> att	gtto	tc t	ccca	gt <u>c</u> t	c,ca	ıg.caa	tcct	gto	tgcatct	120
c	caggg	gaga	agg	tcac	aat	gact	tgca	igg s	ccag	ctca	a gt	gtaa	ıgtta	cat	gcactgg	180
ta	accag	caga	ago	cagg	atc	ctcc	ccca	iaa ic	cctg	gatt	t at	gccc	cato	caa	cctggct	240
to	ctgga	igtee	ctg	ctcg	ctt	cagt	ggca	igt g	ggto	tggg	a cc	tett	acto	tct	cacaatc	300
ag	gcaga	ıgtgg	agg	ıctga	aga	tgct	gcca	ict t	atta	ctgc	c ag	gcagt	ggag	ttt	taaccca	360
C.	cace	ttcg	gtg	ctgg	gac	caag	ctgg	ag c	tgaa	agat	g go	ggtg	gcto	999	cggtggt	420
gg	gatct	ggag	gag	igtgg	gag	ctct	cagg	jct t	atct	acag	c ag	jtctg	gggc	tga	gtcggtg	480
aç	gcct	gggg	cct	cagt	gaa	gatg	tcct	gc a	aggo	ttct	g go	ctaca	catt	tac	cagttac	540
aa	atato	cact	ggg	taaa	gca	gaca	ccta	iga c	aggg	icctg	g aa	tgga	ittgg	ago	tatttat	600

ccaggaaatg gtgatacttc ctacaatcag aagttcaagg gcaaggccac actgactgta

gacaaatcct ccagcacagc ctacatgcag ctcagcagcc tgacatctga agactctgcg

gtctatttct gtgcaagagt ggtgtactat agtaactctt actggtactt cgatgtctgg

ggcacaggga ccacggtcac cgtctctgat caggagccca aatcttgtga caaaactcac

acatetecae egtgeteage acetgaacte etgggtggae egteagtett cetetteece

5

10

660

720

780

840

ccaaaaccca	aggac	accct	cat	gatc	tcc	cgga	cccct	g ag	jgtca	catg	cgt	gtgg	jtg
gacgtgagcc	acgaa	gacco	tga	iggto	aag	ttca	actgo	gt ac	gtgg	acgg	cgt	ggagg	gtg
cataatgcca	agaca	aagco	gcg	ggag	gag	cagt	acaad	a go	acgt	accg	tgt	ggtca	agc
gtcctcaccg	tcctg	cacca	gga	ctgg	ctg	aatg	gcaag	gg ag	gtaca	agtg	caa	ggtct	cc
aacaaagccc	tccca	gcccc	cat	cgag	aaa	acca	tctc	ca aa	igcca	aagg	gca	gecee	ga
gaaccacagg	tgtac	accct	gcc	ccca	tçc	cggg	atgag	go to	gacca	agaa	cca	ggtca	gc
ctgacctgcc	tggtc	aaagg	ctt	ctat	cca	agcg	acato	g co	gtgg	agtg	gga	gagca	at
gggcagccgg	agaac	aacta	caa	gacc	acg	cata	ccgt	je te	gact	ccga	cgg	ctcct	tc
ttcctctaca	gcaag	ctcac	cgt	ggac	aag	agca	ggtgg	gc ag	gcagg	ggaa	cgt	ettet	ca
tgctccgtga	tgcat	gaggo	tct	gcac	aac	cact	acaco	gc ag	<u>j</u> aaga	gcct	ctc	cctgt	ct
ccgggtaaat	gatct	aga										٠	
<210> 4 <211> 499 <212> PRT <213> Secue	ncia artif	icial											
<220>	otido TD	045											
<223> Polipé	אומט דא	U-015	1										
<400> 4	olido TR	.U-015	•										
				Ile	Phe	Ser	Phe 10	Leu	Leu	Ile	Ser	Ala 15	Ser
<400> 4 Met Asp Ph	ne Gln	Val 5	Gln 			•	10	·				15 	
<400> 4 Met Asp Ph	ne Gln	Val 5	Gln 			•	10	·				15 	
<400> 4 Met Asp Ph	ne Gln et Ser 20	Val 5 Arg	Gln Gly	Gln	Ile	Val 25	10 Leu	ser	Gln	Ser	Pro 30	15 Ala	Ile
<400>4 Met Asp PH 1 Val Ile Me	et Ser 20	Val 5 Arg	Gln Gly Gly	Gln Glu	Ile Lys 40	Val 25 Val	10 Leu Thr	Ser Met	Gln	Ser Cys 45	Pro 30 Arg	15 Ala Ala	Ile
<400>4 Met Asp Ph 1 Val Ile Me Leu Ser A 35 Ser Ser Va	ne Gln et Ser 20 la Ser si	Val 5 Arg Pro	Gln Gly Gly Met	Glu His 55	Ile Lys 40	Val 25 Val Tyr	Leu Thr	Ser Met	Gln Thr Lys 60	Ser Cys 45	Pro 30 Arg	15 Ala Ala Ser	Ile Ser
<400>4 Met Asp Ph 1 Val Ile Me Leu Ser A 35 Ser Ser Va 50 Pro Lys Pr	et Ser 20 a Ser al Ser	Val 5 Arg Pro Tyr	Gln Gly Gly Met Tyr 70	Glu His 55	Ile Lys 40 Trp	Val 25 Val Tyr Ser	Leu Thr Gln	Ser Met Gln Leu 75	Gln Thr Lys 60	Ser Cys 45 Pro	Pro 30 Arg Gly	Ala Ala Ser Val	Ile Ser Ser Pro
<400> 4 Met Asp Ph 1 Val Ile Me Leu Ser A. 39 Ser Ser Va 50 Pro Lys Ph 65	ne Gln et Ser 20 a Ser al Ser ro Trp	Val 5 Arg Pro Tyr Ile Gly 85	Gln Gly Gly Met Tyr 70	Glu His 55 Ala	Ile Lys 40 Trp Pro	Val 25 Val Tyr Ser	Leu Thr Gln Asn Thr	Ser Met Gln Leu 75	Gln Thr Lys 60 Ala	Ser Cys 45 Pro Ser	Pro 30 Arg Gly Leu	Ala Ala Ser Val Thr	Ile Ser Ser Pro 80

Ser Phe Asn Pro Pro Thr Phe Gly Ala Gly Thr Lys Leu Glu Leu Lys 115 120 125

Asp	Gly 130	Gly	Gly	Ser	Gly	Gly 135	Gly	Gly	Ser	Gly	Gly 140	Gly	Gly	Ser	Ser	
Gln 145	Ala	Tyr	Leu	Gln	Gln 150	Ser	Gly	Ala	Glu	Ser 155	Val	Arg	Pro	Gly	Ala 160	
Ser	Val	Lýs	Met	Ser 165	Cys	Ļуs	Ala	Ser	Gly 170	Tyr	Thr	Phe	Thr	Ser 175	Tyr	
Asn	Met	His	Trp 180	Val	Lys	Gln	Thr	Pro 185	Arg	Gln	Gly	Leu	Glu 190	Trp	Ile	
Gly.	Ala	Ile 195	Tyr	Pro	Gly	Asn	Gly 200	_	Thr	Ser	Tyr	Asn 205	Gln	Lys	Phe	
Lys	Gly 210	Lys	Ala	Thr	Leu	Thr 215	Val	Asp	Lys	Ser	Ser 220	Ser	Thr	Ala	Tyr	
Met 225	Gln	Leu	Ser	Ser	Leu 230	Thr	Ser	Glu	Asp	Ser 235	Ala	Val	Tyr	Phe	Cys 240	
Ala	Arg	Val	Val	Tyr 245	Tyr	Ser	Asn	Ser	Туr 250	Trp	Tyr.	Phe	Asp	Val 255	Trp	
Gly	Thr	_	Thr 260	Thr	Val	Thr	Val	Ser 265	Asp	Gln	Glu	Pro	Lys 270	Ser	Cys	
									-				, -			
Asp	Lys	Thr 275	His	Thr	Ser	Pro	Pro 280	Cys	Ser	Ala	 Pro	Glu 285	Leu	Leu	Gly	
		275		. •		Pro Phe 295	280					285				
Gly	Pro 290 Ser	275 Ser	Val	Phe	Leu	Phe	280 Pro	Pro	Lys	Pro	Lys	285 Asp	Thr	Leu	Met	
Gly Ile 305	Pro 290 Ser	275 Ser Arg	Val Thr	Phe Pro	Leu Glu 310	Phe 295	280 Pro Thr	Pro Cys	Lys Val	Pro Val 315	Lys 300 Val	285 Asp Asp	Thr Val	Leu Ser	Met His 320	
Gly Ile 305	Pro 290 Ser	275 Ser Arg	Val Thr Glu	Phe Pro Val 325	Leu Glu 310 Lys	Phe 295 Val	280 Pro Thr	Pro Cys Trp	Lys Val Tyr 330	Pro Val 315 Val	Lys 300 Val	285 Asp Asp Gly	Thr Val Val	Leu Ser Glu 335	Met His 320	
Gly Ile 305 Glu His	Pro 290 Ser Asp	275 Ser Arg Pro	Val Thr Glu Lys 340	Phe Pro Val 325 Thr	Leu Glu 310 Lys	Phe 295 Val Phe	280 Pro Thr Asn	Pro Cys Trp Glu 345	Lys Val Tyr 330 Glu	Pro Val 315 Val Gln	Lys 300 Val Asp	285 Asp Asp Gly Asn	Thr Val Val Ser	Leu Ser Glu 335 Thr	Met His 320 Val	

Glu Lys Thr Ile Ser Lys Ala Lys Gly Gln Pro Arg Glu Pro Gl 385 390 395	n Val 400
Tyr Thr Leu Pro Pro Ser Arg Asp Glu Leu Thr Lys Asn Gln Va 405 410 41	
Leu Thr Cys Leu Val Lys Gly Phe Tyr Pro Ser Asp Ile Ala Va 420 425 430	l Glu
Trp Glu Ser Asn Gly Gln Pro Glu Asn Asn Tyr Lys Thr Thr Pr 435 440 445	o Pro
Val Leu Asp Ser Asp Gly Ser Phe Phe Leu Tyr Ser Lys Leu Th 450 455 460	r Val
Asp Lys Ser Arg Trp Gln Gln Gly Asn Val Phe Ser Cys Ser Va 465 470 475	1 Met 480
His Glu Ala Leu His Asn His Tyr Thr Gln Lys Ser Leu Ser Le 485 490 49	
Pro Gly Lys	
<210> 5 <211> 1482 <212> ADN <213> Secuencia artificial	
<220> <223> TRU-016 humanizado	
<400> 5	
atggaagece cageteaget tetetteete etgetaetet ggeteecaga	taccaccgga 60
gaaattgtgt tgacacagtc tccagccacc ctgtctttgt ctccaggcga	aagagccacc 120
ctctcctgcc gaacaagtga aaatgtttac agctacttag cctggtacca	acagaaacct 180
ggccaggete etaggeteet catetatttt gcaaaaacet tagcagaagg	aattccagcc 240
aggttcagtg gcagtggatc cgggacagac ttcactctca ccatcagcag	cctagagcct 300
gaagattttg cagtttatta ctgtcaacat cattccgata atccgtggac	attcggccaa 360
gggaccaagg tggaaatcaa aggtggcggt ggctcgggcg gtggtggatc	tggaggaggt 420
gggaccggtg aggtgcagct ggtgcagtct ggagcagagg tgaaaaagcc	eggagagtet 480
ctgaagattt cctgtaaggg atccggttac tcattcactg gctacaatat	gaactgggtg 540
cgccagatgc ccgggaaagg cctcgagtgg atgggcaata ttgatcctta	tatggtggt 600
actacctaca accggaagtt caagggccag gtcactatct ccgccgacaa g	gtecateage 660

accg	cctac	c tg	caato	gag	cagco	tgaag	g gcc	tcgga	aca c	cgcca	itgta	tta	etgtg	ca	720
cgct	cagto	g gc	cctat	.gga	ctact	gggg	c cgc	ggca	ecc t	ggtca	ctgt	ctc	ctctg	at	780
cagg	agcco	a aa	tcttc	tga	caaaa	ctca	c aca	tctc	cac c	gtgc	cago	acct	tgaac	tc	840
ctgg	gtgga	c cg	tcagt	ctt	cctct	tccc	cca	aaac	cca a	ıggaca	iccct	cate	gatct	cc	900
cgga	cccct	g ag	gtcac	atg	cgtgg	rtggtg	g gạc	gtga	gcc a	cgaag	gacco	tgag	ggtca	ag ·	960
ttca	actgo	jt ac	gtgga	cgg	cgtgg	aggt	g cat	aatg	cca a	gacaa	agco	gcgg	ggagg	ag	1020
cagt	acaac	a gc	acgta	ccg	tg t gg	tcago	gtc	ctcad	ccg t	cctg	acca	ggad	ctggc	tg	1080
aatg	gcaag	g ag	tacaa	gtg	caagg	tete	c aac	aaag	ecc t	cccag	gcccc	cato	gaga	aa	1140
acca	tetec	a aa	gccaa	agg	gcago	cccga	a gaa	ccaca	agg t	gtaca	accct	gcc	ccat	CC	1200
cggg	atgag	je tg	accaa	ıgaa	ccagg	rtcago	e ctg	acct	gcc t	ggtca	aagg	ctto	ctato	ca	1260
agcg	acato	g cc	gtgga	gtg	ggaga	igcaát	t ggg	cage	egg a	gaaca	acta	caag	gacca	cg	1320
cctc	ccgtg	ga tg	gacto	cga	cggct	cctt	ttc	ctcta	aca g	caago	tcac	cgtg	ggaca	ag	1380
agca	ggtgg	gc ag	caggo	gaa	cgtct	tctca	a tgc	tccgi	iga t	gcat	aggo	tctg	gcaca	ac	1440
cact	acaco	gc ag	aagag	ject	ctccc	tgtc	t ccg	ggtaa	aat g	ja	•				1482
<213>	> P127 > Secu > > TRU	iencia													
			_		~-3	_	_	_,	_	_	_	_		_	_
Met 1	GIU	ÀТа	Pro	A1a .	GIn.	Leu	Leu	Pne	Leu 10	Leu	Leu	Leu	Trp	ьеи 15	Pro
Asp	Thr	Thr	Gly 20	Glu	Ile	Val	Leu	Thr 25	Gln	Ser	Pro	Ala	Thr 30	Leu	Ser
٠.	,			_	• •										
Leu	Ser	Pro 35	Gly	Glu	Arg	Ala	Thr 40	Leu	Ser	Cys	Arg	Thr 45	Ser	Glu	Asn
Val	Tyr 50	Ser	Туг	Leu	Ala	Trp 55	Tyr	Gln	Gln	Lys	Pro 60	Gly	Gln	Ala	Pro
	50				•	55				Lys Ala 75	60			•	

Ser	Leu	Glu (Pro 100	Glu	Asp	Phe	Ala	Val 105	Tyr	Tyr	Cys	Gln	His 110	His	Ser
Asp	Asn	Pro 115	Trp	Thr	Phe	Gly	Gln 120	Gly	Thr	ГÀ2	Val	Glu 125	Ile	Lys	Gly
Gly	Gly 130		Ser	Gly	Gly	Gly 135	Gly	Ser	Gly	Gly	Gly 140	Gly	Thr	Gly	Glu
Val 145	Gln	Leu	Val	Gln	Ser 150	Gly	Ala	Glu	Val	Lys 155	Lys	Pro	Gly	Glu	Ser 160
Leu	Lys	Ile	Ser	Cys 165		Gly	Ser	Gly	Tyr 170	Ser	Phe	Thr	Gly	Tyr 175	
Met	Asn	Trp	Val 180	Arg	Gln	Met	Pro	Gly 185	Lys	Gly	Leu	Glu	Trp 190	Met	Gly
Asn	Ile	Asp 195	Pro	Tyr	Tyr	Gly	Gly 200	Thr	Thr	Tyr	Asn	Arg 205	Lys	Phe	Lys
Gly	Gln 210	Val	Thr	Ile	Ser	Ala 215	Asp	Lys	Ser	Ile	Ser 220	Thr	Ala	Tyr	Leu
Gln 225	Trp	Ser	Ser	Leu	Lys 230	Ala	Ser	Asp	Thr	Ala 235	Met	Tyr	Tyr	Cys	Ala 240
Arg	Ser	Val	Gly-	Pro 245	Met	Asp	Tyr	Trp	Gly 250	Aŗg	Gĺy	Thr	Leu	Val 255	Thr
Val	Ser	Ser	Asp 260	Gln	Glu	Pro	Lys	Ser 265	Ser	Asp	Lys	Thr	His 270	Thr	Ser
Pro	Pro	Cys 275	Pro	Ala	Pro	Glu	Leu 280	Leu	Gly	Gly	Pro	Ser 285	Val	Phe	Leu
Phe	Pro 290	Pro	Lys	Pro	Lys	Asp 295	Thr	Leu	Met	Ile	Ser 300	Arg	Thr	Pro	Glu
Val 305	Thr	Cys	Val	Val	Val 310	Asp	Val	Ser	His	Glu 315	Asp	Pro	Glu	Val	Lys 320
Phe	Asn	Trp	Tyr	Val 325	Asp	Gly	Val	Glu	Val 330	His	Asn	Ala	Lys	Thr 335	Lys
Pro	Arg	Glu	Glu 340		Tyr	Asn	Ser	Thr 345	Tyr	Arg	Val	Val	Ser 350	Val	Leu

Thr	Val	Leu 355	His	Gln	Asp	Trp	Leu 360	Asn	Gly	Lys	Glu	Tyr 365		Cys	Lys	* *	
Val	Ser 370	Asn	Lys	Ala	Leu	Pro 375	Ala	Pro	Ile	Glu	180	Thr	Ile	Ser	Lys		
Ala 385	Lys	Gly	Gln	Pro	Arg 390	Glu	Pro	Gln	Val	Tyr 395	Thr	Leu	Pro	Pro	Ser 400		
Arg	Asp	Glu	Leu	Thr 405	ŗys	Asn	Gln	Val	Ser 410	Leu	Thr	Cys	Leu	Val 415	Lys	,	
Gly	Phe	Tyr	Pro 420	Ser	Asp	Ile	Ala	Val 425	Glu	Trp	Glu	Ser	Asn 430	Gly	Gln		
Pro	Glu	Asn 435		Тух	Lys	Thr	Thr 440	Pro	Pro	Val	Leu	Asp 445		Asp	Gly		
Ser	Phe 450	Phe	Leu	Tyr	Ser	Lys 455	Leu	Thr	Val	Asp	Lys 460		Arg	Trp	Gln		
Gln 465	Gly	Asn	Val	Phe	Ser 470	Cys	Ser	Val		His 475	Glu	Ala	Leu		Asn 480		
His	туг	Thr	Gln	Lys 485	Ser	Leu	Ser	Leu	Ser 490	Pro	Gly	Lys	•	٠			
<210: <211: <212: <213:	> 148 > ADI	V	ia arti	ficial													
<220 <223		J-016	hum	aniza	do												
<400	> 7																
atgg	aago	ec c	agct	cago	t to	tctt	cctc	ctg	ctac	tct	ggct	ccca	ga t	acca	.ccgga	a	60
gaaa	ttgt	gt t	gaca	cagt	c to	cago	cacc	ctg	tctt	tgt	ctcc	aggo	ga a	agag	ccaç	=	120
ctct	cate	icc a	jaaca	agtg	a aa	atgt	ttac	agc	tact	tag	cctg	gtac	cá a	.caga	aacct	t .	180
ggcc	aggo	tc c	tago	gatac	t ca	tcta	tttt	gca	aaaa	cct	tagc	agaa	.gg a	atto	cago	Ξ.	240
aggt	tcag	jtg g	cagt	ggat	c cg	ggac	agac	ttc	actc	tca	ccat	cago	ag c	ctag	agcci	t .	300
gaag	attt	tg	agtt	tatt	a ct	gtca	acat	cat	tccg	ata	atcc	gtgg	ac a	ttcg	gccaa	a	360
ggga	ccaa	igg t	ggaa	atca	a ag	gtgg	cggt	ggc	tcgg	gcg	gtgg	tgga	tc t	ggag	gaggt	t	420
ggga	gcto	tg a	iggto	gcago	t gg	rtgca	gtct	gga	gcag	agg	tgaa	aaag	cc c	ggag	agtc	t	480

ctgaagattt cctgtaaggg atccggttac tcattcactg gctacaatat gaactgggtg

cgccagatgc ccgggaaagg cctcgagtgg atgggcaata	ttgatcctta ttatggtggt	600
actacctaca accggaagtt caagggccag gtcactatct	ccgccgacaa gtccatcagc	660
accgcctacc tgcaatggag cagcctgaag gcctcggaca	ccgccatgta ttactgtgca	720
cgctcagtcg gccctatgga ctactggggc cgcggcaccc	tggtcactgt ctcctctgat	780
caggagecca aatettetga caaaaeteae acateteeae	cgtgcccagc acctgaactc	840
ctgggtggac cgtcagtctt cctcttcccc ccaaaaccca	aggacaccct catgatetee	900
eggacecetg aggteacatg egtggtggtg gaegtgagee	acgaagaccc tgaggtcaag	960
ttcaactggt acgtggacgg cgtggaggtg cataatgcca	agacaaagcc gcgggaggag	1020
cagtacaaca gcacgtaccg tgtggtcagc gtcctcaccg	tcctgcacca ggactggctg	1080
aatggcaagg agtacaagtg caaggtctcc aacaaagccc	tcccagcccc catcgagaaa	1140
accatctcca aagccaaagg gcagccccga gaaccacagg	tgtacaccct gcccccatcc	1200
cgggatgagc tgaccaagaa ccaggtcagc ctgacctgcc	tggtcaaagg cttctatcca	1260
agcgacatcg ccgtggagtg ggagagcaat gggcagccgg	agaacaacta caagaccacg	1320
cctcccgtgc tggactccga cggctccttc ttcctctaca	gcaagctcac cgtggacaag	1380
agcaggtggc agcaggggaa cgtcttctca tgctccgtga	tgcatgaggc tctgcacaac	1440
cactacacgc agaagageet etceetgtet eegggtaaat	ga	1482
<210> 8 <211> 493 <212> PRT <213> Secuencia artificial		
<220> <223> TRU-016 humanizado		
<400> 8		
Met Glu Ala Pro Ala Gln Leu Leu Phe Leu Leu 1 5 (10	Leu Leu Trp Leu Pro 15	
and the second s	•	

10

Asp Thr Thr Gly Glu Ile Val Leu Thr Gln Ser Pro Ala Thr Leu Ser 20 25 30

Leu Ser Pro Gly Glu Arg Ala Thr Leu Ser Cys Arg Thr Ser Glu Asn 35 40 45

Val Tyr Ser Tyr Leu Ala Trp Tyr Gln Gln Lys Pro Gly Gln Ala Pro

Arg Leu Leu Ile Tyr Phe Ala Lys Thr Leu Ala Glu Gly Ile Pro Ala 65

Δrα	Dhe	Sar	Glaz	.cor	Glaz	Ser	GTv	Thr	Δen	Phe	Thr	T.em	Thr	Tle	Sor	
****9	THE	Der	Gry	85	OLY.	DCI	O±y	-111	90 90	FIIC	****	пси	****	95	Jer.	
		,	٠.													
Ser	Leu	Glu	Pro	Glu	Asp	Phe	Ala	Val	Tvr	Tyr	Cvs	Gĺn	His	His	Ser	
			100					105	-1-	-1-	-1-	0	110		-01	
		·		-												
Asp	Asn	Pro	Trp	Thr	Phe	Glv	Gln	Gĺv	Thr	Lys	Val	Glu	Ile	Lvs	Glv	
		115				2	120					125		2	2	
									٠.							
Gly	Gly	Gly	Seŕ	Gly	Gly	Gly	Gly	Ser	Gly	Gly	Gly	Gly	Ser	Ser	Glu	
·	130	·		-	-	135			, -	-	140	7				
	:										٠.					
Val	Gln	Leu	Val	Gln	Ser	Gly	Ala	Glu	Val	Lys	Lys	Pro	Gly	Glu	Ser	
145				,	150					155					160	
							: '				•					
Leu	Lys	Ile	Ser		Lys	Gly	Ser	Gly		Ser	Phe	Thr	Gly		Asn	
				165					170					175	•	
											**	. :	·			
Met	Asn	\mathtt{Trp}		Arg	Gln	Met	Pro	_	Lys	Gly	Leu	Glu	_		Gly	
		•	180					185	٠				190			
												:	•			•
Asn	Ile		Pro	Tyr	Tyr	Gly		Thr	Thr	Tyr				Phe	Lỳs	•
		195		-			_2.00			•		_2.0.5_	· · · ·		*	
GTA	G1n 210	Val	Thr	He	Ser	A1a,	Asp	гàг	Ser	Ile	Ser 220	Thr	Ala	Tyr	Leu	
- C1 41	THE .			Ton	· 1 325	⊼15 ⁻	Car	<u> </u>	Thr	Ala	Mo.+	Tree	The exec	Circ	71-	
225	тър	PET	SET	пец	230	Нц	261	Asp	TILL	235	Mec.	тут	TYL	Cys.	240	
Ara	Ser	Val	Glv	Pro	Met	Asp	Tvr	Trp	Glv	Arg	Glv	Thr	Leu	Val	Thr	
5			1	245			-2,-		250	J.	1		-	255		
											•					
Val	Ser	Ser	Asp	Gln	Glu	Pro	Lys	Ser	Ser	Asp	Lys	Thr	His	Thr	Ser	
			260	•				265					270			
						٠.	,							٠.	*.	
Pro	Pro	Cys	Pro	Ala	Pro	Glu	Leu	Leu	Gly	Gly	Pro	Ser	Val	Phe	Leu	
		275					280					285				
	•							•								
Phe		Pro	Lys	Pro	Lys		Thr	Leu	Met	Ile	'	Arg	Thr	Pro	Glu	
	290					295					300				. '	
							١.				٠.					
	Thr	Cys	Val	Val		Asp	Val	Ser	His	Glu	Asp	Pro	Glu	Val		
305		• .			310					315					320	
			,									•				
Phe	Asn	Trp	Tyr	Val 325	Asp	Gly	Vaļ	Glu	Val 330	His	Asn	Ala	Lys	Thr 335	Lys	
				رعد				•	J 3 U	. *				ددد		

Pro	Arg	Glu	Glu 340		Tyr	Asn	Ser	Thr 345		Arg	Val	Val	Ser 350	Val	Leu			
Thr	Val	Leu 355	His	Gln	Asp	Trp	Leu 360	Asn	Gly	Lys	Glu	Tyr 365	Lys	Cys	Lys			
Val	Ser 370	Asn	Lys ·	Ala	Leu	Pro 375		Pro	Ile	Glu	Lys 380	Thr	Ile	Ser	Lys	. •		
Ala 385		Gly	Gln	Pro	Arg 390	Glu	Pro	Gln	Val	Tyr 395		Leu	Pro	Pro	Ser 400	, .		
Arg	Asp	Glu	Leu	Thr 405	Lys	Asn	Gln	Val	Ser 410	Leu	Thr	Cys	Leu	Val 415				
Gly	Phe	Tyr	Pro 420	Ser	Asp	Ile	Ala	Val 425		Trp	Glu	Ser	Asn 430	_	Gln	,		
Pro	Glu	Asn 435	Asn	туг	Lys	Thr		Pro		Val	Leu	Asp 445	Ser	Asp	Gly			
Ser	Phe 450	Phe	Leu	Tyr	Ser	Lys 455		Thr	Val		Lys 460	Ser	Arg	Trp	Gln			
Gln 465		Asn	Val	Phe	Ser 470	_	Ser	Val	Met	His 475		Ala	Leu	His	Asn 480			
His	-	Thr	Gln	Lys 485	Ser	Leu	Ser		Ser 490		Gly	Lys						
<210 <211 <212 <213	> 148 > AD	Ν	cia ar	tificial														
<220 <223		U-01	6 hun	naniza	ado													
<400	> 9																	
atg	gaag	ÇCC	cag	ctca	gct	tct	ette	ctc	ctg	ctac	tct	ggct	ccc	aga	tacc	acc	gga	60
gaa	attg	tgt	tga	caca	gtc	tcca	agcc	acc	ctgt	ctt	tgt	ctc	cagg	cga	aaga	.gcc	acc	120
ctc	tcct	gcc	gaa	caag	tga	aaat	gtt	tac	agct	act	tag	cct	ggta	cca	acag	aaa	cct	180
ggc	cagg	ctc	cta	ggct	cct	cat	ctat	ttt	gcaa	aaaa	cct	tago	caga	agg	aatt	.cca	gcc	240
agg	ttca	gtg	gca	gtgg	atc	cgg	gaca	gạc	ttca	actc	tca	ccat	cag	cag	ccta	.gag	cct	300
gaa	gatt	ttg	caġ	ttta	tta	ctg	caa	cat	catt	ccg	ata	atco	gtg	gac	atto	ggc	caa	360
999	acca	.agg	tgg	aaat	caa	aggi	tggc	ggt	ggct	cgg	gcġ	gtgg	gtgg	atc	tgga	.gga	ggt	420

```
gggaccggtg aggtgcagct ggtgcagtct ggagcagagt cgaaaaagcc cggagagtct
 ctgaagattt cctgtaaggg atccggttac tcattcactg gctacaatat gaactgggtg
                                                                       540
 cgccagatgc ccgggaaagg cctcgagtgg atgggcaata ttgatcctta ttatggtggt
                                                                       600
 actacctaca accggaagtt caagggccag gtcactatct ccgccgacaa gtccatcagc
                                                                       660
 accgcctacc tgcaatggag cagcctgaag gcctcggaca ccgccatgta ttactgtgca
                                                                       720
 cgctcagtcg gccctatgga ctactggggc cgcggcaccc tggtcactgt ctcctctgat
                                                                       780
 caggagecca aatettetga caaaaeteae acatetecae egtgeecage acetgaacte
                                                                       840
 ctgggtggac cgtcagtctt cctcttcccc ccaaaaccca aggacaccct catgatctcc
                                                                       900
 cggaccctg aggtcacatg cgtggtggtg gacgtgagcc acgaagaccc tgaggtcaag
                                                                       960
, ttcaactggt acgtggacgg cgtggaggtg cataatgcca agacaaagcc gcgggaggag
                                                                      1020
 cagtacaaca gcacgtaccg tgtggtcagc gtcctcaccg tcctgcacca ggactggctg
                                                                      1080
                                                                      1140
 aatggcaagg agtacaagtg caaggtctcc aacaaagccc tcccagcccc catcgagaaa
 accateteca aagecaaagg geageceega gaaccacagg tgtacaceet geececatee
                                                                      1200
 cgggatgagc tgaccaagaa ccaggtcagc ctgacctgcc tggtcaaagg cttctatcca
                                                                      1260
 agcgacatcg ccgtggagtg ggagagcaat gggcagccgg agaacaacta caagaccacg
                                                                      1320
 cctcccgtgc tggactccga cggctccttc ttcctctaca gcaagctcac cgtggacaag
                                                                      1380
 agcaggtggc agcaggggaa cgtcttctca tgctccgtga tgcatgaggc tctgcacaac
                                                                      1440
cactacacgo agaagagoot otcootgtot cogggtaaat ga
                                                                      1482
<210> 10
<211> 493
<212> PRT
<213> Secuencia artificial
```

<220>

<223> TRU-016 humanizado

10

5

<400> 10

Met Glu Ala Pro Ala Gln Leu Leu Phe Leu Leu Leu Leu Trp Leu Pro

Asp Thr Thr Gly Glu Ile Val Leu Thr Gln Ser Pro Ala Thr Leu Ser 20 25

Leu Ser Pro Gly Glu Arg Ala Thr Leu Ser Cys Arg Thr Ser Glu Asn

Val Tyr Ser Tyr Leu Ala Trp Tyr Gln Gln Lys Pro Gly Gln Ala Pro **55**. 50 60

Arg 65	Leu	Leu (Ile	Tyr	Phe 70	Ala	Lys	Thr	Leu	Ala 75	Glu	Gly	Ile	Pro	Ala 80
Arg	Phe	Ser	Gly	Ser 85	Gly	Ser	Gļy	Thr	Asp 90	Phe	Thr	Leu	Thr	Ile 95	Ser
Ser	Leu	Glu	Pro 100	Glu	Asp	Phe		Val 105	Tyr	Tyr	Суѕ	Gln	His 110	His	Ser
Asp	Asn	Pro 115	Trp	Thr	Phe	Gly	Gln 120	Gly	Thr	Lys	Val	Glu 125	Ile	Lys	Gly
Gly	Gly 130	Gly	Ser	Gly	Gly	Gly 135	Gly	Ser	Gly	Gly	Gly 140	Gly	Thr	Gly	Glu
Val 145	Gln	Leu	Val	Gln	Ser 150	Gly	Ala	Glu	Ser	Lys 155	Lys	Pro	Gly	Glu	Ser 160
Leu	Lys	Ile	Ser	Cys 165	Lys	Gly	Ser	gly	Tyr 170	Ser	Phe	Thr	Gly	Tyr 175	Asn
Met	Asn	Trp	Val 180	Arg	Glņ	Met	Pro	Gly 185		Gly	Leu	Glu	Trp 190	Met	Gly
Asn	Ile	Asp 195	Pro	Tyr	Tyr	Gly	Gly 200	Thr	Thr	Tyr	Asn	Arg 205	ГЛЗ	Phe	Lys
Gly	Gln 210	Val	Thr	Ile	Šer	Ala 215	Āsp	Lys	Ser	Tle	Ser 220	Thr	Ala	Tyr	Leu
Gln 225	Trp	Ser	Ser	Leu	Lys 230	Ala	Ser	Asp	Thr	Ala 235		Tyr	Tyr	Cys	Ala 240
Arg	Ser	Val	Gly	Pro 245	Met	Asp	Tyr	Trp	Gly 250	Arg	Gly	Thr	Leu	Val 255	Thr
Val	Ser	Ser	Asp 260	Gln	Glu	Pro	Lys	Ser 265	Ser	Asp	Lуs	Thr	His 270	Thr	Ser
Pro	Pro	Cys 275	Pro	Ala	Pro	Glu	Leu 280	Leu	Gly	Gly	Pro	Ser 285	Val	Phe	Leu
Phe	Pro 290	Pro	Lys	Pro	Lys	Asp 295	Thr		Met	Ile	Ser 300	Arg	Thr	Pro	Glu
Val 305	Thr	Cys	Val	Val	Val 310	Asp	Val	Ser.	His	Glu 315	Asp	Pro	Glu	Val	Lys 320

Phe	Asn	Trp	Tyr	Val 325		Gly	Val	Glu	Val 330	His	Asn	Ala	Lys	Thr 335	Lys				
Pro	Arg	Glu	Glu 340	Gln	Tyr	Asn		Thr 345			Val	Val	Ser 350	Val	Leu	<i>:</i> -			
Thr	Val	Leu 355	His	Gln	Asp	Trp	Leu 360	Asn	Gly	Lys	Glu	Tyr 365	Lys	Cys	Lys				
Val	Ser 370	Asn	Lys	Ala	Leu		Ala		Ile		Lys 380		Ile	Ser	Lys				
Ala 385	-	Gly	Gln	Pro	Arg 390	Glu	Pro	Gln	Val	Tyr 395		Leu	Pro	Pro	Ser 400				
Arg	Asp	Glu	Leu	Thr 405	Lys	Asn	Gln	Val	Ser 410	Leu	Thr	Cys	Leu	Val 415	Lys				
Gly _.	Phe	Tyr	Pro 420		Asp			Val 425	Glu	Trp	Glu	Ser	Asn 430	Gly	Gln				
Pro	Glu	Asn 435			Lys		Thr 440			V _a l				Asp	Gly				
Ser	Phe 450	Phe	Leu	Tyr		Lys 455	Leu	Thr	Val	Asp	Lys 460		Arg	Trp	Gln				
	Gly	Asn	Val	Phe	Ser 470	Ċyŝ `	Ser	Val	Met	His 475	Glu	Ala	Leu	His	Asn 480				
His	Tyr	Thr	Gln	Lys 485		Leu	Ser	Leu	Ser 490	Pro	Gly	Lys		•					
<210 <211 <212 <213	> 148 > AD	Ν	cia ar	tificia	I														
<220 <223		U-01	6 hun	naniz	ado														
<400	> 11																		
ate	ggaa	gcc	c ca	gcto	agct	tc	tctt	cct	c ct	gcta	ctc	t gg	ctc	ccag	a ta	cca	ccgga	ι	60
ga	aatt	gtgt	tg	açac	agto	t tc	cago	cac	c ct	gtct	ttg	t ct	cca	ggcg	a aa	ıgagı	ccaco	:	120
ct	ctcc	tgc	ga	acaa	gtc	a aa	atgt	tta	c ag	ctad	tta	g cc	tggi	tacc	a ac	aga	aacct	:	180
																	cagco	·	240
ag	gttc	agto	g gc	agtg	gato	c cg	ggac	aga	c tt	cact	ctc	a cc	atca	agca	g co	tag	agcct	; <i>,</i>	300

```
gaaqattttg caqtttatta ctgtcaacat cattccgata atccgtggac attcggccaa
                                                                      360
 gggaccaagg tggaaatcaa aggtggcggt ggctcgggcg gtggtggatc tggaggaggt
                                                                      420
 gggaccggtg aggtgcagct ggtgcagtct ggagcagagg tgaaaaagcc cggagagtct
                                                                      480
 ctgaagattt cctgtaaggg atccggttac tcattcactg gctacaatat gaactgggtq
                                                                      540
 cgccagatgc ccgggaaagg cctcgagtgg atgggcaata ttgatcctta ttatggtggt
                                                                      600
 actacctaca accggaagtt caagggccag gtcactatct ccgccgacaa gtccatcagc
 accgcctacc tgcaatggag cagcctgaag gcctcggaca ccgccatgta ttactgtgca
                                                                      720
 cgctcagtcg gccctatgga ctactggggc cgcggcaccc tggtcactgt ctcctctgat
                                                                      780
 caggagecca aatettetga caaaacteae acatetecae egtgeecage acetgaacte
                                                                      840 .
 ctgggtggac cgtcagtctt cctcttcccc ccaaaaccca aggacaccct catgatctcc
                                                                      900
 cggacccctg aggtcacatg cgtggtggtg gacgtgagcc acgaagaccc tgaggtcaag
                                                                      960
 ttcaactggt acgtggacgg cgtggaggtg cataatgcca agacaaagcc gcgggaggag
                                                                     1020
 cagtacaaca gcacgtaccg tgtggtcagc gtcctcaccg tcctgcacca ggactggctg
                                                                     1080
aatggcaagg agtacaagtg caaggtctcc aacaaagccc tcccagcccc catcgagaaa
                                                                     1140
 accateteca aagecaaagg geageceega gaaccacagg tgtacaeeet geeeecatee
                                                                     1200.
 cgggatgagc tgaccaagaa ccaggtcagc ctgacctgcc tggtcaaagg cttctatcca
                                                                     1260
 agcgacatcg ccgtggagtg ggagagcaat gggcagccgg agaacaacta caagaccacg
                                                                     1320
 cctcccgtgc tggactccga cggctccttc ttcctctaca gcaagctcac cgtggacaag
                                                                     1380
 agcaggtggc agcaggggaa cgtcttctca tgctccgtga tgcatgaggc tctgcacaac
                                                                     1440
 cactacacgo agaagagoot otoootgtot cogggtaaat ga
                                                                     1482
```

<210> 12

<211> 493

5 <212> PRT

<213> Secuencia artificial

<220>

<223> TRU-016 humanizado

10

<400> 12

Asp Thr Thr Gly Glu Ile Val Leu Thr Gln Ser Pro Ala Thr Leu Ser 20 25 30

Leu Ser Pro Gly Glu Arg Ala Thr Leu Ser Cys Arg Thr Ser Gln Asn 35 40 45

	Val	Tyr 50	Ser	Tyr	Leu	Ala	Trp 55	Tyr	Gln	Gln	Lys	Pro 60	Gly	Gln	Ala	Pro	
	Arg 65	Leu	Leu	Ile	Tyr	Phe 70 .	Ala	Lys	Thr	Leu	Ala 75	Glu	Gly	Ile	Pro	Ala 80	
	Arg	Phe	Ser	Gly	Ser 85	Gly	Ser	Gly	Thr	Asp 90	Phe	Thr	Leu	Thr	Ile 95	Ser	
	Ser	Leu	Glu	Pro 100	Glu	Asp	Phe	Ala	Val 105	Tyr	Tyr	Cys	Gln	His 110	His	Ser	
	Asp	Asn	Pro 115	Trp	Thr	Phe	Gly	Gln 120	Gly	Thr	Lys	Val	Glu 125	Ile	Lys	Gly	
	Gly	Gly 130	Gly	Ser	Gly	Gly	Gly 135	Gly	Ser	Gly	Gly	Gly 140	Gly	Thr	Gly	Glu	
	Val 145	Gln	Leu	Val	Gln	Ser 150	Gly	Ala	Glu	Val	Lys 155	Lys	Pro	Gly	Glu	Ser 160	
	Leu	Lys	Ile	Ser	Cys 165		Gly	Ser	Gly	Tyr 170	Ser	Phe	Thr	Gly	Tyr 175	Asn	
	Met	Asn	Trp	Val 180	Arg	Gln	Met	Pro	Gly 185	Lys	Gly	Lėu	Glu	Trp 190	Met	Gly	
: -	Asn	Ile	Asp 195	Pro	,Tyr	Tyr	Gly	Glý 200	Thr.	Thr	Tyr	Āsn	Arg 205	Lys	Phe	Lys	
	Gly	Gln 210	Val	Thr	Ile	Ser	Ala 215	Asp	Lys	Ser	Ile	Ser 220	Thr	Ala	Tyr	Leu	
	Gln 225	Trp	Ser	Ser	Leu	Lys 230	Ala	Ser	Asp	Thr	Ala 235		Tyr	Tyr	Cys	Ala 240	
	Arg	Ser	Val	Gly	Pro 245	Met	Asp	Tyr	Trp	Gly 250	Arg	Gly	Thr	Leu	Val 255	Thr	
	Val.	Ser	Ser	Asp 260	Gln	Glu	Pro	Lys	Ser 265	Ser	Asp	Lys	Thr	His 270	Thr	Ser	
	Pro	Pro	Cys 275	Pro	Ala	Pro	Glu	Leu 280	Leu	Gly	Gly	Pro	Ser 285	Val	Phe	Leu	
	Phe	Pro 290	Pro	Ļуs	Pro	Lys	Asp 295	Thr	Leu	Met	Ile	Ser 300	Arg	Thr	`Pro	Glu	

	Val 305	Thr	Cys	Val	Val	Val 310	Asp	Val	Ser	His	Glu 315	Asp	Pro	Glu	Val	Lys 320	
	Phe	Asn	Trp	Tyr	Val 325	Asp	Gly	Val	Glu	Val 330	His	Asn	Ala	Lys	Thr 335	Lys	
	Pro	Arg	Glu	Glu 340	Gln	Tyr	Asn	Ser	Thr 345	Tyr	Ārg	Val	Val	Ser 350	Val	Leu	
	Thr	Val	Leu 355	His	Gln	Asp	Trp	Leu 360		Gly	Lys	Glu	Tyr 365	_	Cys	Lys	
	Val	Ser 370		Lys	Ala	Leu	Pro 375	Ala	Pro	Ile	Glu	Lys 380	Thr	Ile	Ser	Lys	
	Ala 385	Lys	Gly	Gln	Pro	Arg 390	Glu	Pro	Gln	Val	Tyr 395	Thr	Leu	Pro		Ser 400	
٠.	Arg	Asp	Glu	Leu	Thr 405		Asn	Gln	Val	Ser 410	Leu	Thr	Cys	Leu	Val 415	Lys	
	Gly	Phe	Tyŕ	Pro 420	Ser	Asp	Ile	Ala	Val 425	Glu	Trp	Glu	Ser	Asn 430	Gly	Gln	
	Pro		Asn 435	Asn	Tyr	Lys	Thr	Thr 440	Pro	Pro	Val	Leu	Asp 445	Ser	Asp	Gly	
	Ser	Phe 450	Phe	Leu	Tyr	ser	Lys 455	Leu	Thr	Val	Āsp	Lys 460	Ser	Arg	Trp	Gln	
	Gln 465	Gly	Asn	Val	Phe	Ser 470	Cys	Ser	Val	Met	His 475	Glu	Ala	Leu	His	Asn 480	
•	His	Tyr	Thr	Gln	Lys 485	Ser	Leu	Ser	Leu	Ser 490		Gly	Lys				
<21 <21	0> 13 1> 14 2> A 3> S	182 DN	ncia a	rtificia	al												
<22 <22		RU-0	16 hu	maniz	zado												
<40	0> 13	3															
at	ggaag	gece	cago	tcas	gct t	ctct	tcct	c ct	gcta	ctct	ġgct	ccca	ıga t	acca	ccgg	a	60
		·	, .					c ct							٠.,		120
ct	eteet	gcc	gaac	aagt	ga a	agtg	ttta	c ag	ctac	ttag	cctg	gtac	ca a	caga	aacc	t,	180

ggccaggctc	ctaggctcct	catctatttt	gcaaaaacct	tagcagaagg	aattccagcc	240
aggttcagtg	gcagtggatc	cgggacagac	ttcactctca	ccatcagcag	cctagagcct	300
gaagattttg	cagtttatta	ctgtcaacat	cattccgata	atccgtggac	attcggccaa	360
gggaccaagg	tggaaatcaa	aggtggcggt	ggctcgggcg	gtggtggatc	tggaggaggt	420
gggaccggtg	aggtgcagct	ggtgcagtct	ggagcagagg	tgaaaaagcc	cggagagtct	480
ctgaagattt	cctgtaaggg	atccggttac	tcattcactg	gctacaatat	gaactgggtg	540
cgccagatgc	ccgggaaagg	cctcgagtgg	atgggcaata	ttgatcctta	ttatggtggt	600
actacctaca	accggaagtt	caagggccag	gtcactatct	ccgccgacaa	gtccatcagc	660
accgcctacc	tgcaatggag	cagcctgaag	gcctcggaca	ccgccatgta	ttactgtgca	720
cgctcagtcg	gccctatgga	ctactggggc	cgcggcaccc	tggtcactgt	ctcctctgat	780
caggagccca	aatcttctga	caaaactcac	acatctccac	cgtgcccagc	acctgaactc	840
ctgggtggac	cgtcagtctt	catattacaa	ccaaaaccca	aggacaccct	catgatetee	900
cggacccctg	aggtcacatg	cgtggtggtg	gacgtgagcc	acgaagaccc	tgaggtcaag	960
ttcaactggt	acgtggacgg	cgtggaggtg	cataatgcca	agacaaagcc	gcgggaggag	1020
cagtacaaca	gcacgtaccg	tgtggtcagc	gtcctcaccg	tcctgcacca	ggactggctg	1080
aatggcaagg	agtacaagtg	caaggtctcc	aacaaagccc	teccagecee	catcgagaaa	1140
accatctcca	aagccaaagg	gcagccccga	gaaccacagg	tgtacaccct	gcccccatcc	1200
cgggatgagc	tgaccaagaa	ccaggtcagc	ctgacctgcc	tggtcaaagg	cttctatcca	1260
agcgacatcg	ccgtggagtg	ggagagcaat	gggcagccgg	agaacaacta	caagaccacg	1320
cctcccgtgc	tggactccga	cggctccttc	ttcctctaca	gcaagctcac	cgtggacaag	1380
agcaggtggc	agcaggggaa	cgtcttctca	tgctccgtga	tgcatgaggc	tctgcacaac	1440
cactacacgc	agaagagcct	ctccctgtct	ccgggtaaat	ga		1482

<210> 14

<211> 493

<212> PRT

<213> Secuencia artificial

<220>

<223> TRU-016 humanizado

10 <400> 14

Met Glu Ala Pro Ala Gln Leu Leu Phe Leu Leu Leu Leu Trp Leu Pro 1 5 10 15

Asp Thr Thr Gly Glu Ile Val Leu Thr Gln Ser Pro Ala Thr Leu Ser 20 25 30

Leu	Ser	Pro 35	Gly	Glu	Arg	Ala	Thr	Leu	Ser	Сув	Arg	Thr 45	Ser	Glu	Ser
Val.	Tyr 50	Ser	Tyr	Leu	Ala	Trp 55	Tyr	Gln	Gln	Lys	Pro 60	Gly	Gln	Ala	Pro
Arg 65	Leu	Leu	Ile	Tyr	Phe 70	Ala	rys ,	Thr	Leu	Ala 75	Glu	Gly	Ile	Pro	Ala 80
Arg	Phe	Ser	Gly	Ser 85	Gly	Ser	Gly	Thr	Asp 90	Phe	Thr	Leu	Thr	Ile 95	Ser
Ser	Leu	Glu	Pro 100	Glu	Asp	Phe	Ala	Val 105	Туг	Tyr	Cys	Gln	His 110		Ser
Asp	Asn	Pro 115	Trp	Thr	Phe	Gly	Gln 120	Gly	Thr	Lys	Val	Glu 125	Ile	Lys	Gly
Gly	Gly 130	Gly	Ser	Gly	Gly	Gly 135	Gly	Ser	Gly	Gly	Gly 140	Gly	Thr	Gly	Glu
Val 145	Gln	Leu	Val	Gln	Ser 150	Gly	Ala	Glu	Val	Lys 155	Lys	Pro	Gly	Glu	Ser 160
Leu	Lys	Ile	Ser	Cys 165	Lys	Gly	Ser	Gly	Tyr 170	Ser	Phe	Thr	Gly	Tyr 175	Asn
Met	Asn	Trp	Val 180	Arg	Gln	Met	Pro	Gly 185	Lys	Gly	Leu	Glu	Trp 190	Met	Gly
Asn	Ile	Asp 195	Pro	Tyr	Tyr	Gly	Gly 200	Thr	Thr	Tyr	Asn	Arg 205	Lys	Phe	Lys
Gly	Gln 210	Val	Thr	Ile	Ser	Ala 215	Asp	Lys	Ser	Ile	Ser 220	Thr	Ala	Tyr	Leu
Gln 225	Trp	Ser	Ser	Leu	Lys 230	Ala	Ser	Asp	Thr	Ala 235	Met	Tyr	Tyr	Cys	Ala 240
Arg	Ser	Val	Gly	Pro 245	Met	Asp	Tyr	Trp	Gly 250	Arg	Gly	Thr	Leu	Val 255	Thr
Val	Ser	Ser	Asp 260	Gln	Glu	Pro	Lys	Ser 265	Ser	Asp	Lys	Thr	His 270	Thr	Ser
Pro	Pro	Cys 275	Pŗo	Ala	Pro	Glu	Leu 280	Leu	Gly	Gly	Pro	Ser 285		Phe	Leu

Phe	Pro 290	Pro	Lys	Pro	Lys	Asp 295	Thr	Leu	Met	Ile	Ser 300	Arg	Thr	Pro	Glu	
Val 305	Thr	Cys	Val	Val	Val 310	Asp	Val	Ser	His	Glu 315	Asp	Pro	Glu	Val	Lys 320	
Phe	Asn	Trp	Tyr	Val 325	Asp	Gly	Val	Glu	Val 330	His	Asn	Ala	Lys	Thr 335	Lys	
Pro	Arg	Glu	Glu 340	Gln	Tyr	Asn	Ser	Thr 345	Tyr	Arg	Val	Val	Ser 350	Val	Leu	
Thr	Val	Leu 355	His	Gln	Asp	Trp	Leu 360		Gly	Lys	Glu	Tyr 365	Lys	Cys	Lys	
Val	Ser 370	Asn	Lys	Ala	Leu	Pro 375	Ala	Pro	Ile	Glu	Lys 380	Thr	Ile	Ser	Lys	
Ala 385	Lys	Gly	Gln	Pro	Arg 390	Glu	Pro	Gln	Val	Tyr 395	Thr	Leu	Pro	Pro	Ser 400	
Arg	Asp	Glu	Leu	Thr 405	Lys	Asn	Gln	Val.	Ser 410	Leu	Thr	Cys	Leu	Val 415	Lys	
Gly	Phe	Tyr	Pro 420	Ser	Asp	Ile	Ala	Val 425	Glu	Trp	Glu	Ser	Asn 430	Gly	Gln	
Pro	[∫] Glu	Asn 435	Asn	Tyr	Lys	Thr	Thr 440	Pro	Pro	Val	Leu	Asp 445	Ser	Asp	Gly	
Ser	Phe 450	Phe	Leu	Tyr	Ser	Lys 455	Leu	Thr	Val	Asp	Lys 460	Ser	Arg	Ţrp	Gln	
Gln 465	Gly	Asn	Val	Phe	Ser 470	Суз	Ser	Val	Met	His 475	Glu	Ala	Leu	His	Asn 480	
His	Tyr	Thr		Lys 485	Ser	Leu	Ser	Leu	Ser 490	Pro	Gly	Lys.			+ * · · · .	
<210> <211> <212> <213>	> 1482 > ADN	1	a artif	ficial												
<220> <223>		J-016	huma	anizad	do											
<400>	> 15															
atgg	aagc	cć c	agct	cage	t to	tatta	cctc	ctg	ctact	ct g	gata	cccag	ga ta	ıcçad	egga	

```
gaaattgtgt tgacacagtc tccagccacc ctgtctttgt ctccaggcga aagagccacc
                                                                     120
ctctcctgcc gagcaagtga aaatgtttac agctacttag cctggtacca acagaaacct
                                                                      180
ggccaggetc ctaggeteet catetatttt gcaaaaacet tagcagaagg aattecagee
                                                                     240
aggiticagitg gcagitggatic cgggacagac ticactetica ccatcagcag cetagageet
                                                                     300
gaagattttg cagtttatta ctgtcaacat cattccgata atccgtggac attcggccaa
                                                                     360
gggaccaagg tggaaatcaa aggtggcggt ggctcgggcg gtggtggatc tggaggaggt
                                                                     420
gggaccggtg aggtgcagct ggtgcagtct ggagcagagg tgaaaaagcc cggagagtct
                                                                     480
ctgaagattt cctgtaaggg atccggttac tcattcactg gctacaatat gaactgggtg
                                                                     540
cgccagatgc ccgggaaagg cctcgagtgg atgggcaata ttgatcctta ttatggtggt
                                                                     600
actacctaca accggaagtt caagggccag gtcactatct ccgccgacaa gtccatcagc
                                                                      660
accgcctacc tgcaatggag cagcctgaag gcctcggaca ccgccatgta ttactgtgca
                                                                      720
cgctcagtcg gccctatgga ctactggggc cgcggcaccc tggtcactgt ctcctctgat
                                                                     780
caggagecca aatettetga caaaacteae acateteeae egtgeecage acetgaacte
                                                                      840
ctgggtggac cgtcagtctt cctcttcccc ccaaaaccca aggacaccct catgatctcc
                                                                     900
cggacccctg aggtcacatg cgtggtggtg gacgtgagcc acgaagaccc tgaggtcaag
                                                                     960
ttcaactggt acgtggacgg cgtggaggtg cataatgcca agacaaagcc gcgggaggag
                                                                     1020
cagtacaaca gcacgtaccg tgtggtcagc gtcctcaccg tcctgcacca ggactggctg
                                                                    1080
aatggcaagg agtacaagtg caaggtctcc aacaaagccc tcccagcccc catcgagaaa
                                                                    1140
accateteca aagecaaagg geageceega gaaccacagg tgtacaccet geececatee
                                                                    1200
cgggatgagc tgaccaagaa ccaggtcagc ctgacctgcc tggtcaaagg cttctatcca
                                                                    1260
agcgacatcg ccgtggagtg ggagagcaat gggcagccgg agaacaacta caagaccacg
                                                                    1320
cctcccgtgc tggactccga cggctccttc ttcctctaca gcaagctcac cgtggacaag
                                                                    1380
agcaggtggc agcaggggaa cgtcttctca tgctccgtga tgcatgaggc tctgcacaac
                                                                    1440
cactacacgc agaagagcct ctccctgtct ccgggtaaat ga
                                                                    1482
```

<210> 16

<211> 493

<212> PRT

<213> Secuencia artificial

<220>

<223> TRU-016 humanizado

<400> 16

5

10

Met Glu Ala Pro Ala Gln Leu Leu Phe Leu Leu Leu Trp Leu Pro 1 5 10 15

Asp	Thr	Thr	Gly 20	Glu	Ile	Val	Leu	Thr 25	Gln	Ser	Pro	Ala	Thr 30	Leu	Ser
Leu	Ser	Pro 35	Gly	Glu	Arg	Ala	Thr 40	Leu	Ser	Cys	Arg	Ala 45	Ser	Glu	Asn
Val	Tyr 50	Ser	Tyr	Leu	Ala	Trp 55	Tyr	Gln	Gln	Lys	Pro 60	Gly	Gln	Ala	Pro-
Arg 65	Leu	Leu	Ile	Tyr	Phe 70	Ala	Lys	Thr	Leu	Ala 75	Glu	Gly	Ile		Ala 80
Arg	Phe	Ser	Gly	Ser 85	Gly	Ser	Gly	Thr	Asp 90	Phe	Thr	Leu	Thr	Ile 95	Ser
Ser	Leu	Glu	Pro 100	Glu ,	Asp	Phe	Ala	Val 105	Tyr	Tyr	Cys	Gln	His 110	His	Ser
Asp	Asn	Pro 115	Trp	Thr	Phe	Gly	Gln 120	Gly	Thr	Lys		Glu 125	Ile	Lys	Gly
Gly	Gly 130	Gly	Ser	Gly		Gly 135		Ser	Gly		Gly 140		Thr	Gly	Glu
Val 145	Gln	Leu	Vál	Gln	Ser 150	Gly	Ala	Glu	Val	Lys 155	Lys	Pro	Gly		Ser 160
Leu	Lys	Tle	Ser	Cys 165	Ъуs	Glŷ	Ser	Gly	Týr 170	Ser	Phe	Thr	Ğlу	Tyr 175	Asn
Met	Asn 	Trp	Val 180	Arg	Gln	Met	Pro	Gly 185	Lys	Gly	Leu	Glu	Trp 190	Met	Gly
Asn		Asp 195	Pro	Tyŕ	Tyr	Gly	Gly 200	Thr	Thr	Tyr	Asn	Arg 205	Lys	Phe	Lys
Gly	Gln 210	Val	Thr	Ile	Ser	Ala 215	Asp	Lys	Ser	Ile	Ser 220	Thr	Ala	Tyr	Leu
Gln 225	Trp	Ser	Ser	Leu	Lys 230	Ala	Ser	Asp	Thr	Ala 235	Met	Tyr	Tyr	Cys	Ala 240
Arg	Ser	Val	Gly	Pro 245	Met	Asp	Tyr	Trp	Gly 250	Arg	Gly	Thr	Leu	Val 255	Thr
Val	Ser		Asp 260	Gln	Glu	Pro	Lys	Ser 265	Ser	Asp	Lys	Thr	His 270	Thr	Ser

Pro	Pro	Cys 275	Pro	Ala	Pro	Glu	Leu 280	Leu	Gly	Gly	Pro	Ser 285	Val	Phe	Leu	
Phe	Pro 290	Pro	Lys	Pro	Lys	Asp 295	Thr	Leu	Met	Ile	Ser 300	Arg	Thr	Pro	Glu	
Val 305	Thr	Cys	Val	Val	Val 310		Val	Ser	His	Glu 315	Asp	Pro	Glu	Val	Lys 320	
Phe	Asn	Trp	Tyr	Val 325	Asp	Gly	Val	Glu	Val 330	His	Asn	Ala	Lys	Thr 335	Lys	
Pro	Arg	Glu	Glu 340	Gln	Tyr	Asn	Ser	Thr 345	Tyr	Arg	Val	Val	Ser 350	Val	Leu	
Thr	Val	Leu 355	His	Gln	Asp	Trp	Leu 360	Asn	Gly	Lys	Glu	Tyr 365	Lys	Cys	Lys	
Val	Ser 370	Asn	Lys	Ala	Leu	Pro 375	Ala	Pro	Ile		Lys 380	Thr	Ile	Ser	Ĺуs	
Ala 385	Lys	Gly	Gln	Pro	Arg 390	Glu	Pro	Gln	Val	Tyr 395	Thr	Leu	Pro	Pro	Ser 400	
Arg	Asp	Glu	Leu	Thr 405	_	Asn	Gln	Val	Ser 410	Leu	Thr	Cys	Leu	Val 415	Lys	
Gly	Phe	Tyr	Pro 420	Ser	Asp	Ile	Ala	Val 425	Glu	Trp	Glu	Ser	Asn 430	Gly	Gln	
Pro	Glu	Asn 435	Asn	Tyr	Lys	Thr	Thr 440		Pro	Val	Leu	Asp 445		Asp	Gly	
Ser	Phe 450	Phe	Leu	Tyr	Ser	Lys 455	Leu	Thr	Val	Asp	Lys 460		Arg	Trp	Gln	
Gln 465	Gly	Asn	Val	Phe	Ser 470	Cys	Ser	Val	Met	His 475	Glu	Ala	Leu	His	Asn 480	
His	Tyr	Thr	Gln	Lys 485	Ser	Leu	Ser	Leu	Ser 490	Pro	Gly	Lys		•		
<210 <211 <212 <213	> 147 > ADN	٧	a artit	ficial												
<220 <223		J-016	huma	anizad	do											
<400>	> 17															

atggaagcac	cagcgcagct	tatattacta	ctgctactct	ggctcccaga	taccaccggt	60
gacatccaga	tgactcagtc	tecageetee	ctatctgcat	ctgtgggaga	gactgtcacc	120
atcacatgtc	gaacaagtga	aaatgtttac	agttatttgg	cttggtatca	gcagaaacag	180
ggaaaatctc	ctcagctcct	ggtctctttt	gcaaaaacct	tagcagaagg	tgtgccatca	240
aggttcagtg	gcagtggatc	aggcacacag	ttttctctga	agatcagcag	cctgcagcct	300
gaagattctg	gaagttattt	ctgtcaacat	cattccgata	atccgtggac	gttcggtgga	360
ggcaccgaac	tggagatcaa	aggtggcggt	ggctcgggcg	gtggtgggtc	gggtggcggc	420
ggagctagcg	aggtgcagct	ggtgcagtct	ggagcagagg	tgaaaaagcc	cggagagtct'.	480
ctgaggattt	cctgtaaggg	atccggttac	tcattcactg	gctacaatat	gaactgggtg	540
cgccagatgc	ccgggaaagg	cctggagtgg	atgggcaata	ttgatcctta	ttatggtggt	600
actacctaca	accggaagtt	caagggccag	gtcactatct	ccgccgacaa	gtccatcagc	660
accgcctacc	tgcaatggag	cagcctgaag	gcctcggaca	ccgccatgta	ttactgtgca	720
cgctcagtcg	gccctatgga	ctactggggc	cgcggcaccc	tggtcactgt	ctcctcgagc	780
gagcccaaat	cttctgacaa	aactcacaca	tctccaccgt	gcccagcacc	tgaactcctg	840
ggtggaccgt	cagtetteet	cttcccccca	aaacccaagg	acaccctcat	gateteeegg	900
acccctgagg	tcacatgcgt	ggtggtggac	gtgagccacg	aagaccctga	ggtcaagttc	960
aactggtacg	tggacggcgt	ggaggtgcat	aatgccaaga	caaagccgcg	ggaggagcag	1020
tacaacagca	cgtaccgtgt	ggtcagcgtc	ctcaccgtcc	tgcaccagga	ctggctgaat	1080
ggcaaggagt	acaagtgcaa	ggtctccaac	aaagccctcc	cagcccccat	cgagaaaacc	1140
atctccaaag	ccaaagggca	gccccgagaa	ccacaggtgt	acaccctgcc	cccatcccgg	1200
gatgagctga	ccaagaacca	ggtcagcctg	acctgcctgg	tcaaaggctt	ctatccaagc	1260
gacatcgccg	tggagtggga	gagcaatggg	cagccggaga	acaactacaa	gaccacgcct	1320
cccgtgctgg	actccgacgg	ctccttcttc	ctctacagca	agctcaccgt	ggacaagagc	1380
aggtggcagc	aggggaacgt	cttctcatgc	tccgtgatgc	atgaggctct	gcacaaccac	1440
tacacgcaga	agagcctctc	cctgtctccg	ggtaaatga		• .	1479

<210> 18

<211> 492

<212> PRT

<213> Secuencia artificial

<220>

<223> TRU-016 humanizado

10 <400> 18

Met Glu Ala Pro Ala Gln Leu Leu Phe Leu Leu Leu Trp Leu Pro

1	5	(5	-				-10				•	15	
Asp	Thr	Thr	Gly 20	Asp	Ile	Gln	Met	Thr 25	Gln	Ser	Pro	Ala	Ser 30	Leu	Ser
Ala	Ser	Val 35	Gly	Glu	Thr	Val	Thr 40	Ile	Thr	Cys	Arg	Thr 45	Ser	Glu	Asn
Val	Tyr 50	Ser	Tyr	Leu	Ala	Trp 55,	Tyr	Gln	Gln	Lys	Gln 60	Gly	Lys	Ser	Pro
Gln 65	Leu	Leu	Val	Ser	Phe 70	Ala	Lys	Thr	Leu	Ala 75	Glu	Gly	Val	Pro	Ser 80
Arg	Phe	Ser	Gly	Ser 85	Gly	Ser	Gly	Thr	Gln 90	Phe	Ser	Leu	Lys	Ile 95	Ser
Ser	Leu	Gln	Pro 100	Glu	Asp	Ser	Gly	Ser 105	Tyr	Phe	Cys	Gln	His 110	His	Ser
Asp	Asn	Pro 115	Trp	Thr	Pḥe	Gly	Gly 120	Gly	Thr	Glu	Leu	Glu 125	Ile	ГÀ̀з	Gly
Gly	Gly 130	Gly	Ser	Gly	Gly	Gly 135	Gly	Ser	Gly	Gly	Gly 140	Gly	Ala	Ser	Glu
Val 145		Leu	Val	Gln	Ser 150	Gly	Ala	Glu	Val	Lys 155	Lys	Pro	Gly	Glu	Ser 160
Leu	Arg	Ile	Ser	Cys 165	Lys	Gly	Ser	Gly	Tyr 170	Ser	Phe	Thr	Gly	Tyr 175	Asn
Met	Asn	Trp	Val 180	Arg	Gln	Met	Pro	Gly 185	Lys	Gly	Leu	Glu	Trp 190	Met	Gly
Asn	Ile	Asp 195	Pro	_	Tyr	Gly	Gly 200	Thr	Thr	Tyr	Asn	Arg 205	Lys	Phe	rys
Gly	Gln 210	Val	Thr	Ile	Ser	Ala 215	Asp	Lys	Ser	Ile	Ser 220	Thr	Ala	Tyr	Leu
Gln 225	Trp	Ser	Ser	Leu	Lys 230		Ser	Asp	Thr	Ala 235	Met	Tyr	Tyr	Cys	Ala 240
Arg	Ser	Val	Gly	Pro 245	Met	Asp	Tyr	Trp	Gly 250	Arg	Gly	Thr	Leu	Val 255	Thr

Val	Ser	Ser	Ser 260	Glu	Pro	Lys	Ser	Ser 265	Asp	Lys	Thr	His	Thr 270	Ser	Pro
Pro	Cys.	Pro 275	Ala	Pro	Glu	Leu	Leu 280	Gly	Gly	Pro	Ser	Val 285	Phe	Leu	Phe
Pro	Pro 290	Lys	Pro	Lys	Asp	Thr 295	Leu	Met	Ile		Arg 300	Thr	Pro	Glu	Val
Thr .305	Сув	Val	Val	Val	Asp 310	Val	Ser	His	Glu	Asp 315	Pro	Glu	Val	-	Phe 320
Asn	Trp	Tyr	Val	Asp 325	Gly	Val	Glu	Val	His 330	Asn	Ala	Lys	Thr	Lys 335	Pro
Arg	Glu	Glu	Gln 340	Tyr	Asn	Ser	Thr	Tyr 345	Arg	Val	Val	Ser	Val 350	Leu 	Thr
Val	Leu	His 355	Gln	Asp	Trp	Leu	Asn 360	Gly	ГЛЗ	Glu	Tyr	Lys 365	Сув	Lys	Val
Ser	Asn 370	Lys	Ala	Leu	Pro	Ala 375	Pro	Ile	Glu	Lys	Thr 380	Ile	Ser	Lys	Ala
Lys 385	Gly	Gln	Pro	Arg	Glu 390	Pro	Gln	Val	Tyr	Thr 395	Leu	Pro	Pro	Ser	Arg 400
Āsp	Glu	Leu	Thr	Lys 405	Asn	Gln	Val	Ser	Leu 410		Cys	Leu		Lys 415	Gly
Phe	Tyr	Pro	Ser 420	Asp	Ile	Ala	Val	Glu 425	Trp	Glu	Ser	Asn	Gly 430	Gln	Pro
Glu	Asn	Asn 435	Tyr	Lys	Thr	Thr	Pro 440	Pro	Val	Leu	Asp	Ser 445	Asp	Gly	Ser
Phe	Phe 450		Tyr		Lys	Leu 455	Thr	Val	Asp	Lys	Ser 460	Arg	Trp	Gln	Gln
Gly 465		Val	Phe	ser	Cys 470	Ser	Val	Met	His	Glu 475	Ala	Leu	His	Asn	His 480
Tyr	Thr	Gln	Lys	Ser 485	Leu	Ser	Leu	Ser	Pro 490	Gly	Lys				•
<210 <211 <212 <213	> 147 > ADI	V	ia arti	ficial											
<220 <223		J-016	hum	aniza	do										

5

10

<400> 19

```
atggaagcac cagcgcagct tetetteete etgetaetet ggeteecaga taccaceggt
                                                                        60
gaaattgtgt tgacacagte tecagecace etgtetttgt etecaggega aagageeace
                                                                       120
ctctcctgcc gaacaagtga aaatgtttac agctacttag cctggtacca acagaaacct
                                                                       180
 ggccaggete ctaggeteet catetatttt gcaaaaacet tagcagaagg aattecagee
                                                                       240
 aggttcagtg gcagtggatc cgggacagac ttcactctca ccatcagcag cctagagcct
                                                                       3 0.0
 gaagattttg cagtttatta ctgtcaacat cattccgata atccgtggac attcggccaa
                                                                       360
 gggaccaagg tggaaatcaa aggtggcggt ggctcgggcg gtagtggatc tggaggaggt
                                                                       420
 ggagctagcg cggtccagct gcagcagtct ggacctgagt cggaaaagcc tggcgcttca
                                                                       480
 gtgaagattt cctgcaaggc ttctggttac tcattcactg gctacaatat gaactgggtg
                                                                       540
 aagcagaata atggaaagag cettgagtgg attggaaata ttgateetta ttatggtggt
                                                                       600
 actacctaca accggaagtt caagggcaag gccacattga ctgtagacaa atcctccagc
                                                                       660
 acageetaca tgcageteaa gagtetgaca tetgaggaet etgcagteta ttactgtgca
                                                                       720
 agateggteg geectatgga etaetggggt caaggaacet cagteacegt eteetegage
 gageceaaat ettetgacaa aacteacaca tetecacegt geecageace tgaacteetg
                                                                       840
 ggtggaccgt cagtetteet ettececcca aaacccaagg acacceteat gateteeegg .
                                                                       900
 accectgagg teacatgegt ggtggtggae gtgagecaeg aagaceetga ggteaagtte
                                                                       960
 aactggtacg tggacggcgt ggaggtgcat aatgccaaga caaagccgcg ggaggagcag
                                                                      1020
  tacaacagca cgtaccgtgt ggtcagcgtc ctcaccgtcc tgcaccagga ctggctgaat
                                                                      1080
 ggcaaggagt acaagtgcaa ggtctccaac aaagccctcc cagcccccat cgagaaaacc
                                                                      1140
 atctccaaag ccaaagggca gccccgagaa ccacaggtgt acaccctgcc cccatcccgg
                                                                      1200
 gatgagetga ccaagaacca ggteageetg acetgeetgg teaaaggett etatecaage
                                                                      1260
 gacategeeg tggagtggga gageaatggg cageeggaga acaactacaa gaccaegeet
                                                                      1320
  cccgtgctgg actccgacgg ctccttcttc ctctacagca agctcaccgt ggacaagagc
                                                                      1380
 aggtggcagc aggggaacgt cttctcatgc tccgtgatgc atgaggctct gcacaaccac
                                                                      1440
 tacacgcaga agagcetete cetgteteeg ggtaaatga
                                                                      1479
```

<210> 20

<211> 492 <212> PRT

<213> Secuencia artificial

<220>

10

<223> TRU-016 humanizado

<400> 20

Met 1	Glu	Ala	Pro	Ala 5	Gln	Leu	Leu	Phe	Leu 10	Leu	Leu	Leu	Trp	Leu 15	Pro
		:				•		٠							
Asp	Thr		Gly 20	Glu	Ile	Val	Leu	Thr 25	Gln	Ser	Pro	Ala	Thr 30	Leu	Ser
Leu	Ser	Pro 35	Gly	Glu	Arg	Ala	Thr 40	Leu	Ser	Cys	Arg	Thr 45	Ser	Glu	Asn
Val	Tyr 50	Ser	Tyr	Leu	Ala	Trp 55	Tyr	Gln	Gln	Lys	Pro 60	Gly	Gln	Ala	Pro
Arg 65	Leu	Leu	Ile	Tyr	Phe 70	Ala	Lys	Thr	Leu	Ala 75	Glu	Gly	Ile	Pro	Ala 80
				_			<u> </u>		_						_
Arg	Phe	Ser	Gly	Ser 85	GIA	ser	GTĀ	Thr	Asp 90	Phe	Thr	Leu	Thr	11e 95	ser
Ser	Leu	Glu	Pro	Glu	Asp	Phe	Ala	Val	Tyr	Tyr	Cys	Gln	His	His	Ser
			100					105	<u> </u>	· -			110		
		_	_	_, .						_				_	
qaA	Asn	Pro 115	Trp	Thr	Phe	GTA	120	СТÄ	Thr	гÀг	Val	125	TTE	ГÀЗ	СТĀ
		•													
Gly	Gly 130	Gly	Ser	Gly	Gly	Ser 135	Gly	Ser	∵Gly	Gly	Gly 140	Gly	Ala	Ser	Ala
٠.,			•					-							
Val 145	Gln	Leu	Gln	Gln	Ser 150	Gly	Pro	Glu	Ser	Glu 155	Lys	Pro	Gly	Ala	Ser 160
Val	Lvs	Ile	Ser	Cvs	Lvs	Ala	Ser	Glv	Tvr	Ser	Phe	Thr	Glv	Tyr	Asn
				165				1	170				1	175	
				. :	•	•									
Met	Asn	Trp	Val 180	Lys	Gln	Asn	Asn	Gly 185	Lys	Ser	Leu	Glu	Trp 190	Ile	Gly
Asn	Ile	Asp 195	Pro	Tyr	Tyr		Gly 200	Thr	Thr	Tyr	Asn	Arg 205	Lys	Phe	Lys
								~						٠.	
Gly	Lys 210	Ala	Thr	Leu	Thr	Val 215	Asp	Lys	Ser	Ser	Ser 220	Thr	Ala	Tyr	Met
			٠.												
Gln 225	Leu	Lys	Ser		Thr 230	Ser	Glu	Asp	Ser	Ala 235	Val	Tyr	Tyr	Cys	Ala 240

Arg	Ser	Val	Gly	Pro 245	Met	Asp	Tyr	Trp	Gly 250	Gln	Gly	Thr	Ser	Val 255	Thr
Val	Ser	Ser	Ser 260	Glu	Pro	Lys	Ser	Ser 265	Asp	Lys	Thr	His	Thr 270	Ser	Pro
Pro	Cys	Pro 275	Ala	Pro	Glu	Leu	Leu 280	Gly	Gly	Pro	Ser	Val 285	Phe	Leu	Phe
Pro	Pro 290	Lys	Pro	Lys	Asp	Thr 295	Leu	Met	Ile	Ser	Arg 300	Thr	Pro	Glu	Val
Thr 305	Cys	Val	Val	Val	Asp 310		Ser	His	Glu	Asp 3,15	Pro	Glu	Val	Lys	Phe 320
Asn	Trp	Tyr	Val	Asp 325	Gly	Val	Glu	Val	His 330	Asn	Ala	Lys	Thr	Lys 335	Pro
Arg	Glu	Glu	Gln 340	Tyr	Asn	Ser	Thr	Tyr 345		Val	Val	Ser	Val 350	Leu	Thr
Val	Leu	His 355	Gln	Asp	Trp	Leu	Asn 360	Gly	Lys	Glu	Tyr	Lys 365	Cys	Lys	Val
Ser	Asn 370	Lys	Ala	Leu	Pro	Ala 375	Pro	Ile	Glu	Lys	Thr 380	Ile	Ser	Lys	Ala
Lys 385	Gly	Gln	Pro	Arg	Glu 390	Pro	Gln	Val	Tyr	Thr 395	Leu	Pro	Pro	Ser	Arg 400
Asp	Glu	Leu	Thr	Lys 405	Asn	Gln	Val	Ser	Leu 410	Thr	Cys	Leu	Val	Lys 415	Gly
Phe	Tyr	Pro	Ser 420	Asp	Ile	Ala	Val	Glu 425	Trp	Glu	Ser	Asn	Gly 430	Gln	Pro
Glu	Asn	Asn 435	Tyr	Lys	Thr	Thr	Pro 440	Pro	Val	Leu	Asp	Ser 445	Asp	Gly	Ser
Phe	Phe 450	Leu	Tyr	Ser	Lys	Leu 455	Thr		Asp	Lys	Ser 460	Arg	Trp	Gln	Gln
Gly 465	Asn	Val	Pḥe	Ser	Cys 470		Val	Met	His	Glu 475	Ala	Leu	His	Asn	His 480
Tyr	Thr	Gln	Lys	Ser 485	Leu	Ser	Leu ,	Ser	Pro 490	Gly	ГÀЗ	•			
<210><211><211><212><213>	> 147 > ADI	1	a arti	ficial											
<220 <223		J-016	huma	aniza	do										

5

10

<400> 21

atggaagcac	cagegeaget	tetetteete	ctgctactct	ggctcccaga	taccaccggt	60
gaaattgtgt	tgacacagtc	tccagccacc	ctgtctttgt	ctccaggcga	aagagccacc	120
ctctcctgcc	gaacaagtga	aaatgtttac	agctacttag	cctggtacca	acagaaacct	180
ggccaggctc	ctaggctcct	catctatttt	gcaaaaacct	tagcagaagg	aattccagcc	240
aggttcagtg	gcagtggatc	cgggacagac	ttcactctca	ccatcagcag	cctagagcct	300
gaagattttg	cagtttatta	ctgtcaacat	cattccgata	atccgtggac	attcggccaa	360
gggaccaagg	tggaaatcaa	aggtggcggt	ggctcgggcg	gtggtggatc	tggagg aggt	420
ggagctagcc	aggtgcagct	ggtggagtct	ggtggaggcg	tggtccagcc	tgggaggtcc	480
ctgagactct	cctgtgcagc	ctctggattc	accttdagtg	gctacaatat	gaactgggtc	540
cgccagatgc	ccgggaaagg	cctggagtgg	atgggcaata	ttgatcctta	ttatggtggt	600
actacctaca	accggaagtt	caagggccag	gtcactatct	ccgccgacaa	gtccatcagc	660
accgcctacc	tgcaatggag	cagcctgaag	gcctcggaca	ccgccatgta	ttactgtgca	720
cgctcagtcg	gccctatgga	ctactggggc	cgcggcaccc	tggtcactgt	ctcctcgagc	780
gagcccaaat	cttctgacaa	aactcacaca	tetecacegt	gcccagcacc	tgaactcctg	840
ggtggaccgt	cagtetteet	cttcccccca	aaacccaagg	acaccctcat	gateteeegg	900
acccctgagg	tcacatgcgt	ggtggtggac	gtgagccacg	aagaccctga	ggtcaagttc	960
aactggtacg	tggacggcgt	ggaggtgcat	aatgccaaga	caaagccgcg	ggaggagcag	1020
tacaacagca	cgtaccgtgt	ggtcagcgtc	ctca ccgtcc	tgcaccagga	ctggctgaat	1080
ggcaaggagt	acaagtgcaa	ggtctccaac	aaagccctcc	cagcccccat	cgagaaaacc	1140
atctccaaag	ccaaagggca	gccccgagaa	ccacaggtgt	acaccctgcc	cccatcccgg	1200
gatgagctga	ccaagaacca	ggtcagcctg	acctgcctgg	tcaaaggctt	ctatccaagc	1260
gacatcgccg	tggagtggga	gagcaatggg	cagccggaga	acaactacaa	gaccacgcct	1320
cccgtgctgg	actccgacgg	ctccttcttc	ctctacagca	ageteacegt	ggacaagagc	1380
aggtggcagc	aggggaacgt	cttctcatgc	tccgtgatgc	atgaggetet	gcacaaccac	1440
tacacgcaga	agagcctctc	cctgtctccg	ggtaaatga			,1479

<210> 22

5

<211> 492

<212> PRT

<213> Secuencia artificial

<220>

10 <223> TRU-016 humanizado

<400> 22

Met 1	Glu	Ala	Pro	Ala 5	Gln	Leu	Leu :	Phe	Leu 10	Leu	Leu	Leu	Trp	Leu 15	Pro
Asp	Thr	Thr	Gly 20	Glu	Ile	Val	Leu	Thr 25	Gln	Ser	Pro	Ala	Thr 30	Leu	Ser
Leu	Ser	Pro 35	Gly	Glu	Arg	Ala	Thr 40	Leu	Ser	Cys	Arg	Thr 45	Ser	Glu	Asn
Val	Tyr 50	Ser	Tyr	Leu	Ala	Trp 55	Tyr	Gln	Gln	Lys	Pro 60	Gly	Gln	Ala _.	Pro
Arg 65	Leu	Leu	Ile	Tyr	Phe 70	Ala	Lys	Thr	Leu	Ala 75	Glu	Gly	Ile	Pro	Ala 80
Arg	Phe	Ser	Gly	Ser 85	Gly	Ser	Gly	Thr	Asp 90	Phe	Thr	Leu	Thr	Ile 95	Ser
Ser	Leu	Glu	Pro 100	Glu	Asp	Phe	Ala	Val 105	Tyr	Tyr	Cys	Gln	His 110	His	Ser
Asp		Pro 115	Trp	Thr	Phe	Gly	Gln 120	Gly	Thr	ГÀ	Val	Glu 125	Ile	ГÃ	Gly
Gly	Gly 130	Gly	Ser	Gly	Gly	Gly 135	Gly	Ser	Gly	Gly	Gly 140	Gly	Ala	Ser	Gln
Val 145	Gln	Leu	Val	Glu	Ser 150	Gly	Gly	Gly	Val	Val 155	Gln	Pro	Gly	Arg	Ser 160
Leu	Arg	Leu	Ser	Cys 165	Ala	Ala	Ser	Gly	Phe 170	Thr	Phe	Ser	Gly	Tyr 175	Asn
Met	Asn	Trp	Val 180	Arg	Gln	Met	Pro	Gly 185	Lys	Gly	Leu	Glu	Trp 190	Met	Cly
Asn	Ile	Asp 195	Pro	Tyr	Tyr	Gly	Gly 200	Thr	Thr	Tyr	Asn	Arg 205	Lys	Phe	Lys
Gly	Gln 210	Val	Thr	Ile	Ser	Ala 215	Asp	Lys	Ser	Ile	Ser 220	Thr	Ala	Tyr	Leu

Gln 225	Trp	Ser	Ser	Leu	Lys 230		Ser	Asp	Thr	Ala 235	Met	Tyr	Tyr	Cys	Ala 240
Arg	Ser	Val	Gly	Pro 245	Met	Asp	Tyr	Trp	Gly 250	Arg	Gly	Thr	Leu	Val 255	
Val	Ser	Ser	Ser 260	Glu	Pro	Lys	Ser	Ser 265	Asp	Lys	Thr	His	Thr 270	Ser	Pro
Pro	Cys	Pro 275		Pro	Glu	Leu	Leu 280	Gly	Gly	Prọ	Ser	Val. 285	Phe	Leu	Phe
Pro	Pro 290	Lys	Pro	Lys	Asp	Thr 295	Leu	Met	Ile	Ser	Arg 300	Thr	Pro	Glu	Val
Thr 305	Cys	Val	Val	Val	Asp 310	Val	Ser	His	Glu	Asp 315	Pro	Glu	Val	Lys	Phe 320
Asn	Trp	Tyr	Val	Asp 325	Gly	Val	Glu	Val	His 330		Ala	Lys	Thr	Lys 335	
Arg	Glu	Glu	Gln 340	Tyr	Asn	Ser	Thr	Tyr 345	Arg	Val	Val		Val 350	Leu	Thr
Vaİ	Leu	His 355	Gln	Asp	Trp	Leu	Asn 360	Gly	Lys	Glu	Tyr	Lys 365	Сув	Lys	Val
Ser	Asn 370	Lys	Ala	Leu	Pro	Ala 375		Ile	Glu	Lys	Thr 380	Ile	Ser	Lys	Ala
Lys 385	Gly	Gln	Pro	Arg	Glu 390	Pro	Gln	Val	Tyr	Thr 395	Leu	Pro	Pro	Ser	Arg 400
Asp	Glu	Leu	Thr	Lys 405	Asn	Gln	Val	Ser	Leu 410	Thr	Cys	Leu	Val	Lys 415	Gly
Phe	Tyr	Pro	Ser 420	Asp	Ile	Ala	Val	Glu 425	Trp	Glu	Ser	Asn	Gly 430	Gln	Pro
Glu	Asn	Asn 435		Lys	Thr	Thr	Pro 440	Pro	Val	Leu	Asp	Ser 445	Asp	Gly	Ser
Phe	Phe 450	Leu	Tyr	Ser	Lys	Leu 455	Thr	Val	Asp		Ser 460	Arg	Trp	Gln	Gln
Gly 465		Val	Phe	Ser	Cys 470		Val	Met	His	Glu 475		Leu	His	Asn	His 480
Tyr	Thr	Gln	_	Ser 1 485	Leu S	Ser I	eu S		ro G 90	ly L	ys I				
<2102 <2112 <2122	> 150														

5

<213> Secuencia artificial

<220>

5

10

15

20

<223> TRU-016 humanizado <400> 23 atggaageac cagegeaget tetetteete etgetaetet ggeteecaga taccaceggt 60 geogtecage tgcagcagte tggacetqag teggaaaage etggegette agtgaagatt 120 tectgeaagg ettetggtta eteatteaet ggetacaata tgaactgggt gaagcagaat 180 aatggaaaga gccttgagtg gattggaaat attgatcctt attatggtgg tactacctac 240 aaccggaagt tcaagggcaa ggccacattg actgtagaca aatcctccag cacagcctac 300 atgcagetea agagtetgae atetgaggae tetgeagtet attactgtge aagateggte 360 ggccctatgg actactgggg tcaaggaacc tcagtcaccg tctcttctgg tggcggtggc 420 tegggeggtg gtgggteggg tggeggegga teaggaggag gegggagtge tagegaaatt 480 gtgttgacac agtctccagc caccetgtct ttgtctccag gegaaagagc caccetetec .540 tgccgaacaa gtgaaaatgt ttacagctac ttagcctggt accaacagaa acctggccag 600 gctcctaggc tcctcatcta ttttgcaaaa accttagcag aaggaattcc agccaggttc 660 agtggcagtg gatccgggac agacttcact ctcaccatca gcagcctaga gcctgaagat 720 tttgcagttt attactgtca acatcattcc gataatccgt ggacattcgg ccaagggacc 780 aaggtggaaa tcaaaggctc gagcgagccc aaatcttctg acaaaactca cacatctcca 840 ccgtgcccag cacctgaact cctgggtgga ccgtcagtct tcctcttccc cccaaaaccc 900 aaggacaccc tcatgatctc ccggacccct gaggtcacat gcgtggtggt ggacgtgagc 960 cacgaagacc ctgaggtcaa gttcaactgg tacgtggacg gcgtggaggt gcataatgcc 1020 aagacaaago cgcgggagga gcagtacaac agcacgtacc gtgtggtcag cgtcctcacc 1080 gtcctgcacc aggactggct gaatggcaag gagtacaagt gcaaggtctc caacaaagcc 1140 ctcccagccc ccatcgagaa aaccatctcc aaagccaaag ggcagccccg agaaccacag 1200 gtgtacaccc tgcccccatc cogggatgag ctgaccaaga accaggtcag cotgacctgc 1260 ctggtcaaag gcttctatcc aagcgacatc gccgtggagt gggagagcaa tgggcagccg 1320 gagaacaact acaagaccac geeteeegtg etggaeteeg aeggeteett etteetetae 1380 agcaagetea cegtggacaa gagcaggtgg cagcagggga aegtettete atgeteegtg 1440 atgcatgagg ctctgcacaa ccactacacg cagaagagcc tctccctgtc tccgggtaaa 1500 1503 tga <210> 24 <211> 500 <212> PRT <213> Secuencia artificial <223> TRU-016 humanizado <400> 24

Met 1	Glu	Ala	Pro	Ala 5	Gln	Leu	Leu	Phe	Leu 10	Leu	Leu	Leu	Trp	Leu 15	Pro
Asp	Thr	Thr	Gly 20	Ala	Val	Gl'n	Leu	Gln 25	Gln	Ser	Gly	Pro	Glu 30	Ser	Glu
Lys	Pro	Gly 35	Ala	Ser	Val	-	Ile 40	Ser	Cys	Lys	Ala	Ser 45	Gly	Tyr	Ser
Phe	Thr 50	Gly	Tyr	Asn	Met	Asn 55	Trp	Val	Lys	Gln	Asn 60	Asn	Gly	Lys	Ser
Leu 65	Glu	Trp	Ile	Gly	Asn- 70	Ile-	–Asp	Pro	Tyr	Tyr 75	Gly-	Gly	Thr	Thr	Tyr 80
Asn	Arg	Lys	Phe	Lys 85	Gly	Lys ,	Ala	Thr	Leu 90	Thr	Val	Asp 	Lys	Ser 95	Ser
Ser	Thr	Ala	Tyr 100	Met	Gln	Leu	Lys	Ser 105	Leu	Thr	Ser	Glu	Asp 110	Ser	Ala
Val	Туг	Туг 115	Cys	Ala	Arg	Ser	Val 120	Gly	Pro	Met	Asp	Tyr 125	Trp	Gly	Gln
Gly	Thr 130	Ser	Val	Thr	Val	Ser 135	Ser	Gly	Gly	Gly	Gly 140	Ser	Gly	Gly	Gly
Gly 145	Ser	Gly	Gly	Gly	Gly 150	Ser	Gly	Gly	Gly	Gly 155	Ser	Ala	Ser	Glu	Ile 160
Val	Leu	Thr	Gln	Ser. 165	Pro	Ala	Thr	Leu	Ser 170	Leu	Ser	Pro	Gly	Glu 175	Arg
Ala	Thr	Leu	Ser 180	Cys	Arg	Thr	Ser	Glu 185	Asn	Val	Tyr	Ser	Tyr 190	Leu	Ala
Trp	Tyr	Gln 195	Gln	Lys	Pro	Gly	Gln 200	Ala	Pro	Arg	Leu	Leu 205	Ile	Tyr	Phe

Ala	Lys 210	Thr	Leu	Ala	Glu	Gly 215	Ile	Pro	Ala	Arg	Phe 220	Ser ·	Gly	Ser	Gly
Ser 225	Gly	Thr	Asp	Phe	Thr 230		Thr	Ile	Ser	Ser 235	Leu	Glu	Pro	Glu	Asp 240
Phe	Ala	Val	Tyr	Tyr 245	Cys	Gln	His	His	Ser 250	Asp	Asn	Pro	Trp	Thr 255	
Gly	Gln	Gly	Thr 260	ГÀЗ	Val	Glu	Ile	Lys 265	Gly	Ser	Ser	Glu	Pro 270	Lys	Ser
Ser	Asp	Lys 275	`Thr	His	Thr	Ser	Pro 280	Pro	Сув	Pro	Ala	Pro 285	Glu	Leu	Leu
Gly	Gly 290	Pro	Ser	Val	Phe	Leu 295	Phe	Pro	Pro	Lys	Pro 300	Lys	Asp	Thr	Leu
Met 305	Ile	Ser	Arg	Thr	Pro 310	Glu	Val	Thr	Cys	Val 315	Val	Val	Asp	Val	Ser 320
His	Glu	Asp	Pro	Glu 325	Val	Lys	Phe	Asn	Trp 330	Tyr	Val	Asp	Gly	Val 335	Glu
Val	His	Asn	Ala 340		Thr	Lys	Pro	Arg 345	Glu	Glu	Gln	Tyr	Asn 350	Ser	Thr
Tyr	Arg	Val 355	Val	Ser	Val	Leu	Thr 360	Val	Leu	His	Gln	Asp 365	Trp	Leu	Asn
	370					375					380		Pro		
385					390					395		٠.	· · · · · · · · · · · · · · · · · · ·		Gln 400
	Tyr			405					410				Asn	415	
·	-		420				:	425		-			11e 430	•	
Glu	Trp	Glu 435	Ser	Asn	Gly	Gln	Pro 440	Glu	Asn	Asn	Tyr	Lys 445	Thr	Thr	Pro
	450					455		·			460		Lys		:
465					470				•	475			Leu		480
				485		ASII	1112	TAT	490	GTII	пур	Ser	пеп	495	ъeu
ser	Pro	дТÄ	Lys 500												

<211> 1488 <212> ADN

<213> Secuencia artificial

5 <220>

<223> TRU-016 humanizado

<400> 25

atggattttc aagtgcagat tttcagcttc ctgctaatca gtgcttcagt cataattgcc 60 agaggagteg aaattgtgtt gacacagtet ccagecacee tgtetttgte tecaggegaa 120 agagecacce tetectgeeg aacaagtgaa aatgtttaca getaettage etggtaccaa 180 cagaaacctg gccaggctcc taggctcctc atctattttg caaaaacctt agcagaagga 240 attocagoca ggttcagtgg cagtggatcc gggacagact tcactctcac catcagcago 300 ctagagectg aagattttgc agtttattac tgtcaacatc attccgataa tccgtggaca 360 ttcggccaag ggaccaaggt ggaaatcaaa ggtggcggtg gctcgggcgg tggtggatct 420 ggaggaggtg gagctagcgc ggtccagctg cagcagtctg gacctgagtc ggaaaagcct 480 ggcgcttcag tgaagatttc ctgcaaggct tctggttact cattcactgg ctacaatatg 540 aactgggtga agcagaataa tggaaagagc cttgagtgga ttggaaatat tgatccttat 600 tatggtggta ctacctacaa ccggaagttc aagggcaagg ccacattgac tgtagacaaa 660 tectecagea cageetacat geageteaag agtetgaeat etgaggaete tgeagtetat 720 tactgtgcaa gatcggtcgg ccctatggac tactggggtc aaggaacctc agtcaccgtc 780 tectegageg ageceaaate ttetgacaaa acteacacat etecacegtg eccageacet 840 gaactcctgg gtggaccgtc agtcttcctc ttccccccaa aacccaagga caccctcatg 900 atctcccgga cccctgaggt cacatgcgtg gtggtggacg tgagccacga agaccctgag 960 gtcaagttca actggtacgt ggacggcgtg gaggtgcata atgccaagac aaagccgcgg 1020 qaqqaqcaqt acaacaqcac gtaccqtgtg gtcaqcqtcc tcaccqtcct gcaccaqqac 1080 tggctgaatg gcaaggagta caagtgcaag gtctccaaca aagccctccc agcccccatc 1140 gagaaaacca tctccaaagc caaagggcag ccccgagaac cacaggtgta caccctgccc 1200 ccatcccggg atgagctgac caagaaccag gtcagcctga cctgcctggt caaaggcttc 1260 tatccaagcg acatcgccgt ggagtgggag agcaatgggc agccggagaa caactacaag 1320 accaegecte eegtgetgga etcegaegge teettettee tetacageaa geteacegtg 1380 gacaagagca ggtggcagca ggggaacgtc ttctcatgct ccgtgatgca tgaggctctg 1440 cacaaccact acacgcagaa gagcctctcc ctgtctccgg gtaaatga 1488

<210> 26

10

15

<211> 495

<212> PRT

<213> Secuencia artificial

<220>

20 <223> TRU-016 humanizado

<400> 26

Met 1	Asp	Phe	Gln	Val	Gln	Ile	Phe	Ser	Phe 10	Leu	Leu	Ile	Ser	Ala 15	Ser
Val	Ile	Ile	Ala 20	Arg	Gly	Val	Glu	Ile 25	Val	Leu	Thr	Gln	Ser 30	Pro	Ala
Thr	Leu	Ser 35	Leu	Ser	Pro	Gly	Glu 40	Arg	Ala	Thr		Ser 45	Сув	Arg	Thr
Ser	Glu 50	Asn	Val	Tyr	Ser	Tyr 55	Leu	Ala	Trp	Tyr	Gln 60	Gln	Lys	Pro	Gly
Gln 65		Pro	Arg		Leu -70	Ile	Tyr	Phe	Ala	Lys 75	Thr	Leu	Ala	Glu	Gly 80
Ile	Pro	Ala	Arg	Phe 85	Ser	Gly	Ser	Gly	Ser 90	Gly	Thr	Asp _.	Phe	Thr 95	Leu
Thr	Ile	Ser	Ser 100	Leu	Glu	Pro	Glu	Asp 105	Phe	Ala	Val	Tyr	Tyr 110	Cys.	Gln
His	His	·Ser 115	Asp	Asn	Pro		Thr 120	Phe	Gly	Gln	Gly	Thr 125	Lys	Val	Glu
Ile	Lys 130	Gly	Gly	Gly	Gly	Ser 135	Gly	Gly	Gly	Gly	Ser 140	Gly	Gly	Gly	Gly
Ala 145	Ser	Ala	Val	Gln	Leu 150	Gln	Gln	Ser	Gly	Pro 155	Glu	Ser	Glu	Lys	Pro 160
Gly	Ala	Ser	Val	Lys 165	Ile	Ser	Cys	Lys	Ala 170	Ser	Gly	Tyr	Ser	Phe 175	Thr

Gly	Tyr	Asn _.	Met 180	Asn	Trp	Val	Lys	Gln 185	Asn	Asn	Gly	ГÀЗ	Ser 190	Leu	Glu
Trp	Ile	Gly 195	Asn	Ile	Asp	Pro	Tyr 200	Tyr	Gly	Gly	Thr	Thr 205		Asn	Arg
Lys	Phe 210	Lys	Gly	Lys	Ala	Thr 215	Leu	Thr	Val	Asp	Lys 220	Ser	Ser	Ser	Thr
Ala 225	туг	Met	Gln	Leu	Lys 230	Ser	Leu	Thr	Ser	Glu 235	Asp	Ser	Ala	Val	Tyr 240
Tyr	Cys	Ala	Arg	Ser 245	Val	Gly	Pro	Met	Asp 250	-	Trp	Gly	Gln	Gly 255	Thr
Ser	Val	Thr	Val 260	Ser	Ser	Ser	Glu	Pro 265	Lys	Ser	Ser	Asp	Lys 270	Thr	His
Thr	Ser	Pro 275	Pro	Сув	Pro	Ala	Pro 280	Glu	Leu	Leu	Gly	Gly 285	Pro	Ser	Val
Phe	Leu 290	Phe	Pro	Pro	Lys	Pro 295	Lys	Asp	Thr	Leu	Met 300	Ile	Ser	Arg	Thr
Pro 305	Glu	Vál	Thr	Cys ,	Val 310	Val	Val	Asp	Val	Ser 315		Glu	Asp		Glu 320
Val	Lys	Phe	Asņ	Trp 325	Tyr	Val	Asp	Gly	Val 330	Glu	Val	His	Asn	Ala 335	Lys
Thr	Lys	Pro	Arg 340	Glu	Glu	Gln	Tyr	Asn 345	Ser	Thr	Tyr	Arg	Val 350	Val	Ser
Val	Leu	Thr 355		Leu	His	Gln	Asp 360	Trp	Leu	Asn	Gly	Lys 365	Glu	Tyr	Lys
Cys	Lys 370	Val	Ser	Asn	Lys	Ala 375	Leu	Pro	Ala	Pro	Ile 380	Glu	Lys	Thr	Ile
Ser 385	-		Lys	_	Gln 390		_	Glu		Gln 395		Tyr	Thr	Leu	Pro 400
Pro	Ser	Arg	Asp	Glu 405	Leu	Thr	Lys	Asn	Gln 410		Ser	Leu	Thr	Cys 415	
Val	Lys	Gly	Phe	Tyr	Pro	Ser	Asp	Ile 425	Ala	Val	Glu	Trp	Glu 430	Ser	Asn

Gly Gln Pro Glu Asn Asn Tyr Lys Thr Thr Pro Pro Val Leu Asp Ser 440 435 . Asp Gly Ser Phe Phe Leu Tyr Ser Lys Leu Thr Val Asp Lys Ser Arg 455 Trp Gln Gln Gly Asn Val Phe Ser Cys Ser Val Met His Glu Ala Leu 470 475 His Asn His Tyr Thr Gln Lys Ser Leu Ser Leu Ser Pro Gly Lys 485 <210> 27 <211> 1503 <212> ADN <213> Secuencia artificial <220> <223> TRU-016 humanizado atggaageac cagegeaget tetetteete etgetaetet ggeteecaga taccaceggt 60 gcggtccagc tgcagcagtc tggacctgag tcggaaaagc ctggcgcttc agtgaagatt 120 teetgeaagg ettetggtta eteatteaet ggetacaata tgaactgggt gaageagaat 180 aatggaaaga gccttgagtg gattggaaat attgatcctt attatggtgg tactacctac 240 aaccggaagt tcaagggcaa ggccacattg actgtagaca aatcctccag cacagcctac 300 atgcagetea agagtetgae atetgaggae tetgcagtet attactgtge aagateggte 360 ggccctatgg actactgggg tcaaggaacc tcagtcaccg tctcttctgg tggcggtggc 420 tcgggcggtg gtgggtcggg tggcggcgga tcaggaggag gcgggagtgc tagcgaaatt 480 gtgttgacac agtctccagc caccctgtct ttgtctccag gcgaaagagc caccctctcc 540 tgccgaacaa gtgaaaatgt ttacagctac ttagcctggt accaacagaa acctggccag 600 qctcctaqqc tcctcatcta ttttgcaaaa accttagcag aaqqaattcc agccaqqttc 660. agtggcagtg gatccgggac agacttcact ctcaccatca gcagcctaga gcctgaagat 720 tttgcagttt attactgtca acatcattcc gataatccgt ggacattcgg ccaagggacc 780 aaggtggaaa tcaaaggctc gagcgagccc aaatcttctg acaaaactca cacatgccca 840 ccgtgcccag cacctgaact cctgggtgga ccgtcagtct tcctcttccc cccaaaaccc 900 aaggacaccc tcatgatctc ccggacccct gaggtcacat gcgtggtggt ggacgtgagc 96.0 cacgaagacc ctgaggtcaa gttcaactgg tacgtggacg gcgtggaggt gcataatgcc 1020 aagacaaagc cgcgggagga gcagtacaac agcacgtacc gtgtggtcag cgtcctcacc 1080

gtcctgcacc aggactggct gaatggcaag gagtacaagt gcaaggtctc caacaaagcc

5

10

•	ctcc	agc	cc c	catc	gaga	a aa	ccat	ctcc	aaa	gcca	aag	ggca	geçe	cg a	gaac	cacag		1200
•	gtgta	acac	cc t	 gccċ	ccat	c cc	ggga	tgag	ctg	acca	aga	acca	ggtc	ag c	ctga	cctgc		1260
٠,	ctggi	tcaa	ag g	cttc	tatc	c aag	gcga	catc	gcc	gtgg	agt	ggga	gagc	aa t	gggc	agccg		1320
9	gaga	acaa	ct a	caag	acca	g gc	ctcc	cgtg	ctg	gact	ccg	acgg	ctcc	tt c	ttcc	tctac	÷.	1380
. ;	agca	agct	ca c	cgtg	gaca	a gag	gcag	gtgg	cag	cagg	gga.	acgt	cttc	tc a	tgct	ccgtg		1440
	atgc	atga	gg c	tctg	caca	a cc	acta	cacg	cag	aaga	gcc	tctc	cctg	to t	ccgg	gtaaa		1500
	tga												. 7					1503
<; <; <;	210> 211> 212> 212> 213>	500 PRT	encia	ı artifi	cial													
<	223>	TRU-	·016 ł	numa	nizad	0												
<	400>	28																
	Met 1	Glu	Ala	Pro	Ala 5	Gln	Leu	Leu	Phe	Leu 10	Leu	Leu	Leu	Trp	Leu 15	Pro		
	Asp	Ťhr	Thr	Gly 20	Ala-	-Val-	Gln-	-Leu	Gln 25	Gln	Ser	Gly-	Pro	Glu 30	Ser	Glu		
	Lys	Pro	Gly 35	Ala	Ser	Val	Lys	Ile 40	Ser	Cys	Lys	Ala	Ser 45	Gly	Tyr	Ser		
	Phe	Thr 50	Gly	Tyr	Asn	Met	Asn 55	Trp	Val	Lys	Gln	Asn 60	Asn	Gly	Lys	Ser		
	Leu 65	Glu	Trp	Ile	Gly	Asn 70	Ile	Asp	Pro	Tyr	Tyr 75	Gly	Gly	Thr	Thr	Tyr 80		
	Asn	Arg	Lys	Phe	Lys 85	Gly	Lys	Ala	Thr	Leu 90	Thr	Val	Asp	Lys	Ser 95	Ser		
	Ser	Thr	Ala	Tyr 100	Met	Gln	Leu	Lys	Ser 105	Leu	Thr	Ser	Glu	Asp 110	Ser	Ala		
	Val	Tyr	Týr 115	Cys	Ala	Arg	Ser	Val 120		Pro	Met	Asp	Туг 125	Trp	Gly	Gln		
	Gly	Thr 130	Ser	Val	Thr	Val	Ser 135	Ser	Gly	Gly,	Gly	Gly 140	Ser	Gly	Gly	Gly		
	Gly 145	Ser	Gly	Gly	Gly	Gly 150	Ser	Gly	Gly	Gly	Gly 155	Ser	Ala	Ser	Glu	Ile 160		

Val '	Leu	Thr	Gln	Ser 165	Pro	Ala	Thr	Leu	Ser 170	Leu	Ser	Pro	Gly	Glu 175	Arg	
Ala	Thr	Leu	Ser 180	Cys	Arg	Thr	Ser	Glu 185	Asn	Val	Tyr	Ser	Tyr 190	Leu	Ala	
Trp	Tyr	Gln 195	Gln	Lys	Pro	Gly	Gln 200	Ala	Pro	Arg		Leu 205	Ile	Tyr	Phe	
Ala	Lys 210	Thr	Leu	Ala	Glu	Gly 215	Ile	Pro	Ala	Arg	Phe 220	Ser	Gly	Ser	Gly	
Ser 225	Gly	Thr	Asp	Phe	Thr 230	Leu	Thr	Ile	Ser	Ser 235	Leu	Glu	Pro	Glu	Asp 240	•
Phe	Ala	Val	Tyr _.	Tyr 245	Cys	Gln	His	His	Ser 250	Asp	Asn	Pro	Trp	Thr 255	Phe	
Gly	Gln	Gly	Thr 260	Lys	Val	Glu	Ile	Lys 265	•	Ser	Ser	Glu	Pro 270	Lys	Ser	:
Ser	Asp	-	Thr	His	Thr	Cys			Сув	Pro	Ala			Leu	Leu	
Gly	Gly	275 Pro	Ser	Val	Phe	Leu	280 Phe	Pro	Pro	Lys	Pro	285 Lys	Asp	Thr	Leu	
 	290					295 					300			-		
Met 305	Ile	Ser	Arg	Thr	Pro 310	Glu	Val	Thr	Cys	Val 315	Val	Val	Asp	Val	Ser 320	
His	Glu	Asp	Pro	Glu 325	Val	Lys	Phe	Asn	Trp 330	Tyr	Val	Asp	Gly	Val 335	Glu	
Val	His	Asn	Ala 340	_	Thr	Lys	Pro	Arg 345	Glu	Glu	Gln	Tyr	Asn 350	Ser	Thr	
Tyr	Arg	Val 355	Val	Ser	Val	Leu	Thr 360	Val	Leu	His	Gln	Asp 365	Trp	Leu	Asn	
Gly	Lys 370	Glu	Tyr	Lys	Cys	Lys 375		Ser.	Asn	Lys	Ala 380	Leu	Pro	Ala	Pro	
Ile 385	Glu	Lys	Thr	Ile	Ser 390	Lys	Ala	Lys	Gly	Gln 395	Pro	Arg	Glu	Pro	Gln 400	
Val	Tyr	Thr	Leu	Pro 405	Pro	Ser	Arg	Asp	Glu 410	Leu	Thr	Lys	Asn	Gln 415	Val	

Sei	Leu	Thr	Cys 420	Leu	Val	Lys	Ġly	Phe 425	Tyr	Pro	Ser	Asp	Ile 430	Ala	Val			
Gli	Trp	Glu 435	Ser	Asn	Gly	Gln	Pro 440	Glu	Asn	Asn	Tyr	Lys 445	Thr	Thr	Pro			
Pro	Val 450		Asp	Ser	Asp	Gly 455	Ser	Phe	Phe	Leu	Tyr 460	Ser	Lys	Leu	Thr			
Va. 46	l Asp	Lys	Ser	Ārg	Trp 470	Gln	Gln	Gly	Asn	Val 475	Phe	Ser	Cys	Ser	Val 480			
Me	: His	Glu	Ala	Leu 485	His	Asn	His	Tyr	Thr 490	Gln	Lys	Ser	Leu	Ser 495	Leu			
Se	r Pro	Gly	Lys 500			•			.*									
<212	> 29 > 147 > ADN > Sec	١	a artif	ficial														
<220 <223	> > TRU	J-016	huma	anizad	do													
<400	> 29																	
ā	tggaa	agcac	cag	gcgca	gct	tctc	ttcc	tc c	tgct	actc	t gg	ctcc	caga	tac	cacc	ggt .		60·
· · ·	aaati	tgtgt	tga	caca	gtc	tcca	gcca	cc c	tgtc	tttg	t ct	ccag	gcga	aag	agcc	acc	1:	20
c	tctc	ctgcc	gaa	caag	tga	aaat	gttt	ac a	gcta	ctta	g co	tggt	acca	aca	gaaa	cct	1	80
٩	gcca	ggcto	cta	iggct	cct	cato	tatt	tt g	caaa	aacc	t ta	gcag	aagg	aat	tcca	gcc	2	40
a	iggtt	cagto	g gca	gtgg	gatc	cggg	acag	ac t	tcac	tata	a cc	atca	.gcag	cct	agag	cct ·	. 3	00
ç	aaga	ttttg	g cag	gttta	tta	ctgt	caac	at c	atto	cgat	a at	ccgt	ggac	att	cggc	caa	3	60

gggaccaagg tggaaatcaa aggtggcggt ggctcgggcg gtggtggatc tggaggaggt

ggagctagcg cggtccagct gcagcagtct ggacctgagt cggaaaaagcc tggcgcttca gtgaagattt cctgcaaggc ttctggttac tcattcactg gctacaatat gaactgggtg

aagcagaata atggaaagag cettgagtgg attggaaata ttgateetta ttatggtggt

acagectaca tgeageteaa gagtetgaca tetgaggaet etgeagteta ttaetgtgea

gageceaaat ettetgacaa aacteacaca tetecacegt geceageace tgaacteetg

ggtggaccgt cagtetteet ettecececa aaacecaagg acacecteat gateteeegg

actacctaca accggaagtt caagggcaag gccacattga ctgtagacaa atcctccagc

agatoggtog goodtatgga etactggggt caaggaacet cagtcaccgt etectogage

420 480

540

600

660

720

780

840 900

5

accc	organ	99 .	Caca	icgeg	ji gi	1-99	cyga	c gc	yago	cace	aac	jacci	Lya	ggc	Caagi	
aact	ggta	cg t	ggac	ggcg	jt gg	gagg	tgca	t aa	tgcc	aaga	caa	aagc	cgcg	gga	ggago	cag
taca	acag	ca c	gtac	cgtg	jt gg	gtca	gcgt	c ct	cacc	gtco	tgo	cacc	agga	ctg	gctga	aat
ggca	agga	gt a	caag	tgca	a gg	gtct	ccaa	c aa	agco	ctcc	cag	gada	ccat	cga	gaaaa	acc .
atct	ccaa	ag c	caaa	ıgggc	a go	ccc	gaga	a cc	acag	gtgt	aca	accc.	tgcc	ccc	atcc	gg
gatg	agct	ga c	caag	jaacc	a gg	gtca	gaat	g ac	atga	ctg	tca	aaag	gctt	cta	tccaa	agc .
gaca	taga	cg t	ggag	tggg	a ga	agca	atgg	g ca	gccg	gaga	aca	act	acaa	gac	cacgo	cct
cccg	tgct	gg a	ctcc	gacg	ıg ct	tcct	tctt	c ct	ctac	agca	ago	ctca	ccgt	gga	caaga	agc
aggt	ggca	gc ạ	9999	gaacg	jt 'ct	ttct	catg	c tc	cgtg	atgo	ato	jagg	ctct	gca	caaco	cac
taca	cgca	ga a	gago	ctct	c c	ctgt	ctcc	9 99	taaa	tga			7	٠		
<210> <211> <212> <213>	492 PRT		a artif	icial												
<220> <223>		-016	huma	nizad	lo											
<400>	30															
Met 1	Glu	Ala	Pro	Ala 5	Gln	Leu	Leu	Phe	Leu 10 ়	Leu	Leu	Leu	Trp	Leu 15	Pro	
Asp	Thr	Thr	Gly 20	Glu	Ile	Val	Leu	Thr 25	Gln	Ser	Pro	Ala	Thr 30	Leu	Ser	
Leu	Ser	Pro 35	Gly	Glu	Arg	Ala	Thr 40	Leu	Ser	Cys	Arg	Thr 45	Ser	Glu	Asn	
_	٠						_			_	_				_	
Val	Tyr 50	Ser	Tyr	Leu	ALA	Trp 55	Tyr	GIn	GIn	Lys	Pro 60	GΤ̈́λ	GIn	Ala	Pro	
Arg 65	Leu	Leu	Ile	Tyr	Phe	Ala	Lys	Thr	Leu	Ala 75	Glu	Gly	Ile	Pro	Ala 80	
						_						_		·_ _		
Arg	Phe	Ser	Gly	Ser 85	GΤÄ	Ser	GIA	Thr	Asp 90	Phe	Thr	Leu	Thr	Ile 95	Ser	
Ser	Leu	Glu	Pro 100	Glu	Asp	Phe	Ala	Val 105	Tyr	Tyr	Cys	Gln	His 110	His	Ser	
Asp	Asn	Pro 115	Trp	Thr	Phe	Gly	Gln 120	Gly	Thr	Lys	Val	Glu 125	Ile	Lys	Gly	

Gly	Gly 130	Gly	Ser	Gly	Gly	Gly 135	Gly	Ser	Gly	Gly	Gly 140	Gly	Ala	Ser	Ala
Val 145	Gln	Leu	Gln	Gln.	Ser 150	Gly	Pro	Glu	Ser	Glu 155		Pro	Gly	Ala	Ser 160
Val	Lys	Ile	Ser	Cys 165	Lys	Ala	Ser	Gly	Tyr 170	Ser	Phe	Thr	Gly	Tyr 175	Asn
Met	Asn	Trp	Val 180	Lys	Gln	Asn	Asn	Gly 185	Lys	Ser	Leu	Glu	Trp 190	Ile	Gly
Asn	Ile	Asp 195	Pro	Tyr	Tyr	Gly	Gly 200	Thr	Thr	Tyr	Asn	Arg 205	Lys	Phe	Lys
Gly	Lys 210	Ala	Thr	Leu	Thr	Val 215	Asp	Lys	Ser	Ser	Ser 220	Thr	Ala	Tyr	Met
Gln 225	Leu	Lys	Ser	Leu	Thr 230	Ser	Glu	Asp	Ser	Ala 235	Val	Tyr	Tyr	Cys	Ala 240
Arg	Ser	Val	Gly	Pro 245	Met	Asp	Tyr	Trp	Gly 250	Gln	Gly	Thr		Val 255	
Val	Ser	Ser	Ser 260	Glu	Pro	Lys	Ser	Ser 265	Asp	Lys	Thr	His	Thr 270	Ser	Pro
Pro	Cys	Pro 275	Ala	Pro	Glu	Leu	Leu 280	Gly	Gly	Pro	Ser	Val 285	Phe	Leu	Phe
Pro	Pro 290	Lys	Pro	Lys	Asp	Thr 295	Leu	Met	Iľe	Ser	Arg 300	Thr	Pro	Glu	Val
Thr 305	Cys	Val	Val	Val	Asp 310	Val	Ser	His	Glu	Asp 315		Glu	Val	Lys	Phe 320
Asn	Trp	Tyr	Val	Asp 325	Gly	Val	Glu	Val	His 330	Asn	Ala	Lys		Lys 335	Pro
Arg	Glu	Glu	Gln 340	-	Asn	Ser	Thr	_	Ārg	Val	Val	Ser	Val	Leu	Thr
Val	Leu	His 355	Gln	Asp	Trp	Leu	Asn 360	Gly	Lys	Glu	Týr	Lys 365	Cys	Гуs	Val
Ser	Asn 370	Lys	Ala	Leu	Pro	Ala 375	Pro	Ile	Glu	Lys	Thr 380	Ile	Ser	Lys	Ala

Lys Gly Gln Pro Arg Glu Pro Gln Val Tyr Thr Leu Pro Pro Ser Arg 385 390 395 400	
Asp Glu Leu Thr Lys Asn Gln Val Ser Leu Thr Cys Leu Val Lys Gly 405 410 415	
Phe Tyr Pro Ser Asp Ile Ala Val Glu Trp Glu Ser Asn Gly Gln Pro 420 425 430	
Glu Asn Asn Tyr Lys Thr Thr Pro Pro Val Leu Asp Ser Asp Gly Ser 435 440 445	
Phe Phe Leu Tyr Ser Lys Leu Thr Val Asp Lys Ser Arg Trp Gln Gln 450 655 460	
Gly Asn Val Phe Ser Cys Ser Val Met His Glu Ala Leu His Asn His 465 470 475 480	
Tyr Thr Gln Lys Ser Leu Ser Leu Ser Pro Gly Lys 485 490	
<210> 31 <211> 1479 <212> ADN <213> Secuencia artificial	
<220> <223> TRU-016 humanizado	
<400> 31	
atggaagcac cagcgcagct totottoote otgotactot ggotoccaga taccaccggt	60
gaaattgtgt tgacacagtc tecagecace etgtetttgt etccaggega aagagecace	120
ctctcctgcc gaacaagtga aaatgtttac agctacttag cctggtacca acagaaacct	180
ggccaggctc ctaggctcct catctatttt gcaaaaacct tagcagaagg aattccagcc	240
aggttcagtg gcagtggatc cgggacagac ttcactctca ccatcagcag cctagagcct	300
gaagattttg cagtttatta ctgtcaacat cattccgata atccgtggac attcggccaa	360
gggaccaagg tggaaatcaa aggtggcggt ggctcgggcg gtggtggatc tggaggaggt	420
ggagctagcg cggtccagct gcagcagtct ggacctgagt cggaaaagcc tggcgcttca	480
gtgaagattt cctgcaaggc ttctggttac tcattcactg gctacaatat gaactgggtg	
	540
aagcagaata atggaaagag ccttgagtgg attggaaata ttgatcctta ttatggtggt	600
aagcagaata atggaaagag cettgagtgg attggaaata ttgateetta ttatggtggt actacetaca accggaagtt caagggcaag gecacattga etgtagacaa ateeteeage	
actacctaca accggaagtt caagggcaag gccacattga ctgtagacaa atcctccagc	600

gagcccaaat	cttctgacaa	aactcaca	aca tgc	caccgt	gcccagca	cc tgaa	ctcctg
ggtggaccgt	cagtcttcct	cttcccc	ca aaa	ccaagg	acacccto	at gate	tcccgg
acccctgagg	tcacatgcgt	ggtggtgg	gac gtga	agccacg	aagaccct	ga ggtc	aagttc
aactggtacg	tggacggcgt	ggaggtgd	cat aato	gccaaga	caaagccg	gcg ggag	gagcag
tacaacagca	cgtaccgtgt	ggtcagcg	gtc ctca	accgtcc	tgcaccag	ga ctgg	ctgaat
ggcaaggagt	acaagtgcaa	ggtctcca	aac aaag	gccctcc	cagccccc	at cgag	aaaacc
atctccaaag	ccaaagggca	gccccgag	gaa ccad	caggtgt	acaccct	jcc ccca	tcccgg
gatgagctga	ccaagaacca	ggtcagco	ctg acct	gcctgg	tcaaaggo	tt ctate	ccaagc
gacatcgccg	tggagtggga	gagcaato	ggg cago	ccggaga	acaactac	aa gacc	acgcct
cccgtgctgg	actccgacgg	ctccttct	tc ctct	cacagca	agctcaco	gt ggac	aagagc
aggtggcagc	aggggaacgt	cttctcat	ge teeg	gtgatgc	atgaggct	ct gcac	aaccac
tacacgcaga	agageetete	cctgtct	cg ggta	aatga	`.		
<210> 32 <211> 492 <212> PRT <213> Secuence	cia artificial						
<220> <223> TRU-01	6 humanizado	o					
<400> 32							
Met Glu Ala	Pro Ala G	ln Leu Le		Leu Leu	Leu Leu	Trp_Leu 15	Pro
Asp Thr Thr	Gly Glu I	le Val Le	u Thr 6	Sln Ser	Pro Ala	Thr Leu 30	Ser
Leu Ser Pro 35	Gly Glu A	rg Ala Th 40		Ser Cys	Arg Thr 45	Ser Glu	Asn
Val Tyr Ser 50	Tyr Leu A	la Trp Ty 55	r Gln (Bln Lys	Pro Gly 60	Gln Ala	Pro
Arg Leu Leu	TIO THE D	he Ala Io	s Thr I	Leu Ala	Glu Glv	Ile Pro	77-
65	7:	-		75	,	· ·	80

Ser Leu Glu Pro Glu Asp Phe Ala Val Tyr Tyr Cys Gln His His Ser 100 105 110

Asp	Asn	Pro 115		Thr	Phe	Gly	Gln 120	Gly	Thr	Lys	Val	Glu 125	Ile	Lys	Gly
Gly	Gly 130	Gly	Ser	Gly	Gly	Gly 135	Gly	Ser	Gly	Gly	Gly 140	Gly	Ala	Ser	Ala
Val 145	Gln	Leu	Gln	Gln	Ser 150	Gly	Pro	Glu	Ser	Glu 155	Lys	Pro	Gly	Ala	Ser 160
Val	Lys	Ile	Ser	Cys 165		Ala ·	Ser		Tyr 170	Ser	Phe	Thr	Gly	Туг 175	Asn
Met	Asn	Trp	Val 180	Lys	Gln	Asn	Asn	Gly 185	.—	Ser	Leu	Glu	Trp 190	Ile	Gly
Asn	Ile	Asp 195	Pro	Tyr	Tyr	Gly	Gly 200	Thr	Thr	Tyr	Asn	Arg 205	Lys	Phe	Lys
Gly	Lys 210	Ala	Thr	Leu	Thr	Val 215	Asp	Lys	Ser	Ser	Ser 220	Thr	Ala	Tyr	Met
Gln 225	Leu	Lys	Ser	Leu	Thr 230	Ser	Glu	Asp		Ala 235		Tyr	Tyr	Cys	Ala 240
					-										
Arg	Ser	Val	Gly	Pro 245	Met	Asp	Tyr	Trp	Gly 250	Gln	Gly	Thr	Ser	Val 255	
				245	,	k .		, (250			His			· ,
vāl	Ser	Ser	Ser 260	245 Glu	Pro	Ьуs	Ser	Ser 265	250 Asp	Lys	Thr	His	Thr 270	255	Pro
Val Pro	Ser	Ser Pro 275	Ser 260	245 Glu Pro	Pro Glu	Lys	Ser Leu 280	Ser 265 Gly	250 Asp Gly	Lys Pro	Thr	His Val 285	Thr 270 Phe	255 Cys	Pro
Val Pro	Ser Cys Pro	Ser Pro 275 Lys	Ser 260 Ala	Glu Pro Lys	Pro Glu Asp	Lys Leu Thr 295	Ser Leu 280	Ser 265 Gly Met	250 Asp Gly Ile	Lys Pro	Thr Ser Arg	His Val 285 Thr	Thr 270 Phe	255 Cys Leu	Pro Phe Val
Val Pro Pro Thr	Cys Pro 290 Cys	Pro 275 Lys	Ser 260 Ala Pro	Glu Pro Lys Val	Pro Glu Asp Asp 310	Lys Leu Thr 295 Val	Ser Leu 280 Leu Ser	Ser 265 Gly Met	250 Asp Gly Ile	Lys Pro Ser Asp	Thr Ser Arg 300	His Val 285 Thr	Thr 270 Phe Pro	255 Cys Leu Glu	Phe Val
Val Pro Pro Thr 305	Ser Cys Pro 290 Cys	Pro 275 Lys Val	Ser 260 Ala Pro Val	Glu Pro Lys Val Asp 325	fro Glu Asp Asp 310	Leu Thr 295 Val	Ser Leu 280 Leu Ser	Ser 265 Gly Met His	Asp Gly Ile Glu His	Lys Pro Ser Asp 315	Thr Ser Arg 300 Pro	His Val 285 Thr Glu	Thr 270 Phe Pro Val	255 Cys Leu Glu Lys	Phe Val Phe 320

ser	370		Ala	Leu	Pro	375	Pro	He	GIu	ГÀЗ	380		Ser	Lys	Ala	,	
Lys 385	Gly	Gln	Pro	Arg	Glu 390		Gln	Val	Tyr	Thr 395		Pro	Pro	Ser	Arg 400		
					390					393		,	-		400		
Asp	Glu	Leu	Thr	Lys 405	Asn	Gln	Val	Ser	Leu 410	Thr	Сув	Leu	Val	Lys 415	Gly		
Dhe	Tur	Pro	Ser	Agn	Tle	Δla	Val	Gli	Trn	Glu	Car	Nen	Glv	Gln	Pro		
rne			420	rap	116	AIG	vai	425	_	GIU	Ser	ASII	430	GIII	PLO		
Glu	Asn			Lys	Thr	Thr		Pro	Val	Leu			Asp	Gly	Ser		
-	į.	435				•.	440					445		-	•		
Phe	Phe 450	Leu	Tyr	Ser	Lys	Leu 455		Val	Asp	Lys	Ser 460	Arg	Trp	Gln	Gln		
Gly 465	Asn	Val	Phe	Ser	Cys 470	Ser	Val	Met	His	Glu 475	Ala	Leu	His	Asn	His 480		
Tyr	Thr	Gln	Lys	Ser 485	Leu	Ser	Leu	Ser.	Pro 490	Gly	Lys						
<212	> 33 > 147 > AD > Sec	N	cia art	ificial													
<220 <223	> > TRI	U-016	3 hum	ıaniza	ado												
<400	> 33																
atgg	gaago	cac o	cago	gcago	et to	ctatt	tcct	cicto	gcta	etet	ggct	tgaa.	aga	tacc	accgo	jt '-	60
gaaa	ittgt	:gt t	tgaca	acagt	c to	cago	ccaco	c ctg	gtcti	tgt	ctc	cagg	cga	aaga	gccac	:c	120
ctct	ccto	jec g	gaaca	agto	ga aa	aatgi	tttad	ago	ctact	tag	cct	ggta	cca .	acaga	aaacc	:t.	180
ggc	caggo	etc o	ctago	jctco	et ca	atcta	attt	gea	aaaa	acct	tage	caga	agg	aatt	ccago	c	240
aggt	tcag	gtg g	gcagt	ggat	cc cg	ggga	cagad	e tto	cacto	ctca	ccat	cag	cag	ccta	gagco	:t	300
gaag	gattt	tg d	cagtt	tatt	a ct	gtca	aacat	cat	tcc	gata	atco	gtg	gac	attc	ggcca	ıa į	360
ggga	accaa	igg t	tggaa	aatca	aa ag	ggtgg	geggt	gg	ctcg	ggcg	gtg	gtgg	atc	tgga	ggagg	jt.	420
ggag	gctag	jcc a	aggt	gcago	et g	gtgga	agtct	ggt	ggag	ggcg	tggi	cca	gcc	tggg:	aggto	.c	480
ctga	agact	ct o	cctgt	gcaç	gc ct	ctg	gatto	c acc	cttca	agtg	gcta	acaa	tat	gaacı	gggt	:c	540
cgc	cagat	gc d	ccggg	gaaag	gg co	ctgga	agtg	g ato	gggca	aata	ttga	atcc	tta	ttàt	ggtgg	jt .	600
acta	accta	aca a	accg	gaagt	it ca	aagg	gccag	ggto	cacta	atct	ccg	ccga	caa	gtcca	atcag	lc	660

accgcctacc tgcaatggag cagcctgaag gcctcggaca ccgccatgta ttactgtgca	720
cgctcagtcg gccctatgga ctactggggc cgcggcaccc tggtcactgt ctcctcgagc	780
gageceaaat ettetgacaa aacteacaca tgeecacegt geecageace tgaacteetg	840
ggtggaccgt cagtcttcct cttcccccca aaacccaagg acaccetcat gatctcccgg	900
acccctgagg tcacatgcgt ggtggtggac gtgagccacg aagaccctga ggtcaagttc	960
aactggtacg tggacggcgt ggaggtgcat aatgccaaga caaagccgcg ggaggagcag	1020
tacaacagca cgtaccgtgt ggtcagcgtc ctcaccgtcc tgcaccagga ctggctgaat	1080
ggcaaggagt acaagtgcaa ggtctccaac aaagccctcc cagcccccat cgagaaaacc	1140
atotecaaag ccaaagggca gccccgagaa ccacaggtgt acaccetgcc cccatcccgg	1200
gatgagetga ecaagaacca ggteageetg acetgeetgg teaaaggett etatecaage	1260
gacategeeg tggagtggga gageaatggg cageeggaga acaactacaa gaccaegeet	1320
cccgtgctgg actccgacgg ctccttcttc ctctacagca agctcaccgt ggacaagagc	1380
aggtggcagc aggggaacgt cttctcatgc tccgtgatgc atgaggctct gcacaaccac	1440
tacacgcaga agagcetete cetgteteeg ggtaaatga	1479
<210> 34 <211> 492 <212> PRT <213> Secuencia artificial	
<220> <223> TRU-016 humanizado	
<400> 34	
Met Glu Ala Pro Ala Gln Leu Leu Phe Leu Leu Leu Leu Trp Leu Pro 1 5 10 15	
Asp Thr Thr Gly Glu Ile Val Leu Thr Gln Ser Pro Ala Thr Leu Ser 20 25 30	
Leu Sar Bro Cly Clu Arg Ala Thr Leu Sar Cyg Arg Thr Sar Clu Agn	

5

10

Leu Ser Pro Gly Glu Arg Ala Thr Leu Ser Cys Arg Thr Ser Glu Asn 35 40 45

Val Tyr Ser Tyr Leu Ala Trp Tyr Gln Gln Lys Pro Gly Gln Ala Pro 50 55 60

Arg Leu Leu Ile Tyr Phe Ala Lys Thr Leu Ala Glu Gly Ile Pro Ala 65 70 75 80

Arg Phe Ser Gly Ser Gly Ser Gly Thr Asp Phe Thr Leu Thr Ile Ser 85 90 .

Ser	Leu	Glu	Pro 100	Glu	Asp	Phe	Ala	Val 105	Tyr	Tyr	Сув	Gln	His 110	His.	Ser	
Asp	Asn	Pro 115	Trp	Thr	Phe	Gly	Gln 120	Gly	Thr	Lys	Val	Glu 125	Ile	Lys	Gly	
Gly	Gly 130	Gly	Ser	Gly	Gly	Gly 135	Gly	Ser	Gly	Gly	Gly 140	Gly	Ala	Ser	Gln	
Val 145	Gln	Leu	Val	Glu	Ser 150		Gly	Gly	Val	Val 155	Gln	Pro	Gly	Arg	Ser 160	
Leu	Arg	Leu	Ser	Cys 165		Ala	Ser	Gly	Phe 170	Thr	Phe	Ser	Gly	Tyr 175	Asn	٠
Met	Asn	Trp	Val 180	Arg	Gln	Met	Pro	Gly 185	Lys	Gly	Leu	Glu	Trp 190	Met	Gly	
Asn	Ile	Asp 195	Pro	Tyr	Tyr	Gly	Gly 200	Thr	Thr	Tyr	Asn	Arg 205	Lys	Phe	Lys	
Gly	Gln 210	Val	Thr	Ile	Ser	Ala 215	Asp	Lys	Ser	Ile	Ser 220		Ala	Tyr	Leu	
Gln 225		Sér	Ser	Leu	Lys 230	Ala	Ser	Asp	Thr	Alá 235	Met	Tyr	Tyr	-	Ala 240	
Arg	Ser	Val	Gly	Pro 245	Met	Asp	Tyr	Trp	Gly 250	Arg	GÎy	Thr	Leu	Val 255	Thr	
Val	Ser	Ser	Ser 260	Glu	Pro	Lys	Ser	Ser 265	Asp	Lys	Thr	His.	Thr 270	Cys	Pro	
Pro	Cys	Pro 275	Ala	Pro	Glu	Leu	Leu 280	Gly	Gly	Pro	Ser	Val 285		Leu	Phe	
Pro	Pro 290	Lys	Pro	Lys	Asp	Thr 295	Leu	Met	Ile	Ser	Arg 300	Thr	Pro	Glu	Val	•
Thr 305	Cys	Val	Val	Val	Asp 310	Val	Ser	His	Glu	Asp 315	Pro	Glu	Val	Lys	Phe 320	
Asn	Trp	Tyr	Val	Asp 325	Gly	Val	Glu	Val	His 330	Asn	Ala	Lys	Thr	Lys 335	Pro	
Arg	Glu	Glu	Gln 340	Tyr	Asn	Ser	Thr	Tyr 345		Val	Val	Ser	Val 350	Leu	Thr	

Val	Leu	His 355	Gln	Asp	Trp	Leu	Asn 360	Gly	Lys	Glu ;	Tyr _.	Lys 365	Сув	Lys	Val		
Ser	Asn 370	Lys	Ala	Leu		Ala 375	Pro	Ile	Glu	Lys	Thr 380	Ile	Ser	Lys	Ala		
Lys 385		Gln	Pro	Arg	Glu 390	Pro	Gln	Val	Tyr	Thr 395	Leu	Pro	Pro	Ser	Arg 400		
Asp	Glu	Leu	Thr	Lys 405	Asn	Gln	Val	Ser	Leu 410	Thr	Cys	Leu	Val	Lys 415	Gly		
Phe	Tyr	Pro	Ser 420	Asp	Ile	Ala	Val	Glu 425	Trp	Glu	Ser	Asn	Gly 430	Gln	Pro		
Glu	Asn	Asn 435	Tyr	Lys	Thr	Thr	Pro 440	Pro	Val	Leu	Asp	Ser 445	Asp	Gly	Ser	•	
Phe	Phe 450	Leu	Tyr	Ser	Lys	Leu 455		Val	Asp	Lys	Ser 460	'Arg'	Trp	Gln	Gln		
Gly 465		Val	Phe	Ser	Cys 470	Ser	Val	Met	His	Glu 475	_	Leu	His	Asn	His 480		
Tyr	Thr	Gln	Lys	Ser 485	Leu	Ser	Leu	Ser			Lys				•		
485 490 <210> 35 <211> 1479 <212> ADN <213> Secuencia artificial																	
<220 <223		U-016	3 hum	aniza	ido												
<400	> 35																
						•			_				_		cacc		. 6
															gagco agaaa		12
															tcca	• .	24
															agag		30
									•						cggc		36
ggg	accaa	agg	tgga	aatc	aa a	.ggtg	igege	jt g	gata	gggc	g gt	ggtg	gato	tg:	jagga	ıggt	42
ggag	gctag	gcc	aggt	gcag	ict c	gtgg	agto	et g	gtgg	aggc	g tg	gtcc	agco	tgg	jgagg	tcc	48
ctga	agact	tct	cctg	tgca	.gc c	tctg	gatt	c a	cctt	cagt	g gc	taca r	atat	gaa	ctgg	gtc	54

cgccagatgc	ccgggaaagg	cctggagtgg	atgggcaata	ťtgatcctta	ttatggtggt	600
actacctaca	accggaagtt	caagggccag	gtcactatct	ccgccgacaa	gtccatcagc	660
accgcctacc	tgcaatggag	cagcctgaag	gcctcggaca	ccgccatgta	ttactgtgca	720
cgctcagtcg	gccctatgga	ctactggggc	cgcggcaccc	tggtcactgt	ctcctcgagc	780
gagcccaaat	cttcţgacaa	aactcacaca	tgcccaccgt	gcccagcacc	tgaactcctg	840
ggtggaccgt	cagtcttcct	cttcccccca	aaacccaagg	acaccctcat	gatctcccgg	900
acccctgagg	tcacatgcgt	ggtggtggac	gtgagccacg	aagaccctga	ggtcaagttc	960
aactggtacg	tggacggcgt	ggaggtgcat	aatgccaaga	caaagccgcg	ggaggagcag	1020
tacaacagca	cgtaccgtgt	ggtcagcgtc	ctcaccgtcc	tgcaccagga	ctggctgaat	1080
ggcaaggagt	`acaagtgcaa	ggtctccaac	aaagccctcc	cagcccccat	cgagaaaacc	1140
atctccaaag	ccaaagggca	gccccgagaa	ccacaggtgt	acaccctgcc	cccatcccgg	1200
gatgagctga	ccaagaacca	ggtcagcctg	acctgcctgg	tcaaaggctt	ctatccaagc	1260
gacatcgccg	tggagtggga	gagcaatggg	cagccggaga	acaactacaa	gaccacgcct	1320
cccgtgctgg	actccgacgg	ctccttcttc	ctctacagca	agctcaccgt	ggacaagagc	1380
aggtggcagc	aggggaacgt	cttctcatgc	tccgtgatgc	atgaggctct	gcacaaccac	1440
tacacgcaga	agagcctctc	cctgtctccg	ggtaaatga			1479
.040: 00						

<210> 36

<211> 492

<212> PRT

<213> Secuencia artificial

<220>

<223> TRU-016 humanizado

10

<400> 36

Met Glu Ala Pro Ala Gln Leu Leu Phe Leu Leu Leu Leu Trp Leu Pro 1 5 10 15

Asp Thr Thr Gly Glu Ile Val Leu Thr Gln Ser Pro Ala Thr Leu Ser 20 25 30

Leu Ser Pro Gly Glu Arg Ala Thr Leu Ser Cys Arg Thr Ser Glu Asn 35 40 45

Val Tyr Ser Tyr Leu Ala Trp Tyr Gln Gln Lys Pro Gly Gln Ala Pro 50 55 60

Arg Leu Leu Ile Tyr Phe Ala Lys Thr Leu Ala Glu Gly Ile Pro Ala 65 70 75 80

Arg	Phe	Ser	Gly	Ser 85	Gly	Ser	Gly	Thr	Asp 90	Phe	Thr	Leu	Thr	Ile 95	Ser
Ser	Leu	Glu	Pro 100	Glu	Asp	Phe	Ala	Val 105	Tyr	Tyr	Cys	Gln	His 110		Ser
Asp	Asn	Pro 115	Trp	Thr	Phe	Gly	Gln 120	Gly	Thr	Lys	Val	Glu 125	Ile	Lys	Gly
Gly	Gly 130	Gly	Ser	Gly	Gly	Gly 135	Gly	Ser	Gly	Gly	Gly 140	Gly	Ala	Ser	Gln
Val 145	Gln	Leu	Val	Glu	Ser 150	Gly :	Gly	Gly	Val	Val 155	Gln	Pro	Gly	Arg	Ser 160
Leu	Arg	Leu	Ser	Cys 165	Ala	Ala	Ser	Gly	Phe 170	Thr	Phe	Ser	Gly	Tyr 175	Asn
Met	Asn	Trp	Val 180	Arg	Gln	Met	Pro	Gly 185	Lys	Gly	Leu	Glu	Trp 190	Met	Gly
Asn	Ile	Asp 195	Pro	Tyr	Tyr	Gly	Gly 200	Thr	Thr	Tyr	Asn	Arg 205	Lys	Phe	Lys
	Gln 210	Val	Thr	Ile	Ser	Ala 215	Asp	Lys		Ile	Ser 220	Thr	Ala	Tyr	Leu
Gln 225	Trp	Ser	Ser	Leu	Lys 230	Ala	Ser	Asp	Thr	Ala 235	Met	Tyr	Tyr	Cys	Ala 240
		٠	_	245	٠.		Tyr	_	250	٠	_			255	
Val	Ser	Ser	Ser 260	Glu	Pro _:	Lys	Ser	Ser 265	Asp	Lys	Thr	His	Thr 270	Ser	Pro
Pro	Суз	Pro 275	Ala	Pro	Glu	Leu	Leu 280	Gly	Gly	Pro	Ser	Val 285	Phe	Leu ,	Phe
Pro	Pro 290	Lys	Pro	Lys	Asp	Thr 295	Leu	Met	Ile	Ser	Arg 300	Thr	Pro	Glu	Val
Thr 305	_	Val	Val	Val	Asp 310	Val	Ser		Glu		Pro	Glu	Val	Lys	Phe 320
Asn	Trp	Tyr	Val	Asp 325	Gly	Val	Glu		His 330		Ala	-	Thr	Lys 335	

Arg	GLu	Glu	340	Tyr	Asn	ser	Tnr	1yr 345	Arg	Val	vaı	ser	350		Thr		
Val	Leu	His 355	Gln	Asp	Trp	Leu	Asn 360	Gly	Lys	Glu	Tyr	Lys 365	Cys	Lys	Val		
									•			-	•		. •		
Ser	Asn 370	Lys	Ala	Leu	Pro	Ala 375	Pro	Ile	Glu	Lys	Thr 380	Ile	Ser	Lys	Ala		
Lys 385	Gly	Gln	Pro	Arg	Glu 390	Pro	Gln	Val		Thr 395	Leu	Pro	Pro	Ser	Arg 400		
Asp	Glu	Leu	Thr	Lys 405	Asn-	Gln	Val		Leu 410		Cys	Leu	Val	Lys 415	Gly		
Phe	Tyr		Ser 420	Asp	Ile	Ala	Val	Glu 425	Trp	Glu	Ser	Asn	Gly 430		Pro		
Glu	Asn	Asn 435	Tyr	Lys	Thr	Thr	Pro 440	Pro	Val	Leu	Asp	Ser 445	Asp	Gly	Ser]	
Phe	Phe 450	Leu	Tyr	Ser	Lys	Leu 455	Thr	Val	Asp	Lys	Ser 460	Arg	Trp	Gln	Gln		
Gly 465		Val	Phe	Ser	Cys 470	Ser	Val	Met	His	Glu 475	Ala	Leu	His	Asn	His 480		
Tyr	Thr	Gln	Lys	Ser 485	Leu	Ser	Leu	Ŝer	Pro 490	Gly	Lys		· ·				
<212	> 147 > AD	N	cia art	tificial													
<220	>		6 hum														
<400	> 37																
atg	gaag	cac	cagc	gcag	ct t	ctct	tcct	c, ct	gct	actc	t gģ	ctcc	caga	tac	cacc	ggt	60
gaaa	attg	tgt	tgac	acag	tc t	.ccaç	ccac	eq et	gtc	tttg	t ct	ccag	gcga	aag	gagco	acc	. 120
ctct	cct	gcc	gaac	aagt	ga a	aato	gttta	ac a	gcta	cttag	g cc	tggt	acca	aca	agaaa	cct	180
ggc	cagg	ctc	ctag	gctc	ct c	atct	attt	t g	caaa	aacc	t. ta	gcag	aagg	, aat	tcca	gcc	240
aggt	tca	gtg	gcag	tgga	tc c	ggga	caga	ac ti	cac	tctc	а сс	atca	gcag	ı cct	agag	cct	300
gaag	gatti	ttg	cagt	ttat	ta c	tgto	aaca	at ca	attc	gat	a at	ccgt	ggac	att	cggc	caa	360
9998	acca	agg	tgga	aato	aa a	ggtg	gegg	gt gg	gctc	gggc	g gt	ggtg	gato	tgg	gagga	ggt	420

ggggctagcg	aggtgcagct	ggtggagtct	ggtggaggct	tggtccagcc	tggagggtcc	480
ctgagactct	cctgtgcagc	ctctggattc	accttcagtg	gctacaatat	gaactgggtc	540
cgccagatgc	ccgggaaagg	cctggagtgg	atgggcaata	ttgatcctta	ttatggtggt	600
actacctaca	accggaagtt	caagggccag	gtcactatct	ccgccgacaa	gtccatcagc	660
accgcctacc	tgcaatggag	cagcctgaag	gcctcggaca	ccgccatgta	ttactgtgca	720
cgctcagtcg	gccctatgġa	ctactggggc	cgcggcaccc	tggtcactgt	ctcctcgagc	780
gagcccaaat	cttctgacaa	aactcacaca	tctccaccgt	gcccagcacc	tgaactcctg	840
ggtggaccgt	cagtcttcct	cttccccca	aaacccaagg	acaccctcat	gateteeegg	900
acccctgagg	tcacatgcgt	ggtggtggac	gtgagccacg	aagaccctga	ggtcaagttc	960
aactggtacg	tggacggcgt	ggaggtgcat	aatgccaaga	caaagccgcg	ggaggagcag	1020
tacaacagca	cgtaccgtgt	ggtcagcgtc	ctcaccgtcc	tgcaccagga	ctggctgaat	1080
ggcaaggagt	acaagtgcaa	ggtctccaac	aaagccctcc	cagcccccat	cgagaaaacc	1140
atctccaaag	ccaaagggca	gccccgagaa	ccacaggtgt	acaccctgcc	cccatcccgg	1200
gatgagctga	ccaagaacca	ggtcagcctg	acctgcctgg	tcaaaggctt	ctatccaagc	1260
gacatcgccg	tggagtggga	gagcaatggg	cagccggaga	acaactacaa	gaccacgcct	1320
cccgtgctgg	actccgacgg	ctccttcttc	ctctacagca	agctcaccgt	ggacaagagc	1380
aggtggcagc	aggggaacgt	cttctcatgc	tccgtgatgc	atgaggetet	gcacaaccac	1440
tacacgcaga	agagcctctc	cctgtctccg	ggtaaa	:		1476
·	•				.= .= .	

<210> 38

<211> 492

<212> PRT

<213> Secuencia artificial

<220>

<223> TRU-016 humanizado

10

5

<400> 38

Met Glu Ala Pro Ala Gln Leu Leu Phe Leu Leu Leu Leu Trp Leu Pro 1 5 10 15

Asp Thr Thr Gly Glu Ile Val Leu Thr Gln Ser Pro Ala Thr Leu Ser 20 25 30

Leu Ser Pro Gly Glu Arg Ala Thr Leu Ser Cys Arg Thr Ser Glu Asn 35 40 45

Val Tyr Ser Tyr Leu Ala Trp Tyr Gln Gln Lys Pro Gly Gln Ala Pro
50 60

Arg 65	Leu	Leu	Ile	Tyr	Phe 70	Ala	Lys	Thr	Leu	Ala 75	Glu	Gly	Ile		Ala 80	
Arg	Phe	Ser	Gly	Ser 85	Gly	Ser	Gly	Thr	Asp 90	Phe	Thr	Leu	Thr	Ile 95	Ser	
Ser	Ļeu	Glu	Pro 100	Glu	Asp	Phe	Ala	Val 105	Tyr	Ţyr	Cys		His 110	His	Ser	
Asp	Asn	Pro 115	Trp	Thr	Phe	Gly	Gln 120		Thr	Lys	Val	Glu 125	Ile		Gly	
Gly	Gly 130	Gly	Ser	Gly	Gly	Gly 135	Gly	Ser	Gly	Gly	Gly 140	Gly	Ala	Ser	Glu	
Val 145	Gln	Leu	Val.	Glu	Ser 150	Gly	Gly	Gly	Leu	Val 155	Gln	Pro	Gly	Gly	Ser 160	
Leu	Arg	Leu	Ser	Cys 165	Alạ	Ala	Ser	Gly	Phe 170	Thr	Phe	Ser	Gly	Tyr 175	Asn	
Met	Asn	Trp	Val 180	Arg	Gln	Met		Gly 185	Lys	Gly	Leu	Glu	Trp 1-90-		Gly	
Asn	Ile	Asp 195	Pro	Tyr	Tyr	Gly	Gly 200	Thr	Thr	Tyr	Asn	Arg 205	Lys	Phe	ГУS	,
Gly	Gln 210	Val	Thr	Ile	Ser	Ala 215	Asp	Lys	Ser	Ile	Ser 220	Thr	Ala	Tyr	Leu	
Gln 225	Trp	Ser	Ser	Leu	Lys 230	Ala	Ser	Asp	Thr	Ala 235	Met	Tyr	Tyr	Cys	Ala 240	
Arg	Ser	Val	Gly	Pro 245		Asp	Tyr	Trp	Gly 250	Arg	Gly	Thr	Leu	Val 255		
Val	Ser	Ser	Ser 260	Glu	.Pro	Lys	Ser	Ser 265	Asp	Lys	Thr	His	Thr 270	Ser	Pro	
Pro	Ċys	Pro 275	Ala	Pro	Glu	Leu	Leu 280	Gly	Gly	Pro	Ser	Val 285	Phe	Leu	Phe	
Pro	Pro 290	Lys	Pro	Lys	·Asp	Thr 295	Leu	Met	Ile	Ser	Arg 300	Thr	Pro	Glu	Val	
Thr 305	-	Val	Val	Val	Asp 310	Val	Ser	His	Glu	Asp 315	Pro	Glu	Val	Lys	Phe 320	-:

Asn	Trp	Tyr	Val	Asp 325	Gly	Val	Glu	Val	His 330	Asn	Ala	Lys ,	Thr	Lys 335	Pro		
Arg	Glu	Glu	Gln 340	Tyr	Asn	Ser	Thr	Tyr 345	Arg	Val	Val	Ser	Val 350	Leu	Thr		
Val	Leu	His 355	Gln	Asp	Trp	Leu	Asn 360	Gly	Lys	Glu	Tyr	Lys 365	Cys	Lys	Val		
Ser	Asn 370	Lys	Ala	Leu		Ala 375	Pro	Ile	Glu	Lys	Thr 380	Ile	Ser	Lys	Ala		
Lys 385	Gly	Gln	Pro	Arg	Glu 390		Gln	Val	Tyr	Thr 395	Leu	Pro	Pro	Ser	Arg 400		
Asp	Glu	Leu	Thr	Lys 405	Asn	Gln	Val	Ser	Leu 410		Cys	Leu	Val	Lys 415	Gly		
Phe	Tyr	Pro	Ser 420	Asp	Ile	Ala	Val	Glu 425	Trp	Glu	Ser	Asn	Gly 430	Gln	Pro		
Glu	Asn	Asn 435	Tyr	Lys	Thr	Thr	Pro 440	Pro	Val	Leu	Asp	Ser 445	Asp	Gly	Ser		
	Phe 450	Leu	Tyr	Ser	Lys	Leu 455		Val	Asp	Lys	Ser 460	Arg	Trp	Gln	Gln		
Gly 465		Val	Phe	Ser	Cys 470	Ser	Val ⁻	Met	His	Glu 475	Ala	Leu	His	Asn	His 480		
Tyr	Thr	Gln	Lys	Ser 485	Leu	Ser	Leu	Ser	Pro 490	Gly	Lys			,			
<210><211><211><212><213>	1476 ADN		a artif	icial													
<220> <223>					lo												
<400>	39																
atgga	agca	ac ca	agcg	cagct	tc!	tctt	cata	ctg	ctac	tct	ggct	ccca	ga t	acca	ccggt	:	60
gaaat	tgt	gt to	gaca	cagto	c ta	cagc	cacc	ctg	tett	tgt	ctcc	aggc	ga a	agag	ccacc	1	20
ctctc	cctgo	cc ga	aacaa	agtga	a aaa	atgti	tac	agc	tact	tag	cctg	gtac	ca a	caga	aacct	1	80
															cagco		4 C
aggtt	cagt	g go	cagt	ggato	c cgg	ggaca	agac	ttc	actc	tca	ccat	cagc	ag c	ctag	agcct	: 3	00

gaagattttg	cagtttatta	ctgtcaacat	cattccgata	atccgtggac	atteggeeaa	360
gggaccaagg	tggaaatcaa	aggtggcggt	ggctcgggcg	gtggtggatc	tggaggaggt	420
ggggctagcg	aggtgcagct	ggtggagtct	ggtggaggct	tggtccagcc	tggagggtcc	480
ctgagactct	cctgtgcagc	ctctggattc	accttcagtg	gctacaatat	gaactgggtc	540
cgccagatgc	cçgggaaagg	cctggagtgg	atgggcaata	ttgatcctta	ttatggtggt	600
actacctaca	accggaagtt	caagggccag	gtcactatct	ccgccgacaa	gtccatcagc	660
accgcctacc	tgcaatggag	cagcctgaag	gcctcggaca	ccgccatgta	ttactgtgca	720
cgctcagtcg	gccctatgga	ctactggggc	cgcggcaccc	tggtcactgt	ctcctcgagc	780
gagcccaaat	cttctgacaa	aactcacaca	tgcccaccgt	gcccagcacc	tgaactcctg	840
ggtggaccgt	cagtetteet	cttccccca	aaacccaagg	acáccctcat	gatctcccgg	900
acccctgagg	tcacatgcgt	ggtggtggac	gtgagccacg	aagaccctga	ggtcaagttc ·	960
aactggtacg	tggacggcgt	ggaggtgcat	aatgccaaga	caaagccgcg	ggaggagcag	1020
tacaacagca	cgtaccgtgt	ggtcagcgtc.	ctcaccgtcc	tgcaccagga	ctggctgaat	1080
ggcaaggagt	acaagtgcaa	ggtctccaac	aaagccctcc	cagcccccat	cgagaaaacc	1140
atctccaaag	ccaaagggca	gccccgagaa	ccacaggtgt	acaccctgcc	cccatcccgg	1200
gatgagctga	cċaagaacca	ggtcagcctg	acctgcctgg	tcaaaggctt	ctatccaagc	1260
gacatcgccg	tggagtggga	gagcaatggg	cagccggaga	acaactacaa	gaccacgcct	1320
cccgtgctgg	actccgacgg	ctccttcttc	ctctacagca	agctcaccgt	ggacaagagc	1380
aggtggcagc	aggggaacgt	cttctcatgc	tccgtgatgc	atgaggctct	gcacaaccac	1440
tacacgcaga	agageetete	cctgtctccg	ggtaaa			1476

<210> 40

<211> 492 <212> PRT

<213> Secuencia artificial

<220>

<223> TRU-016 humanizado

10

5

<400> 40

Met Glu Ala Pro Ala Gln Leu Leu Phe Leu Leu Leu Leu Trp Leu Pro 1 5 10 10 15

Asp Thr Thr Gly Glu Ile Val Leu Thr Gln Ser Pro Ala Thr Leu Ser 20 25 30

Leu Ser Pro Gly Glu Arg Ala Thr Leu Ser Cys Arg Thr Ser Glu Asn 35 40 40 45

	Tyr 50	Ser	.Tyr	Leu ,	Ala	Trp 55	Tyr	Gln	Gln	Lys	Pro 60	Gly	Gln	Ala	Pro
Arg 65	Leu	Leu	Ile	Tyr	Phe 70	Ala	Lys	Thr	Leu	Ala 75	Glu	Gly	Ile	Pro	Ala 80
Arg	Phe	Ser	Gly	Ser 85	Gly	Ser	Gly	Thr	Asp 90	Phe	Thr	Leu	Thr	Ile 95	Ser
Ser	Leu	Glu	Pro 100	Glu	Asp	Phe	Ala	Val 105	Tyr	Tyr	Cys	Gln	His 110	His	Ser
Asp	Asn	Pro 115	Trp	Thr	Phe	Gly	Gln 120	Gly	Thr	Lys	Val	Glu 125	Ile	Lys	Gly
Gly	Gly 130	Gly	Ser	Gly	Gly	Gly 135	Gly	Ser	Gly	Gly	Gly 140	Gly	Ala	Ser	Glu
Val 145	Gln	Leu	Val	Glu ,	Ser 150	Gly	Gly	Gly	Leu	Val 155	Gln	Pro	Gly	Gly	Ser 160
Leu	Arg	Leu	Ser	Cys 165	Ala	Ala	Ser	Gly	Phe 170	Thr	Phe	Ser	Gly	Tyr 175	Asn
Met	Asn	Trp	Val 180	Ärg	Gln	Met	Pro	Gly 185	Lys	Gly	Leu	Glu	Trp 190	Met	Gly
Asn	Ile	Asp 195	Pro	Tÿr	Tyr	Gly	Gly 200	Thr	Thr	Tyr	Asn	Arg 205	Lys	Phe	Lys
Gly	Gln 210	Val	Thr	Ile	Ser	Ala 215	Asp	Lys	Ser	Ile	Ser 220	Thr	Ala	Tyr	Leu
Gln 225	Trp	Ser	Ser	Leu	Lys 230	Ala	Ser	Asp	Thr	Ala 235		Tyr	Tyr	Cys	Ala 240
Arg	Ser	Val	Gly	Pro 245	Met	Asp	Tyr	Trp	Gly 250	Arg	Gly	Thr		Val 255	Thr
Val	Ser	Ser	Ser 260	Glu	Pro	Lys	Ser	Ser 265	Asp	Lys	Thr	His	Thr 270	Сув	Pro
Pro	Cys	Pro 275	Ala	Pro	Glu	Leu	Leu 280	Gly.	Gly	Pro	Ser	Val 285	Phe	Leu	Phe
	Pro 290	Lys	Pro	Lys	Asp	Thr 295	Leu	Met	Ile	Ser	Arg 300	Thr	Pro	Glu	Val

Thr 305	Cys	Val	Val	Val	Asp 310	Val	Ser	His	Glu	Asp 315	Pro	Glu	Val	Lys	Phe 320	
Asn	Trp	Tyr	Val	Asp 325	Gly	Val	Glu	Val	His 330	Asn	Ala	Lys	Thr	Lys 335	Pro .	
Arg	Glu	Glu	Gln 340	Tyr	Asn	Ser	Thr	Tyr 345	Arg	Val	Val	Ser	Val 350	Leu	Thr	
Val	Leu	His 355		Asp	Trp	Leu	Asn 360		Lys	Glu	_	Lys 365	Суз	Lys	Val_	
Ser	Asn 370	Lys	Ala	Leu	Pro	Ala 375	Pro	lle	Glu	ГÀЗ	Thr 380	Ile	Ser	Lys	Ala	
Lys 385	Gly	Gln	Pro	Arg	Glu 390	Pro	Gln	Val	Tyr	Thr 395	Leu	Pro	Pro	Ser	Arg 400	
Asp	Glu	Leu		Lys 405	Asn	Gln	Val	Ser	Leu 410	Thr	Cys	Leu	Val	Lys 415	Gly	
Phe	Tyr	Pro	Ser 420	Asp	Ile	Ala		Glu 425	Trṗ	Glu	Ser	Asn	Gly 430	Gln	Pro	
Glu	Asn	Asn 435	Tyr	Lys	Thr	Thr	Pro 440	Pro	Val	Leu	Asp	Ser 445	Asp	Gly	Ser	
Phe	Phe 450	-Leu	Tyr	Ser	Lys	Leu 455	Thr	Val	_	Lys	Ser 460	Arg	Trp	Gln	Gln	
Gly 465		Val	Phe	Ser	Cys 470	Ser	Val	Met		Glu 475	Ala	Leu	His	Asn	His 480	
Tyr	Thr	Gln		Ser 485	Leu	Ser	Leu	Ser	Pro 490	Gly	Lys					
<210 <211 <212 <213	> 147 > AD	N	ia art	ificial												
<220 <223		U-016	6 hum	aniza	ıdo											
<400	> 41															
atg	gaag	gcac	cago	cgca	gct	tctc	ttcc	tc c	tgct	acto	t gg	gctc	ccag	a ta	ccaccggt 6	5(
gaa	atto	gtgt	tgad	caca	gtc	tcca	gcca	àa c	tgtc	tttg	jt ct	cca	ggcg	a aa	gagccacc 12	2 (
- ctc	tcct	gcc	gaad	caag	tga	aaat	gttt	ac a	ıgcta	ctta	ıg co	etggi	tacc	a ac	agaaacct 18	3 (

```
ggccaggptc ctaggctcct catctatttt gcaaaaacct tagcagaagg aattccagcc
                                                                     240
aggttcagtg gcagtggatc cgggacagac ttcactctca ccatcagcag cctagagcct
                                                                     300
gaagattttg cagtttatta ctgtcaacat cattccgata atccgtggac attcggccaa
                                                                     360
gggaccaagg tggaaatcaa aggtggcggt ggctcgggcg gtggtggatc tggaggaggt
                                                                   420
ggggctagcg aggtgcagct ggtggagtct ggtggaggct ctgtccagcc tggagggtcc
                                                                     480
ctgagactct cctgtgcagc ctctggattc accttcagtg gctacaatat gaactgggtc
                                                                     540
cgccagatgc ccgggaaagg cctggagtgg atgggcaata ttgatcctta ttatggtggt
                                                                     600
actacetaca aceggaagtt caagggeeag gteactatet eegeegaeaa gteeateage
                                                                     660
accgcctacc tgcaatggag cagcctgaag gcctcggaca ccgccatgta ttactgtgca
                                                                     720
cgctcagtcg gccctatgga ctactggggc cgcggcaccc tggtcactgt ctcctcgagc
                                                                     780
gageceaaat ettetgacaa aacteacaca tetecacegt geecageace tgaacteetg
                                                                     840
ggtggaccgt cagtcttcct cttccccca aaacccaagg acaccctcat gatctcccgg
                                                                     900
acccctgagg tcacatgcgt ggtggtggac gtgagccacg aagaccctga ggtcaagttc
                                                                     960
aactggtacg tggacggcgt ggaggtgcat aatgccaaga caaagccgcg ggaggagcag
                                                                    1020
tacaacagca cgtaccgtgt ggtcagcgtc ctcaccgtcc tgcaccagga ctggctgaat
                                                                    1080
ggcaaggagt acaagtgcaa ggtctccaac aaagccctcc cagcccccat cgagaaaacc
                                                                    1140
atotocaaag ccaaagggca gccccgagaa ccacaggtgt acaccctgcc cccatcccgq
                                                                    1200
gatgagetga ccaagaacca ggteageetg acetgeetgg teaaaggett etatecaage.
                                                                    1260
gacatogoog tggagtggga gagcaatggg cagcoggaga acaactacaa gaccacgcot
                                                                    1320
cccgtgctgg actccgacgg ctccttcttc ctctacagca agctcaccgt ggacaagagc
                                                                    1380
aggtggcagc aggggaacgt cttctcatgc tccgtgatgc atgaggctct gcacaaccac
                                                                    1440
tacacgcaga agagcctctc cctgtctccg ggtaaa
                                                                    1476
```

<210> 42

<211> 492

<212> PRT

<213> Secuencia artificial

<220>

<223> TRU-016 humanizado

10 <400> 42

Met Glu Ala Pro Ala Gln Leu Leu Phe Leu Leu Leu Trp Leu Pro 1 5 10 15

Asp Thr Thr Gly Glu Ile Val Leu Thr Gln Ser Pro Ala Thr Leu Ser 20 25 30

Leu	Ser	Pro 35	Gly	Glu	Arg	Ala	Thr 40	Leu	Ser	Cys	Arg	Thr 45	Ser	Glu	Asn
Val	Tyr 50	Ser	Tyr	Leu	Ala	Trp 55	Tyr	Gln	Gln	Lys	Pro 60	Gly	Gln	Ala	Pro
Arg 65	Leu	Leu	Ile	Tyr	Phe 70	Ala	Lys	Thr	Leu	Ala 75	Glu	Gly	Ile	Pro	Ala 80
Arg	Phe	Ser	Gly	Ser 85	Gly	Ser	Gly	Thr	Asp 90	Phe	Thr	Leu	Thr	11e 95	Ser
Ser	Leu	Glu	Pro 100	Glu	Asp	Phe	Ala	Val 105	Tyr	Tyr	Cys	Gln	His 110	His	Ser
Asp	Asn	Pro 115	Trp	Thr	Phe	Gly	Gln 120	Gly	Thr	Lys	Val	Glu 125	Ile	Lys	Gly
Gly	Gly 130	Gly	Ser	Gly	Gly	GÌy 135	Gly	ser	Gly	Gly	Gly 140	GJÁ	Ala	Ser	Glu
Val 145	Gln	Leu	Val	Glu	Ser 150	Gly	Gly	Gly.	Ser	Val 155	Gln	Pro	Gly	Gly	Ser 160
Leu	Arg	Leu	Ser	Cys 165	Ala	Ala	Ser	Gly	Phe 170	Thr	Phe	Ser	Gly	Tyr 175	Asn
Met	Asn	Trp	Val 180	Arg	Gln	Met	Pro	Gly 185	Lys	Gly	Leu	Glu	Trp 190	Met	Gly
Asn	Ile	Asp 195	Pro	Tyr	Tyr	Gly	Gly 200	Thr	Thr	Tyr	Asn	Arg 205	Lys	Phe	Lys
	Gln 210		Thr	Ile	Ser	Ala 215	Asp	Lys	Ser	Ile	Ser 220	Thr	Ala	Tyr	Leu
Gln 225	Trp	Ser	Ser	Leu	Lys 230	Ala	Ser	Asp	Thr	Ala 235	Met	Tyr	Tyr	Cys	Ala 240
Arg	Ser	Val	Gly	Pro 245	Met	Asp	Tyr	Trp	Gly 250	Arg	Gly	Thr	Leu	Val 255	Thr
Val	Ser	Ser	Ser 260	Glu	Pro	Ľys	Ser	Ser 265	Asp	Lys	Thr	His	Thr. 270	Ser	Pro
Pro	Cys	Pro 275		Pro	Glu	Leu	Leu 280	Gly	Gly ,	Pro	Ser	Val 285	Phe	Leu	Phe

Thr Cys Val Val Val Asp Val Ser His Glu Asp Pro Glu Val Lys Phe 320 Asn Trp Tyr Val Asp Gly Val Glu Val His Asn Ala Lys Thr Lys Pro 325 Arg Glu Glu Gln Tyr Asn Ser Thr Tyr Arg Val Val Ser Val Leu Thr 340 Val Leu His Gln Asp Trp Leu Asn Gly Lys Glu Tyr Lys Cys Lys Val 355 Ser Asn Lys Ala Leu Pro Ala Pro Ile Glu Lys Thr Ile Ser Lys Ala 370 Lys Gly Gln Pro Arg Glu Pro Gln Val Tyr Thr Leu Pro Pro Ser Arg 385 Asp Glu Leu Thr Lys Asn Gln Val Ser Leu Thr Cys Leu Val Lys Gly 405 Phe Tyr Pro Ser Asp Ile Ala Val Glu Trp Glu Ser Asn Gly Gln Pro 420 Glu Asn Asn Tyr Lys Thr Thr Pro Pro Val Leu Asp Ser Asp Gly Ser 435 Phe Phe Leu Tyr Ser Lys Leu Thr Val Asp Lys Ser Arg Trp Gln Gln 450 Gly Ash Val Phe Ser Cys Ser Val Met His Glu Ala Leu His Asn His 485 Tyr Thr Gln Lys Ser Leu Ser Leu Ser Pro Gly Lys 485 210> 433 atggaagcac cagegcagct teteteteete etgetaetet ggeteecaga taccaceggt atggaagcac cagegcagct teteteteete etgetaetet ggeteecaga taccaceggt		Pro	Pro 290	Lys	Pro	Lys	Asp	Thr 295	Leu	Met	Ile	ser	Arg 300	Thr	Pro	Glu	Val	
325 Arg Glu Glu Gln Tyr Asn Ser Thr Tyr Arg Val Val Ser Val Leu Thr 340 Val Leu His Gln Asp Trp Leu Asn Gly Lys Glu Tyr Lys Cys Lys Val 365 Ser Asn Lys Ala Leu Pro Ala Fro Ile Glu Lys Thr Ile Ser Lys Ala 370 Lys Gly Gln Pro Arg Glu Pro Gln Val Tyr Thr Leu Pro Pro Ser Arg 395 Asp Glu Leu Thr Lys Asn Gln Val Ser Leu Thr Cys Leu Val Lys Gly 410 Asp Glu Leu Thr Lys Asn Gln Val Ser Leu Thr Cys Leu Val Lys Gly 415 Phe Tyr Pro Ser Asp Ile Ala Val Glu Trp Glu Ser Asn Gly Gln Pro 420 Glu Asn Asn Tyr Lys Thr Thr Pro Pro Val Leu Asp Ser Asp Gly Ser 435 Phe Phe Leu Tyr Ser Lys Leu Thr Val Asp Lys Ser Arg Trp Gln Gln 450 Gly Asn Val Phe Ser Cys Ser Val Met His Glu Ala Leu His Asn His 465 Tyr Thr Gln Lys Ser Leu Ser Leu Ser Pro Gly Lys 490 1210> 43 1211> 1476 1212> ADN 1220> 2223> TRU-016 humanizado			Cys	Val	Val	Val		Val	Ser	His			Pro	Glu	Val	Lys		
Arg Glu Glu Gln Tyr Asn Ser Thr Tyr Arg Val Val Ser Val Leu Thr 340 Val Leu His Gln Asp Trp Leu Asn Gly Lys Glu Tyr Lys Cys Lys Val 355 Ser Asn Lys Ala Leu Pro Ala Pro Ile Glu Lys Thr Ile Ser Lys Ala 370 Lys Gly Gln Pro Arg Glu Pro Gln Val Tyr Thr Leu Pro Pro Ser Arg 390 Asp Glu Leu Thr Lys Asn Gln Val Ser Leu Thr Cys Leu Val Lys Gly 410 Phe Tyr Pro Ser Asp Ile Ala Val Glu Trp Glu Ser Asn Gly Gln Pro 420 Glu Asn Asn Tyr Lys Thr Thr Pro Pro Val Leu Asp Ser Asp Gly Ser 435 Phe Phe Leu Tyr Ser Lys Leu Thr Val Asp Lys Ser Arg Trp Gln Gln 450 Gly Asn Val Phe Ser Cys Ser Val Met His Glu Ala Leu His Asn His 470 Tyr Thr Gln Lys Ser Leu Ser Leu Ser Pro Gly Lys 485 2210> 43 2210> 43 2210> 43 2220> 2223> TRU-016 humanizado 4400> 43		Asn	Trp	Tyr	Val		Gly	Val	Glu	Val		Asn	Ala	Lys	Thr		Pro	
340 Val Leu His Gln Asp Trp Leu Asn Gly Lys Glu Tyr Lys Cys Lys Val 355 Ser Asn Lys Ala Leu Pro Ala Pro Ile Glu Lys Thr Ile Ser Lys Ala 370 Lys Gly Gln Pro Arg Glu Pro Gln Val Tyr Thr Leu Pro Pro Ser Arg 385 Asp Glu Leu Thr Lys Asn Gln Val Ser Leu Thr Cys Leu Val Lys Gly 405 Phe Tyr Pro Ser Asp Ile Ala Val Glu Trp Glu Ser Asn Gly Gln Pro 420 Glu Asn Asn Tyr Lys Thr Thr Pro Pro Val Leu Asp Ser Asp Gly Ser 435 Phe Phe Leu Tyr Ser Lys Leu Thr Val Asp Lys Ser Arg Trp Gln Gln 450 Gly Asn Val Phe Ser Cys Ser Val Met His Glu Ala Leu His Asn His 465 Tyr Thr Gln Lys Ser Leu Ser Leu Ser Pro Gly Lys 485 2210> 43 2211> 1476 2212> ADN 2222> 2223> TRU-016 humanizado											330					333		•
355 Ser Asn Lys Ala Leu Pro Ala Pro Ile Glu Lys Thr Ile Ser Lys Ala 370 Lys Gly Gln Pro Arg Glu Pro Gln Val Tyr Thr Leu Pro Pro Ser Arg 395 Asp Glu Leu Thr Lys Asn Gln Val Ser Leu Thr Cys Leu Val Lys Gly 410 Phe Tyr Pro Ser Asp Ile Ala Val Glu Trp Glu Ser Asn Gly Gln Pro 420 Glu Asn Asn Tyr Lys Thr Thr Pro Pro Val Leu Asp Ser Asp Gly Ser 435 Phe Phe Leu Tyr Ser Lys Leu Thr Val Asp Lys Ser Arg Trp Gln Gln 450 Gly Asn Val Phe Ser Cys Ser Val Met His Glu Ala Leu His Asn His 465 Tyr Thr Gln Lys Ser Leu Ser Leu Ser Pro Gly Lys 495 2210> 43 2220> 2220> 223> TRU-016 humanizado		Arg	Glu	Glu		Tyr	Asn	Ser	Thr			Val	Val	Ser		Leu	Thr	
170 375 380 Lys Gly Gln Pro Arg Glu Pro Gln Val Tyr Thr Leu Pro Pro Ser Arg 385 Asp Glu Leu Thr Lys Asn Gln Val Ser Leu Thr Cys Leu Val Lys Gly 410 Phe Tyr Pro Ser Asp Ile Ala Val Glu Trp Glu Ser Asn Gly Gln Pro 420 Glu Asn Asn Tyr Lys Thr Thr Pro Pro Val Leu Asp Ser Asp Gly Ser 445 Phe Phe Leu Tyr Ser Lys Leu Thr Val Asp Lys Ser Arg Trp Gln Gln 450 Gly Asn Val Phe Ser Cys Ser Val Met His Glu Ala Leu His Asn His 465 Tyr Thr Gln Lys Ser Leu Ser Leu Ser Pro Gly Lys 485 2210> 43 2220> 2223> TRU-016 humanizado 4400 Asp Glu Val Tyr Thr Gln Lys Gly Asn Val Humanizado 4400 Asp Glu Leu Pro Pro Ser Arg Gly Gln Pro 425 Asp Gly Asn Val Phe Ser Cys Ser Val Met His Glu Ala Leu His Asn His 465 Asp Gly Lys 43 2210> 43 2210> 43 2210> 43 2210> 43 2210> 43 2210> 43 2210> 43 2210> 43		Val	Leu		Gln	Asp	Trp	Leu		Gly	Lys	Glu	Tyr		Cys	Lys	Val	
Asp Glu Leu Thr Lys Asn Gln Val Ser Leu Thr Cys Leu Val Lys Gly 405 Phe Tyr Pro Ser Asp Ile Ala Val Glu Trp Glu Ser Asn Gly Gln Pro 420 Glu Asn Asn Tyr Lys Thr Thr Pro Pro Val Leu Asp Ser Asp Gly Ser 435 Phe Phe Leu Tyr Ser Lys Leu Thr Val Asp Lys Ser Arg Trp Gln Gln 450 Gly Asn Val Phe Ser Cys Ser Val Met His Glu Ala Leu His Asn His 465 Tyr Thr Gln Lys Ser Leu Ser Leu Ser Pro 485 Gly Asn Val Ser Leu Ser Leu Ser Pro 485 Gly Lys 485 Tyr Thr Gln Lys Ser Leu Ser Leu Ser Pro 610 Lys 6210> 43 6211> 1476 6212> ADN 6220> 6220> 6233> TRU-016 humanizado		Ser		Lys	Ala	Leu	Pro		Pro	Ile	Glu	Lys		Ile	Ser	Lys	Ala	
## Tyr Pro Ser Asp Ile Ala Val Glu Trp Glu Ser Asn Gly Gln Pro 420 ## Glu Asn Asn Tyr Lys Thr Thr Pro Pro Val Leu Asp Ser Asp Gly Ser 435 ## Phe Phe Leu Tyr Ser Lys Leu Thr Val Asp Lys Ser Arg Trp Gln Gln 450 ## Gly Asn Val Phe Ser Cys Ser Val Met His Glu Ala Leu His Asn His 465 ## Tyr Thr Gln Lys Ser Leu Ser Leu Ser Pro Gly Lys 485 ## 210 > 43 ## 2210 > 43 ## 2210 > 43 ## 2220 > 2223 TRU-016 humanizado			Gly	Gln	Pro	Arg		Pro	Gln	Val	Tyr			Pro	Pro	Ser	-	•
Glu Asn Asn Tyr Lys Thr Thr Pro Pro Val Leu Asp Ser Asp Gly Ser 435 Phe Phe Leu Tyr Ser Lys Leu Thr Val Asp Lys Ser Arg Trp Gln Gln 450 Gly Asn Val Phe Ser Cys Ser Val Met His Glu Ala Leu His Asn His 465 Tyr Thr Gln Lys Ser Leu Ser Leu Ser Pro Gly Lys 485 2210> 43 2211> 1476 2220> 2223> TRU-016 humanizado		Asp	Glu	Leu	Thr		Asn	Gln	Val	Ser		Thr	Сув	Leu	Val		Gly	,
Phe Phe Leu Tyr Ser Lys Leu Thr Val Asp Lys Ser Arg Trp Gln Gln 450 Gly Asn Val Phe Ser Cys Ser Val Met His Glu Ala Leu His Asn His 465 Tyr Thr Gln Lys Ser Leu Ser Leu Ser Pro Gly Lys 485 2210> 43 2211> 1476 2212> ADN 2213> Secuencia artificial 2220> 2223> TRU-016 humanizado		Phe	Tyr	Pro		Asp	Ile	Aļa	Val		Trp	Glu	Ser	Asn			, Pro	•
Gly Asn Val Phe Ser Cys		Glu	Asn		Tyr	Lys	Thr	Thr		Pro	Val	Leu	Asp		Asp	Gly	Ser	
465 470 475 480 Tyr Thr Gln Lys Ser Leu Ser Leu Ser Pro Gly Lys 485 490 2210> 43 2211> 1476 2212> ADN 2213> Secuencia artificial 2220> 2223> TRU-016 humanizado		Phe		Leu	Tyr	Ser	Lys		Thr	Val	Asp	Lys		Arg	Trp	Gln	Gln	
485 490 2210> 43 2211> 1476 2212> ADN 2213> Secuencia artificial 2220> 2223> TRU-016 humanizado				Val	Phe	Ser		Ser	Val	Met	His		Ala	Leu	His	Asn		
2211> 1476 2212> ADN 2213> Secuencia artificial 2220> 2223> TRU-016 humanizado		Tyr	Thr	Gln	Lys			Ser	Leu	Ser		Gly	Lys				,	
223> TRU-016 humanizado 2400> 43	2	211> 212> <i>i</i>	1476 ADN	encia	artific	cial												
			TRU-	016 h	umar	nizado)											
atggaagcac cagcgcagct totottooto otgotactot ggotoccaga taccaccggt	:2	، <100	43															
	a	tgga	agc	ac c	agc	gcag	ct t	ctc	tcc	tc c	tgci	tact	ct g	ggct	ccca	iga i	tacca	accggt

gaaattgtgt	tgacacagtc	tccagccacc	ctgtctttgt	ctccaggcga	aagagccacc	120
ctctcctgcc	gaacaagtga	aaatgtttac	agctacttag	cctggtacca	acagaaacct	180
ggccaggete	ctaggeteet	catctatttt	gcaaaaacct	tagcagaagg	aattccagcc	240
aggttcagtg	gcagtggatc	cgggacagac	ttcactctca	ccatcagcag	cctagagcct	300
gaagattttg	cagtttatta	ctgtcaacat	cattccgata	atccgtggac	attcggccaa	360
gggaccaagg	tggaaatcaa	aggtggcggt	ggctcgggcg	gtggtggatc	tggaggaggt	420
ggggctagcg	aggtgcagct	ggtggagtct	ggtggaggct	ctgtccagcc	tggagggtcc	480
ctgagactct	cctgtgcagc	ctctggattc	accttcagtg	gctacaatat	gaactgggtc	54.0
cgccagatgc	ccgggaaagg	cctggagtgg	atgggcaata	ttgatcctta	ttatggtggt	600
actacctaca	accggaagtt	caagggccag	gtcactatct	ccgccgacaa	gtccatcagc	660
accgcctacc	tgcaatggag	cagcctgaag	gcctcggaca	ccgccatgta	ttactgtgca	720
cgctcagtcg	gccctatgga	ctactggggc	cgcggcaccc	tggtcactgt	ctcctcgagc	780
gagcccaaat	cttctgacaa	aactcacaca	tgcccaccgt	gcccagcacc	tgaactcctg	840
ggtggaccgt	cagtcttcct	cttcccccca	aaacccaagg	acaccctcat	gateteeegg	900
acccctgagg	tcacatgcgt	ggtggtggac	gtgagccacg	aagaccctga	ggtcaagttc	960
aactggtacg	tggacggcgt	ggaggtgcat	aatgccaaga	caaagccgcg	ggaggagcag	1020
tacaacagca	cgtaccgtgt	ggtcagcgtc	ctcaccgtcc	tgcaccagga	ctggctgaat	1080
ggcaaggagt	acaagtgcaa	ggtctccaac	aaagccctcc	cagececcat	cgagaaaacc	1140
atctccaaag	ccaaagggca	gccccgagaa	ccacaggtgt	acaccctgcc	cccatcccgg	1200
gatgagctga	ccaagaacca	ggtcagcctg	acctgcctgg	tcaaaggctt	ctatccaagc	1260
gacatcgccg	tggagtggga	gagcaatggg	cagccggaga	acaactacaa	gaccacgcct	1320
cccgtgctgg	actccgacgg	ctccttcttc	ctctacagca,	agctcaccgt	ggacaagagc	1380
aggtggcagc	aggggaacgt	cttctcatgc	tccgtgatgc	atgaggctct	gcacaaccac	1440
tacacgcaga	agagcetete	cctgtctccg	ggtaaa	• .		1476

<210> 44

<211> 492

<212> PRT

<213> Secuencia artificial

<220>

<223> TRU-016 humanizado

10 <400> 44

5

Met Glu Ala Pro Ala Gln Leu Leu Phe Leu Leu Leu Leu Trp Leu Pro 1 5 10 15

Asp	Thr	Thr	Gly 20	Glu	Ile	Val	Leu	Thr 25	Gln	Ser	Pro	Ala	Thr 30	Leu	Ser	·
Leu	Ser	Pro 35	Gly	Glu	Arg	Ala	Thr 40	Leu	Ser	Cys	Arg	Thr 45	Ser	Glu	Asn	•
Val	Tyr 50	Ser	Tyr	Leu	Ala	Trp 55	Tyr	Gln	Glņ	Lys	Pro 60	Gly	Gln	Ala	Pro	
Arg 65	Leu	Leu	Ile	Tyr	Phe 70	Ala	Lys	Thr	Leu	Ala 75	Glu	Gly ,	Ile	Pro	Ala 80	
Arg	Phe	Ser	Gly	Ser 85	Glý	Ser	Gly	Thr	Asp 90	Phe	Thr	Leu	Thr	Ile 95	Ser	
Ser	Leu	Ġlu	Pro 100	Glu	Asp	Phe	Ala	Val 105	Tyr	Tyr	Cys	Gln	His 110	His	Ser	
Asp	Asn	Pro 115	Trp	Thr	Phe	_	Gln 120	Gly	Thr	Lys	Va1	Glu 125	Ile	Lys	Gly	
Gly	Gly 130	Gly	Ser	Gly	Gly	Gly 135	Gly	Ser	Gly	Gly	Gly 140	Gly	Ala	Ser	Glu	
Val 145	Gln	Leu	Val	Glu	Ser 150	Gly	Gly	Gly	Ser	Val 155	Gln	Pro	Gly	Gly	Ser 160	
Leu	Arg	Leu	Ser	Cys 165	Ala	Ala	Ser	Gly	Phe 170	Thr	Phe	ser	Gly	Tyr 175	Asn	
Met	Asn	Trp	Val 180	Arg	Gln	Met	Pro	Gly 185	Lys	Gly	Leu	Gľu	Trp 190	Met	Gly	
Asn	Ile	Asp 195	Pro	Tyr	Tyr	Gly	Gly 200		Thr	Tyr	Asn	Arg 205	Lys	Phe	ГÀЗ	
Gly	Gln 210		Thr	Ile	Ser.	Ala 215	Asp	Lys	Ser	Ile	Ser 220		Ala	Tyr	Leu	
Gln 225	Trp	Ser	Ser	Leu	Lys 230	Ala	Ser	Asp	Thr	Ala 235		Tyr	Tyr	Cys	Ala 240	
Arg	Ser	Val	Gly	Pro 245		Asp	Tyŗ	Trp	Gly 250	Arg	Gly	Thr	Leŭ	Val 255	Thr	
Val	Ser	Ser	Ser 260		Pro	ГÀз		Ser 265	Asp	ГÀЗ	Thr	His	Thr 270	Cys	Pro	

	Pro	Cys	Pro 275	Ala	Pro	Glu	Leu ;	Leu 280	Gly,	Gly	Pro	Ser	Val 285	Phe	Leu	Phe	
	Pro	Pro 290	Lys	Pro	Lys	Asp	Thr 295	Leu	Met	Ile	Ser	Arg 300		Pro	Glu	Val	
	Thr 305	Cys	Val	Val	Val	Asp 310	Val	Ser	His	Glu	Asp 315	Pro	Glu	Val	Lys	Phe 320	
•	Asn	Trp	Tyr	Val	Asp 325	Gly	Val	Glu	Val	His 330	Asn	Ala	'r\a'	Thr	Lys 335	Pro	
	Arg	Glu	Glu	Gln 340	Tyr	Asn	Ser	Thr	Tyr 345	Arg	Val	Val	Ser	Val 350		Thr	
	Val	Leu	His 355	Gln	Asp	Trp	Leu	Asn 360	_	Lys	Glu	Tyr	Lys 365	Cys	Lys	Val	
	Ser	Asn 370	Lys	Ala	Leu	Pro	Ala 375		Ile	Glu	ГÀЗ	Thr 380	Ile	Ser	Lys	Ala	
	Lys 385	Gly	Gln	Pro	Arg	Glu 390	Pro	Gln	Val	Tyr	Thr 395	Leu	Pro	Pro	Ser	Arg 400	
	Asp	Glu	Leu	Thr	Lys 405	Asn	Gln	Val	Ser	Leu 410	Thr	Cys	Leu	Val	Lys 415	Gly	
	Phe	Tyr	Pro	Ser 420		Ile	Ala		Glu 425	Trp	Glu	Ser	Asn	Gly 430	Gln	Pro	
	Glu	Asn	Asn 435	Tyr	Lys	Thr	Thr	Pro 440	Pro	Val	Leu	Asp	4 4 50	Asp	Gly	Ser	
	Phe	Phe 450		Tyr	Ser	Lys	Leu 455	Thr	Val	Asp	Lys	Ser 460	Arg	Trp	Gln	Gln	
	Gly 465	Asn	Val	Phe	Ser	Cys 470		Val	Met	His	Glu 475	Ala	Leu	His	Asn	His 480	
	Tyr	Thr	Gln	Lys	Ser 485	Leu	Ser	Leu	Ser	Pro 490	Gly	Lys					
:2 :2	10> 4 11> 1 12> <i>F</i> 13> 5	482 ADN	encia a	artifici	al												
	20> 23> 1	ΓRU-0)16 իւ	umani	zado												
4	00> 4	15															

```
atggaagtcc cagetcaget tetetteete etgetaetet ggeteecaga taecacegga
                                                                      60
gaaattgtgt tgacacagtc tccagccacc ctgtctttgt ctccaggcga aagagccacc
                                                                      120
ctctcctgcc gagcaagtca aagtgtttac agctacttag cctggtacca acagaaacct
                                                                      180
ggccaggctc ctaggctcct catctatttt gcaaaaacct tagcagaagg aattccagcc
                                                                      240
aggttcagtg gcagtggatc cgggacagac ttcactctca ccatcagcag cctagagcct
                                                                      300
gaagattttg cagtttatta ctqtcaacat cattccgata atccgtggac attcggccaa
                                                                     360
gggaccaagg tggaaatcaa aggtggcggt ggctcgggcg gtggtggatc tggaggaggt
                                                                      420
gggaccggtg aggtgcagct ggtgcagtct ggagcagagg tgaaaaagcc cggagagtct
                                                                      480
ctgaagattt cctgtaaggg atccggttac tcattcactg gctacaatat gaactgggtg
                                                                      540
cgccagatgc ccgggaaagg cctcgagtgg atgggcaata ttgatcctta ttatggtggt
                                                                      600
actacctaca accggaagtt caagggccag gtcactatct ccgccgacaa gtccatcagc
                                                                      660
accgcctacc tgcaatggag cagcctgaag gcctcggaca ccgccatgta ttactgtgca
                                                                      720
cgctcagtcg gccctatgga ctactggggc cgcggcaccc tggtcactgt ctcctctgat
                                                                     780
caggagecca aatettetga caaaacteac acatetecac egtgeecage acetgaacte
                                                                      840
etgggtggae egteagtett cetetteece ceaaaaccca aggacaccet catgatetee
                                                                      900
cggacccctg aggtcacatg cgtggtggtg gacgtgagcc acgaagaccc tgaggtcaag
                                                                      960
ttcaactggt acgtggacgg cgtggaggtg cataatgcca agacaaagcc gcgggaggag
                                                                     1020
cagtacaaca gcacgtaccg tgtggtcagc_gtcctcaccg tcctgcacca ggactggctg_
                                                                    1080
aatggcaagg agtacaagtg caaggtotoc aacaaagcoc toocagcocc categagaaa
                                                                    1140
accateteca aagecaaagg geageceega gaaccaeagg tgtacaeeet geeeecatee
                                                                     1200
cgggatgagc tgaccaagaa ccaggtcagc ctgacctgcc tggtcaaagg cttctatcca '
                                                                    1260
agcgacatcg ccgtggagtg ggagagcaat gggcagccgg agaacaacta caagaccacg
                                                                    1320
cctcccgtgc tggactccga cggctccttc ttcctctaca gcaagctcac cgtggacaag
                                                                     1380
agcaggtggc agcaggggaa cgtcttctca tgctccgtga tgcatgaggc tctgcacaac
                                                                     1440
cactacacgo agaagagoot otocotgtot cogggtaaat ga
                                                                     1482
```

<210> 46

<211> 493

<212> PRT

<213> Secuencia artificial

<220>

<223> TRU-016 humanizado

<400> 46

10

Met Glu Ala Pro Ala Gln Leu Leu Phe Leu Leu Leu Leu Trp Leu Pro

1				5					10		· .			15		
Asp	Thr	Thr	Gly 20	Glu	Ile	Va l	Leu.	Thr 25	Gln	Ser	Pro	Ala	Thr 30	Leu	Ser	
Leu	Ser	Pro 35	Gly	Glu	Arg	Ala	Thr 40	Leu	Ser	Cys	Arg	Ala 45	Ser	Gln	Ser	,
Val	Tyr 50	Ser	Tyr	Leu	Ala	Trp 55	Tyr	Gln	Gln	Lys	Pro 60	Gly	Gln	Ala	Pro	. •
Arg 65	Leu	Leu	Ile	Tyr	Phe 70	Àla	Lys	Thr	Leu	Ala 75	Glu	Gly	Ile	Pro	Ala 80	
Arg	Phe	Ser	Gly	Ser 85	Gly	Ser	Gly	Thr	Asp 90	Phe	Thr	Leu	Thr	Ile 95	Ser	
Ser	Leu	Glu	Pro 100	Glu	Asp	Phe	Ala	Val 105	Tyr	Tyr	Сув	Gln	His 110	His	Ser	
Asp	Asn	Pro 115	Trp	Thr	Phe	Gly	Gln 120	Gly	Thr	Ĺys	Val	Glu 125	Ile	Lys	Gly	· ·
Gly	Gly 130	Gly	Ser	Gly	Gly	Gly 135	Gly	Ser	Gly	Gly	Gly 140	Gly	Thr	Gly	Glu	
Val 145	Gln	Leu	<u>Val</u>	Gln	Ser 150	Gly	.A.la	_Glu	Val	Lys 155	Lys	Pro	Gly.	Glu [°]	Ser - 160	
Leu	Lys	Ile	Ser	Cys 165	Lys	Gly	Ser	Gly	Tyr 170	Ser	Phe	Thr	Gly	Tyr 175	Asn	
Met	Asn	Trp	Val 180	Arg	Gln	Met	Pro	Gly 185		Ğlу	Leu	Glu	Trp 190	Met	Gly	
Asn	Ile	Asp 195	Pro	Tyr	Tyr	Gly	Gly 200	Thr	Thr	Tyr	Asn	Arg 205	-	Phe	Lys	
Gly	Gln 210	Val	Thr	Ile	Ser	Ala 215		lуs	Ser	Ile	Ser 220	Thr	Ala	Tyr	Leu	
G1n 225	Trp	Ser	Ser	Leu	Lys 230	Ala	Ser	Asp	Thr	Ala 235	Met	Tyr	Tyr	Cys	Ala 240	
Arg	Ser	Val	Gly	Pro 245	Met	Asp	Tyr	Trp	Gly 250	Arg	Gly	Thr	Leu	Val 255	Thr	

Val	Ser	Ser	Asp 260	Gln	Glu	Pro	Lys	Ser 265	Ser.	Asp	Lys	Thr	His 270	Thr	Ser
Pro	Pro	Cys 275	Pro	Ala	Pro	Glu		Leu	Gly	Gly	Pro	Ser 285	Val	Phe	Leu
Phe	Pro 290		Lys	Pro	Lys	Asp 295	Thr	Leu	Met	Ile	Ser 300	Arg	Thr	Pro	Glu
Val 305	Thr	Cys	Val	Val [°]	Val 310	Asp	Val	Ser	His	Glu 315	Asp	Pro	Glu	Val	Lys 320
Phe	Asn	Trp	Tyr	Val 325	Asp	Gly	Val	Glu	Val 330	His	Asn	Ala	Lys	Thr 335	Lys
Pro	Arg	Glu	Glu 340	Gln	Tyr	Asn	Ser	Thr 345	_	Arg	Val	Val	Ser 350	Val	Leu
Thr	Val	Leu 355	His	Gln	Asp	Trp	Leu 360	Asn	Gly	Lys	Glu	Tyr 365	_	Cys	Lys
Val	Ser 370	Asn	Lys	Ala	Leu	Pro 375	Ala	Pro	Ile		Lys 380	Thr	Ile	Ser	Lys
Ala 385	Lys	Gly	Gln	Pro	Arg 390	Glu	Pro	Gln	Val	Tyr 395	Thr	Leu	Pro	Pro	Ser 400
Arg	Asp	Glu	Leu	Thr 405	Lys	Asn	Gln	Val	Ser 410	Leu	Thr	Суз	Leu	Val 415	Lys
Gly	Phe	Tyr	Pro 420	Ser	Asp	Ile	Ala	Val 425	Glu	Trp	Glu	Ser	Asn 430	_	Gln
Pro	Glu	Asn 435	Asn	Tyr	Lys	Thr	Thr 440	Pro	Pro	Val	Leu	Asp 445	Ser	Asp	Gly
Ser	Phe 450	Phe	Leu	Tyr	Ser	Lys 455	Leu	Thr	Val	Asp	Lys 460	Ser	Arg	Trp	Gln
Gln 465		Asn	Val	Phe	Ser 470		Ser	Val	Met	His 475	Glu	Ala	Leu	His	Asn 480
		Thr	Gln	Lys 485	Ser	Leu	Ser	Leu	Ser 490	Pro	Gly	Lys		. •	
<210 <211 <212 <213	> 150 > ADI	N	ia arti	ificial											
<220 <223		J-016	3 hum	aniza	ıdo										
<400	> 47														

	aagcttgccg	ccatggaagc	cccagcgcag	cttctcttcc	tcctgctact	ctggctccca	60
	gataccaccg	gagaaattgt	gttgacacag	tctccagcca	ccctgtcttt	gtctccaggc	120
	gaaagagcca	ccctctcctg	ccgagcaagt	gaaaatgttt	acagctactt	agcctggtac	180
	caacagaaac	ctggccaggc	tcctaggctc	ctcatctatt	ttgcaaaaac	cttagcagaa	240
	ggaattccag	ccaggttcag	tggcagtgga	tccgggacag	acttcactct	caccatcagc	300
	agcctagagc	ctgaagattt	tgcagtttat	tactgtcaac	atcattccga	taatccgtgg	360
	acattcggcc	aagggaccaa	ggtggaaatc	aaaggtggcg	geggeteggg	cggtggtgga	420.
	tcţggaggag	gtgggaccgg	tgaggtgcag	ctggtgcagt	ctggagcaga	ggtgaaaaag	480
	cccggagagt	ctctgaagat	ttcctgtaag	ggatccggtt	actcattcac	tggctacaat	540
	atgaactggg	tgcgccagat	gcccgggaaa	ggcctcgagt	ggatgggcaa	tattgatcct	600
	tattatggtg	gtactaccta	cáaccggaag	ttcaagggcc	aggtcactat	ctccgccgac	660
,	aagtccatca	gcaccgccta	cctgcaatgg	agcagcctga	aggcctcgga	caccgccatg	720
	tattactgtg	cacgctcagt	cggccctttc	gactactggg	gccagggcac	cctggtcact	780
	gtctcctctg	atcaggagcc	caaatcttct	gacaaaactc	acacatctcc	accgtgccca	840
	gcacctgaac	tcctgggtgg	accgtcagtc	ttcctcttcc	ccccaaaacc	caaggacacc	900
	ctcatgatct	cccggacccc	tgaggtcaca	tgcgtggtgg	tggacgtgag	ccacgaagac	960
	cctgaggtca	agttcaactg	gtacgtggac	ggcgtggagg	tgcataatgc	caagacaaag	1020
	ccgcgggagg	agcagtacaa	cagcacgtac	cgtgtggtca	gcgtcctcac	cgtcctgcac	1080
	caggactggc	tgaatggcaa	ggagtacaag	tgc aaggtct	ccaacaaagc	cctcccagcc	1140
	cccatcgaga	aaaccatctc	caaagccaaa	gggcagcccc	gagaaccaca	ggtgtacacc	1200
	ctgcccccat	cccgggatga	gctgaccaag	aaccaggtca	gcctgåcctg	cctggtcaaa	1260
	ggcttctatc	caagcgacat	cgccgtggag	tgggagagca	atgggcagcc	ggagaacaac	1320
	tacaagacca	cgcctcccgt	gctggactcc	gacggctcct	tcttcctcta	cagcaagctc	1380
	accgtggaca	agagcaggtg	gcagcagggg	aacgtcttct	catgctccgt	gatgcatgag	1440
	gctctgcaca	accactacac	gcagaagagc	ctctccctgt	ctccgggtaa	atgatctaga	1500

<210> 48

<211> 493 <212> PRT

<213> Secuencia artificial

<220>

10

<223> TRU-016 humanizado

<400> 48

Met 1	Glu	Ala	Pro	Ala 5	Gln	Leu	Leu	Phe	Leu 10	Leu :	Leu	Leu	Trp	Leu 15	Pro
Asp	Thr	Thr	Glý 20	Glu	Ile	Val	Leu	Thr 25	Gln	Ser	Pro	Ala	Thr 30	Leu	Ser
Leu	Ser	Pro 35	Gly	Glu	Arg	Ala	Thr 40	Leu	Ser	Cys	Arg	Ala 45	Ser	Glu	Asn
Val	Tyr 50	Ser	Tyr	Leu	Ala	Trp 55	Tyr	Gln	Gln	Lys	Pro 60	Gly	Gln	Ala	Pro
Arg 65	Leu	Leu	Ile	Tyr	Phe 70	Ala	Lys	Thr	Leu	Ala 75	Glu	Gly	Ile	Pro	Ala 80
Arg	Phe	Ser	Gly	Ser 85	Gly	Ser	Gly		Asp 90	Phe	Thr	Leu	Thr	Ile 95	Ser
Ser	Leu	Glu	Pro 100	Glu	Asp	Phe	Ala	Val 105	Tyr	Tyr	Cys		His 110	His	Ser
Asp	Asn	Pro 115	Trp	Thr	Phe	Gly	Gln 120		Thr	Lys	Val	Glu 125		Lys	Gly
Gly	Gly 130	Gly	Ser	Gly	Gly	Gly 135	Gly	Ser	Gly	Gly	Gly 140	Gly	Thr	Gly	Glu
Val 145	Gln	Leu	Val	Gln	Ser 150	Gly	Ala	Glu	Val.	Lys 155	Lys	Pro	Gly	Glu	5er 160
Leu	Lys	Île	Ser	Cys 165	Lys	Gly	Ser	Gly	Tyr 170	Ser	Phe	Thr	Gly	Tyr 175	Asn
Met	Asn	Trp	Val 180	Arg	Gln	Met	Pro	Gly 185	Lys	Gly	Leu	Glu	Trp 190	Met	Gly
Asn	Ile	Asp 195	Pro	Tyr	Tyr	Gly	Gly 200	Thr	Thr	Tyr	Asn	Arg 205	Lys	Phe	Lys
Gly	Gln 210	Val	Thr	Ile	Ser	Ala 215	Asp	Lys	Ser	Ile	Ser 220	Thr	Ala	Tyr	Leu
Gln 225	Trp	Ser	Ser	Leu	Lys 230	Ala	Ser	Asp	Thr	Ala 235	Met	Tyr	Tyr	Cys	Ala 240

	Arg	Ser	Val	Gly	Pro 245	Phe	Asp	Tyr	Trp	Gly 250	Gln	Gly	Thr	Leu	Val 255	Thr
	Val	Ser	Ser	Asp 260	Gln	Glu	Pro	Lys	Ser 265	Ser	Asp	Lys	Thr	His 270	Thr	Ser
٠.	Pro	Pro	Cys 275	Pro	Ala	Pro	Glu	Leu 280	Leu	Gly	Gly	Pro	Ser 285	Val	Phe ·	Leu
,	Phe	Pro 290	Pro	Lys	Pro	Lys	Asp 295	Thr	Leu	Met	Ile	Ser 300	Arg	Thr	Pro	Glu
	Val 305	Thr	Cys	Val	Val	Val 310	Asp	Val	Ser	His	Glu 315	Asp	Pro	Glu		Lys 320
	Phe	Asn	Trp		Val 325	Asp	Gly	Val	Glu	Val 330	His	Asn	Ala	Lys	Thr 335	Lys
•	Pro	Arg	Glu	Glu 340	Gln	Tyr	Asn	Ser	Thr 345	Tyr	Arg	Val	Val	Ser 350	Val	Leu
	Thr	Val	Leu 355	His	Gln	Asp	Trp	Leu 360	Asn	Gly	Lys	Glu	Tyr 365	Lys	Суз	Lys
	Val	Ser 370	Asn	Lys	Ala	Leu	Pro 375		Pro	Ile	Glu	Lys 380	Thr	Ile	Ser	Lys
	Ala 385	Lys	Gly	Gln	Pro	Arg 390	Glu	Pro	Gln	Val	Tyr 395	Thr	Leu	Pro	Pro	Ser 400
	Arg	Asp	Glu	Leu	Thr 405	Lys	Asn	Gln	Val	Ser 410	Leu	Thr	Cys	Leu	Val 415	Lys
	Gly	Phe	Tyr	Pro 420	Ser	Asp	Ile		Val 425		Trp	Glu	Ser	Asn 430	Gly	Gln
	Pro	Glu	Asn 435	Asn	Tyr	Lys	Thr	Thr 440	Pro	Pro	Val	Leu	Asp 445	Ser	Asp	Gly
	Ser	Phe 450	Phe	Leu	Tyr	Ser	.Lys 455	Leu	Thr	Val	Asp	Lys 460	Ser	Arg	Trp	Gln
	Gln 465	Gly	Asn	Val	Phe	Ser 470	Cys	Ser	Val		His 475	Glu	Ala	Leu		Asn 480
	His	Tyr	Thr	Gln	Lys 485	Ser	Leu	Ser	Leu	Ser 490	Pro	Gly	Lys	,		
<2 <2	10> 4 11> 3 12> A 13> S	56 .DN	ncia a	artifici	al											
	20> 23> T	RU-0	16 իւ	ımani	zado											

5

	gctagcgagg tgcagctggt gcagtctgga gcagaggtga aaaagcccgg agagtctctg	60
	aagattteet gtaagggate eggttaetea tteaetgget acaatatgaa etgggtgege	120
	cagatgcccg ggaaaggcct ggagtggatg ggcaatattg atccttatta tggtggtact	180
	acctacaacc ggaagttcaa gggccaggtc actatctccg ccgacaagtc catcagcacc	240
	gectacetge aatggageag cetgaaggee teggaeaeeg ceatgtatta etgtgegege	300
	tcagtcggcc ctatggacgt ctggggccaa ggcaccactg tcactgtctc ctcgag	356
5	<210> 50 <211> 143 <212> PRT <213> Secuencia artificial	
10	<220> <223> TRU-016 humanizado	
	<400> 50	
	Met Glu Ala Pro Ala Gln Leu Leu Phe Leu Leu Leu Leu Trp Leu Pro 1 5 10 15	
	Asp Thr Thr Gly Glu Ile Val Leu Thr Gln Ser Pro Ala Thr Leu Ser 20 25 30	
	Leu Ser Pro Gly Glu Arg Ala Thr Leu Ser Cys Arg Ala Ser Glu Asn 35 40 45	
	Val Tyr Ser Tyr Leu Ala Trp Tyr Gln Gln Lys Pro Gly Gln Ala Pro 50 55	
	Arg Leu Leu Ile Tyr Phe Ala Lys Thr Leu Ala Glu Gly Ile Pro Ala 65 70 75 80	
	Arg Phe Ser Gly Ser Gly Ser Gly Thr Asp Phe Thr Leu Thr Ile Ser . 85 90 95	
	Ser Leu Glu Pro Glu Asp Phe Ala Val Tyr Tyr Cys Gln His His Ser 100 105 110	
	Asp Asn Pro Trp Thr Phe Gly Gln Gly Thr Lys Val Glu Ile Lys Gly 115 120 125	
15	Gly Gly Gly Ser Gly Gly Gly Gly Gly Gly Gly Thr Gly 130 135 140	
20	<210> 51 <211> 1381 <212> ADN <213> Secuencia artificial	
25	<220> <223> TRU-016 humanizado	
20	<100>51	

```
aagettgeeg ceatggaage eecagegeag ettetettee teetgetaet etggeteeca
                                                                       60
 gataccaccg gagaaattgt gttgacacag tctccagcca ccctgtcttt gtctccaggc
                                                                      120
 gaaagagcca ccctctcctg ccgagcaagt gaaaatgttt acagctactt agcctggtac
                                                                      180
 caacagaaac ctggccaggc tcctaggctc ctcatctatt ttgcaaaaac cttagcagaa
                                                                      240
 ggaattccag ccaggttcag tggcagtgga tccgggacag acttcactct caccatcagc
                                                                      300
 agcctagage ctgaagattt tgcagtttat tactgtcaac atcattccga taatccgtgg
 acattcggcc aagggaccaa ggtggaaatc aaaggtggcg gtggctcggg cggtggtgga
                                                                      420
 tctggaggag gtgggaccgg tgaggtgcag ctggtgcagt ctggagcaga ggtgaaaaag
 cccggagagt ctctgaagat ttcctgtaag ggatccggtt actcattcac tggctacaat-
                                                                      540--
 atgaactggg tgcgccagat gcccgggaaa ggcctcgagt ggatgggcaa tattgatcct
                                                                      600
 tattatggtg gtactaccta caaccggaag ttcaagggcc aggtcactat ctccgccgac
                                                                      660
 aagtocatca gcaccgccta cctgcaatgg agcagcctga aggcctcgga caccgccatg
                                                                      720
 tattactgtg cacgctcagt cggccctttc gactcctggg qccaqqqcac cctqqtcact
                                                                      780
 gtotoctotg atcaggagoo caaatottot gacaaaacto acacatotoc accgtgooca
                                                                      840
 gcacctgaac tectgggtgg accgtcagte tteetettee ceccaaaace caaggacace
                                                                      900
ctcatgatet ceeggaceee tgaggteaca tgegtggtgg tggaegtgag ecaegaagae
                                                                      960
 cctgaggtca agttcaactg gtacgtggac ggcgtggagg tgcataatgc caagacaaag
                                                                     1020
 ccgcgggagg agcagtacaa cagcacgtac cgtgtggtca gcgtcctcac cgtcctgcac
                                                                     1080
 caggactggc tgaatggcaa ggagtacaag tgcaaggtct ccaacaaagc cctcccagcc
                                                                     1140
 eccategaga aaaceatete caaageeaaa gggeageeee gagaaceaca ggtgtacace
                                                                     1200
 ctgccccat cccgggatga gctgaccaag aaccaggtca gcctgacctg cctggtcaaa
                                                                     1260
 ggcttctatc caagcgacat cgccgtggag tgggagagca atgggcagcc ggagaacaac
                                                                     1320
 tacaagacca cgcctcccgt gctggactcc gacggctcct tcttcctcta caqcaaqctc
                                                                     1380
 а
                                                                     1381
```

<210> 52

<211> 493

<212> PRT

<213> Secuencia artificial

<220>

<223> TRU-016 humanizado

10 <400> 52

Met 1	Glu	Ala	Pro	Ala 5	Gln	Leu	Leu	Phe	Leu 10	Leu	Leu	Leu	Trp	Leu 15	Pro
Asp	Thr	Thr	Gly 20	Glu	Ile	Val	Leu	Thr 25	Gln	Ser	Pro	Ala	Thr 30	Leu	Ser
Leu	Ser	Pro 35	Gly	Glu	Arg	Ala	Thr 40	Leu	Ser	Cys	Arg	Ala 45	Ser	Glu	Asn
Val	Tyr 50	Ser	Tyr	Leu	Ala	Trp 55	Tyr	Gln	Gln	_	Pro 60	Gly	Gln	Ala	Pro
Arg 65	Leu	Leu	Ile	Tyr	Phe	Ala	Lys	Thr	Leu	Ala 75	Glu	Gly	Ile	Pro	Ala 80
Arg	Phe	Ser	Glγ	Ser 85	Gly	Ser	Gly	Thr	Asp 90	Phe	Thr	Leu	Thr	Ile 95	Ser
Ser	Leu	Glu	Pro 100		Asp	Phe	Ala	Val 105	Tyr	Tyr	Сув	Gln	His 110	His	Ser
Asp	Asn	Pro 115	Trp	Thr	Phe	Gly	Gln 120	Gly	Thr	Lys	Val	Glu 125	Ile	Гув	Gly
Gly	Gly 130	Gly	Ser	Gly	Gly	Gly 135	Gly	Ser	Gly	Gly	Gly 140	Gly	Thr	Gly	Glu
Val 145	Gln	Leu	Val	Gln	Ser 150	Gly	Ala	Glu	Val	Lys 155	-	Pro	Gly	Glu	Ser 160
Leu	Lys	Ile	Ser	Cys 165	Lys	Gly	Ser	Gly	Tyr 170		Phe	Thr	Gly	Tyr 175	Asn
Met	Asn	Trp	Val 180	Arg	Gln	Met	Pro	Gly 185	Lys	Gly	Leu	Glu	Trp 190	Met	Gly
Asn	Ile	Asp 195	Pro	Tyr	Tyr	Gly	Gly 200	Thr	Thr	Tyr	Asn	Arg 205		Phe	Lys
Gly	Gln 210	Val	Thr	Ile	Ser	Ala 215	Asp	Lys	Ser	Ile	Ser 220	Thr	Ala	Tyr	Leu

Gln 225	Trp	Ser	Ser	Leu	Lys 230	Ala	Ser	Asp	Thr	Ala 235	Met	Tyr	Tyr	Cys	Ala 240
Arg	Ser	Val	Gly	Pro 245		Asp	Ser	Trp	Gly 250	Gln	Gly	Thr	Leu	Val 255	Thr
Val	Ser		Asp 260	Gln	Glu	Pro	Lys	Ser 265	Ser	Asp	Lys	Thr	His 270		Ser
Pro		Cys 275	Pro	Ala	Pro	Glu	Leu 280	Leu	Gly	Gly	Pro	Ser 285	Val	Phe	Leu
Phe	Pro 290	Pro	Lys	Pro	Lys	Asp 295	Thr	Leu	Met	Ile	Ser 300	Arg	Thr	Pro	Glu
Val 305	Thr	Сув	Val	Val	Val 310	Asp	Val	Ser		Glu 315		Pro	Glu		Lys 320
Phe	Asn	Trp	Tyr	Val 325	Asp	Gly	Val		Val 330		Asn	Ala	Lys	Thr 335	Lys
Pro	Arg	Glu	Glu 340	Gln-	Tyr-	Asn	Ser	Thr 345	Tyr	Arg	Val	Val	Ser 350	Val	Leu
Thr	Val	Leu 355	His	•		Trp	Leu 360	Asn	Gly	Lys	Glu	Tyr 365	Lys	Cys	Lys
· Val	Ser 370	Asn	Lys	Ala		Pro 375		Pro	Ile	Glu	Lys 380	Thr	Ile	Ser	Lys
Ala 385	Lys	Gly	Gln	Pro	Arg 390	Glu	Pro	Gln	Val	Tyr 395	Thr	Leu	Pro	Pro	Ser 400
Arg	Asp	Glu	Leu	Thr 405	Lys	Asn	Gln	Val	Ser 410	Leu	Thr	Cys	Leu	Val 415	Lys
Gly	Phe	Tyr	Pro 420	Ser	Asp	Ile		Val 425	Glu	Trp	Glu	Ser	Asn 430	-	Gln
Pro	Glu	Asn 435	Asn	Tyr	Lys	Thr	Thr 440		Pro	Val	Leu	Asp 445	Ser	Asp	Gly
Ser	Phe 450	Phe	Leu	Tyr	Ser	Lys 455	Leu		Val	Asp	Lys 460	Ser	.Arg	Trp	Gln
Gln 465	Gly	Asn	Val	Phe	Ser 470	Сув	Ser	Val	Met	His 475	Glu	Ala	Leu	His	Asn 480
His '	Tyr	Thr		Lys 485	Ser	Leu .	Ser	Leu	Ser 490	Pro	Gly	Lys			
<210><211><211><212><213>	356 ADN		a artif	icial											

5

10

<220>

<223> TRU-016 humanizado

	<400> 53															
	gctagcga	agg t	gcag	ıctgg	t ga	agto	tgga	gca	gaggt	tga a	aaaag	gaaag	g ag	gagto	tctg	60
	aagattt	cct g	rtaag	ggat	c cġ	gtta	ctca	ttc	actg	gct a	acaat	atga	ia ct	gggt	gcgc	120
	cagatge	ccg g	gaaa	ggcc	t gg	agtg	gatg	ggc	aatal	ttg a	atcċt	tatt	a to	gtgg	tact	180
	acctaca	acc g	gaag	ıttca	a gg	gcca	.ggtc	act	atct	ccg (ccgac	caagt	c ca	ıtcag	cacc	240
	gcctacci	tgc a	atgg	ıagca	g cc	tgaa	ggcc	tcg	gaca	ccg (ccate	tatt	a ct	gtgo	gcgc	300
	tcagtcg	gaa d	ttt	gaco	c ct		ccaa	ggc	accci	tgg t	cact	gtct	c ct	cgag	Ī	356
5	<210> 54 <211> 143 <212> PR <213> Sec	Т	ia arti	ificial												
10	<220> <223> TR	U-016	hum	aniza	do											
15	<400> 54															
15	Met Glu 1	Ala	Pro	Ala 5	Gln	Leu	Leu	Phe	Leu 10	Leu	Leu	Leu	Trp	Leu 15	Pro	
	Asp Thr	Thr.	Gl v	Glu	Tle	V=1	Len	Thr	Gln	Ser	Pro	712	Thr	T.en	Sar	
	Asp IIII		20	GIU	116	vai		25		Jer	FIO		30	пец	Ser	
	Leu Ser	Pro 35	Gly	Glu	Arg	Ala	Thr 40	Leu	Ser	Cys	Arg	Ala 45	Ser	Glu	Asn	
							·		. ~,			. ,				
	Val Tyr 50	Ser	Tyr	Leu	Ala	Trp 55	Tyr.	Gln	Gln	Lys	Pro 60	Gly	Gln	Ala	Pro	
	Arg Leu 65	Leu	Ile	Tyr	Phe 70	Ala	Lys	Thr	Leu	Ala 75	Glu	Gly	Ile	Pro	Ala 80	
	Arg Phe	Ser	Gly	Ser 85	Gly	Ser	Gly	Thr	Asp 90	Phe	Thr	Leu	Thr	Ile 95	Ser	
	Ser Leu	Glu	Pro 100		Asp	Phe	Ala	Val 105	Tyr	Tyr	Cys		His 110	His	Ser	
	Asp Asn	Pro 115	Trp	Thr	Phe	Gly	Gln 120	Gly	Thr	Lys	Val	Gľu 125	Ile	Lys	Gly	
	Gly Gly 130		Ser	Gly	Gly	Gly 135		Ser	Gly	Gly	Gly 140	Gly	Thr	Gly	•	
20	<210> 55 <211> 356 <212> AD <213> Sec	N	ia arti	ificial												
25	<220> <223> TR	U-016	hum	aniza	do											
	<400> 55															

gctago	gagg	tgca	igctg	ıgt g	gcagt	ctg	ga g	caga	ggtg	a aa	aago	cccgg	g aga	agtct	ctg	60
aagatt	teet	gtaa	ıggga	itc o	ggti	tact	ca t	tcac	tggc	t ac	aata	atgaa	cte	gggtg	cgc	120
cagato	gcccg	ggaa	aggo	ct	gagt	gga	tg g	gcaa	tatt	g at	cctt	atta	ı tg	gtggt	act	180
acctad	caacc	ggaa	igtto	aa	ggç	cagg	tc a	ctat	ctcc	g cc	gaca	agto	cat	cagc	acc	240
gcctad	cctgc	aatg	gago	ag d	ectga	aagg	cc t	cgga	cacc	g co	atgt	atta	a ct	gtgcg	cgc	300
tcagto	eggee	cttt	tcag	ca c	etgg	ggcc	aa g	gcac	cctc	g to	acto	gtete	cto	gag		356
<210> 5 <211> 1 <212> F <213> S	43 PRT	cia art	ificial													
<220> <223> T	RU-01	6 hum	naniza	ado												
<400> 5	66															
Met Gl 1	u Ala	Pro	Ala 5	Gln	Leu	Leu	Phe	Leu 10	Leu	Leu	Leu	Trp	Leu 15	Pro		
Asp Th	r Thr	Gly 20	Glu	Ile	Val	Leu	Thr 25	Gln	Ser	Pro	Ala	Thr 30	Leu	Ser		
Leu Se	er Pro	Gly	Glu	Arg	Ala	Thr 40	Leu	Ser	Cys	Arg	Ala 45	Ser	Glu	Asn		
Val Ty 50		Tyr	Leu	Ala	Trp 55	Tyr	Gln	Gln	Lys	Pro 60	Gly	Gln	Ala	Pro		
Arg Le	eu Leu	ı Ile	Tyr	Phe 70	Ala	Lys	Thr	Leu	Ala 75	Glu	Gly	Ile	Pro	Ala 80		
Arg Ph	ıe Ser	Gly	Ser 85	Gly	Ser	Gly	Thr	Asp 90	Phe	Thr	Leu	Thr	Ile 95	Ser		
Ser Le	eu ⁽ Glu	Pro 100			Phe				Tyr	Сув	Gln	His 110		Ser		
Asp As		Trp		Phe	Gly	Gln 120		Thr	Lys	Val	Glu 125		Lys	Gly		
Gly Gl		Ser	Gly	Gly	Gly 135	Gly	Ser	Gly	Glŷ	Gly 140	,	Thr	Gly			
<210> 5 <211> 3 <212> A <213> 5	356 ADN	cia art	ificial													
<220> <223> T	TRU-01	6 hum	naniza	ado												
<400> 5	57															

	gctagcgagg tgcagctggt gcagtctgga gcagaggtga aaaagcccgg agagtctctg	60
	aagattteet gtaagggate eggttaetea tteaetgget acaatatgaa etgggtgege	120
	cagatgcccg ggaaaggcct ggagtggatg ggcaatattg atccttatta tggtggtact	180
	acctacaacc ggaagttcaa gggccaggtc actatctccg ccgacaagtc catcagcacc	240
	gcctacctgc aatggagcag cctgaaggcc tcggacaccg ccatgtatta ctgtgcgcgc	300
	teagteggee ettttgaegt etggggeeaa ggeaceatgg teaetgtete etegag	356
5	<210> 58 <211> 143 <212> PRT <213> Secuencia artificial	
40	<220> <223> TRU-016 humanizado	
10	<400> 58	
	Met Glu Ala Pro Ala Gln Leu Leu Phe Leu Leu Leu Leu Trp Leu Pro 1 5 10 15	
	Asp Thr Thr Gly Glu Ile Val Leu Thr Gln Ser Pro Ala Thr Leu Ser 20 25 30	
	Leu Ser Pro Gly Glu Arg Ala Thr Leu Ser Cys Arg Ala Ser Glu Asn 35 40 45	
	Val Tyr Ser Tyr Leu Ala Trp Tyr Gln Gln Lys Pro Gly Gln Ala Pro 50 55 60	
	Arg Leu Leu Ile Tyr Phe Ala Lys Thr Leu Ala Glu Gly Ile Pro Ala 65 70 75 80	
	Arg Phe Ser Gly Ser Gly Thr Asp Phe Thr Leu Thr Ile Ser 85 90 95	
	Ser Leu Glu Pro Glu Asp Phe Ala Val Tyr Tyr Cys Gln His His Ser 100 105 110	
	Asp Asn Pro Trp Thr Phe Gly Gln Gly Thr Lys Val Glu Ile Lys Gly 115 120 125	
	Gly Gly Gly Ser Gly Gly Gly Gly Gly Gly Gly Thr Gly 130 135 140	
15	130 135 140 <210> 59 <211> 356 <212> ADN <213> Secuencia artificial	
20	<220> <223> TRU-016 humanizado	
25	<400> 59	

gctagcgagg	tgcagct	ggt g	cagtctg	ga g	caga	ggtg	ja a	aaag	cccg	g ag	agtct	ctg	60
aagatttcct	gtaaggg	atc c	ggttact	ca t	tcac	tggc	t a	caat	atga	a ct	gggtg	cgc	120
cagatgcccg	ggaaagg	cct g	gagtgga	tg g	gcaa	tatt	g a	tcct	tatt	a tç	gtggt	act	180
acctacaacc	ggaagtt	caa g	ggccagg	tc a	ctat	ctcc	g c	cgac	aagt	c ca	tcagc	acc	240
gcctacctgc	aatggag	cag c	ctgaagg	cc t	cgga	cacc	g c	catg	tatt	a ct	gtgcg	cgc	300
tcagtcggcc	cttttga	cat c	tggggcc	aa g	gcac	cato	g to	cact	gtct	c ct	cgag		3 5 6
<210> 60 <211> 143 <212> PRT <213> Secuence	cia artificia	I											
<220> <223> TRU-01	6 humaniz	ado											
<400> 60													
Met Glu Ala 1	Pro Ala	a Gln :	Leu Leu	Phe	Leu 10	Leu	Leu	Leu	Trp	Leu 15	Pro		
Asp Thr Thr	Glv Glı	i Tle '	Val Leu	Thr	Gln	Ser	Pro	Д]а	Thr	T.e.	Ser		
אסט אייי אייי	20		· · ·	25	5111	DCI	110	1124	30		DCI		
Leu Ser Pro	Glv Glı	ı Arq	Ala Thr	Leu	Ser	Cvs	Ara	Ala	Ser	Glu	Asn		
35	2,	. .	40			-2	• .	45		-			
Val Tyr Ser 50	Tyr Le		Trp Tyr 55	Gln	Gln	Lys	Pro 60	Gly	Gln	Ala	Pro	-	
Arg Leu Leu 65	Ile Tyr	Phe 2	Ala Lys	Thr	Leu	Ala 75	Glu	Gly	Ile	Pro	Ala 80		
	. •	•						٠.					
Arg Phe Ser	Gly Ser 85	Gly :	Ser Gly	Thr	Asp 90	Phe	Thr	Leu	Thr	Ile 95	Ser		
Ser Leu Glu	Pro Glu	ı Asp 1	Phe Ala	Val	Tyr	Tyr	Cys	Gln	His 110	His	Ser		
		.	an 'an	~ 3 .	-1	• .		~ 1	-1-	•	~3		
Asp Asn Pro 115		r Pne	120	GIA	Thr	гуз	vaı	125	TIE	ьys	GIÀ		
Gly Gly Gly 130	Ser Gl _}		Gly Gly 135	Ser	Gly	Gly	Gly 140	giy	Thr	Gly			
<210> 61 <211> 11 <212> PRT <213> Secuence	cia artificia	I											
<220> <223> TRU-01	6 humaniz	ado											
<400> 61													
Ard Ala Ser	Glu Aen	. Val -	Tur Ser	Tur	Tie 11	Δla							

```
<210> 62
     <211> 11
     <212> PRT
     <213> Secuencia artificial
 5
     <223> TRU-016 humanizado
     <400> 62
10
     Arg Thr Ser Glu Asn Val Tyr Ser Tyr Leu Ala
                   5
     <210> 63
     <211> 5
15
     <212> PRT
     <213> Secuencia artificial
     <220>
     <223> TRU-016 humanizado
20
     <400> 63
     Gly Tyr Asn Het Asn.
25
     <210> 64
     <211> 7
     <212> PRT
     <213> Secuencia artificial
30
     <220>
     <223> TRU-016 humanizado
     <400> 64
     Phe Ala Lys Thr Leu Ala Glu
     1 5
35
     <210> 65
     <211> 18
     <212> PRT
40
     <213> Secuencia artificial
     <220>
     <223> TRU-016 humanizado
     <400> 65
45
       Asn Ile Asp Pro Tyr Tyr Gly Gly Thr Thr Tyr Asn Arg Lys Phe
       1 5 10 15
     Lys Gly
     <210> 66
50
     <211>9
     <212> PRT
     <213> Secuencia artificial
     <220>
55
     <223> TRU-016 humanizado
     <400>66
```

```
Gln His His Ser Asp Asn Pro Trp Thr
                   .5
     <210> 67
     <211>7
5
     <212> PRT
     <213> Secuencia artificial
     <220>
     <223> TRU-016 humanizado
10
     <400> 67
     Ser Val Gly Pro Phe Asp Tyr
     1 5
     <210> 68
15
     <211>7
     <212> PRT
     <213> Secuencia artificial
20
     <220>
     <223> TRU-016 humanizado
     <400> 68
     Ser Val Gly Pro Phe Asp Ser
     1 5
25
     <210>69
     <211>7
     <212> PRT
30
     <213> Secuencia artificial
     <220>
     <223> TRU-016 humanizado
35
     <400> 69
     Ser Val Gly Pro Met Asp Tyr
     1 5
     <210> 70
40
     <211> 23
     <212> PRT
     <213> Secuencia artificial
     <220>
45
     <223> TRU-016 humanizado
     <400> 70
     Glu Ile Val Leu Thr Gln Ser Pro Ala Thr Leu Ser Leu Ser Pro Gly
1 10 15
                                  10
                                             15
     Glu Arg Ala Thr Leu Ser Cys
50
     <210> 71
     <211>30
     <212> PRT
     <213> Secuencia artificial
55
     <220>
     <223> TRU-016 humanizado
```

```
<400> 71
    Glu Val Gln Leu Val Gln Ser Gly Ala Glu Val Lys Lys Pro Gly Glu
    1 5 10 15
    Ser Leu Lys Ile Ser Cys Lys Gly Ser Gly Tyr Ser Phe Thr
      20 25 30
5
    <210> 72
    <211> 15
    <212> PRT
    <213> Secuencia artificial
10
    <220>
    <223> TRU-016 humanizado
    <400> 72
15
    Trp Tyr Gln Gln Lys Pro Gly Gln Ala Pro Arg Leu Leu Ile Tyr
                     10
                   5
    <210> 73
    <211> 14
20
    <212> PRT
    <213> Secuencia artificial
    <220>
    <223> TRU-016 humanizado
25
    <400> 73
    Trp Val Arg Gln Met Pro Gly Lys Gly Leu Glu Trp Met Gly
    1 5
                     10
    <210> 74
30
    <211> 32
    <212> PRT
    <213> Secuencia artificial
35
    <220>
    <223> TRU-016 humanizado
    -Gly Ile Pro Ala Arg Phe Ser Gly Ser Gly Ser Gly Thr Asp Phe Thr
    1 5 10 15
     Leu Thr Ile Ser Ser Leu Glu Pro Glu Asp Phe Ala Val Tyr Tyr Cys
            . 20
40
                       25
    <210> 75
    <211> 32
    <212> PRT
    <213> Secuencia artificial
45
    <223> TRU-016 humanizado
50
    <400> 75
```

```
Gln Val Thr Ile Ser Ala Asp Lys Ser Ile Ser Thr Ala Tyr Leu Gln
     1 5 10 15
     Trp Ser Ser Leu Lys Ala Ser Asp Thr Ala Met Tyr Tyr Cys Ala Arg
                 20
                                    25 .
     <210> 76
     <211> 10
     <212> PRT
5
     <213> Secuencia artificial
     <220>
     <223> TRU-016 humanizado
10
     <400> 76
     Phe Gly Gln Gly Thr Lys Val Glu Ile Lys 1 5
15
     <210> 77
     <211> 11
     <212> PRT
     <213> Secuencia artificial
     <220>
20
     <223> TRU-016 humanizado
     <400> 77
     Trp Gly Gln Gly Thr Leu Val Thr Val Ser Ser
                  .5
25
     <210> 78
     <211> 11
     <212> PRT
30
     <213> Secuencia artificial
     <220>
     <223> TRU-016 humanizado
35
    <400> 78
       Trp Gly Arg Gly Thr Leu Val Thr Val Ser Ser
```

REIVINDICACIONES

- 1. Una proteína de unión específica a CD37 humanizada para uso en el tratamiento de un cáncer o una enfermedad autoinmune de células B, donde la proteína de unión específica a CD37 humanizada comprende:
- (a) regiones estructurales de cadena ligera humana, una cadena ligera CDR1 que comprende una secuencia de aminoácidos de SEQ ID NO: 61, una cadena ligera CDR2 que comprende una secuencia de aminoácidos de SEQ ID NO: 64, y una cadena ligera CDR3 que comprende una secuencia de aminoácidos de SEQ ID NO: 66; y

5

10

15

(b) regiones estructurales de cadena pesada humana, una cadena pesada CDR1 que comprende una secuencia de aminoácidos de SEQ ID NO: 63, una cadena pesada CDR2 que comprende una secuencia de aminoácidos de SEQ ID NO: 65, y una cadena pesada CDR3 que comprende una secuencia de aminoácidos de SEQ ID NO: 67 6 68

que se caracteriza porque la proteína de unión específica a CD37 humanizada debe usarse en combinación con una proteína de unión específica a CD20.

- 2. Una proteína de unión específica a CD20 para uso en el tratamiento de un cáncer o una enfermedad autoinmune de células B que se caracteriza porque la proteína de unión específica a CD20 debe usarse en combinación con una proteína de unión específica a CD37 humanizada para uso en el tratamiento de un cáncer o enfermedad autoinmune de células B, donde la proteína de unión específica a CD37 humanizada comprende:
 - (a) regiones estructurales de cadena ligera humana, una cadena ligera CDR1 que comprende una secuencia de aminoácidos de SEQ ID NO: 61, una cadena ligera CDR2 que comprende una secuencia de aminoácidos de SEQ ID NO: 64, y una cadena ligera CDR3 que comprende una secuencia de aminoácidos de SEQ ID NO: 66; y
- 20 (b) regiones estructurales de cadena pesada humana, una cadena pesada CDR1 que comprende una secuencia de aminoácidos de SEQ ID NO: 63, una cadena pesada CDR2 que comprende una secuencia de aminoácidos de SEQ ID NO: 65, y una cadena pesada CDR3 que comprende una secuencia de aminoácidos de SEQ ID NO: 67 ó 68.
- 3. Un artículo de fabricación que comprende una proteína de unión específica a CD20 y una proteína de unión específica a CD37 humanizada para uso en el tratamiento de un cáncer o enfermedad autoinmune de células B, donde la proteína de unión específica a CD37 humanizada comprende:
 - (a) regiones estructurales de cadena ligera humana, una cadena ligera CDR1 que comprende una secuencia de aminoácidos de SEQ ID NO: 61, una cadena ligera CDR2 que comprende una secuencia de aminoácidos de SEQ ID NO: 64, y una cadena ligera CDR3 que comprende una secuencia de aminoácidos de SEQ ID NO: 66; y
- 30 (b) regiones estructurales de cadena pesada humana, una cadena pesada CDR1 que comprende una secuencia de aminoácidos de SEQ ID NO: 63, una cadena pesada CDR2 que comprende una secuencia de aminoácidos de SEQ ID NO: 65, y una cadena pesada CDR3 que comprende una secuencia de aminoácidos de SEQ ID NO: 67 ó 68.
- 4. La proteína de unión específica a CD37 humanizada o la proteína de unión específica a CD20 o el artículo de fabricación para uso en el tratamiento de un cáncer o una enfermedad autoinmune de células B de las reivindicaciones 1, 2 ó 3, donde las cadenas ligeras CDR1, CDR2 y CDR3 de la proteína de unión específica a CD37 humanizada de las secuencias de aminoácidos de las SEQ ID NOS: 61, 64 y 66, respectivamente; y
 - donde las CDR1, CDR2 y CDR3 de cadena pesada consisten en las secuencias de aminoácidos de las SEQ ID NOS: 63, 65 y 67, respectivamente.
- 5. La proteína de unión específica a CD37 humanizada o la proteína de unión específica a CD20 o el artículo de fabricación para uso en el tratamiento de un cáncer o una enfermedad autoinmune de células B de las reivindicaciones 1, 2 ó 3, donde las cadenas ligeras CDR1, CDR2 y CDR3 de la proteína de unión específica a CD37 humanizada de las secuencias de aminoácidos de las SEQ ID NOS: 61, 64 y 66, respectivamente; y
- donde las CDR1, CDR2 y CDR3 de cadena pesada consisten en las secuencias de aminoácidos de las SEQ ID NOS: 63, 65 y 68, respectivamente.
 - **6.** La proteína de unión específica a CD37 humanizada o la proteína de unión específica a CD20 o el artículo de fabricación para uso en el tratamiento de un cáncer o una enfermedad autoinmune de células B de una cualquiera de las reivindicaciones precedentes, que comprende:
- una región estructural de cadena ligera humana seleccionada de las SEQ ID NOS: 170-172, 175, 179,182, 184-50 188, 191, 194-198, 203 y 205-210; o
 - una región estructural de cadena pesada humana seleccionada de las SEQ ID NOS: 140, 141, 143-147, 150, 151, 154-163, 168 y 169.

- 7. La proteína de unión específica a CD37 humanizada o la proteína de unión específica a CD20 o el artículo de fabricación para uso en el tratamiento de un cáncer o una enfermedad autoinmune de células B de una cualquiera de las reivindicaciones precedentes, que comprende:
- una primera región estructural de cadena ligera (FR1) seleccionada de las SEQ ID NOS: 170-172, 175 y 177-181; una FR2 humana de la región estructural de cadena ligera seleccionada de las SEQ ID NOS: 182, 184-188 y 191; una FR3 humana de la cadena ligera seleccionada de las SEQ ID NOS: 194-198, 203 y 205; y una FR4 humana de la cadena ligera seleccionada de las SEQ ID NOS: 206-210; o

10

30

- una primera región estructural (FR1) de cadena pesada humana seleccionada de las SEQ ID NOS: 140, 141 y 143-146; una FR2 humana de la cadena pesada seleccionada de las SEQ ID NOS: 147, 150 y 151; una FR3 humana de la cadena pesada seleccionada de las SEQ ID NOS: 154-160; y una FR4 humana de la cadena pesada seleccionada de las SEQ ID NOS: 161-163, 168 y 169.
- 8. La proteína de unión específica a CD37 humanizada o la proteína de unión específica a CD20 o el artículo de fabricación para uso en el tratamiento de un cáncer o una enfermedad autoinmune de células B de una cualquiera de las reivindicaciones precedentes,
- donde la proteína de unión comprende un polipéptido Fv de cadena sencilla (scFv), un anticuerpo o un fragmento de unión al mismo, o una proteína de fusión de inmunoglobulina que comprende, desde el extremo amino al carboxi, (i) un dominio de unión que tenga regiones variables de cadena ligera y pesada de inmunoglobulina separadas por un péptido de enlace, (ii) un polipéptido de región de bisagra de inmunoglobulina que tenga cero, uno o dos residuos de cisteína, y (iii) dominios CH2 y CH3 de inmunoglobulina.
- 20 9. La proteína de unión específica a CD37 humanizada o la proteína de unión específica a CD20 o el artículo de fabricación para uso en el tratamiento de un cáncer o una enfermedad autoinmune de células B de la reivindicación 8, donde el polipéptido de la región de bisagra de inmunoglobulina puede ser un polipéptido de región de bisagra de IgG1, IgGA o IgE o una IgG1 mutante.
- 10. La proteína de unión específica a CD37 humanizada o la proteína de unión específica a CD20 o el artículo de fabricación para uso en el tratamiento de un cáncer o una enfermedad autoinmune de células B de una cualquiera de las reivindicaciones 8 ó 9, donde:
 - la proteína de unión es una proteína de fusión de inmunoglobulina de la reivindicación 8, que comprende una región variable de cadena ligera y una región variable de cadena pesada;
 - la región variable de cadena ligera está unida a la región variable de cadena pesada mediante un péptido de unión que comprende (Gly4SER)n, donde n es 1, 2, 3, 4, 5 ó 6; y
 - las regiones variables de cadena ligera y pesada unidas están conectadas a un dominio efector IgG1 a través de una bisagra compuesta por una secuencia de aminoácidos seleccionada del grupo que consiste en las SEQ ID NO: 90, 92, 94, 96, 98, 100, 102, 104, 106, 108, 110, 112, 115, 116, 118, 120, 122, 124, 126 ó 127.
- 11. La proteína de unión específica a CD37 humanizada o la proteína de unión específica a CD20 o el artículo de fabricación para uso en el tratamiento de un cáncer o una enfermedad autoinmune de células B de una cualquiera de las reivindicaciones precedentes, donde la proteína de unión específica a CD37 humanizada comprende una secuencia de aminoácidos seleccionada del grupo que consiste en las SEQ ID NO: 48 y 52.
 - **12.** La proteína de unión específica a CD37 humanizada o la proteína de unión específica a CD20 o el artículo de fabricación para uso en el tratamiento de un cáncer o una enfermedad autoinmune de células B de una cualquiera de las reivindicaciones precedentes, donde la proteína de unión específica a CD20 es un anticuerpo monoclonal específico de CD20.
 - **13.** La proteína de unión específica a CD37 humanizada o la proteína de unión específica a CD20 o el artículo de fabricación para uso en el tratamiento de un cáncer o una enfermedad autoinmune de células B de una cualquiera de las reivindicaciones precedentes, donde el anticuerpo monoclonal específico de CD20 es Rituximab.
- 45 14. La proteína de unión específica a CD37 humanizada o la proteína de unión específica a CD20 o el artículo de fabricación para uso en el tratamiento de un cáncer o una enfermedad autoinmune de células B de una cualquiera de las reivindicaciones 1 a 11, donde la proteína de unión específica a CD20 es una proteína de fusión de inmunoglobulina que es específica de CD20 y comprende, desde el extremo amino al carboxi, (i) un dominio de unión que tiene regiones variables de cadena ligera y pesada de inmunoglobulina separadas por un péptido de enlace, (ii) un polipéptido de región de bisagra de inmunoglobulina que tiene cero, uno o dos residuos de cisteína, y (iii) dominio CH2 y CH3 de inmunoglobulina.
 - **15.** La proteína de unión específica a CD37 humanizada o la proteína de unión específica a CD20 o el artículo de fabricación para uso en el tratamiento de un cáncer o una enfermedad autoinmune de células B de la reivindicación

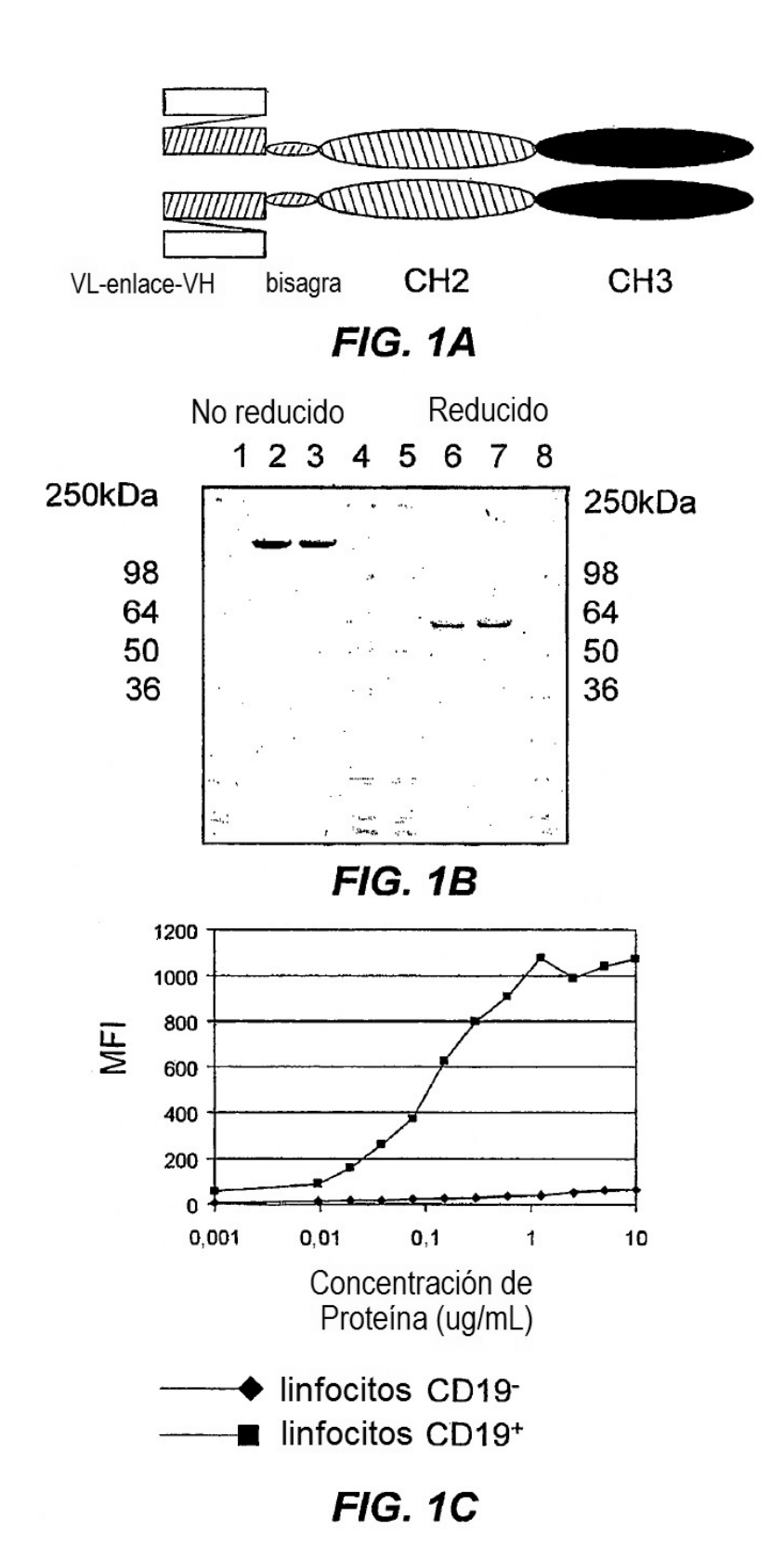
- 14, donde el polipéptido de la región de bisagra de inmunoglobulina puede ser un polipéptido de región de bisagra de IgG1, IgGA o IgE o una IgG1 mutante.
- **16.** La proteína de unión específica a CD37 humanizada o la proteína de unión específica a CD20 o el artículo de fabricación para uso en el tratamiento de un cáncer o una enfermedad autoinmune de células B de una cualquiera de las reivindicaciones precedentes, donde el método comprende además el uso de un agente quimioterapéutico, un agente radioterapéutico, una citocina, una quimiocina o un factor de crecimiento.

5

10

15

- 17. La proteína de unión específica a CD37 humanizada o la proteína de unión específica de CD20 o el artículo de fabricación para uso en el tratamiento de un cáncer o una enfermedad autoinmune de células B de una cualquiera de las reivindicaciones precedentes, donde el cáncer de células B es enfermedad de Hodgkin, linfoma no de Hodgkin, linfomas del sistema nervioso central, leucemia linfoblástica aguda, leucemia linfocítica crónica, leucemia de células pilosas, leucemia mioblástica crónica, mieloma múltiple, linfoma linfocítico pequeño, leucemia prolinfocítica de células B, linfoma linfoplasmacítico, linfoma de zona marginal esplénica, mieloma de célula plasmática, plasmacitoma solitario de hueso, plasmacitoma extraóseo, linfoma de células B de zona marginal nodal, linfoma folicular, linfoma de células manta, linfoma de células B grandes difusas, linfoma de células B grandes mediastinales (tímicas), linfoma de células B grande intravascular, linfoma de efusión primaria, linfoma/leucemia de Burkitt, proliferaciones de células B de potencial maligno incierto, granulomatosis linfomatoide o trastorno linfoproliferativo post-trasplante.
- **18.** La proteína de unión específica a CD37 humanizada o la proteína de unión específica de CD20 o el artículo de fabricación para uso en el tratamiento de un cáncer o una enfermedad autoinmune de células B de una cualquiera de las reivindicaciones 1 a 16, donde la enfermedad autoinmune es artritis reumatoide, esclerosis múltiple, lupus sistémico eritematoso, enfermedad de Crohn, síndrome de Sjogren, enfermedad de Grave, diabetes mellitus de tipo I, soriasis, púrpura trombocitopénica inmune, pénfigo, miopatía inflamatoria idiopática, miastenia gravis o macroglobinemia de Waldenstorm.
- 19. La proteína de unión específica a CD37 humanizada o la proteína de unión específica de CD20 o el artículo de fabricación para uso en el tratamiento de un cáncer o una enfermedad autoinmune de células B de una cualquiera de las reivindicaciones precedentes, donde la proteína de unión específica a CD37 y la proteína de unión específica a CD20 se administran secuencialmente en un periodo de aproximadamente 24 horas o se administran simultáneamente.



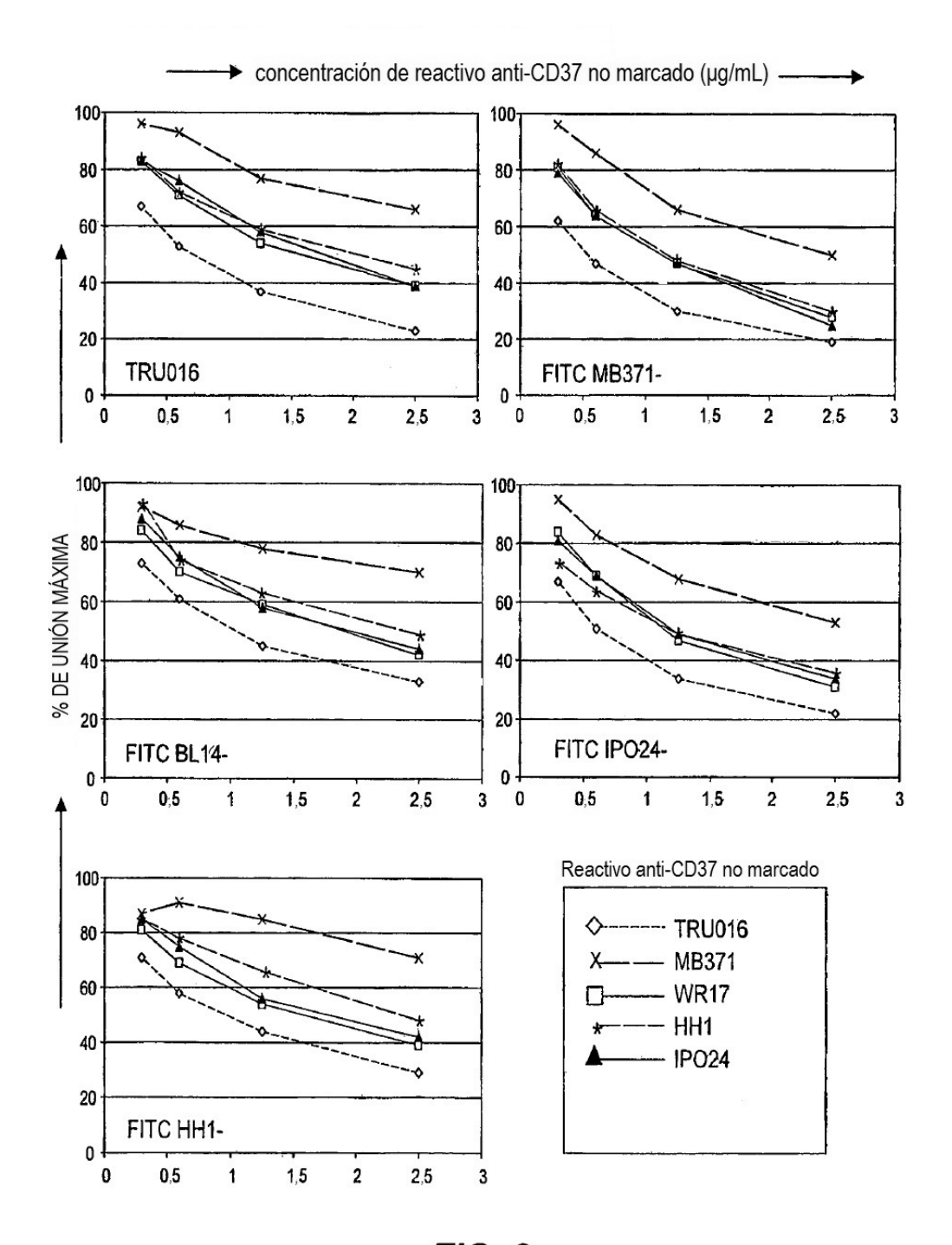


FIG. 2

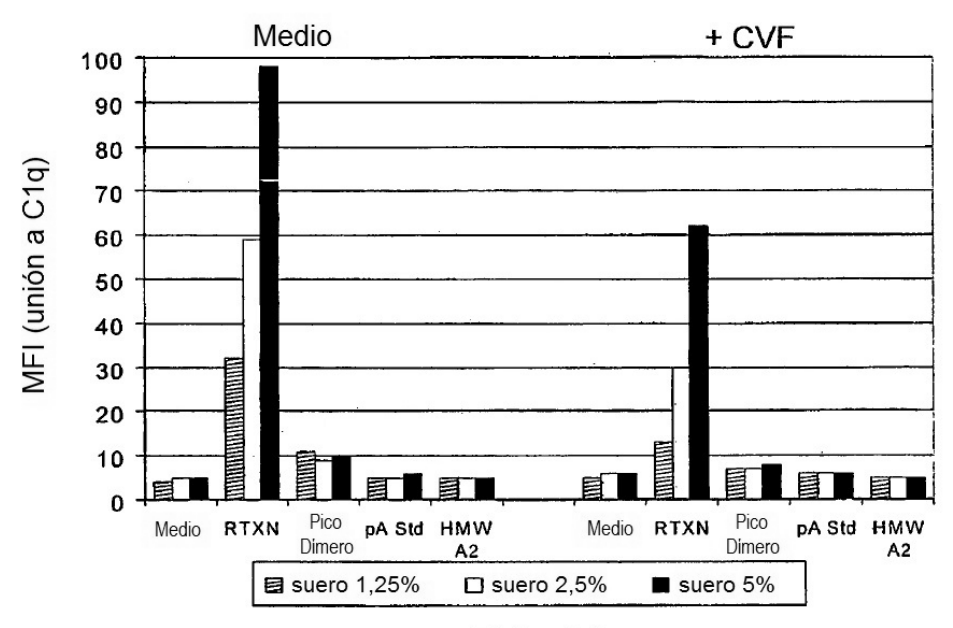


FIG. 3A

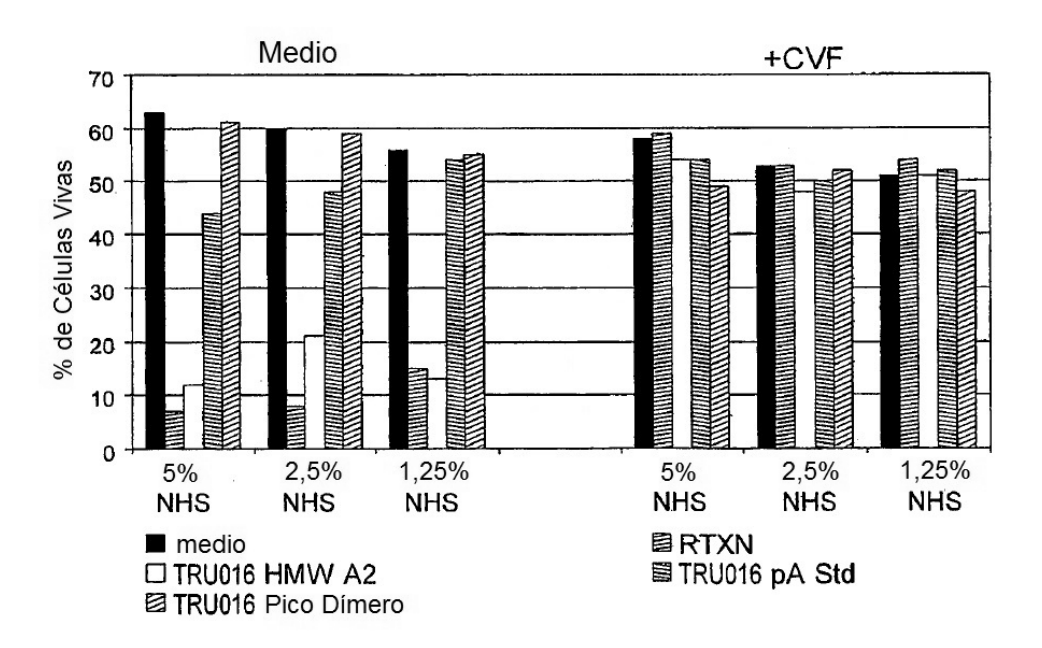


FIG. 3B

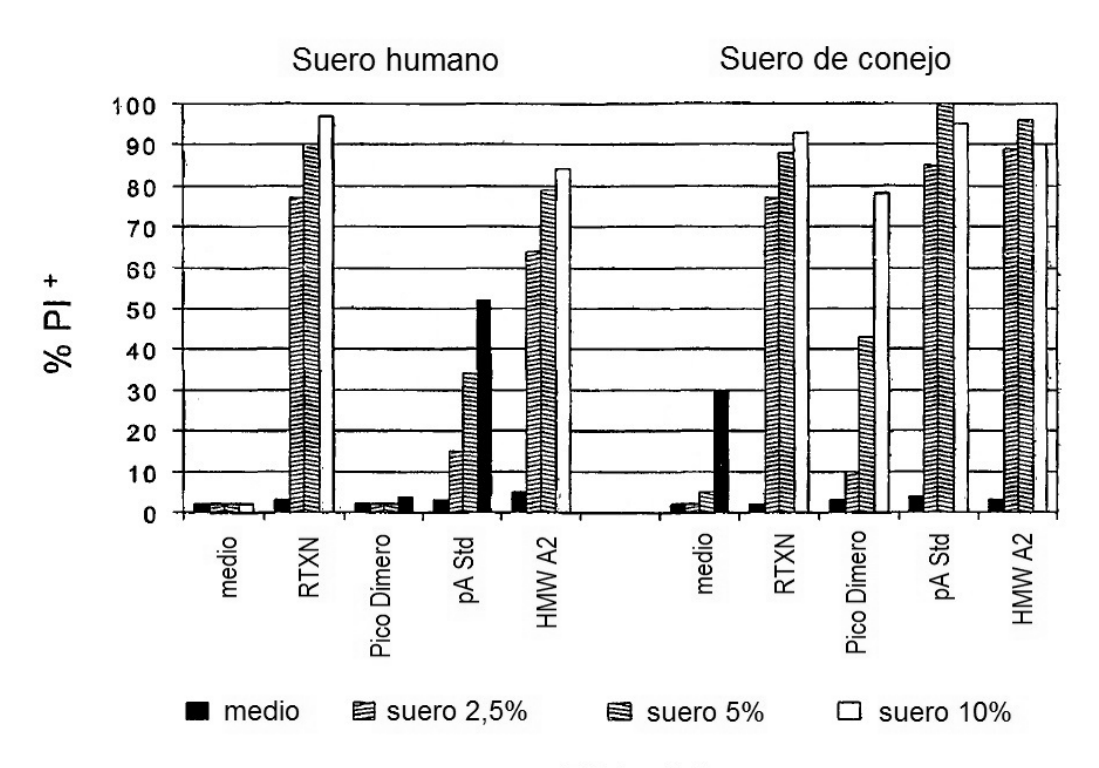
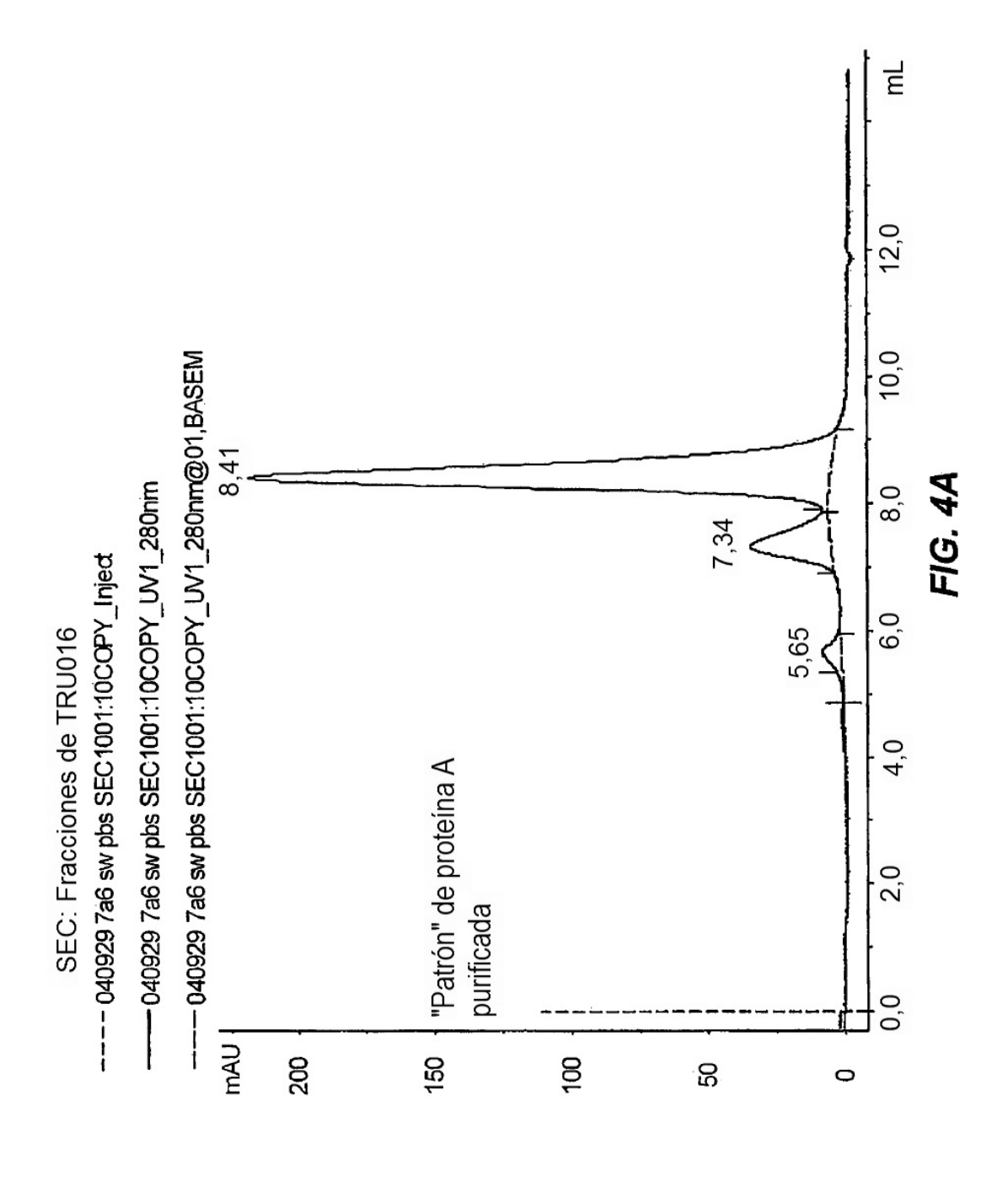
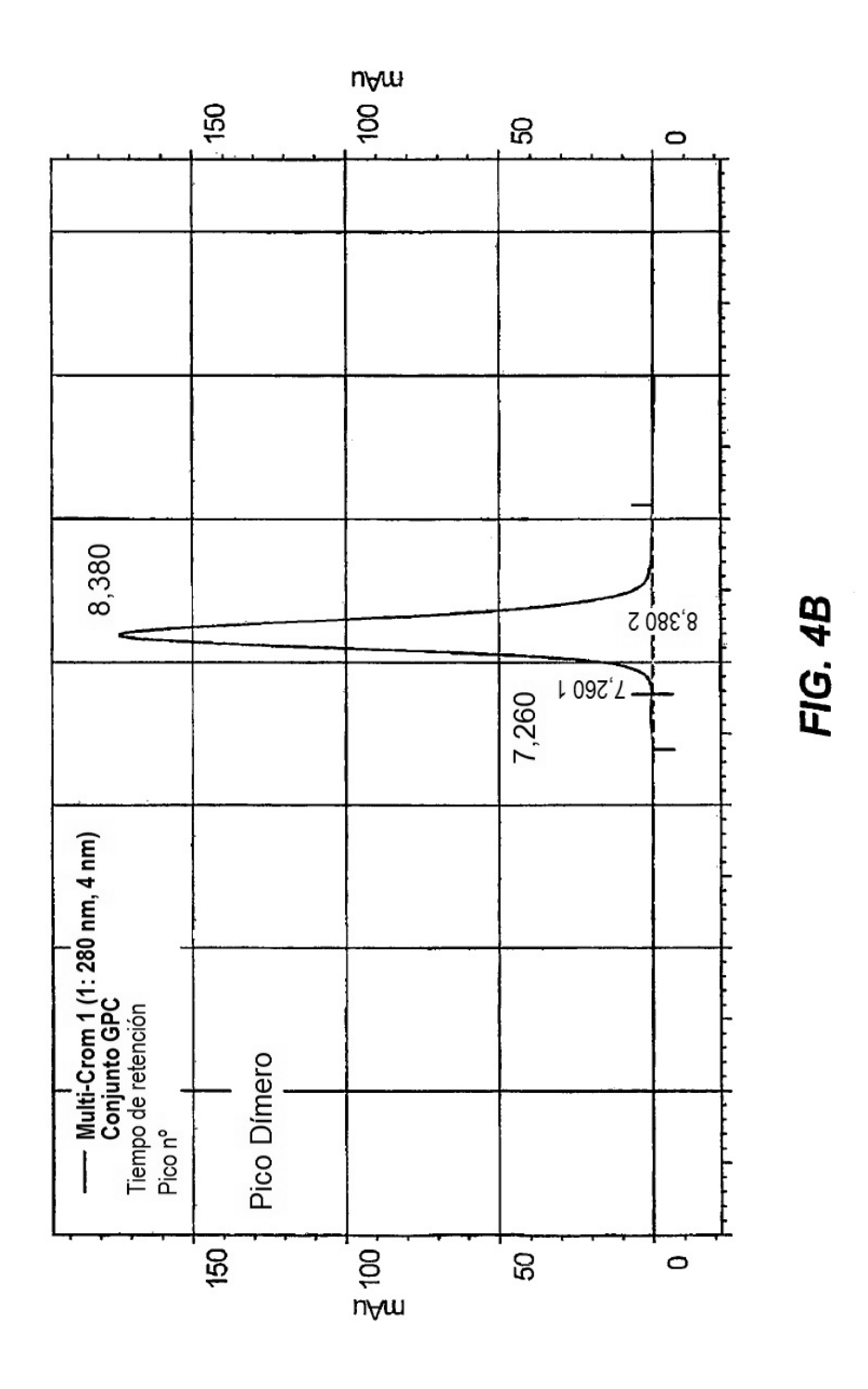
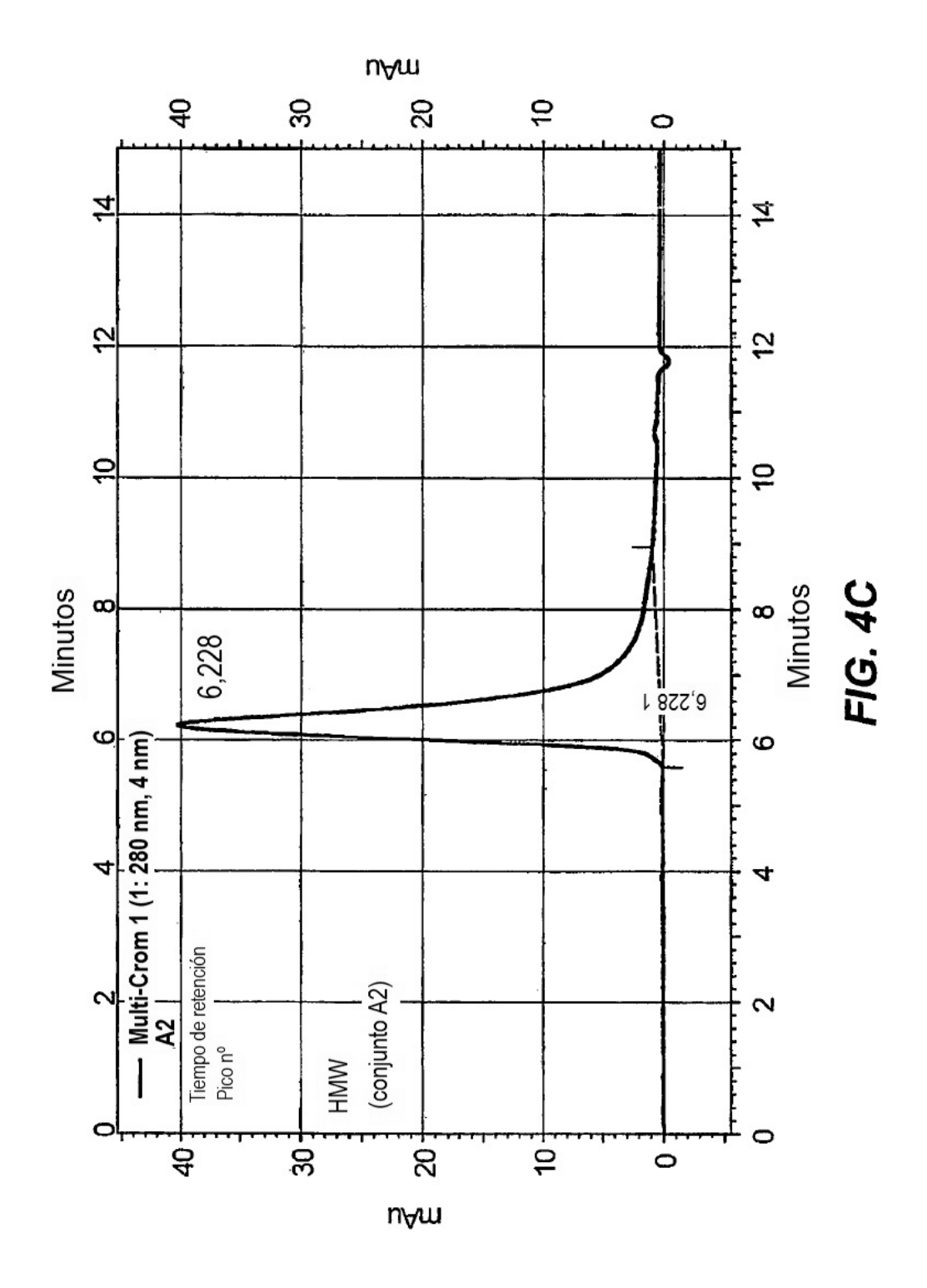


FIG. 3C







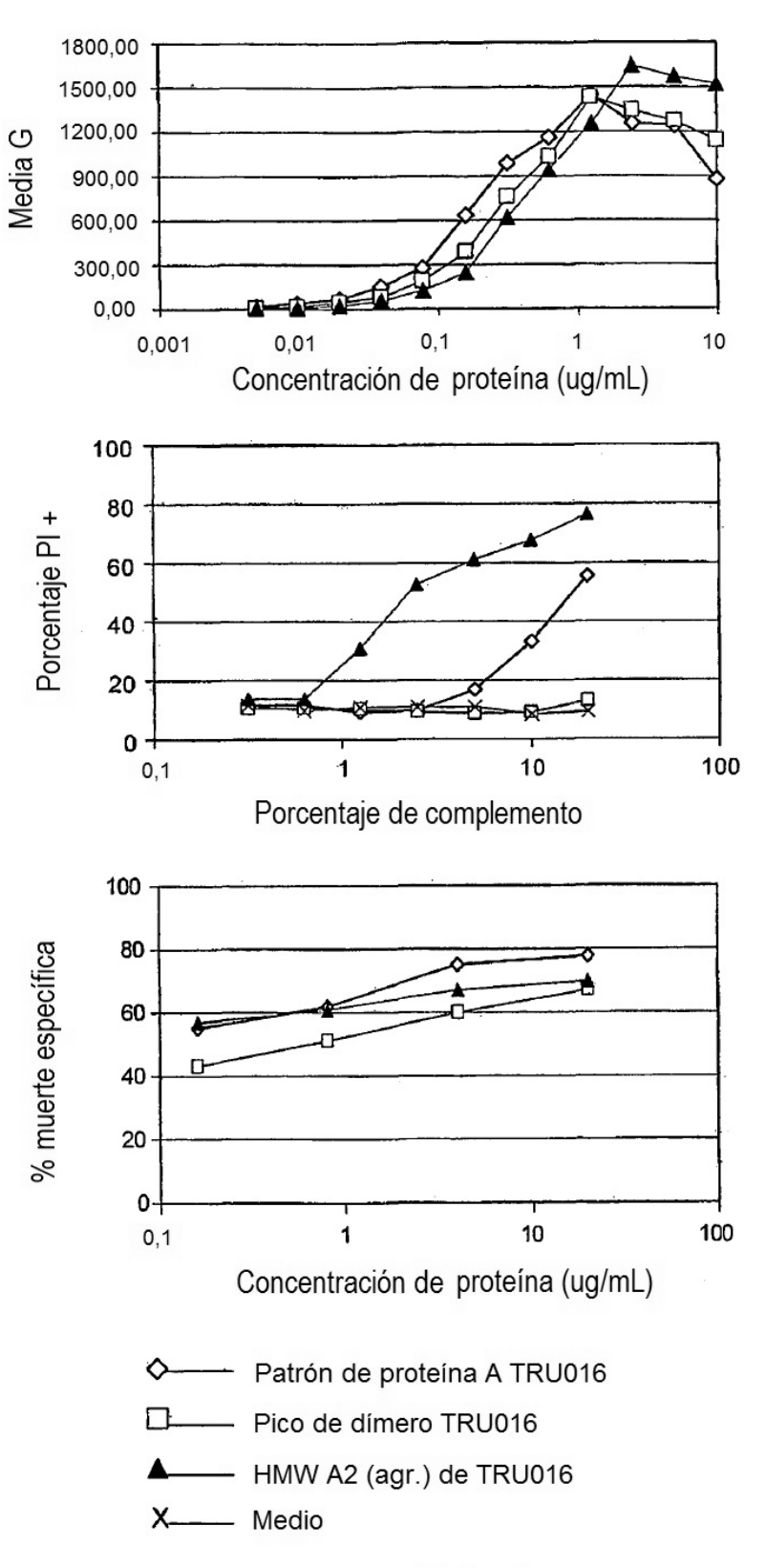
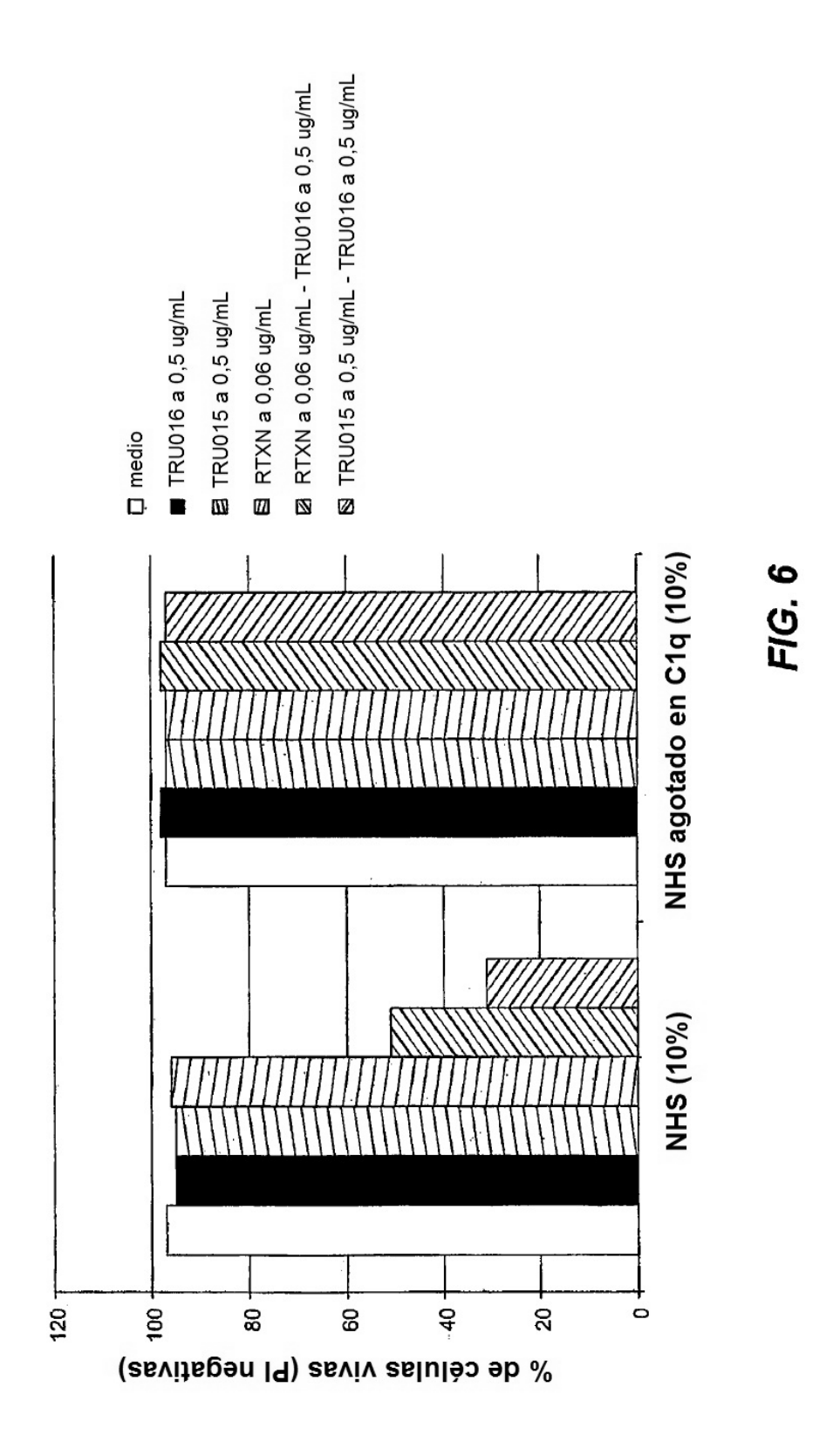
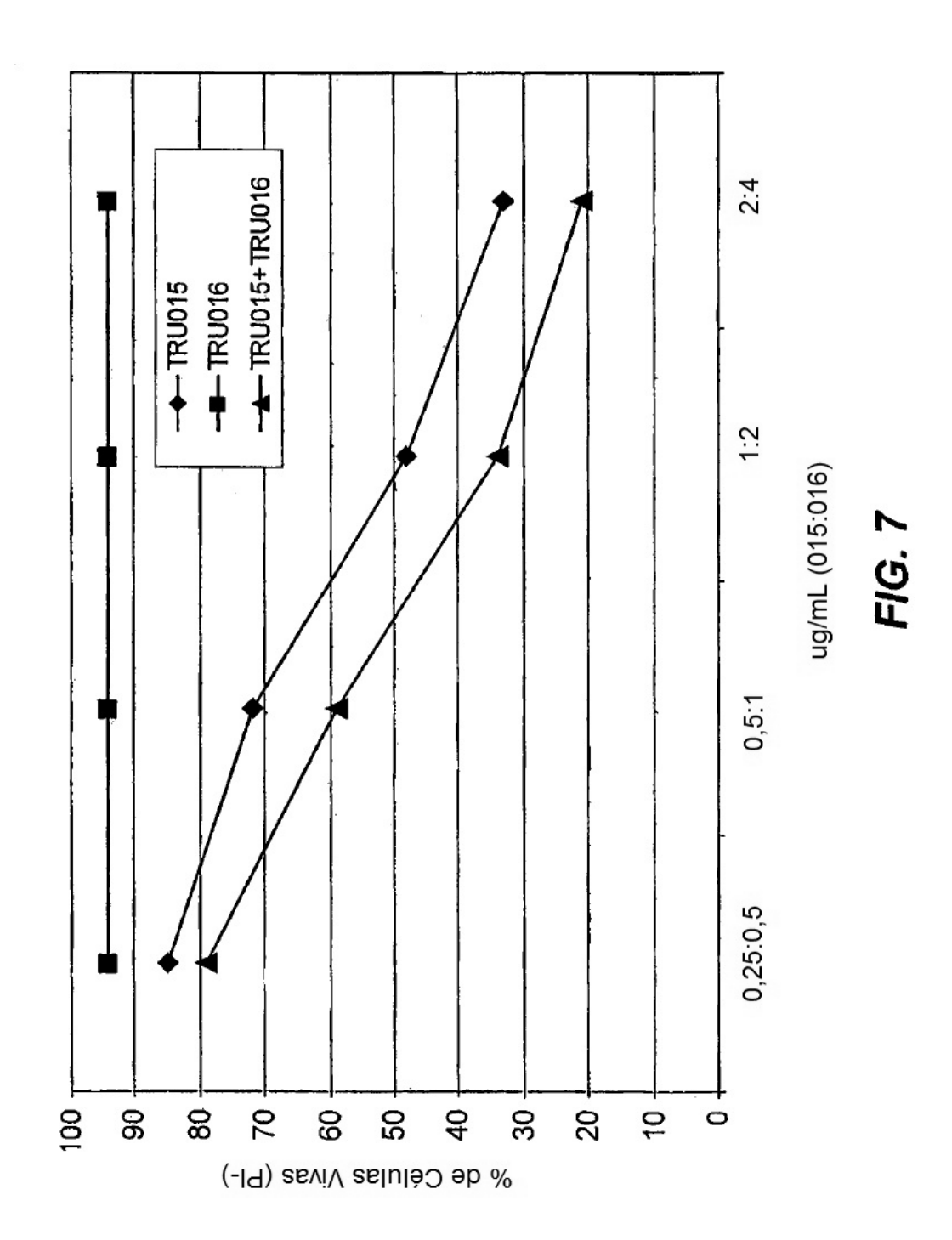
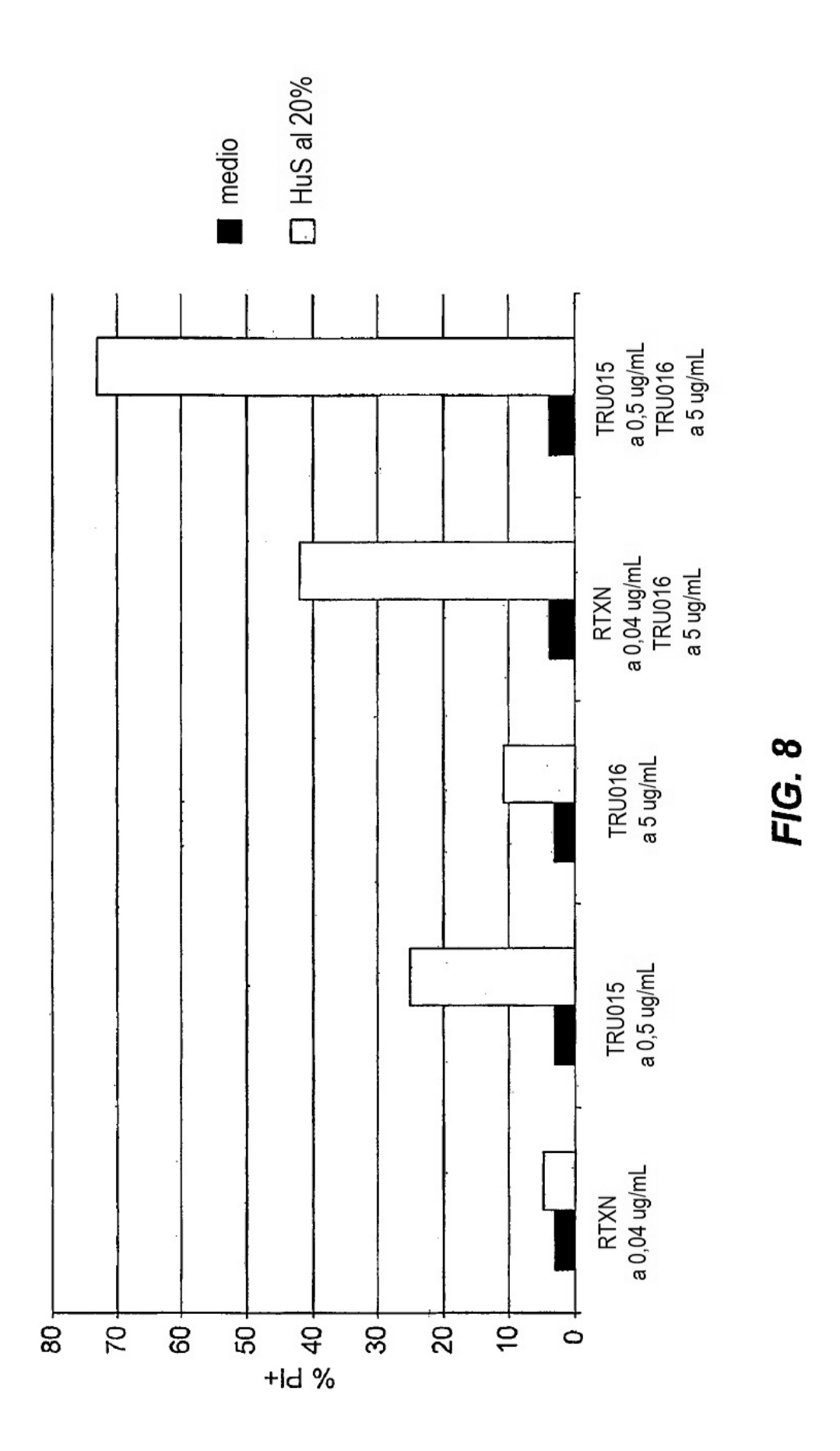
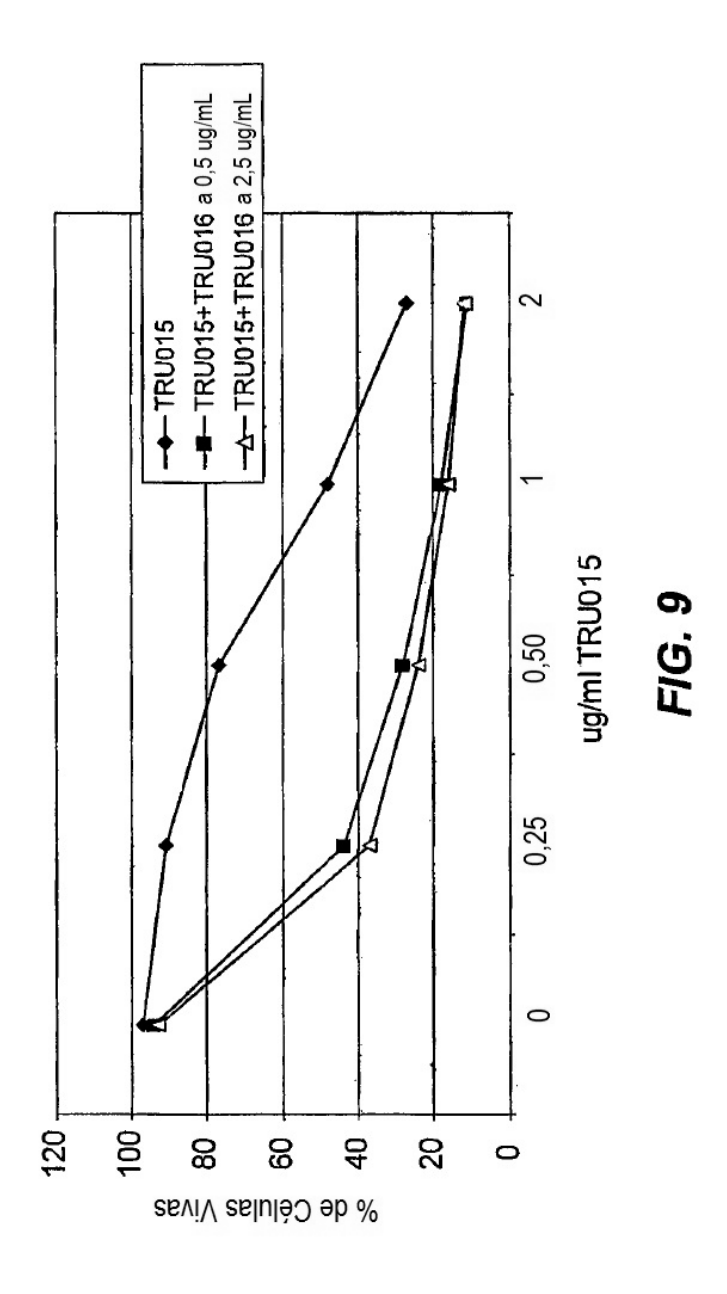


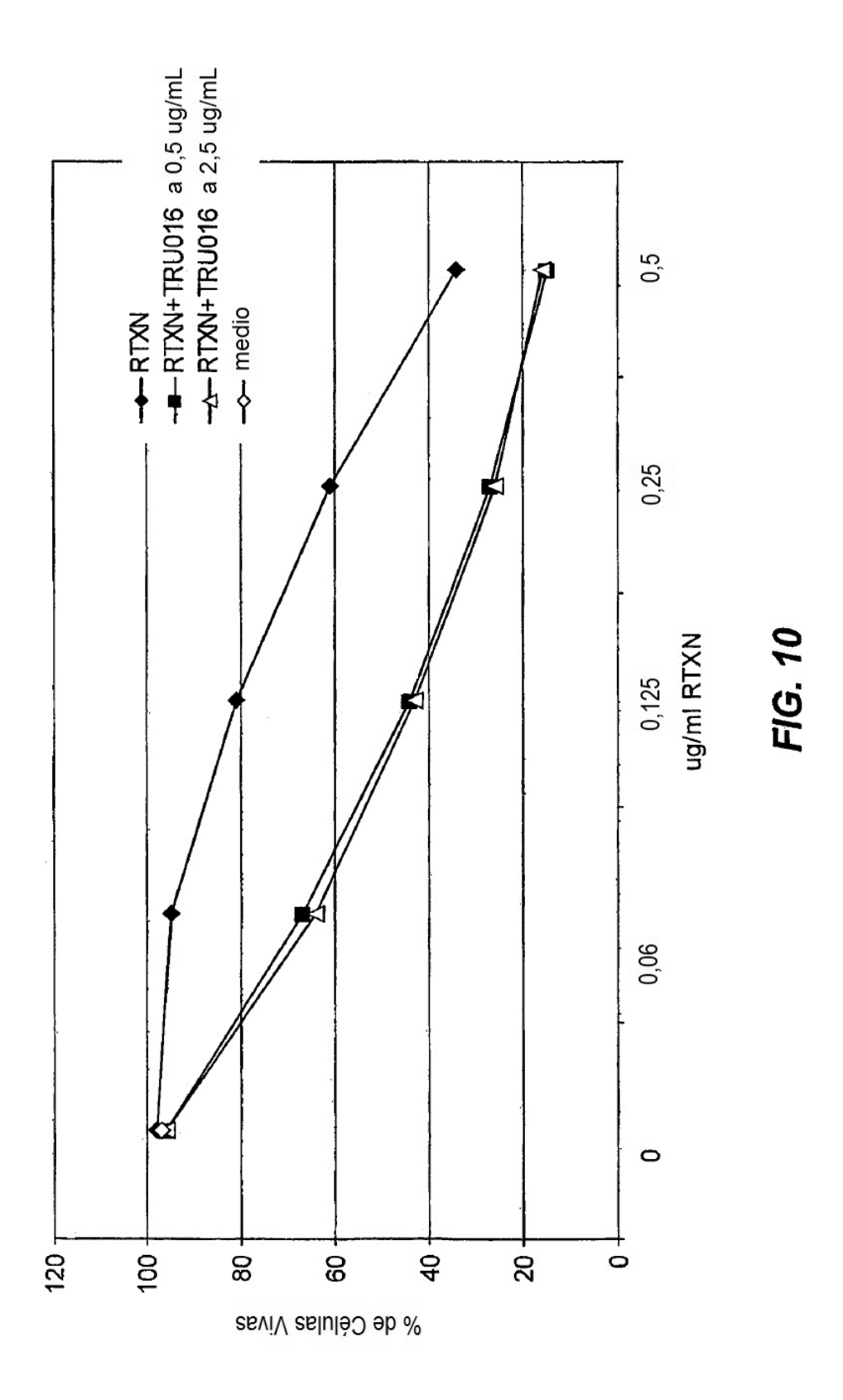
FIG. 5

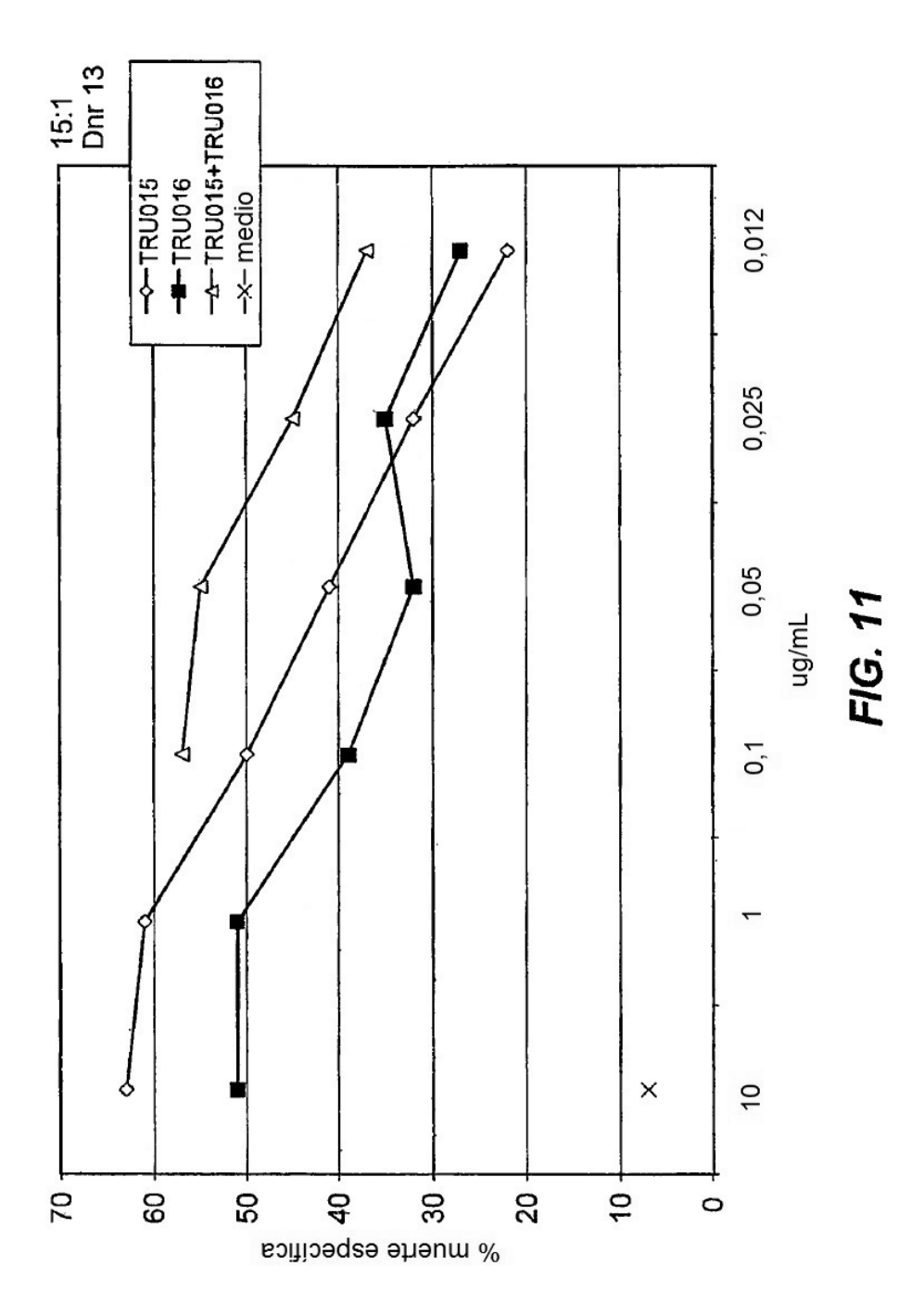


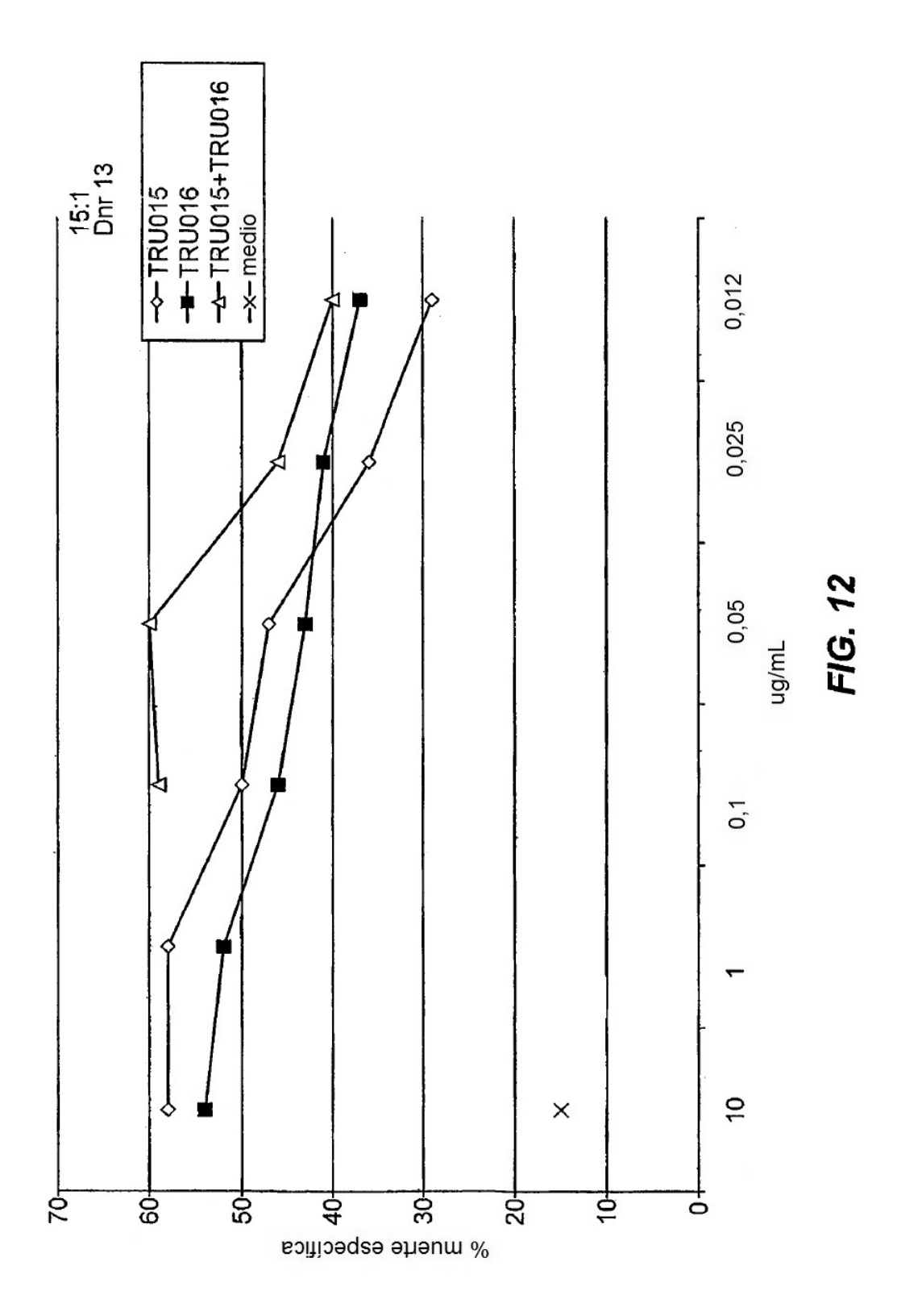


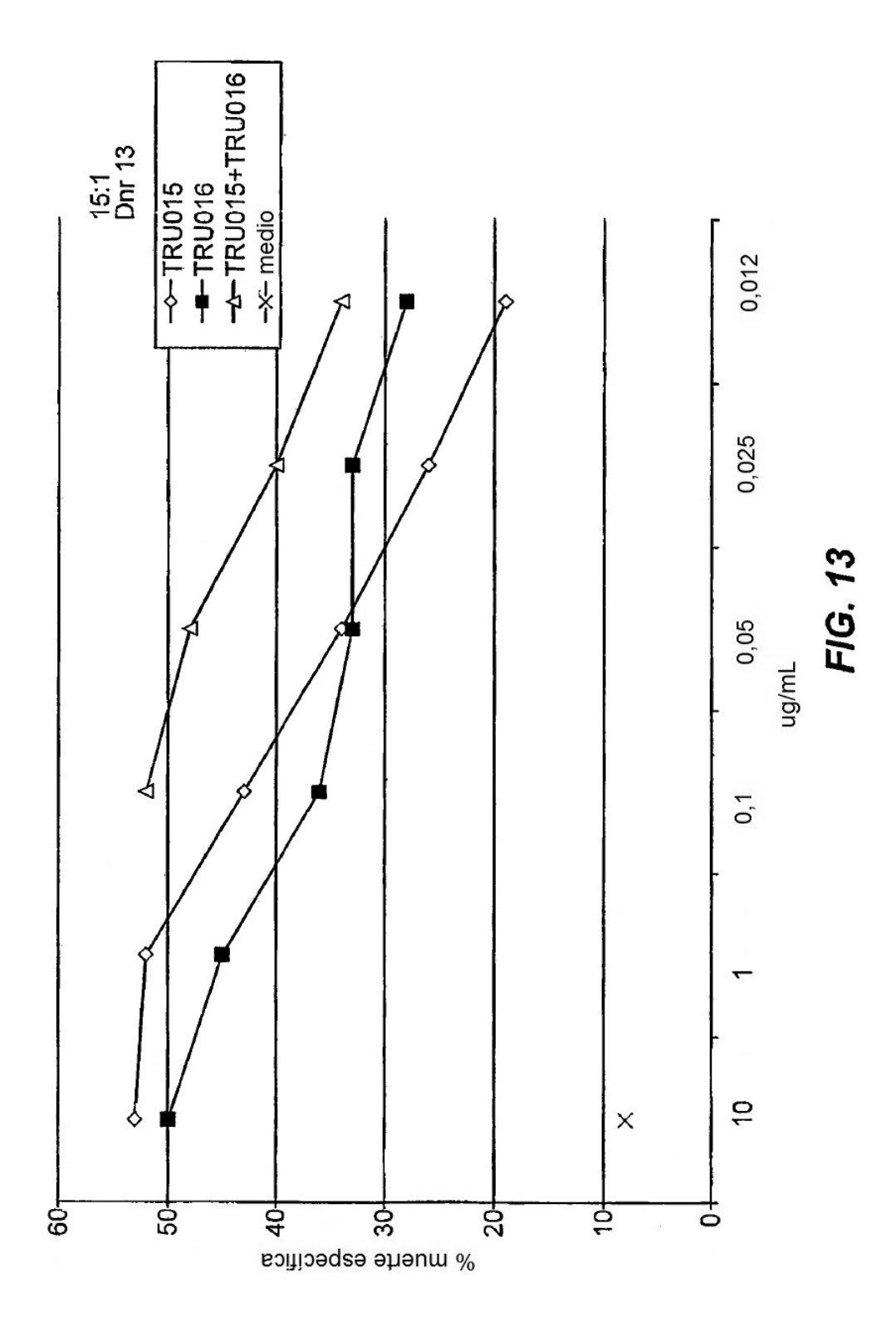


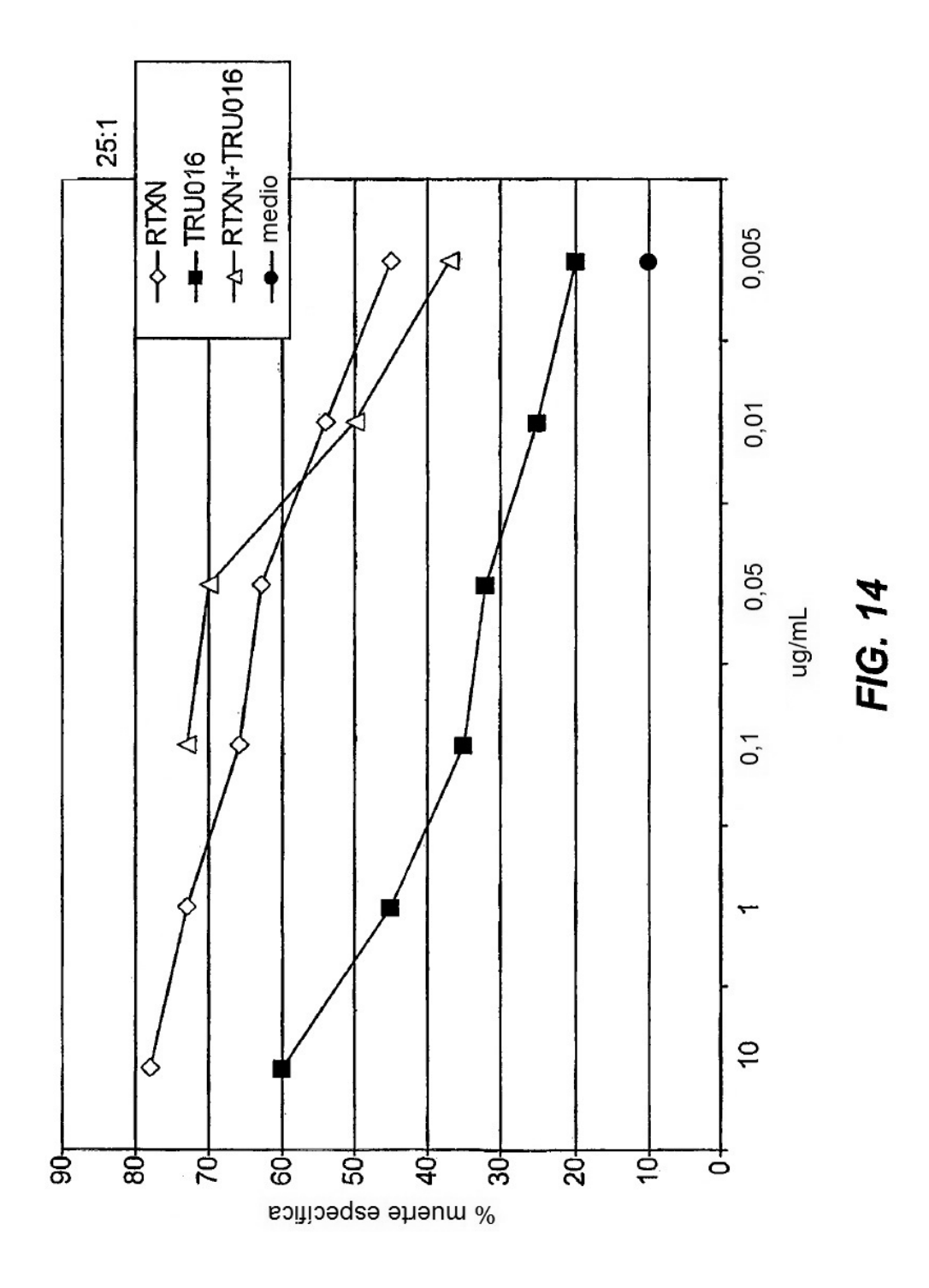


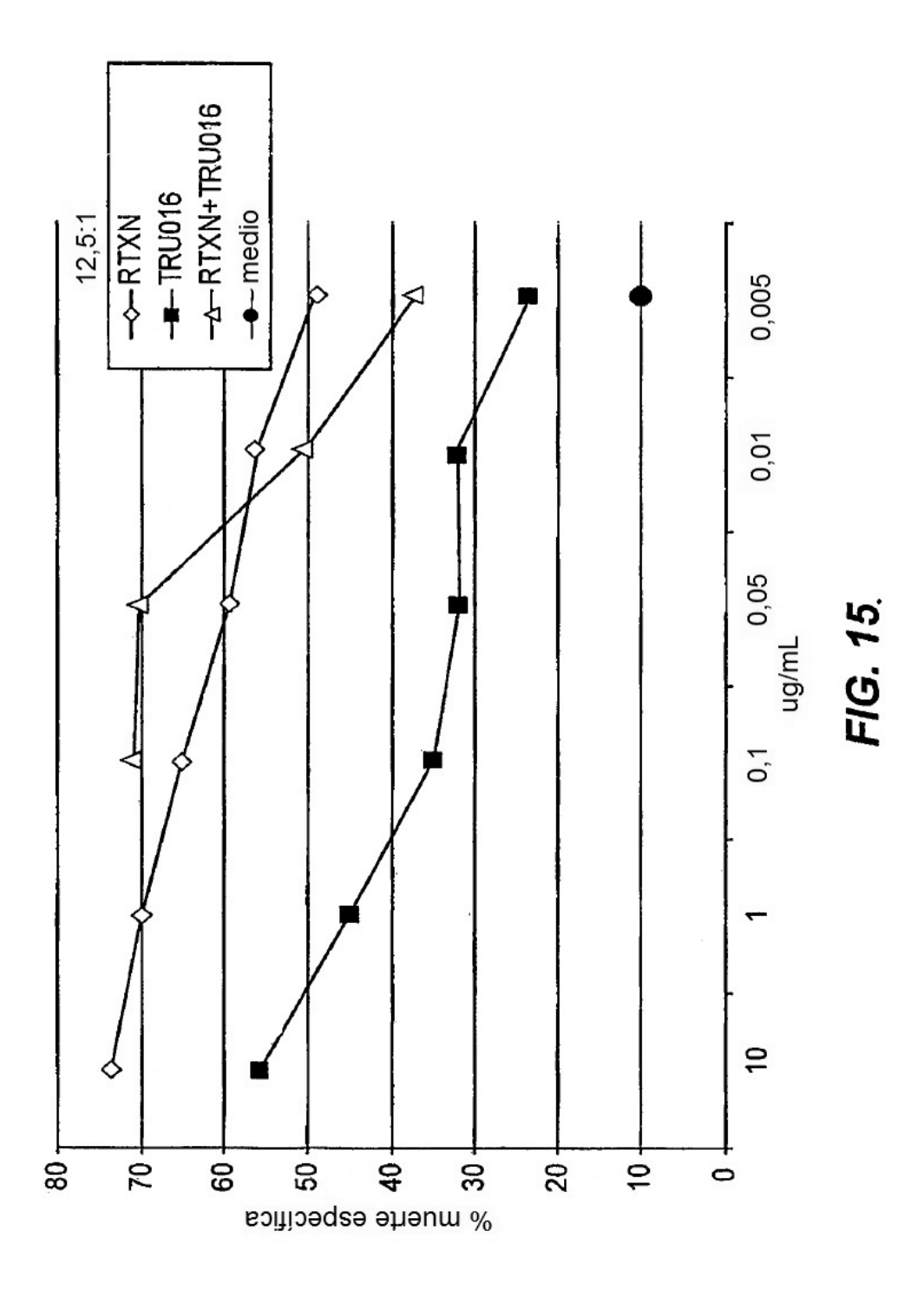


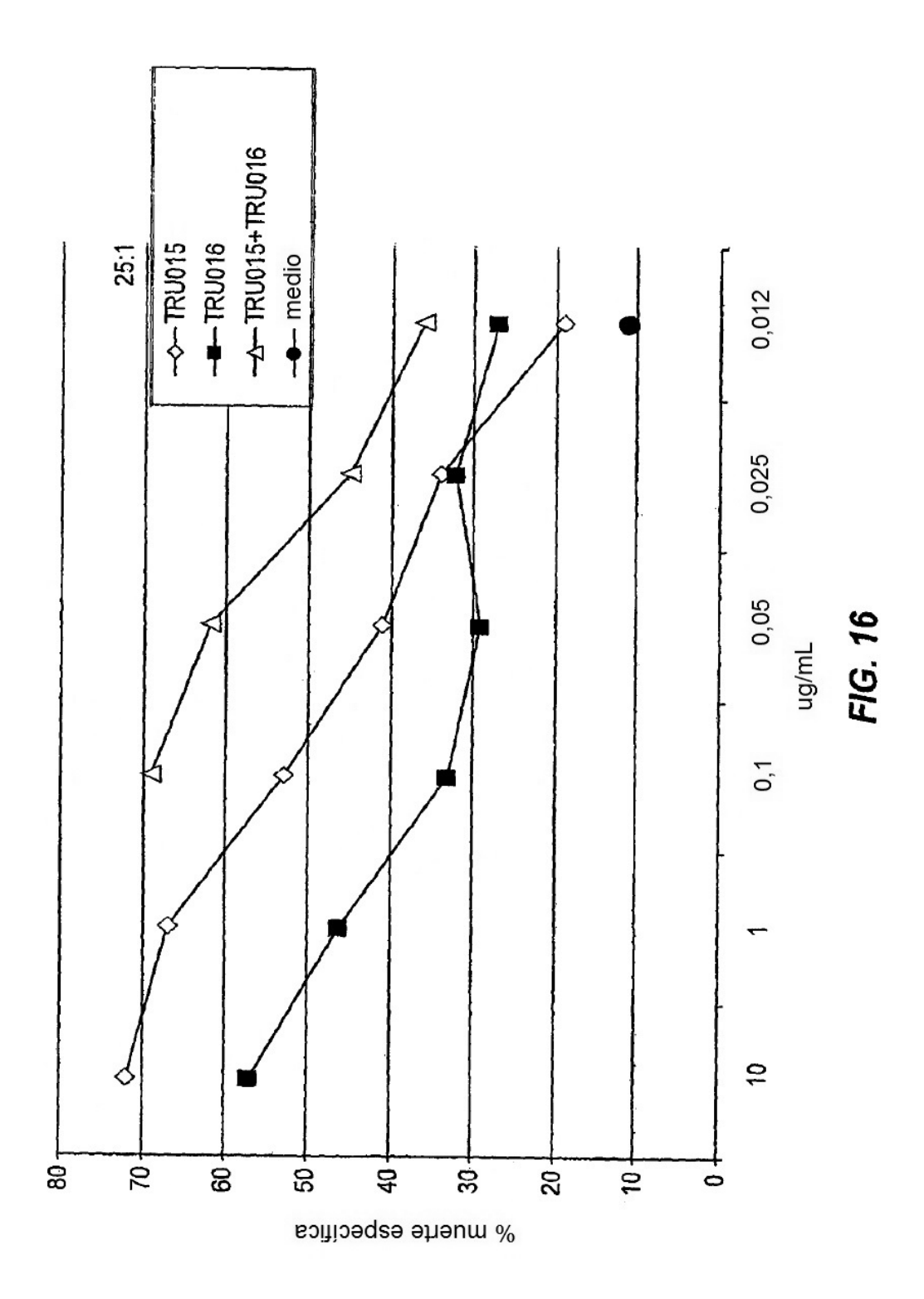


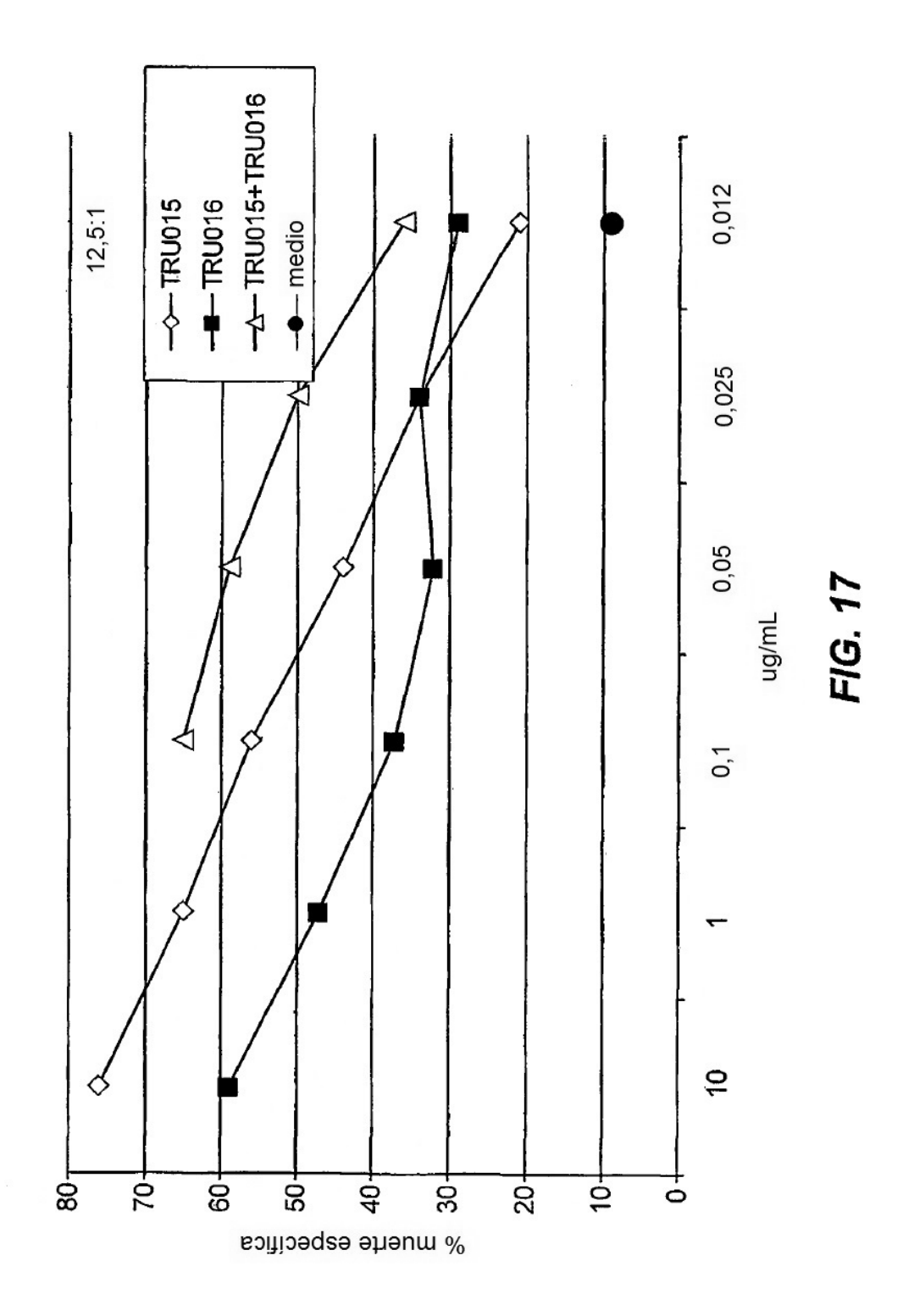












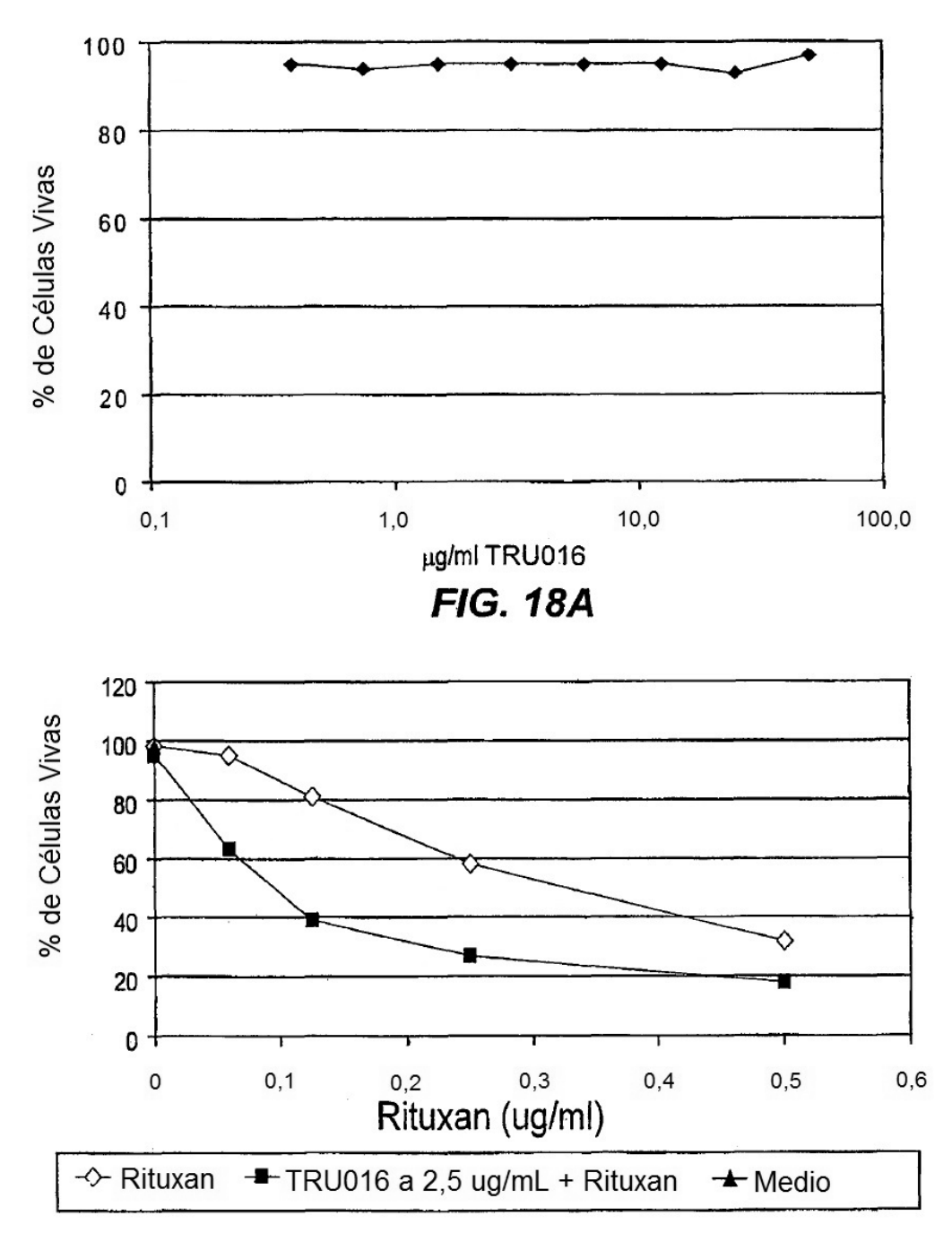


FIG. 18B

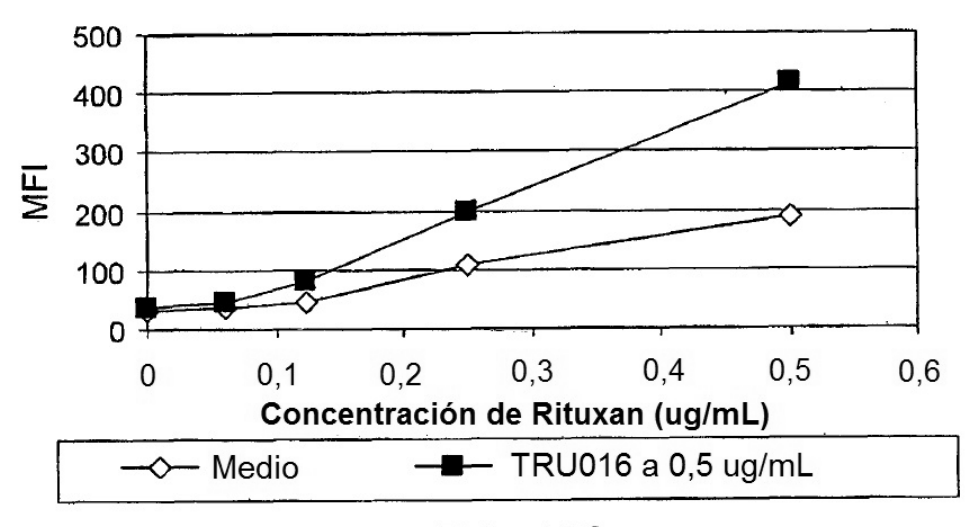


FIG. 18C

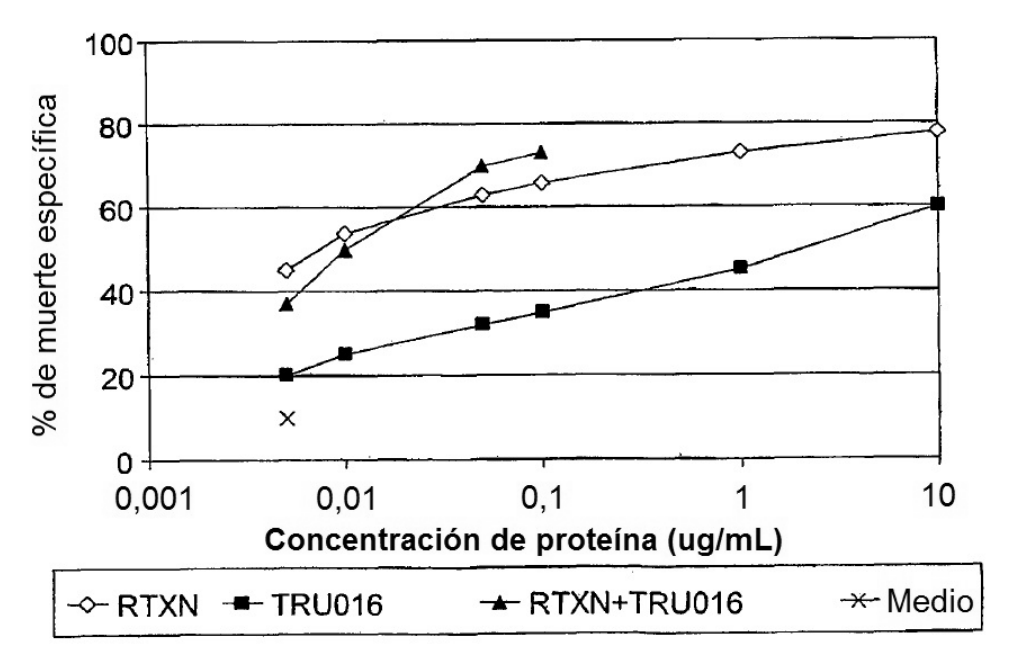


FIG. 18D

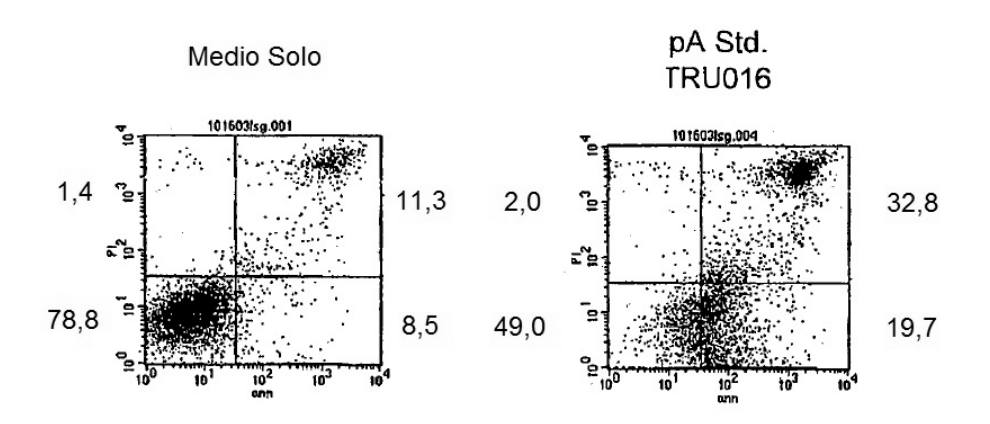


FIG. 19A

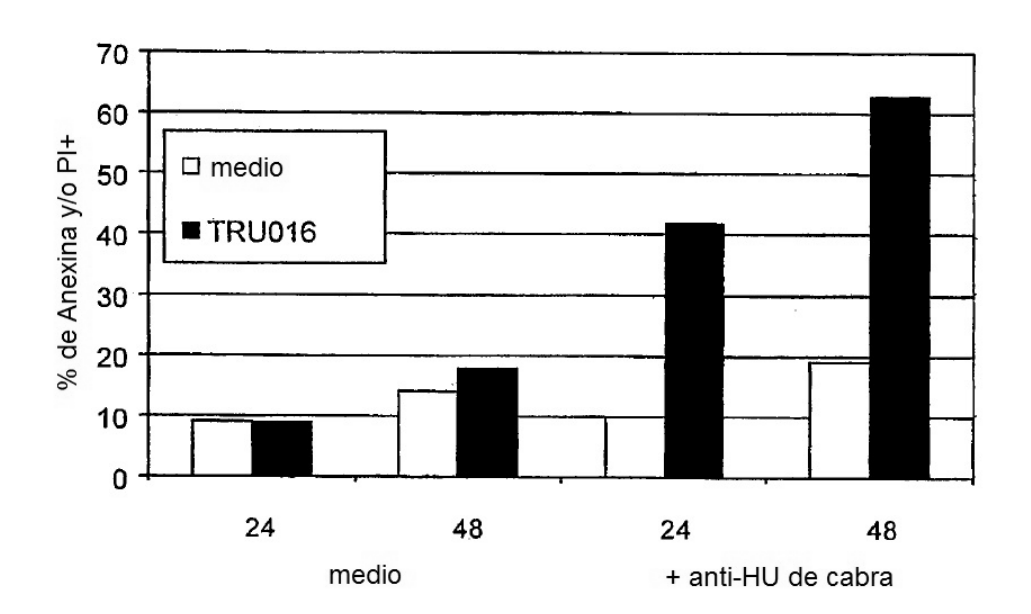
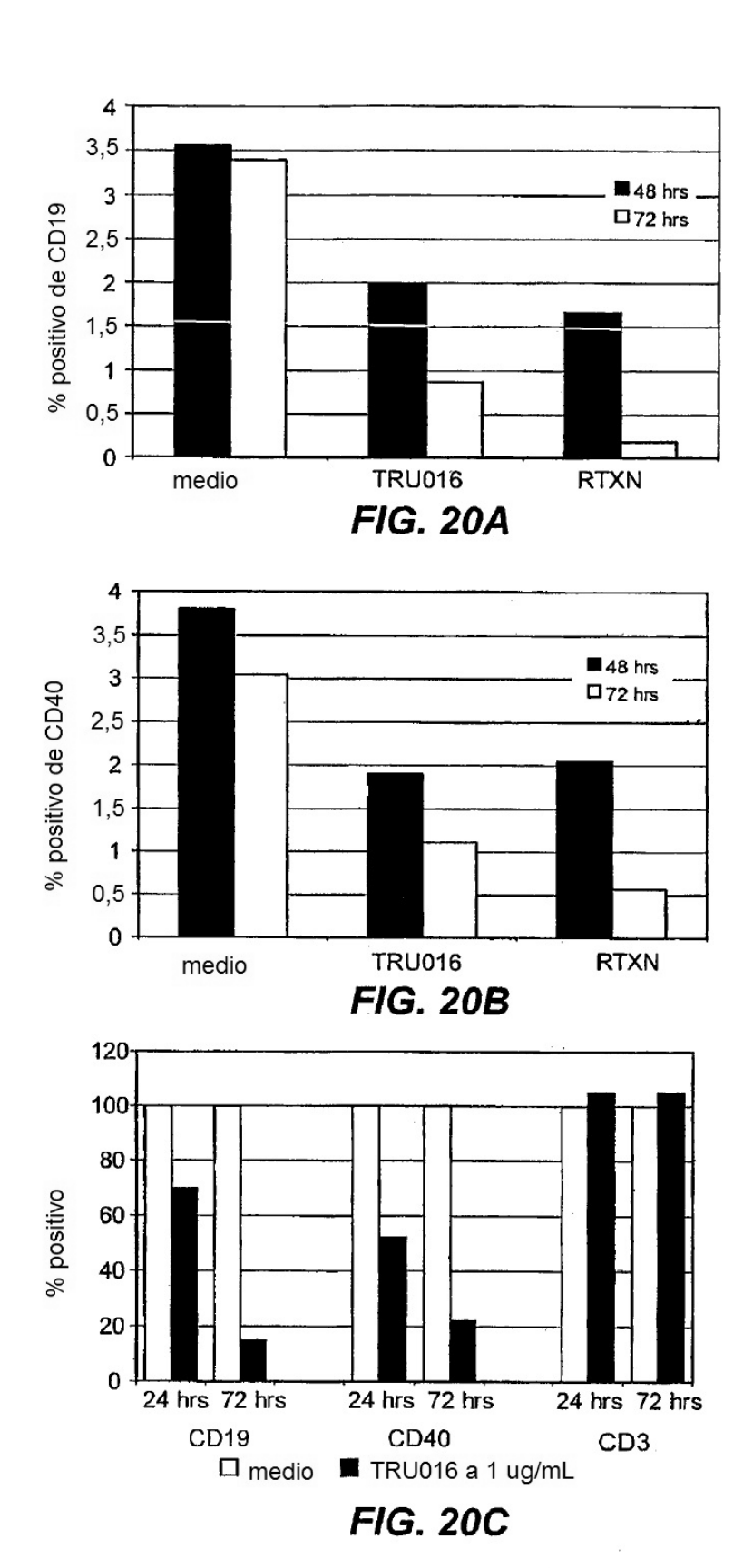
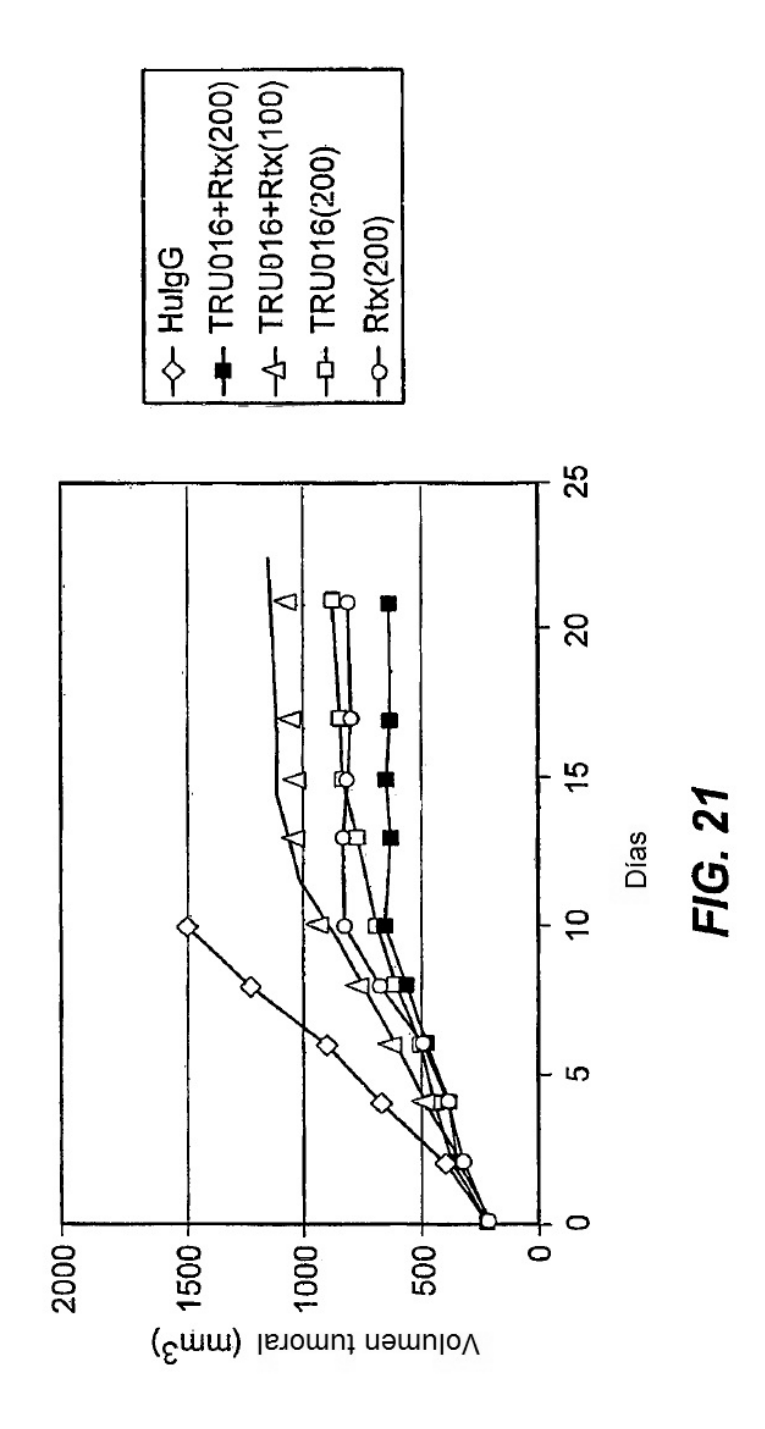
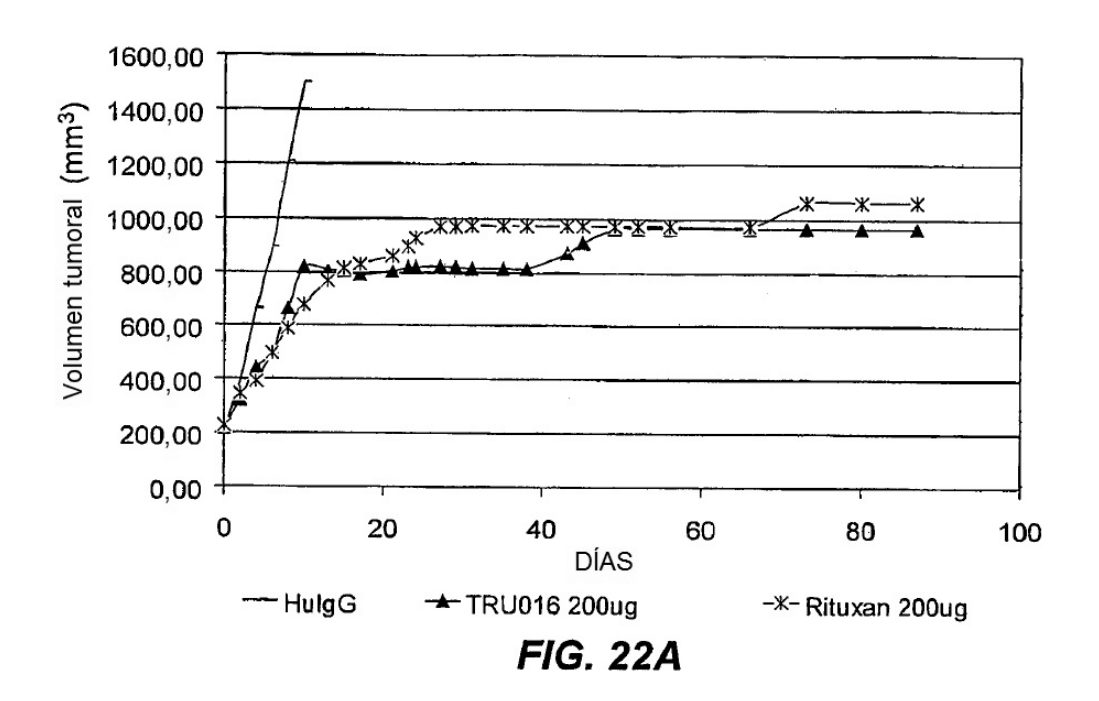
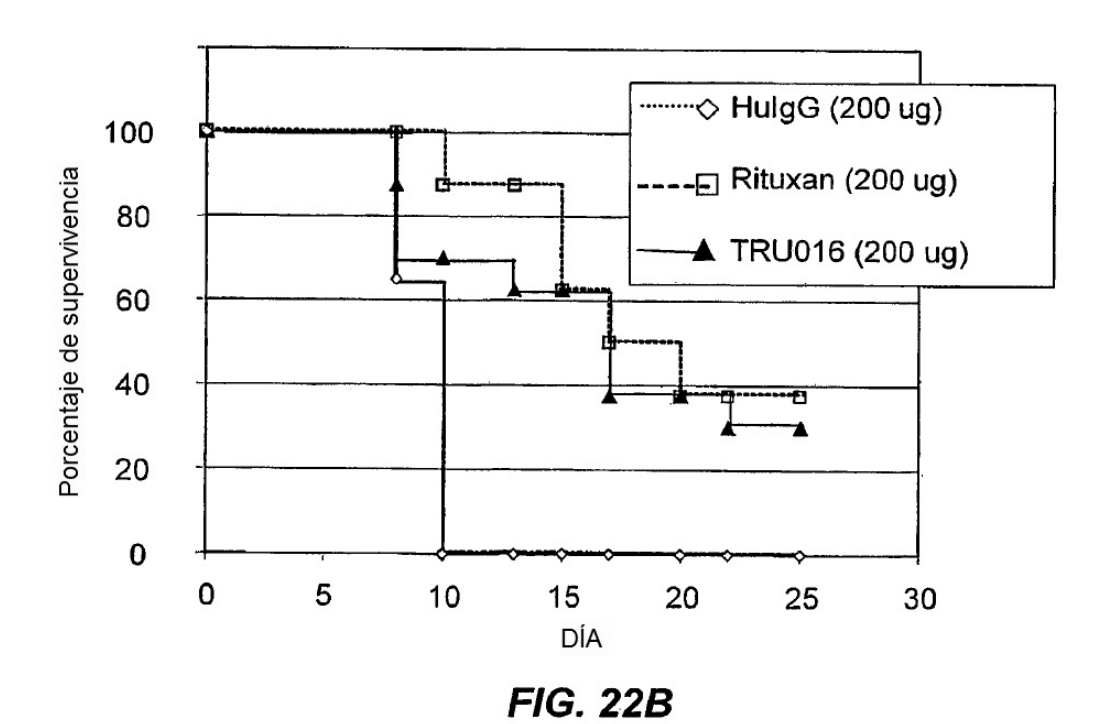


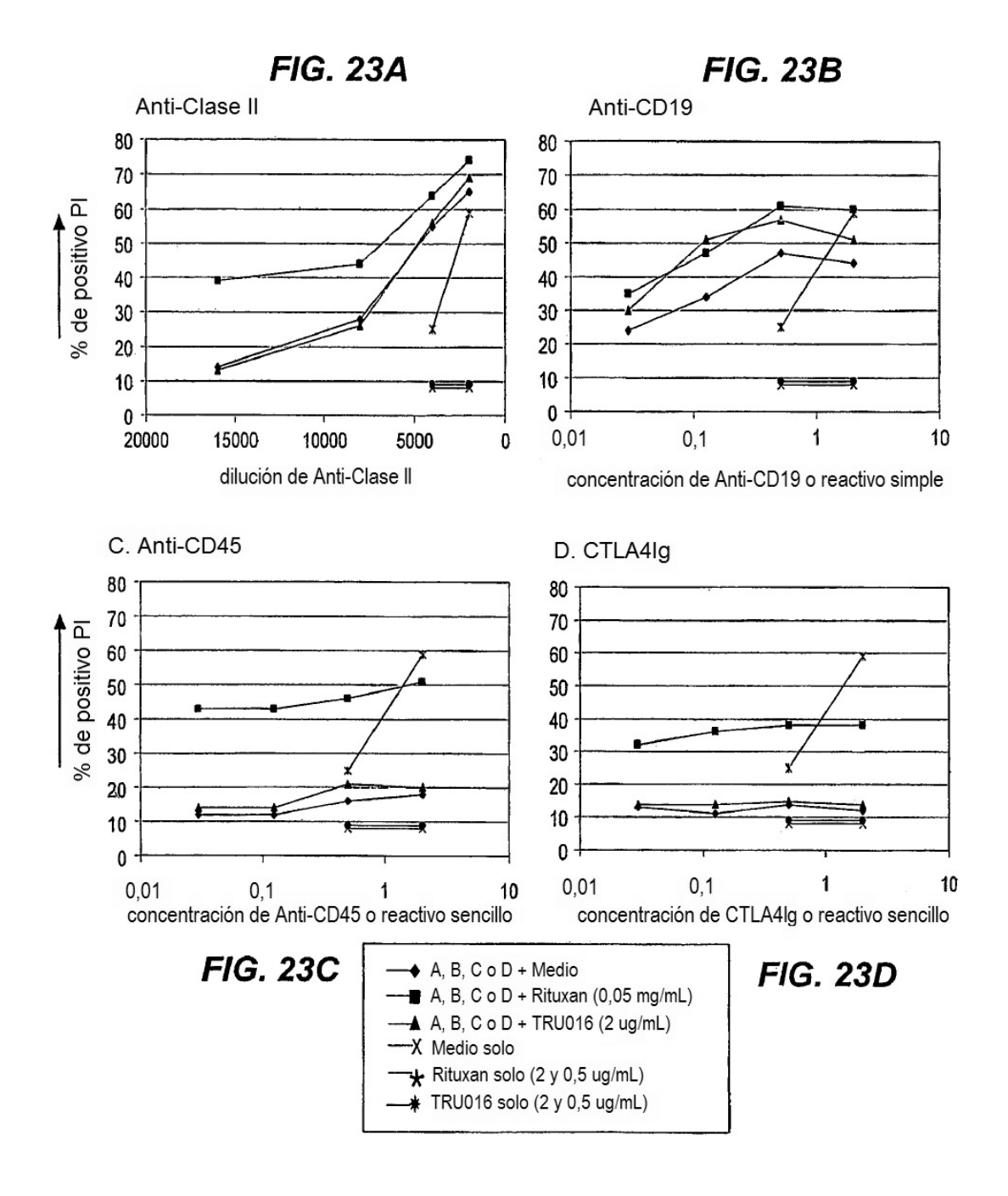
FIG. 19B











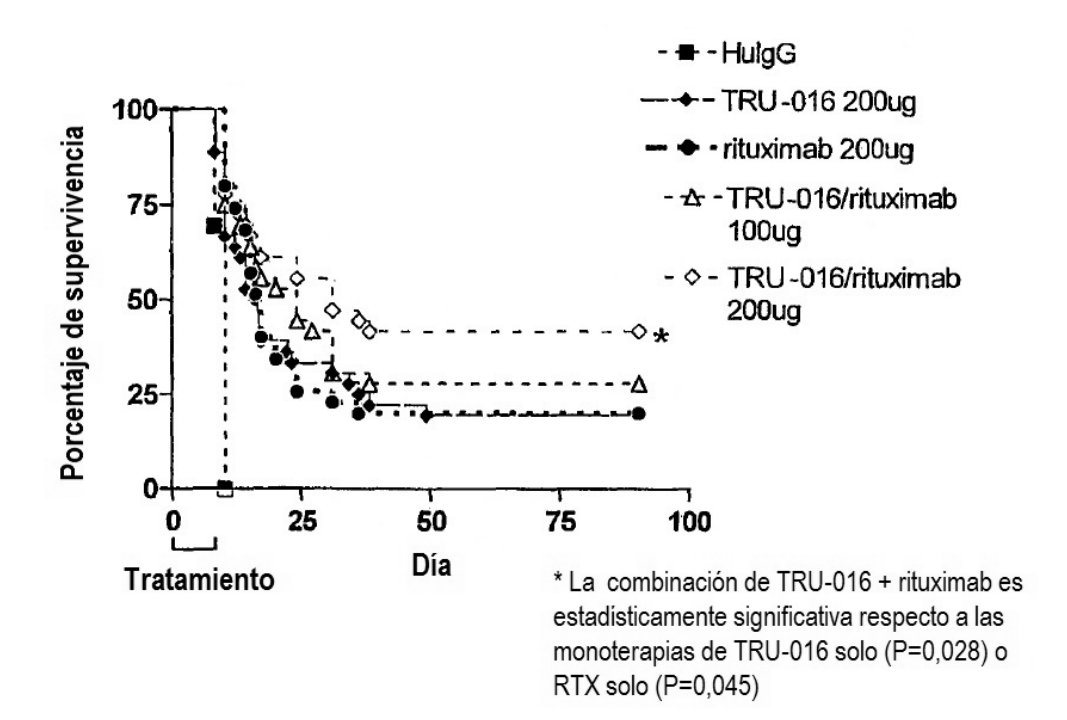


FIG. 24

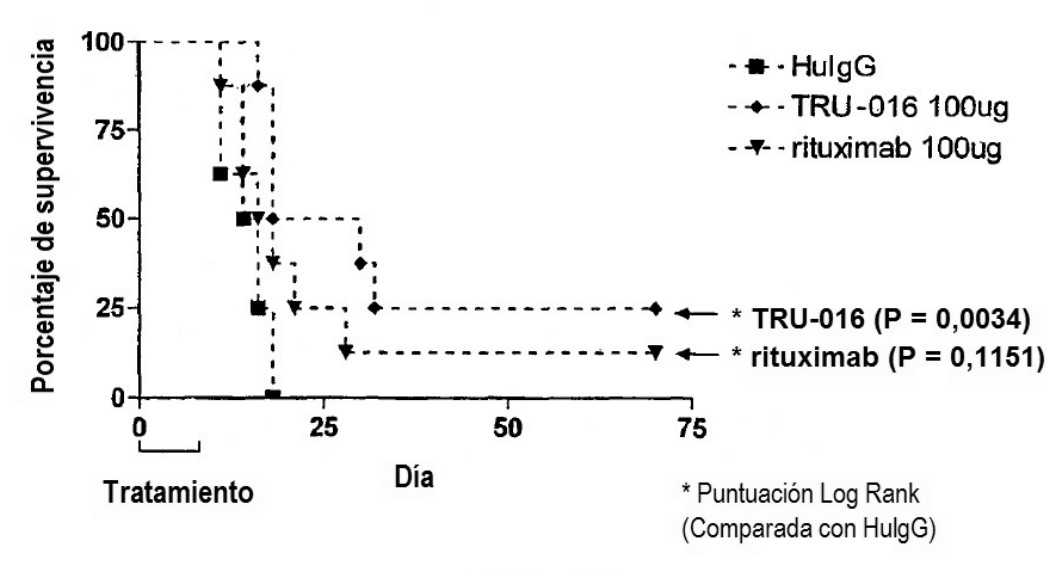
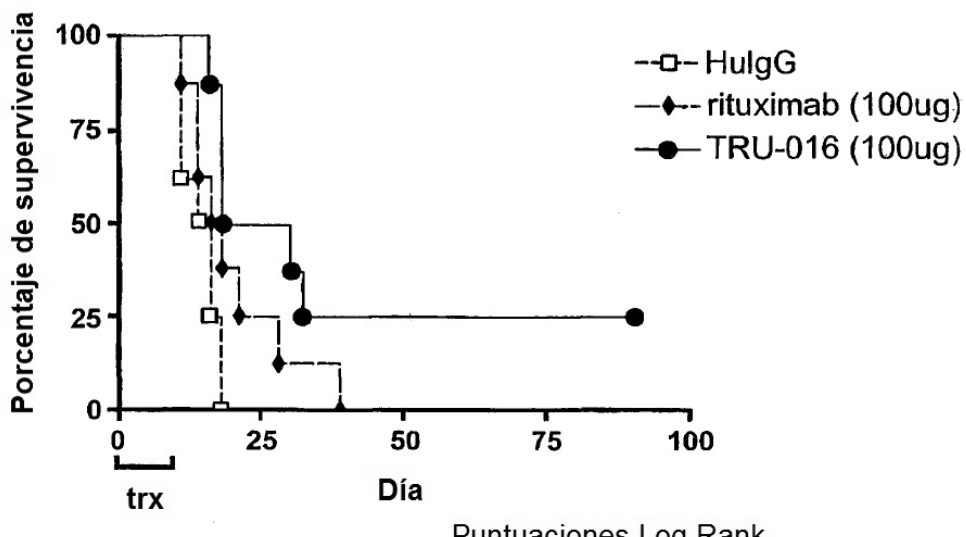
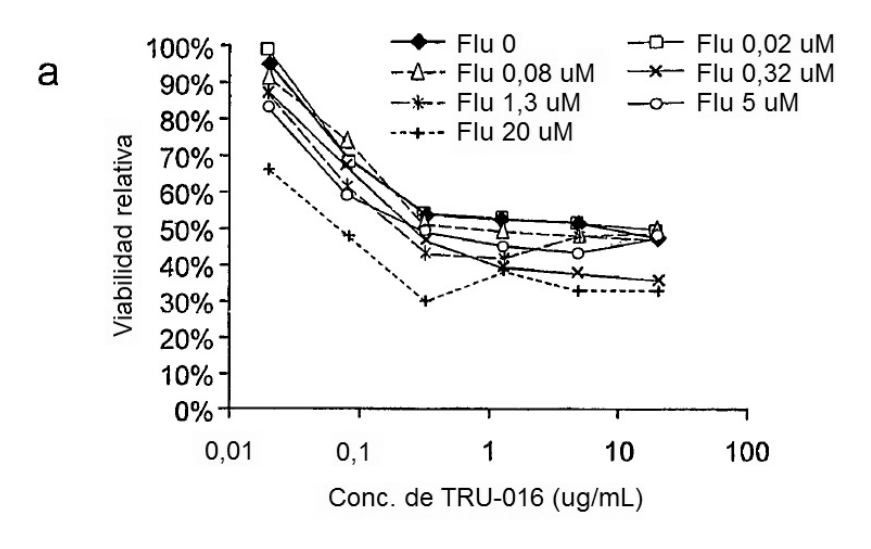


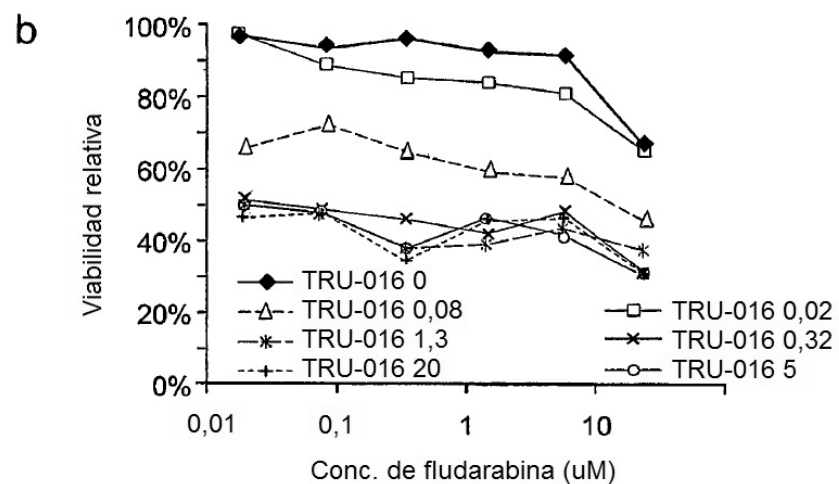
FIG. 25

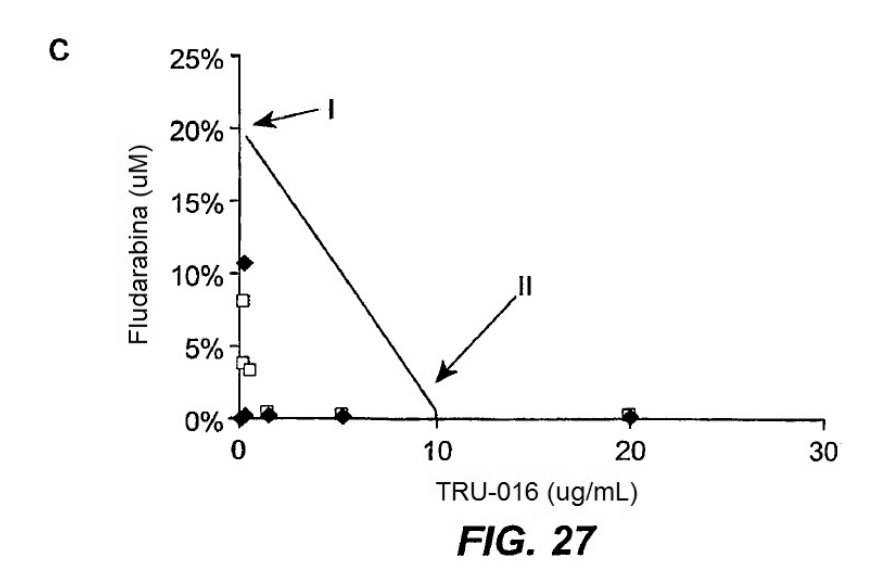


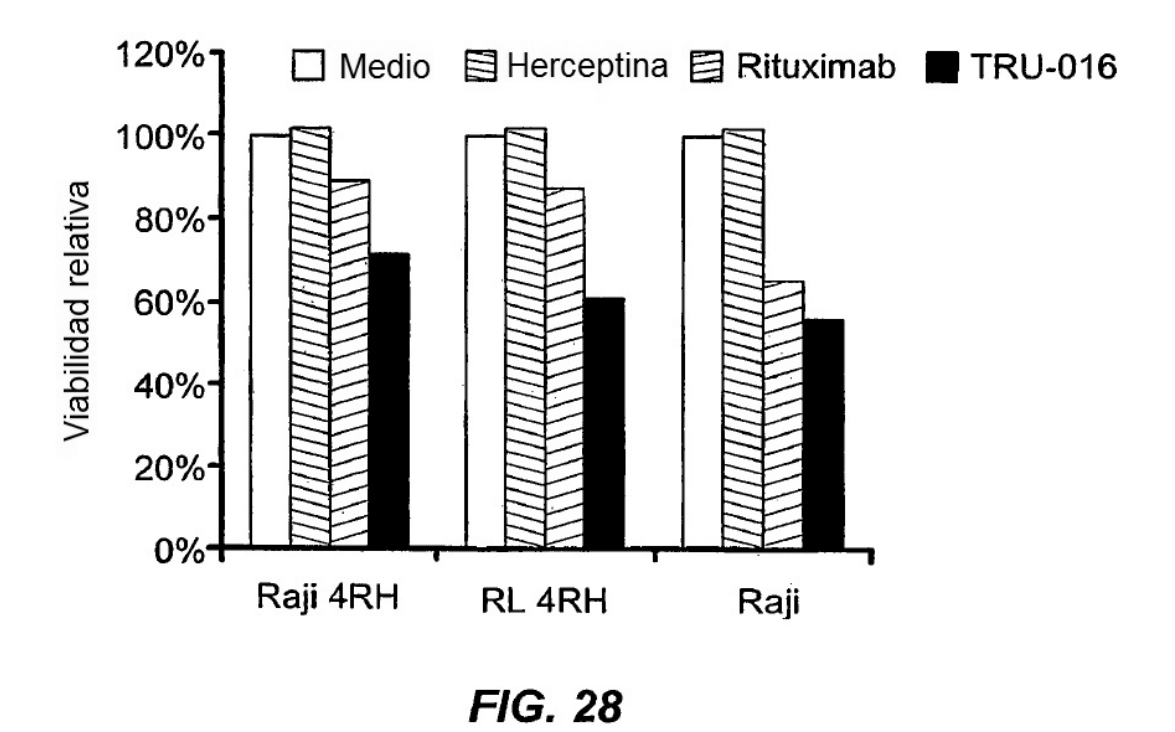
Puntuaciones Log Rank TRU-016 vs. control de HulgG P+0,003 rituximab vs. control de HulgG P=0,115

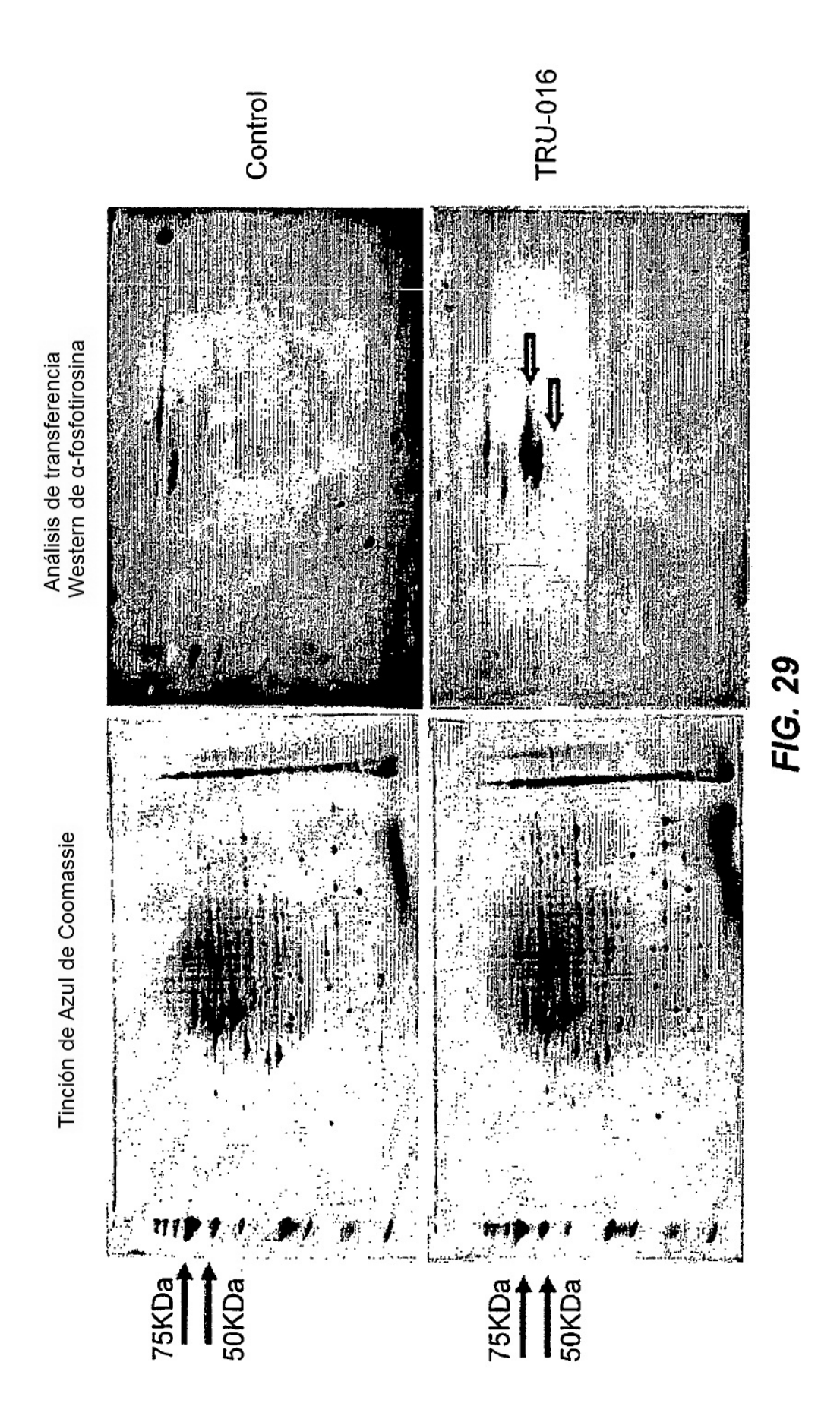
FIG. 26











L-FR1 L-CDR1 L-FR2 016_-_G28-1 DIQMTQSPASLSASVGETVTITC RTSENVYSYLA WYQQKQGKSPQLLVS 016_-_019001 EIVLTQSPATLSLSPGERATLSC RTSENVYSYLA WYQQKPGQAPRLLIY H016_-_019001 I TOSPA LS S GE T C RTSENVYSYLA WYQQK G P LL Consenso L-CDR2 L-FR3 L-CDR3 50 Q16_-_G28-1 FAKTLAE GVPSRFSGSGSGTQFSLKISSLQPEDSGSYFC QHHSDNPWT H016_-_019001 FAKTLAE GIPARFSGSGSGTDFTLTISSLEPEDFAVYYC QHHSDNPWT Consenso FAKTLAE G P RFSGSGSGT F L ISSL PED Y C QHHSDNPWT (G4S)3 ligando L-FR4 H-FR1 98 VQL QSG E KPG S KISCK SGYSFT Consenso FG GT EIK GGGGSGGGGGGGGG H-FR2 H-CDR1 H-CDR2 31 016_-_G28-1 GYNMN WYKONNGKSLEWIG NIDPYYGGTTYNRKFKG KATLTVDKSSS H016_-_019001 GYNMN WYROMPGKGLEWMG NIDPYYGGTTYNRKFKG QYTISADKSIS Consenso GYNMN WV Q GK LEW G NIDPYYGGTTYNRKFKG T DKS S H-FR3 H-CDR3 H-FR4 77 113 016_-_G28-1 H016_-_019001 TAYMQLKSLTSEDSAVYYCAR SVGPMDY WGQGTSVTVSS TAYLQWSSLKASDTAMYYCAR SVGPMDY WGRGTLVTVSS Consenso TAY Q SL D A YYCAR SVGPMDY WG GT VTV55

FIG. 30A

ES 2 460 517 T3

H016019001 H016019008 H016019009	1 50 EIVLTQSPATLSLSPGERATLSCRTSENVYSYLAWYQQKPGQAPRLLIYF EIVLTQSPATLSLSPGERATLSCRTSENVYSYLAWYQQKPGQAPRLLIYF EIVLTQSPATLSLSPGERATLSCRTSENVYSYLAWYQQKPGQAPRLLIYF
H016019001 H016019008 H016019009	51 AKTLAEGIPARFSGSGSGTDFTLTISSLEPEDFAVYYCQHHSDNPWTFGQ AKTLAEGIPARFSGSGSGTDFTLTISSLEPEDFAVYYCQHHSDNPWTFGQ AKTLAEGIPARFSGSGSGTDFTLTISSLEPEDFAVYYCQHHSDNPWTFGQ
H016019001 H016019008 H016019009	101 GTKVEIKGGGGSGGGGSGGGGTGEVQLVQSGAEVKKPGESLKISCKGSGY GTKVEIKGGGSGGGGSGGGGASEVQLVQSGAESKKPGESLKISCKGSGY GTKVEIKGGGGSGGGGSGGGGASEVQLVQSGAESKKPGESLRISCKGSGY
H016019001 H016019008 H016019009	200 SFTGYNMNWYRQMPGKGLEWMGNIDPYYGGTTYNRKFKGQVTISADKSIS SFTGYNMNWYRQMPGKGLEWMGNIDPYYGGTTYNRKFKGQVTISADKSIS SFTGYNMNWYRQMPGKGLEWMGNIDPYYGGTTYNRKFKGHVTISADKSIS
H016019001 H016019008 H016019009	201 239 TAYLQWSSLKASDTAMYYCARSVGPMDYWGRGTLVTVSS TAYLQWSSLKASDTAMYYCARSVGPMDYWGRGTLVTVSS TAYLQWSSLKASDTAMYYCARSVGPMDYWGRGTLVTVSS

FIG. 30B

Secuencia de ADN	atggaagccccagctcagcttctctcctcctgctactctggctcccag	aagcttgccgccatggaagccccagcgcagcttctcttcctcctgcta	aagcttgccgccatggaagccccagcgcagcttctcttcctcctgcta
Bisagra	SSC-P	SSC-P	SSC-P
Descripción	VK3:VH5-51	Vk3:VH5-51	Vk3:VH5-51
ID de Construcción	019001	019041	019044

Secuencia de aminoácidos

meapaqlifilliwipditgeivitgspatisispgeratiscrasenvysylawyqqkpgqapriliyfaktlaegiparfsgsgsgtdfittisslepedfavyycqhhsdnpwffgqgtkveikggggsgggggggggggggg

vqfvqsgaevkkpgeslkisckgsgysftgynmnwvrqmpgkglewmgnidpyyggttynrkfkgqvtisadksistaylqwsslkasdtamyycarsvgpfdywgqgtlvtvssdqepkssdkthtsppcpap vqivqsgaevkkpgeslkisckgsgysftgynmnwvrqmpgkglewmgnidpyyggttynrkfkgqvtisadksistaylqwsslkasdtamyycarsvgpfdswgqgtlvtvssdqepkssdkthtsppcpap rqlvqsgaevkkpgeslkisckgsgysftgynmnwvrqmpgkglewmgnidpyyggttynrkfkgqvtisadksistayiqwsslkasdtamyycarsvgpmdywgrgtfvtvssdqepkssdkthtsppcpap

eliggpsvflfppkpkdtimisrtpevtcvvvdvshedpevkfnwyvdgvevhnaktkpreegynstyrvvsvltvihqdwingkeykckvsnkalpapiektiskakggprepgvytippsrdeliknqvsttclvkgfy eliggpsviffppkpkdtimisrtpevtcvvvdvshedpevkfnwyvdgvevhnaktkpreegynstyrvvsvitvlhqdwingkeykckvsnkalpapiektiskakgqprepqvytippsrdeltknqvsltclvkgfy eliggpsvflfppkpkdtlmisrtpevtcvvvdvshedpevkfnwyvdgvevhnaktkpreegynstyrvvsvltvlhqdwlngkeykckvsnkalpapiektiskakgqprepqvytlppsrdeltknqvsltclvkgfy

//psdiavewesngqpennykttppvldsdgsfflyskttvdksrwqqgnvfscsvmhealhnhytqkslslspgk /psdiavewesngqpennykttppvldsdgsfflyskttvdksrwqqgnvfscsvmhealhnhytqkslsispgk* /psdiavewesngqpennykttppvldsdgsfflyskttvdksrwqqgnvfscsvmhealhnhytqkslslspgk*

FIG. 31

FIG. 32A

CADENA LIGERA 019041 019044 019001	EIVLTQSPATLSLSPGERATLSC RASENVYSYLA WYQQKPGQAPRLLIY EIVLTQSPATLSLSPGERATLSC RASENVYSYLA WYQQKPGQAPRLLIY EIVLTQSPATLSLSPGERATLSC RTSENVYSYLA WYQQKPGQAPRLLIY
019041 019044 019001	CDR2FR3CDR3FR4 FAKTLAE GIPARFSGSGSGTDFTLTISSLEPEDFAVYYC QHHSDNPWT FGQGTKVEIK FAKTLAE GIPARFSGSGSGTDFTLTISSLEPEDFAVYYC QHHSDNPWT FGQGTKVEIK FAKTLAE GIPARFSGSGSGTDFTLTISSLEPEDFAVYYC OHHSDNPWT FGOGTKVEIK
CADENA PESADA 019041 019044 019001	CDR1FR2 EVQLVQSGAEVKKPGESLKISCKGSGYSFT GYNMN WVRQMPGKGLEWMG EVQLVQSGAEVKKPGESLKISCKGSGYSFT GYNMN WVRQMPGKGLEWMG EVQLVQSGAEVKKPGESLKISCKGSGYSFT GYNMN WVRQMPGKGLEWMG
019041 019044 019001	CDR2FR3 NIDPYYGGTTYNRKFKG QVTISADKSISTAYLQWSSLKASDTAMYYCAR NIDPYYGGTTYNRKFKG QVTISADKSISTAYLQWSSLKASDTAMYYCAR NIDPYYGGTTYNRKFKG QVTISADKSISTAYLQWSSLKASDTAMYYCAR
019041 019044 019001	CDR3FR4 SVGPFDY WGQGTLVTVSS SVGPFDS WGQGTLVTVSS SVGPMDY WGRGTLVTVSS
CLUSTAL W (1,83) a	lineamiento de secuencia múltiple
019041 019044 019001	ATGGAAGCCCCAGCGCAGCTTCTCTTCCTCCTGCTACTCTGGCTCCCA 48ATGGAAGCCCCAGCGCAGCTTCTCTTCCTCCTGCTACTCTGGCTCCCA 48 AAGCTTGCCGCCATGGAAGCCCCAGCTCAGCTTCTTCCTCCTGCTACTCTGGCTCCCA 60



FIG. 32B



019041	GATACCACCGGAGAAATTGTGTTGACACAGTCTCCAGCCACCCTGTCTTTGTCTCCAGGC	108
019044	GATACCACCGGAGAAATTGTGTTGACACAGTCTCCAGCCACCCTGTCTTTGTCTCCAGGC	108
019001	GATACCACCGGAGAAATTGTGTTGACACAGTCTCCAGCCACCCTGTCTTTGTCTCCAGGC	120

019041	GAAAGAGCCACCCTCTCCTGCCGAGCAAGTGAAAATGTTTACAGCTACTTAGCCTGGTAC	168
019044		168
	GAAAGAGCCACCTCTCCTGCCGAGCAAGTGAAAATGTTTACAGCTACTTAGCCTGGTAC	
019001	GAAAGAGCCACCCTCTCCTGCCGAACAAGTGAAAATGTTTACAGCTACTTAGCCTGGTAC	180
	*************	21
019041	CAACAGAAACCTGGCCAGGCTCCTAGGCTCCTCATCTATTTTGCAAAAACCTTAGCAGAA	228
019044	CAACAGAAACCTGGCCAGGCTCCTAGGCTCCTCATCTATTTTGCAAAAACCTTAGCAGAA	
019001	CAACAGAAACCTGGCCAGGCTCCTAGGCTCCTCATCTATTTTGCAAAAACCTTAGCAGAA	
019001	**************************************	240

019041	GGAATTCCAGCCAGGTTCAGTGGCAGTGGATCCGGGACAGACTTCACTCTCACCATCAGC	288
019044	GGAATTCCAGCCAGGTTCAGTGGCAGTGGATCCGGGACAGACTTCACTCTCACCATCAGC	288
019001	GGAATTCCAGCCAGGTTCAGTGGCAGTGGATCCGGGACAGACTTCACTCTCACCATCAGC	300

019041	AGCCTAGAGCCTGAAGATTTTGCAGTTTATTACTGTCAACATCATTCCGATAATCCGTGG	348
019044	AGCCTAGAGCCTGAAGATTTTGCAGTTTATTACTGTCAACATCATTCCGATAATCCGTGG	348
019001	AGCCTAGAGCCTGAAGATTTTGCAGTTTATTACTGTCAACATCATTCCGATAATCCGTGG	360
	******************	Ö
010041		400
019041	ACATTCGGCCAAGGGACCAAGGTGGAAATCAAAGGTGGCGGCGGCTCGGGCGGTGGTGGA	
019044	ACATTCGGCCAAGGGACCAAGGTGGAAATCAAAGGTGGCGGTGGTGGTGGA	
019001	ACATTCGGCCAAGGGACCAAGGTGGAAATCAAAGGTGGCGGTGGCTCGGGCGGTGGTGGA	420

019041	TCTGGAGGAGGTGGGACCGGTGAGGTGCAGCTGGTGCAGTCTGGAGCAGAGGTGAAAAAG	468
019044	TCTGGAGGAGGTGGACCGGTGAGGTGCAGCTGGTGCAGTCTGGAGCAGAGGTGAAAAAG	
019001	TCTGGAGGAGGTGGACCGGTGAGGTGCAGCTGGAGCAGCTGGAGCAGAGGTGAAAAAG	
019001	1C1GCAGCAGG1GGACCGG1GAGG1GCAGG1CTGCAGCAGAGG1GAAAAAG	400
019041	CCCGGAGAGTCTCTGAAGATTTCCTGTAAGGGATCCGGTTACTCATTCACTGGCTACAAT	528
019044	CCCGGAGAGTCTCTGAAGATTTCCTGTAAGGGATCCGGTTACTCATTCACTGGCTACAAT	
019001	CCCGGAGAGTCTCTGAAGATTTCCTGTAAGGGATCCGGTTACTCATTCACTGGCTACAAT	
013001	**************************************	540
019041	ATGAACTGGGTGCGCCAGATGCCCGGGAAAGGCCTCGAGTGGATGGGCAATATTGATCCT	588
019044	ATGAACTGGGTGCGCCAGATGCCCGGGAAAGGCCTCGAGTGGATGGGCAATATTGATCCT	588
019001	ATGAACTGGGTGCGCCAGATGCCCGGGAAAGGCCTCGAGTGGATGGGCAATATTGATCCT	

019041	TATTATGGTGGTACTACCTACAACCGGAAGTTCAAGGGCCAGGTCACTATCTCCGCCGAC	648



FIG. 32C



019044 019001		648 660
019041 019044 019001	AAGTCCATCAGCACCGCCTACCTGCAATGGAGCAGCCTGAAGGCCTCGGACACCGCCATG AAGTCCATCAGCACCGCCTACCTGCAATGGAGCAGCCTGAAGGCCTCGGACACCGCCATG AAGTCCATCAGCACCGCCTACCTGCAATGGAGCAGCCTGAAGGCCTCGGACACCGCCATG	708 708 720
019041 019044 019001	TATTACTGTGCACGCTCAGTCGGCCCTTTCGACTACTGGGGCCAGGGCACCCTGGTCACT TATTACTGTGCACGCTCAGTCGGCCCCTTTCGACTCCTGGGGCCACGGGCACCCTGGTCACT TATTACTGTGCACGCTCAGTCGGCCCCTATGGACTACTGGGGCCGCGCACCCTGGTCACT **********************************	768 768 780
019041 019044 019001	GTCTCCTCTGATCAGGAGCCCAAATCTTCTGACAAAACTCACACATCTCCACCGTGCCCA GTCTCCTCTGATCAGGAGCCCAAATCTTCTGACAAAACTCACACATCTCCACCGTGCCCA GTCTCCTCTGATCAGGAGCCCAAATCTTCTGACAAAAGTCACACATCTCCACCGTGCCCA	
019041	GCACCTGAACTCCTGGGTGGACCGTCAGTCTTCCTCTTCCCCCCAAAACCCAAGGACACC	888
019044	GCACCTGAACTCCTGGGTGGACCGTCAGTCTTCCTCTTCCCCCCAAAACCCAAGGACACC	888
019001	GCACCTGAACTCCTGGGTGGACCGTCAGTCTTCCTCTTTCCCCCCAAAACCCAAGGACACC	900
019041	CTCATGATCTCCCGGACCCCTGAGGTCACATGCGTGGTGGTGGACGTGAGCCACGAAGAC	948
019044	CTCATGATCTCCCGGACCCCTGAGGTCACATGCGTGGTGGTGGACGTGAGCCACGAAGAC	948
019001	CTCATGATCTCCCGGACCCCTGAGGTCACATGCGTGGTGGTCGACGTGAGCCACGAAGAC	960
019041	CCTGAGGTCAAGTTCAACTGGTACGTGGACGCGTGGAGGTGCATAATGCCAAGACAAAG	1008
019044	CCTGAGGTCAAGTTCAACTGGTACGTGGACGGCGTGGAGGTGCATAATGCCAAGACAAAG	1008
019001	CCTGAGGTCAAGTTCAACTGGTACGTGGACGGCGTGCAGGTGCATAATGCCAAGACAAAG	1020
019041 019044 019001	CCGCGGGAGCAGTACAACAGCACGTACCGTGTGGTCAGCGTCCTCACCGTCCTGCAC CCGCGGGAGGAGCAGTACAGCACGTACCGTGTGGTCAGCGTCCTCACCGTCCTGCAC CCGCGGGAGGAGCAGTACAACAGCACGTACCGTGTGGTCAGCGTCCTCACCGTCCTGCAC	1068 1068 1080
019041	CAGGACTGGCTGAATGGCAAGGAGTACAAGTGCAAGGTCTCCAACAAAGCCCTCCCAGCC	1128
019044	CAGGACTGGCTGAATGGCAAGGAGTACAAGTGCAAGGTCTCCAACAAAGCCCTCCCAGCC	1128
019001	CAGGACTGGCTGAATGGCAAGGAGTACAAGTGCAAGGTCTCCAACAAAGCCCTCCCAGCC	1140
019041	CCCATCGAGAAAACCATCTCCAAAGCCAAAGGGCAGCCCCGAGAACCACAGGTGTACACC	1188
019044	CCCATCGAGAAAACCATCTCCAAAGCCAAAGGGCAGCCCCGAGAACCACAGGTGTACACC	1188
019001	CCCATCGAGAAAACCATCTCCAAAGCCAAAGGGCAGCCCCGAGAACCACAGGTGTACACC	1200





019041	CTGCCCCATCCCGGGATGAGCTGACCAAGAACCAGGTCAGCCTGACCTGCCTG	1248
019044	CTGCCCCATCCGGGATGAGCTGACCAAGAACCAGGTCAGCCTGACCTGCCTG	1248
019001	CTGCCCCATCCCGGGATGAGCTGACCAAGAACCAGGTCAGCCTGACCTGCCTG	1260

019041	GGCTTCTATCCAAGCGACATCGCCGTGGAGTGGGAGAGCAATGGGCAGCCGGAGAACAAC	1308
019044	GGCTTCTATCCAAGCGACATCGCCGTGGAGTGGGAGAGCAATGGGCAGCCGGAGAACAAC	1308
019001	GGCTTCTATCCAAGCGACATCGCCGTGGAGTGGGAGAGCAATGGGCAGCCGGAGAACAAC	1320

019041	TACAAGACCACGCCTCCCGTGCTGGACTCCGACGGCTCCTTCTTCCTCTACAGCAAGCTC	1368
019044	TACAAGACCACGCCTCCCGTGCTGGACTCCGACGGCTCCTTCTTCCTCTACAGCAAGCTC	
019001	TACAAGACCACGCCTCCCGTGCTGGACTCCGACGGCTCCTTCTTCCTCTACAGCAAGCTC	1380

019041	ACCGTGGACAAGAGCAGGTGGCAGCAGGGGAACGTCTTCTCATGCTCCGTGATGCATGAG	1428
019044	ACCGTGGACAAGAGCAGGTGGCAGCAGGGGAACGTCTTCTCATGCTCCGTGATGCATGAG	1428
019001	ACCGTGGACAAGAGCAGGTGGCAGCAGGGGAACGTCTTCTCATGCTCCGTGATGCATGAG	

019041	GCTCTGCACAACCACTACACGCAGAAGAGCCTCTCCCTGTCTCCGGGTAAATGA	1 4 9 2
019041		1482
	GCTCTGCACAACCACTACACGCAGAAGAGCCTCTCCCTGTCTCCGGGTAAATGA	1482
019001	GCTCTGCACAACCACTACACGCAGAAGAGCCTCTCCCTGTCTCCGGGTAAATGATCTAGA	1500

FIG. 32D